

**INSTITUTUL POLITEHNIC "TRAIAN VULCAN" TIISOARA
FACULTATEA DE ELECTROTEHNICA**

ING. DUBITRU RALU

**CONTRIBUTII PRIVIND CALCULUL ELECTROMAGNETIC
AL BOBINELOR CRIOGENICE SI SUPRACONDUCTOARE**

**COORDATOR STIINTIFIC
PROF. DR. ING. CONSTANTIN SOMA**

BIBLIOTECA CENTRALA
UNIVERSITATEA "POLITEHNICA"
TIMISOARA

- 1985 -

INSTITUTUL POLITEHNIC TIMISOARA	
BIB	1985
CENTRALA	
Volumele	356 E
Data	

C U P R I N S

	<u>Page</u>
INTRODUCERE	5
1. BOBINE PENTRU CIMPURI MAGNETICE PUTERNICE. DOMENII DE UTILIZARE	7
1.1. Soluții tehnologice și constructive ale bobinelor pentru cimpuri magnetice puternice	7
1.1.1. bobine convenționale	7
1.1.2. bobine criogenice	8
1.1.3. bobine supraconductoare	10
1.1.4. aspecte privind menținerea temperaturii criogenice	20
1.2. Domenii de utilizare a bobinelor pentru cimpuri magnetice puternice	20
2. METODE DE CALCUL AL CIMPULUI MAGNETIC SI AL BOBINELOR ELECTRIZATE LA FIECARE CATEGORIE SI SUPRACONDUCTOARE	24
2.1. Unele particularități specifice sistemelor criogenice și supraconductoare	24
2.1.1. Particularități legate de calculul electro- magnetic al bobinelor criogenice și supraconductoa- re	24
2.1.2. Unele cazuri speciale	20
2.1.3. ipoteze de calcul uzuale	25
2.2. Conductoare de formă oarecare situate într-un mediu omogen și liniar	27
2.2.1. Determinarea cimpului magnetic prin integrarea numerică a relației lui prot-Stewart-Laplace	27
2.2.2. Determinarea cimpului magnetic cu ajutorul potențialului de vector	39
2.3. Conductoare rectilinii paralele și de lungime mare	40
2.3.1. Calculul direct	40
2.3.2. Calculul cu ajutorul potențialului magnetic vector	42
2.3.3. Metoda separării variabilelor în cazul prezenței ecuațiilor electromagnetice	46
2.4. Sisteme cu simetrie axială	51
2.4.1. Metoda bazată pe dezvoltarea în serie a potențialului magnetic scalar	51
2.4.2. Metode pentru întărirea uniformității cimpului magnetic	56
2.4.3. Metoda separării variabilelor	65
2.4.4. Metoda cimpurilor unite	69

	Pag.
2.5. Calculul forțelor electromagnetice	79
3. CALCULUL ELECTROMAGNETIC AL UNOR SISTEME APLICATE	
CAZURI REZOLVATE	81
3.1. Bobine supraconductoare pentru generatoare sau	81
3.1.1. Câmpul magnetic în canalul de conversie sau în	82
diferite configurații de spire filiforme	
3.1.2. Câmpul magnetic în canalul de conversie sau în ca-	86
zul unor conductoare echivalente prin plăci de cu-	
rent	
3.1.3. Câmpul magnetic în canalul de conversie sau	90
în cazul unor conductoare masive	
3.1.4. Determinarea forțelor electromagnetice	99
3.2. Mașini sincrone cu excitație supraconductoare	103
3.2.1. Câmpul magnetic într-o mașină sincronă cu exci-	105
tație supraconductoare în absența ecranelor	
3.2.2. Câmpul magnetic într-o mașină sincronă cu exci-	107
tație supraconductoare în prezența ecranelor	
3.2.3. Determinarea unor parametri ai mașinilor sin-	108
crons cu excitație supraconductoare	
3.3. Solenoidi pentru câmpuri magnetice puternice	113
3.3.1. Determinarea câmpului magnetic produs de un	113
solenoid sau de o combinație de solenoidi	
3.3.2. Analiza unor variante de compensare la densitate	118
de curent constantă pe secțiune	
3.3.3. Analiza unor variante de compensare la den-	120
sitate de curent variabilă pe zone	
3.3.4. Metode posibilități de obținere a unui câmp mag-	123
netic cu grad înalt de uniformitate	
3.4. Mașini unipolare cu excitație supraconductoare	126
3.4.1. Optimizarea bobinei inductoare în absența	128
ecranului magnetic	
3.4.2. Determinarea câmpului magnetic și al compo-	132
nului inductiv în prezența ecranului magnetic	
3.5. Bobine cilindrice Helmholtz. Determinări experimentale	137
3.5.1. Metode de calcul aplicate	139
3.5.2. Determinări experimentale	142
3.5.3. Compararea rezultatelor obținute	144
CONCLUZII	150
BIBLIOGRAFIE	155
ANEXE	163

I N T R O D U C A R E

Sistemele fizice în care intervin cîmpuri magnetice se întîl-
nesc în cele mai diverse domenii ale tehnicii. Performanțele acestora
sînt influențate direct de intensitatea și repartiția spațială a cîm-
pului magnetic și de unele probleme legate de producerea unor cîm-
puri magnetice puternice și cu o anumită repartiție sînt de mare im-
portanță și de actualitate.

Se remarcă de asemenea că fiind mereu actuală problema economi-
cității sistemelor fizice realizate, a reproiectării celor existente,
a introducerii unor tehnologii noi care să permită depășirea limitelor
de performanță la care s-a ajuns în multe domenii. Perspective dintre
cele mai promițătoare oferă în acest sens dezvoltarea tehnicii kriogenice
(criogenia) și mai ales fenomenul de supraconducție [9,18,20,22,23,
50,53,66,119], care permite printre altele obținerea unor cîmpuri
magnetice puternice, imposibil de atins prin mijloace convenționale;
reducerea substanțială a pierderilor și generării, reducerea consumu-
rui de energie și creșterea randamentelor instalațiilor în care se
aplică.

Proiectarea acestor sisteme fizice, ale căror performanțe de-
pind direct de nivelul și de repartiția spațială a cîmpului magnetic,
impune dezvoltarea și perfecționarea metodelor de calcul al cîmpului
magnetic. Se remarcă în acest sens utilitatea dezvoltării unor metode
analitice care permit punerea în evidență a nodului în care diferiți
parametri influențază performanțele sistemelor respective, precum și
a unor metode numerice care oferă posibilitatea rezolvării mai comple-
te a problemei de cîmp în cazuri complicate.

Teza de doctorat elaborată se înscrie pe linia preocupărilor
privind dezvoltarea unor metode de calcul al cîmpului magnetic, aplica-
bile înoseori în cazul sistemelor kriogenice și supraconductoare.
În cadrul ei se urmărește studiarea și perfecționarea unor metode de
calcul al cîmpului magnetic, elaborarea unor algoritmi și pe baza lor
a unor programe eficiente de calcul și aplicarea acestora în cazuri
de interes practic cum sînt: generatoarele magnetohidrodinamice (MHD),
acceleratoarele cu excitare supraconductoare, mașinile unipolare
și diferite variante de bobine cu simetrie axială.

Teza de doctorat este organizată în trei capitole principale.
În capitolul întâi se prezintă unele domenii de utilizare ale bobine-
lor pentru cîmpuri magnetice puternice, precum și principalele soluții
tehnologice și constructive ale acestora: convenționale (rezistive),
criogenice și supraconductoare. Prezenta teză face parte în scopul

sistematizării cât și ai unei analize critice a diferitelor soluții.

În capitoul al doilea se prezintă metodele de calcul al câmpului magnetic abordate în cazurile unor conductoare cu formă caracteristică, conductoare paralele cu înălțime mare și al unor sisteme cu simetrie axială. Se atenționează, se prezintă unele particularități specifice cu sistemele ortogonale și supraconductoare și metodele de calcul uzuale care s-au aplicat în cazul metodelor de calcul abordate.

În capitoul al treilea, se prezintă rezultatele obținute în cazurile abordate și rezultate de autor, referitoare la: câmpul magnetic în câmpul de convergență și la diferite configurații ale canalului și respectiv obstrucțiilor; câmpul magnetic de excitare al generatorilor sincroni cu excitație de supraconductoare în absența sau prezența ecranilor electrodinamici; câmpul magnetic al solenoidelor de accelerație și metodele de îmbunătățire a uniformității acestuia; câmpul magnetic al câștilor și acceleratoare liniare la mașini unipolare supraconductoare, necesitatea sau de eliminare magnetică; compararea rezultatelor obținute prin diferite metode de calcul în cazul unor perechi de bobine circulare (helmholtz) și verificarea acestora prin măsurări experimentale.

În partea finală a cărții se prezintă concluziile și contribuțiile de autor de autor în cadrul cărții, iar anexele conțin unele programe de calcul elaborate și rezultate obținute pe baza lor.

Elaborarea acestei lucrări s-a făcut sub îndrumarea permanentă și generoasă a colegului meu științific profesor. ing. Constantin Pora, căruia autorul îi aduce și pe această cale respectuoase mulțumiri. Îndrumarea atentă de care a beneficiat autorul, atât în activitatea didactică cât și în cea de cercetare a scrisii, a fost deosebit de utilă în formarea sa profesională.

De asemenea, mulțumiri rev. conf. ing. Ion Constantin, pentru întregul sprijin acordat în calitate de conducător al colectivului de cercetare din care a făcut parte și autorul. Rezultatele activității desfășurate în cadrul acestui colectiv au contribuit în bună măsură la realizarea tezei de doctorat.

Între colegii din colectivul de Bazele electrotehnicii, care l-au sprijinit în diferite ocazii, sub diverse forme și l-au încurajat pe tota perioada elaborării lucrării, autorul le adresează calde mulțumiri.

CAPITOLUL I

BOBINE PENTRU CIMPULI MAGNETICI PUTERNICI. DOMENII DE UTILIZARE

După cum s-a precizat și în introducere, bobințele destinate producerii cimpului magnetic se folosesc în cele mai diverse ramuri ale tehnicii. Probleme mai necesare legate atât de producerea cimpului magnetic cât și de aplicațiile tehnice, interven în cazul cimpurilor magnetice puternice și de aceea în cadrul tezei elaborate s-au avut în vedere în special aceste situații. Desigur că acumularea de câmp magnetic puternic este deosebit de relativă, neavând o delimitare exactă. Astfel, pe lângă valoarea inducției magnetice, se ia de obicei în considerare și extinderea domeniului în care acesta se stabilește. În acest sens situația, pentru bobini cu dimensiuni obișnuite cimpului magnetic de câmpuri puternice este inducții magnetice care ating cel puțin $1 - 2 \text{ T}$, pe cîm în bobinile cu extindere foarte mare (de exemplu în cazul acceleratoarelor de particule [10]), chiar și la $1 - 3 \text{ T}$, cimpul magnetic poate fi considerat puternic.

1.1. Bobinile constructive și tehnologice ale acceleratoarelor pentru cimpuri magnetice puternice

Prizele încercări de producere a cimpurilor magnetice puternice datează de la începutul secolului nostru. De atunci și pînă în zilele noastre progresul științific și tehnologic au dus la o gamă largă de realizări care se pot încadra în trei mari categorii și anume: bobine convenționale (la temperatură ambiantă) cu sau fără fier, bobine criogenice și bobine superconductoare. Aceasta este de fapt și succesiunea realizării lor în timp.

1.1.1. Bobine convenționale

acestea sînt realizate din materiale conductoare la temperatura ambiantă, în mod obișnuit cu, ru sau aluziniu, cu sau fără piese feromagnetice. Istoric, acestea constituie prizele tipuri de bobine utilizate pentru producerea cimpului magnetic în laboratoarele de fizică sau în diferite aplicații tehnice. Astfel încă în 1911, fizicianul suedez și nobel aeromagneticii asupra a câmpului

netic cu inducția de 5,5 T într-un înțrefier cu lungimea de 1 cm și diametrul de 6 mm. Puterea necesară în acest scop era de 14 kW, iar greutatea magnetului de 14.000 kg.

Uitător s-au avut numeroase perfecționări în tehnica realizării acestor bobine, cele mai semnificative fiind introduse de Weiss care a folosit conductoare tubulare răcite cu ulei sau cu apă, de Dreyfus care a introdus elasticitatea pieselor poliare și respectiv de Ritter care a folosit conductoare în forma de disc și răcire axială. S-au realizat astfel inducții magnetice de ordinul 10 T în funcționare continuă, dar cu consumuri apreciabile de putere, de ordinul Mw [18, 20].

Principali dezavantaj ai bobinelor convenționale îl constituie consumul mare de energie, dezavantaj pronunțat mai ales în cazurile în care inducționarea este continuă. În regiile de funcționare intermitent s-au obținut în condiții avantajoase cu astfel de bobine inducții magnetice de ordinul 2 - 10 T pentru timp lung de funcționare ($1-10^2$ s), 10 - 100 T pentru timp scurt ($10^{-6} - 10^{-3}$ s) și respectiv 100 - 1500 T pentru timp foarte scurt ($< 10^{-9}$ s). În ultimul caz se utilizează metoda exploziei, bobina fiind distrusă la fiecare experiment.

Se remarcă faptul important că la cimpuri magnetice foarte puternice densitatea energiei magnetice și respectiv forțele locale care acționează asupra conductoarelor parcurse de curent sînt foarte mari, astfel că materialele cu conductivitate electrică mare nu pot fi utilizate din cauza rezistenței mecanice scăzute. În această situație se impune folosirea altor materiale conductoare cu rezistență mecanică mai ridicată deși ele prezintă dezavantajul unei conductivități electrice mai scăzute. În ordine crescătoare a inducției magnetice, se pot utiliza aliajele Cu-Ni, Cu-Cr, Cu-Cd, Cu-Hg, precum și conductoare din niobiu, tungsten, titan sau beriliu [18].

1.1.2. Bobine criogenice

Acestea sînt realizate din materiale conductoare normale dar răcite la temperaturi foarte scăzute sau la temperaturi criogenice. Aceste temperaturi se obțin cu ajutorul sistemelor de răcire avînd în mod obișnuit ca agent de răcire unul din gazele lichefiate prezentate în tabelul 1.1.

Interesul manifestat pentru acest tip de bobine se datorază micșurării pronunțate a rezistivității materialelor conductoare cu scăderea temperaturii. Aceasta oferă posibilitatea obținerii unor avantaje față de bobinele convenționale, avantaje legate de mărirea densității de cu-

Tabelul 1.1. Principalii agenți de răcire

Agentul	Temperatura de fierbere K
Heliu	4,2
hidrogen	20,4
Neon	27,1
azot	77,8

rent, reducerea puterii consumate, reducerea gabaritului și greutateii, obținerea unor cîmpuri mai puternice.

Scăderea rezistivității metalelor la temperaturi joase depinde destul de pronunțat de gradul de puritate al acestora. Așfel se menționează în literatură [10] că s-au obținut rezultate spectaculoase pentru cupru și aluminiu ultrapure la care

rezistivitatea la 4,2 K a scăzut de 55000 ori și respectiv 10000 ori față de rezistivitatea la 300 K. Aceste metale foarte pure prezintă însă și unele dezavantaje cum ar fi: rezistență mecanică foarte scăzută, așfel încît se impun măsuri speciale de consolidare la cîmpuri magnetice puternice; datorită efectului magnetorezistiv, rezistivitatea acestora crește o dată cu creșterea cîmpului magnetic. În cazul aluminiului efectul magnetorezistiv prezintă o saturație și de aceea aluminiul este preferat în cazul bobinelor pentru cîmpuri magnetice puternice.

Aliajele cuprului și aluminiului au rezistență mecanică mai mare, dar rezistivitatea lor scade relativ puțin cu temperatura. Așfel, de exemplu, în cazul aliajului Cu-Be (1% Be) rezistivitatea la temperatura de 4,2 K scade doar la jumătate din cea corespunzătoare la 300 K. Din acest motiv în practică nu se folosesc aceste aliaje la temperaturi joase, soluția tehnologică constînd în folosirea conductoarelor de tip sandwich realizate dintr-o bandă de cupru sau aluminiu foarte pur fixată (printr-un adziv izolant) pe o bandă dintr-un material cu înaltă rezistență mecanică. Dacă în timpul bobinării se asigură o anumită pretenționare a materialului de mare rezistență mecanică, atunci acesta va prelua o însemnată parte din solicitări. Folosirea acestui tip de conductoare pentru bobinile criogenice conduce însă și la dezavantajul că se micșorează secțiunea utilă a bobinei, însă această micșorare poate fi limitată, la mai puțin de 20% [18].

Se menționează faptul că deși bobinile criogenice sînt concurente serios cu cele supraconductoare (p.r. 1.1.5), există unele situații în care acestea sînt preferate. Așfel este cazul regimurilor alternative și de impuls, cînd la sistemele supraconductoare apar probleme dificile de stabilizare a stării supraconductoare și pierderi suplimentare prin histeresis [28, 99]. De asemenea, în ca-

ul bobinelor pentru cimpuri magnetice care depăşesc cimpul magnetic critic al materialelor supraconductoare termic utilizabile, bobinele kriogenice nu pot fi înlocuite cu cele supraconductoare.

1.1.3. bobine supraconductoare

Realizarea practică a acestora se bazează pe folosirea fenomenului de supraconducție pe care îl manifestă anumite materiale dacă temperatura și cimpul magnetic sînt menținute sub anumite valori [13, 51, 58, 70, 74].

α. Starea supraconductoare ideală se caracterizează prin două proprietăți fundamentale și anume: anularea rezistivității la temperaturi foarte scăzute, efect descoperit în 1911 de Kammerlingh Onnes și pe baza căruia se mai spune că aceste materiale manifestă o conducție electrică perfectă; anularea inducției magnetice din volumul materialului cînd acesta trece din starea conductoare în cea supraconductoare, fenomen descoperit în 1933 și cunoscut sub denumirea de efect Meissner. Istoricitatea efectului Meissner se mai spune că materialele supraconductoare manifestă un diamagnetism perfect.

Trebuie precizat că nu orice material conductor devine supraconductor prin răcire la o temperatură foarte scăzută. Unele, printre care se numără și cele mai bune conductoare (Ag, Au, Cu) prezintă chiar la temperaturi extrem de mici (fracțiuni de grad K) o anumită rezistivitate reziduală. De asemenea se menționează că nu toate materialele supraconductoare se comportă la fel. În general, starea supraconductoare nu presupune îndeplinirea riguroasă a celor două proprietăți fundamentale ale stării supraconductoare ideale. În acest sens în literatură se vorbește de trei clase de materiale supraconductoare [13, 16, 50, 74, 95, 96, 97, 98]:

- materiale supraconductoare de tipul I care prezintă o conducție electrică perfectă și un diamagnetism perfect cu excepție unei zone superficiale restrînte ($\sim 10^{-8}$ m) în care cimpul magnetic nu se anulează. În această clasă de materiale se încadrează cele mai multe supraconductoare metalice pure;

- materiale supraconductoare de tipul II care prezintă o conducție electrică perfectă la densități de curent și inducții magnetice sub anumite valori, dar nu prezintă un diamagnetism perfect pentru întregul domeniu al cimpului magnetic și nici pentru întregul volum de material aflat în stare supraconductoare. În această categorie se încadrează cel mai multe aliaje și compuși intermetalici;

- materiale supraconductoare pentru cimpuri înalte, care de fapt

sunt tot supraconductoare de tipul II la care prin introducerea unor impurități sau prin defecte provocate ale rețelei cristaline se asigură menținerea stării supraconductoare și la câmpuri magnetice ridicate. Unii autori denumesc aceste materiale supraconductoare de tipul III [97,98].

Menținerea stării supraconductoare depinde de trei parametri: temperatura critică, câmpul magnetic critic și densitatea critică de curent, care se definesc după cum urmează [95,96]:

- temperatura critică, T_c , este temperatura sub care materialul trece din starea conductoare în cea supraconductoare. Ea se definește în condițiile în care densitatea de curent, câmpul magnetic precum și alte condiții externe (solicitări mecanice sau termice, etc.) sunt menținute în limite suficient de scăzute astfel încât să nu afecteze temperatura la care are loc tranziția;

- câmpul magnetic critic, H_c , reprezintă intensitatea câmpului magnetic sub care un supraconductor ideal de tipul I trece brusc în starea supraconductoare dacă densitatea de curent este menținută la valori suficient de mici încât să nu afecteze tranziția. La determinarea acestui parametru critic, supraconductorul se consideră de forma unui cilindru subțire și foarte lung, paralel cu liniile câmpului magnetic aplicat, astfel încât factorul de demagnetizare este zero. Parametrii critici H_c și T_c nu sunt independenți, dependența lor putându-se aproxima printr-o relație de forma:

$$H_c(T) = H_c(0) [1 - (T/T_c)^2] \quad (1.1)$$

unde prin $H_c(0)$ s-a notat câmpul magnetic la temperatura zero absolut (obținut prin extrapolare). Valoarea lui H_c este scăzută pentru toate materialele supraconductoare de tipul I ($H_c = \mu_0 H_c < 0,2T$) ceea ce le face inutilizabile în practică;

- densitatea critică de curent, J_c , reprezintă densitatea curentului electric sub care la o anumită temperatură și un anumit câmp magnetic, materialul se află în stare supraconductoare. Acest parametru depinde atât de T_c cât și de H_c . De fapt cei trei parametri critici determină în sistemul de coordonate T, H, J o suprafață care delimitează regiunea de menținere a stării supraconductoare cu cea a stării conductoare (fig. 1.1).

3. Interpretarea și explicarea proprietăților stării supraconductoare se poate face prin teoria fenomenologică dezvoltată independent de London, Ginsburg, Landau [18,20,97,112] sau prin teoria

microscopică cuantică a lui Bardeen, Cooper și Schrieffer [15].

În cadrul teoriei fenomenologice, se admite că ecuațiile lui

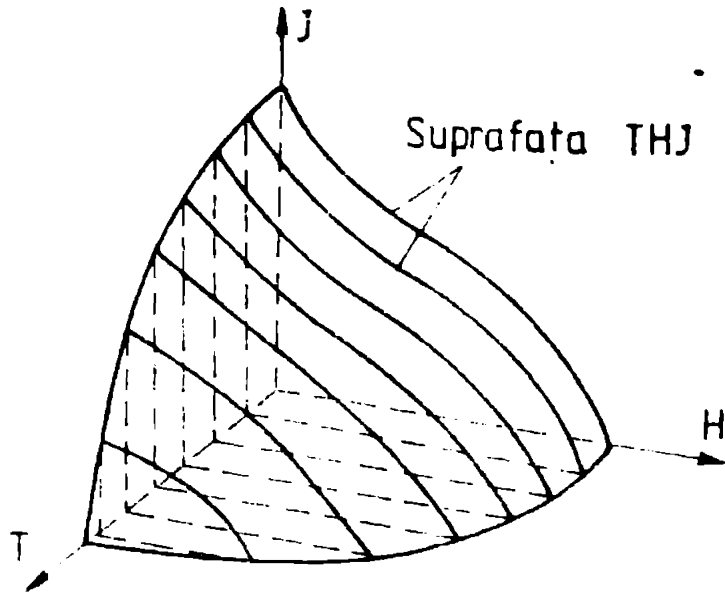


Fig. 1.1. Suprafața în care delimităm regiunea supraconductoare

Maxwell sînt valabile și în regiunea supraconductor, dar pentru a putea fi descrise proprietățile stării supraconductoare este necesară introducerea a două ecuații cunoscute în literatură sub denumirea de ecuațiile lui London, astfel, dacă se acceptă într-un model relativ simplu, că într-un supraconductor există două tipuri de electroni liberi [98] și anume electroni de supraconducție și respectiv de conducție (la temperatura 0°K sînt numai

electroni de supraconducție, iar în starea conductoare numai electroni de conducție), densitatea de curent se exprimă ca sumă a celor două componente:

$$\mathbf{J} = \mathbf{J}_c + \mathbf{J}_s \quad (1.2)$$

în care componenta de conducție se exprimă în formă obișnuită [128]:

$$\mathbf{J}_c = \sigma \mathbf{E} \quad (1.3)$$

referindu-ne la electronii supraconductorii aceștia au interesența cu rețeaua atomică, și ca urmare, în prezența unui câmp electric vor fi accelerați după legea lui Newton:

$$\bar{q} = m \bar{a}_s = m \frac{d\bar{v}_s}{dt} \quad (1.4)$$

în care \bar{v}_s reprezintă viteza de mișcare a electronilor de supraconducție. Dacă se exprimă densitatea curentului de supraconducție în forma $\bar{J}_s = n_s q \bar{v}_s$, în care n_s este concentrația electronilor de supraconducție, rezultă ținînd seama de relația (1.4):

$$\frac{d\bar{J}_s}{dt} = n_s q \frac{d\bar{v}_s}{dt} = \frac{n_s}{m} q^2 \bar{E} \quad (1.5)$$

relație cunoscută ca primă ecuație a lui London. Pe baza ei rezultă că în regiunea staționară în stare supraconductoare $\lambda = 0$ independent de

valoarea lui \vec{J}_s . In aceasta situatie din (1.6) rezulta și faptul ca densitatea curentului de conducție este nulla, adica $\vec{J} = \vec{J}_s$.

In limbaj obișnuit se spune că materialele supraconductoare prezintă o rezistivitate nulă, respectiv o conductivitate infinită. Această expresie se referă la introducerea unei relații similare cu (1.3) pentru întreaga densitate de curent (rel. 1.6), respectiv $\vec{J} = \sigma_g \vec{E}$. Deoarece $\vec{E} = 0$ iar $\vec{J} \neq 0$, rezulta ca materialele supraconductoare manifestă o conductivitate σ_g infinită.

Considerind un mediu supraconductor liniar, omogen și izotrop, din ecuațiile lui Maxwell [1.2b] și prima ecuație a lui London (1.5) rezulta [2b]:

$$\nabla^2 \frac{d\vec{A}}{dt} = \frac{1}{\lambda_L^2} \frac{d\vec{B}}{dt}; \quad \nabla^2 \frac{d\vec{J}_s}{dt} = \frac{1}{\lambda_L^2} \frac{d\vec{J}_s}{dt}; \quad \nabla^2 \frac{d\vec{E}}{dt} = \frac{1}{\lambda_L^2} \frac{d\vec{E}}{dt} \quad (1.6)$$

in care $\lambda_L = \frac{1}{q} \left(\frac{m}{\mu_0 n_s} \right)^{1/2}$ este lungimea de pătrundere London.

In cadrul teoriei fenomenologice se mai postulează ca densitatea curentului de supraconducție este proporțională cu potențialul magnetic vector:

$$\vec{J}_s = - \frac{1}{\mu_0 \lambda_L^2} \vec{A} \quad (1.7)$$

sau deoarece $\vec{B} = \text{rot } \vec{A}$, relația echivalentă:

$$\text{rot } \vec{J}_s = - \frac{1}{\mu_0 \lambda_L^2} \vec{B} \quad (1.7')$$

cunoscută ca a doua ecuație a lui London, și pe baza căreia rezulta:

$$\nabla^2 \vec{B} = \frac{1}{\lambda_L^2} \vec{B} \quad (1.8)$$

adică \vec{B} verifică aceeași ecuație ca și $\frac{d\vec{E}}{dt}$.

Soluția ecuației (1.8) în cazul semispacțiului infinit este:

$$\vec{B}(x) = \vec{B}(0) \exp\left(-\frac{x}{\lambda_L}\right) \quad (1.9)$$

in concordanță cu efectul Meissner, deoarece λ_L are valori de ordinul 10^{-8} m.

O soluție similară se obține și pentru \vec{J}_s :

$$\vec{J}_s(x) = \vec{J}_s(0) \exp\left(-\frac{x}{\lambda_L}\right) \quad (1.10)$$

exprimind faptul ca în stare supraconductoare curentul electric este repartizat practic numai la suprafața laterală a supraconductorului. Aceasta justifică și impune realizarea supraconductorilor sub formă de pelicule sau filamente subțiri.

Teoria microscopică cuantică (BCS) a lui Bardeen, Cooper și Schrieffer oferă o explicație mai completă a fenomenului de supraconducție [13]. In cadrul acestei teorii se presupune că in supraconductorii foarte scurți in materialul supraconductor se realizează o stare or-

donată a electronilor de conducție, care constă în formarea perechilor slab asociate de electroni numite și "perechi Cooper". Legătura dintre electronii unei astfel de perechi se realizează prin interacțiunea acestora cu vibrațiile rețelei de atomi și se exercită pe distanțe de 1000 ori mai mari decât distanțele interatomice. Aceasta se mai numește și lungime de coerență. Perechile de electroni Cooper se comportă ca o particulă nouă [70], care supunându-se statisticii Bose-Einstein, manifestă o mare probabilitate de a trece în starea cuantică în care sînt cele mai multe particule. Rezultatul acestei comportări este faptul că toate perechile Cooper se vor afla în aceeași stare cuantică corespunzătoare celei mai scăzute energii. Trecerea unui curent electric prin mediul supraconductor înseamnă mișcarea ordonată cu aceeași viteză a perechilor Cooper, formînd o singură undă de propagare cu lungimea de undă foarte mare [51,70]. În această situație procesele de împrăștiere sînt extrem de rare, ceea ce explică absența rezistivității. De fapt procesele de împrăștiere nici nu sînt posibile deoarece dacă o pereche Cooper ar interacționa cu rețeaua atomică ea ar trebui să treacă într-o altă stare cuantică, ori, conform statisticii Bose-Einstein acest lucru nu este posibil decât dacă toate perechile ar primi energia necesară trecerii în noua stare. Faptul că starea supraconductoră nu se menține decât la temperaturi scăzute se explică prin aceea că la aceste temperaturi agitația termică este suficient de redusă. Prezențierea detaliată a acestei teorii se poate urmări în literatura de specialitate [13,16,77].

Y. Transiția din starea conductoră în cea supraconductoră are ca semn al temperaturii se face într-un interval de temperatură a cărei lățime depinde profund de puritatea materialului res-

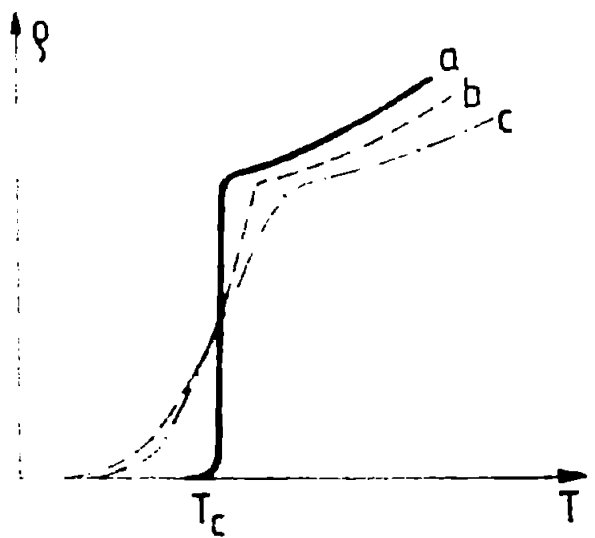


Fig. 1.20. Variația rezistivității cu temperatura la materiale supraconductive pure (a) și impure (b,c)

pectiv după cum este reprezentat calitativ în figura 1.20. Se menționează că, ex. eminent al s-a put în evidență faptul că rezistivitatea materialelor supraconductive este de aproximativ 10^{10} ori mai mică decât a cuprului la temperatura ambiantă. Se amintește tot experimental s-au observat cureni persistenți în inele supraconductive cu curent peste 1 an. Prin măsurători magnetice de mare precizie s-a calculat că timpul de existență al curentului continuu într-un inel supraconductor este mai mare decât 10^7 ani [70].

scularea (expulzarea) inducției

magnetice din volumul unui material supraconductor este un fenomen care nu poate fi explicat pe baza anulării rezistivității. În [97] se arată că un material conductor cu rezistivitate nulă nu poate avea comportarea unui material supraconductor și de aceea expulzarea câmpului magnetic dintr-un supraconductor constituie o proprietate fundamentală a fenomenului de supraconducție. Există însă mari deosebiri în comportarea sub acest aspect a supraconductorilor de tipul II față de cele de tipul I, după cum rezultă din figurile 1.3 și 1.4 în care este redată dependența magnetizației și inducției magnetice funcție de intensitatea câmpului magnetic la supraconducătoare de tipul I (fig. 1.3) și de tipul II (fig. 1.4)

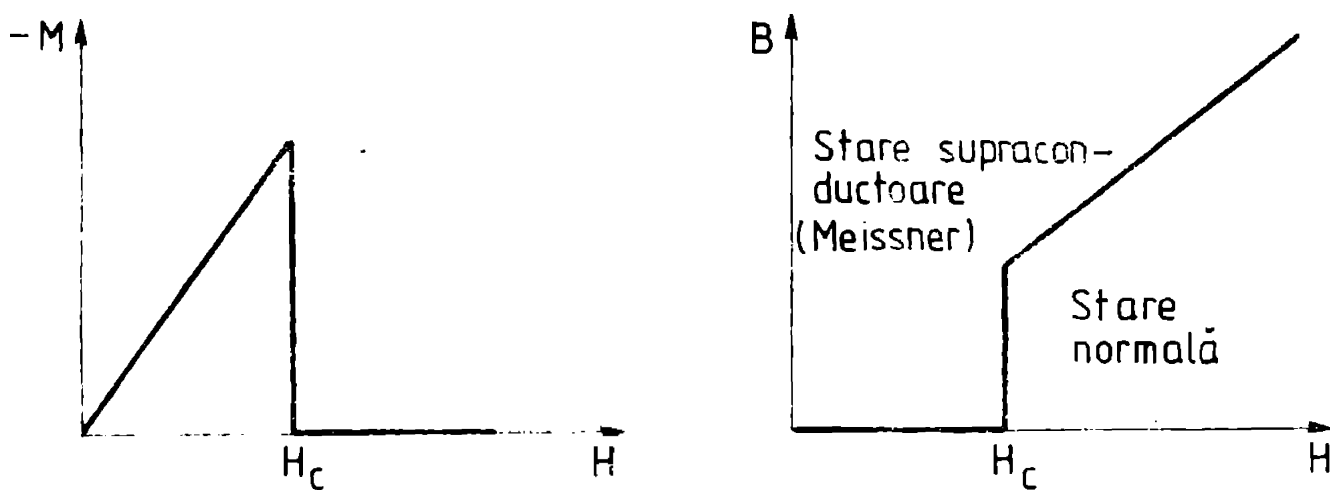


Fig. 1.3. Dependența magnetizației și a inducției magnetice de intensitatea câmpului magnetic la supraconducătoare de tipul I

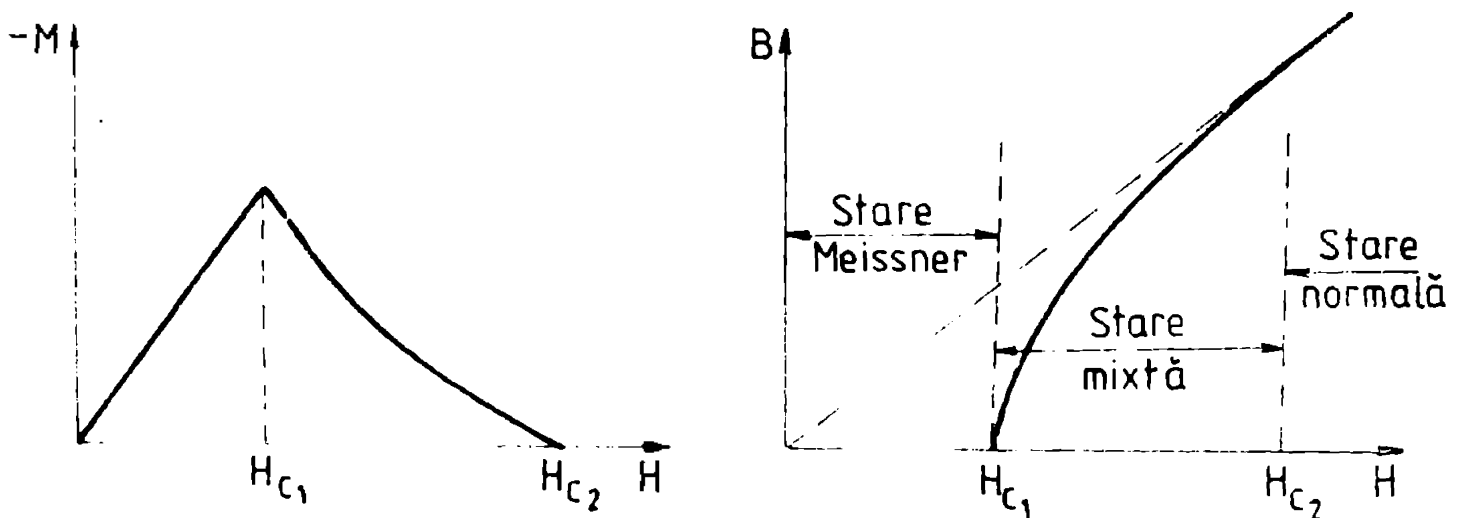


Fig. 1.4. Dependența magnetizației și a inducției magnetice de intensitatea câmpului magnetic la supraconducătoare de tipul II

Opse deosebite de supraconducătoare de tipul I, la care un tipul II apar două valori caracteristice pentru câmpul magnetic [98]: câmpul magnetic critic inferior, H_{c1} , reprezentând valoarea intensității câmpului magnetic peste care supraconductorul nu mai permite un diamagnetism perfect, adică câmpul magnetic pătrunde în materialul

supraconductor; câmpul magnetic critic superior, H_{c2} , reprezintă valoarea intensității câmpului magnetic peste care întreg volumul de material nu mai este în stare supraconductoare.

Între cele două valori caracteristice H_{c1} și H_{c2} , materialul se află în "stare mixtă" [56], în care coexistă zone conductoare și zone supraconductoare. În această stare câmpul magnetic pătrunde în interiorul materialului formând o rețea de tuburi de flux numite și "fluxoizi", fiecare fluxoid fiind înconjurat de un vârtej de supra-curent. Acești fluxoizi nu pot lua orice valoare ci numai un multiplu întreg al "cuantei de flux" cu valoarea

$$\phi_0 = h/2q \approx 2 \cdot 10^{-15} \text{ wb} \quad (1.11)$$

în care h este constanta lui Planck, iar q sarcina electronului. Verificarea experimentală a faptului că valoarea cuantei de flux este $h/2q$ și nu h/q este în concordanță cu ipoteza existenței perechilor Cooper.

Se reținea faptul remarcabil că în stare mixtă materialul supraconductor prezintă proprietatea absenței rezistivității (conducție perfectă) și că valoarea câmpului critic superior este foarte mare la unele aliaje sau metale de tranziție (de 100 - 1000 ori mai mare decât H_{c1}) astăzi cu supraconductoarele de tipul II pur proiectate pentru a fi utilizate în câmpuri magnetice puternice. Acest lucru nu este încă posibil deoarece sub acțiunea forțelor Lorentz fluxoizii se deplasează prin volumul materialului supraconductor, deplasare care este disipativă și se manifestă ca o rezistență electrică [58,59,95]. Dacă se iau măsuri de "fixare" (anchorare) a fluxoizilor prin introducerea unor impurități sau prin defecte provocate ale rețelei cristaline, atunci aceste materiale se pot folosi la curenți electrici mari în câmpuri magnetice puternice și se numesc supraconductoare de câmp înalt. Unele rețineri de fapt supraconductoarele termice utilizabile. Pentru comparație, în tabelul 1.2 se dau temperatura critică și câmpul magnetic critic pentru unele supraconductoare termice utilizabile [18,20,70,99].

Tabelul 1.2. Temperatura critică și câmpul magnetic critic la unele materiale supraconductoare

Simbolul	T_c [K]	H_c [T]	Materialul	T_c [K]	H_c [T] la 4,2 K
Al	0,95	0,01	Pb	7 - 11	7 - 9
Zn	0,546	0,0047	HfTi	6 - 10	9 - 12
Ge	1,05	0,0031	PbAl	8,6	12,5
Al	1,18	0,0105	V ₃ Ge	14,3	21
In	3,4	0,0293	Nb ₃	16	21
Ge	3,72	0,0305	Nb ₃ Sn	18,3	22,5
Hg	4,15	0,0412	V ₃ Si	17	23,5
V	5,50	0,142	Nb ₃ Al	18,7	29,5
Zn	7,15	0,0005	Nb ₃ AlGe	20,7	41
Nb	9,2	0,196	(Al 0,73 Ge 0,27)		

Se menționează faptul că cele mai frecvent utilizate materiale supraconductoare sînt în prezent NbTi și Nb₃Sn care se produc pe scară industrială în diferite forme.

Δ. Perturbații unor perturbări locale (variații ale temperaturii sau densității de curent) în materialul supraconductor pot apărea unei regiuni care trec în starea de conducție. La creșterea curentului electric prin aceste zone, rezistivitatea lor nemăsurabilă mică, se dezvoltă o căldură care dacă nu este rapid evacuată duce la creșterea temperaturii și deci la extinderea zonelor conductoare care pot cuprinde întregul material. Acest efect de degradare a stării supraconductoare trebuie limitat, în caz contrar fiind posibilă pierderea în întregime a stării supraconductoare, cu consecințe ireparabile pentru instalația respectivă. Necesitățile tehnice prin care se limitează efectul de degradare a stării supraconductoare poartă denumirea de "stabilizare" și constă în asigurarea acelei condiții care să evite trecerea din starea supraconductoare în cea conductoare atunci cînd intervin perturbări de scurtă durată.

În principiu, stabilizarea se face prin punerea în contact cu supraconductorul a unui material sau conductor electric și termic (de obicei cupru de înaltă puritate) numit și material de bază. Realizându-se un contact bun între aceste două materiale pe toată lungimea (fig. 1.5), la apariția unei regiuni conductoare în materialul supraconductor, curentul electric va trece în materialul de bază, acesta avînd rezistivitatea mult mai mică decît regiunea conductoare a supraconductorului (de aprox. 1000 ori), avînd și o conductivitate termică bună, materialul de bază asigură evacuarea rapidă spre agentul de răcire a căldurii disipate și ca urmare regiunea conductoare din materialul supraconductor nu-și mărește temperatura. În această

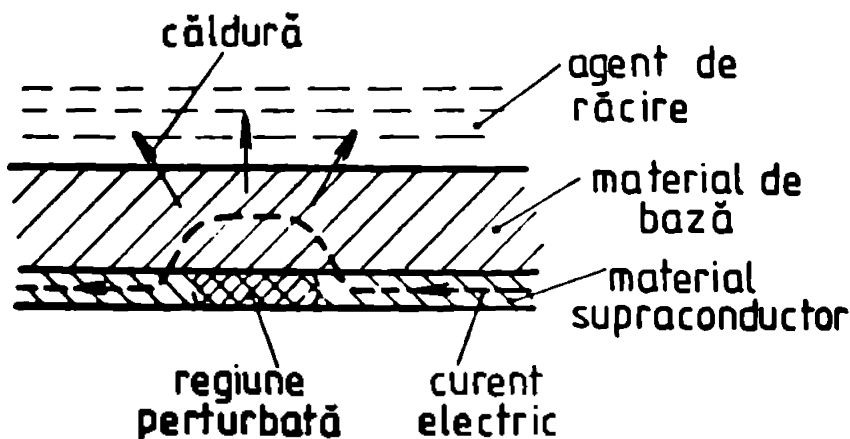


Fig. 1.5. Aplicația privind principiul stabilizării stării supraconductoare

situație, dacă perturbația este de scurtă durată, regiunea respectivă revine în stare supraconductoare.

Necesitatea folosirii în practică a supraconductoarelor stabilizate conduce la soluția tehnologică de realizare a acestora sub formă de peliculă supraconductoare aplicată pe o bandă din material de bază, în mai ales sub forma unui număr mare de

496890 356E

filamente foarte subțiri (diametre de ordinul μm) înglobate într-o "matrice" de bază (cupru). Ele trebuie să respecte trei criterii de stabilizare: criostatice, adiabatică și dinamică [18, 26, 25, 27].

Stabilizarea criostatică, constă în asigurarea condițiilor de evacuare a căldurii dezvoltate în materialul de bază la apariția unei mici zone conductoare în materialul supraconductor. Criteriul se exprimă prin relația:

$$\frac{\rho I^2}{\lambda P} < \pi \quad (1.12)$$

în care: ρ - rezistivitatea materialului de bază; λ - aria secțiunii transversale a materialului de bază; P - perimetrul secțiunii în contact cu agentul de răcire; I - intensitatea curentului de lucru; π - densitatea fluxului termic prin suprafața de contact cu agentul de răcire.

Stabilizarea adiabatică este legată de rearanjarea fluxurilor de urmare a apariției unei creșteri a temperaturii în materialul supraconductor. Astfel, dacă apare o creștere de temperatură ΔT_1 , aceasta conduce la o scădere a densității critice de curent, ΔJ_c , ceea ce corespunde cu o rearanjare a fluxurilor în materialul supraconductor. Ca urmare a acestei rearanjări se dezvoltă în supraconductor o căldură ΔQ , care în condiții adiabatică conduce la o creștere de temperatură ΔT_2 . Dacă $\Delta T_2 < \Delta T_1$, atunci procesul este stabil, aceasta asigurându-se prin alegerea diametrului filamentului supraconductor astfel încât să îndeplinească condiția:

$$d < \frac{1}{J_c} \sqrt{\frac{3}{4\pi} 10^9 P_0 S} \quad (1.13)$$

în care S reprezintă capacitatea calorică a supraconductorului, iar $P_0 = J_c (dJ_c/dT)^{-1}$.

Stabilizarea dinamică asigură atenuarea rapidă a mișcării fluxurilor în materialul supraconductor, astfel încât căldura dezvoltată este evacuată imediat și se stabilește o temperatură de echilibru. Condiția de stabilizare dinamică este asigurată dacă diametrul filamentului supraconductor satisface relația:

$$d < \frac{8}{J_c} \sqrt{\frac{10^9 k}{\rho} \left(\frac{1}{\lambda_s} - 1\right)} \quad (1.14)$$

în care k_s este conductivitatea termică iar λ_s este raportul dintre secțiunea transversală a supraconductorului și secțiunea totală (supraconductor și material de bază).

Prin urmare, dacă se asigură un raport corespunzător între suprafețele transversale ale supraconductorului și materialului de bază se poate realiza stabilizarea stării supraconductoare, dar nu la orice

valoarea a densității de curent. Astfel, de exemplu în figura 1.6 se dă modul de variație al densității critice de curent (raportată la întreaga secțiune, supraconductor plus material de bază) în funcție de cîmpul magnetic critic exterior, la 4,2 K, pentru supraconductorul NICHAX FX 461 produs de IML-Birmingham (Anglia). Acesta este realizat din 61 filamente de NbTi înglobate într-o

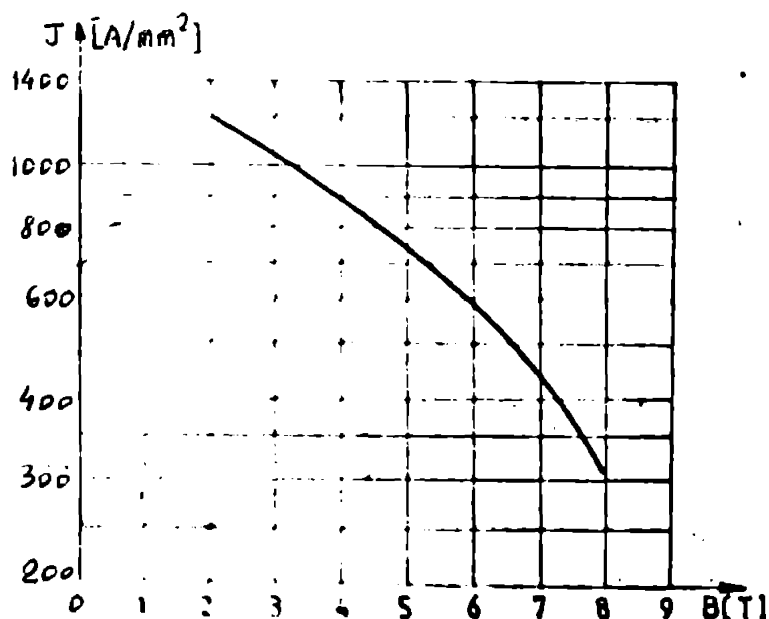


Fig. 1.6. Variația densității critice de curent funcție de cîmpul magnetic la supraconductorul NICHAX FX 461

matrice din cupru cu diametrul de 0,5 mm și avînd un raport Cu/NbTi = 1,35:1. Se menționează că în cazul cablurilor supraconductoare destinate bobinelor de dimensiuni mari, raportul "material de bază/supraconductor" are valori mari, chiar peste 10:1, astfel încît densitatea globală de curent este mult mai mică față de cea din filamentele supraconductoare. De asemenea, atunci cînd materialul supraconductor este folosit

la realizarea unei bobine, densitatea critică de curent este sensibil redusă față de cazul unui eșantion din materialul respectiv. Aceasta în principal din cauza solicitărilor mecanice din timpul bobinării precum și condițiilor mai dificile de evacuare a căldurii. Cu toate acestea reducerea la supraconductoarele de cîmpuri înalte se pot realiza densități globale de curent (raportate la întreaga suprafață transversală) de ordinul sutelor de A/mm².

Este important de relevat faptul că la cîmpuri magnetice puternice valoarea densității de curent este limitată și cîtorva terțelor locale $\vec{F}_v = \vec{J} \times \vec{B}$ extrem de mari, care impun sisteme de consolidare pretențioase. Astfel dacă la bobinele convenționale de ordinul de mărime al acestor forțe este $F_v \approx 10^6 \text{ N/m}^3$, la bobinele supraconductoare acesta este de $F_v \approx 10^9 \text{ N/m}^3$ (la $J = 100 \text{ A/mm}^2$ și $B = 10 \text{ T}$).

În practică se folosesc și așa numitele sisteme hibride care reprezintă combinații de bobine ortogenice și supraconductoare și se folosesc îndeosebi în situațiile în care sînt necesare cîmpuri magnetice care depășesc cîmpul magnetic critic al

materialului supraconductor disponibil. In astfel de cazuri bobinele din zona de cimp intens se realizeaza in varianta criogenica, iar cele din zona de cimp mai redus (sub cimpul critic) se realizeaza in varianta supraconductoare. Soluția este folosita frecvent in laboratoarele de campuri magnetice foarte puternice [16,88].

1.1.4. Aspecte privind menținerea temperaturii criogenice

Altul spectacol realizat in domeniul bobinelor pentru campuri magnetice puternice prin realizarea bobinelor criogenice și supraconductoare, presupune depășirea unor dificultăți tehnologice care nu apar la cele convenționale. Acestea sunt legate de obținerea unor materiale cu parametri superiori la temperaturi joase și de necesitatea realizării unui sistem de răcire capabil să mențină temperatura scăzută. Acest sistem conține: un criostat (vas dezar) in care se introduce bobina, agentul de răcire sub formă lichifiată, agregatul care lichidizează agentul de răcire, precum și o serie de aparate de reglare și măsură pentru temperaturi criogenice. Se pune ca urmare importanta realizarea unei bune izolații termice față de mediul ambiant care să asigure un flux termic redus spre interiorul criostatului. In caz contrar va fi necesar un volum mare de agent de răcire și o putere mare consumată pentru răcire.

Costul întregului sistem de răcire este de regulă de câteva ori mai mare decât al bobinei, iar refrigeratorul necesită o putere de 700 - 1000 W pentru evacuarea unei puteri de 1 W de la temperatura de 4,2 K [10,90]. Cu toate acestea este demonstrat teoretic și practic ca bobinele criogenice și încheșele cele supraconductoare asigură cheltuieli de exploatare mai reduse decât cele convenționale. In unele cazuri chiar și investițiile inițiale pot fi mai reduse datorită micorării substanțiale a ponderului și greutateii.

1.2. Aspecte de utilizare ale bobinelor pentru campuri magnetice puternice

Aplicațiile tehnice in care se folosesc bobine de cimp magnetic puternic sunt de o mare diversitate, ele intervenind in domenii legate de producerea și utilizarea energiei electrice, fizica energiei înalte, industria mineralului, transporturi, medicină, biologie, ș.a. [17,18,37,70,75,83,88,109,119,124,138].

Pentru a avea o imagine a diversității acestor aplicații, se revine in continuare într-o formă succintă principalele domenii in care intervin ele.

a) Bobine de mici dimensiuni necesite ca unelte de cercetare

in ramurile tradiționale ale fizicii, în biologie, medicină, etc. Se menționează în literatură [18,50,66] folosirea unor cimpuri magnetice de 10-15 T la spectroscopia biomoleculilor, iar în medicină se fac experiențe privind regenerarea țesuturilor în câmp magnetic, tratarea unor tipuri de cancer, veniculararea unor corde prin interiorul vaselor sanguine etc. Astăzi se ține seama pentru cimpuri magnetice puternice, aceste bobine să fie realizate în varianta supraconductoare, cel mai simplu fiind realizarea lor sub forma de solenoidi supraconductori. Tencina realizării acestora pentru cimpuri magnetice de 10-15 T este puțin la pământ pe plan mondial. Astfel se menționează că în 1979 existau numai în URSS un număr de 70 instituții care dispuneau de solenoidi supraconductori fabricați la Moscova [130].

b) Bobine folosite în fizica energiei înalte înlocuiesc pentru iontiferice și analizarea interacțiunilor dintre particulele elementare (cancer cu 0,10); selecția, focalizarea și ghidarea fasciculelor de microparticule; accelerarea particulelor elementare; reacțiile de fuziune de tip tokamak. Caracteristic pentru acestea este volumul mare al zonei de câmp magnetic intens și de mare accesibilitate uriașe ale bobinelor. Pe plan mondial există realizări în toate variantele (convenționale, criogenice și supraconductoare) cu tendințe spre cele criogenice și supraconductoare.

c) Bobine pentru generatoare mari, care la cimpuri magnetice înalte și volum mare al câmpului de conversie pot avea avantajele mari în combinație cu un turbogenerator, un generator sau supraconductor poate atinge o mărime a randamentului global de conversie a energiei de la 40% la 46-53%, [92] reducându-se substanțial și poluarea mediului ambiant [110].

Având în vedere volumul mare al câmpului de conversie și nivelul cimpului magnetic necesar în acest caz [21,92,109] rezultă că varianta economică de realizare este cea supraconductoare. Realizările în varianta convențională (din anul 1900) au fost utile doar pentru experimente în domeniul conversiei mari. Din jurul anului 1970 s-au realizat o serie de modele experimentale în varianta supraconductoare [10,21,50,53,61,89,92,121,123] care au demonstrat posibilitatea producerii energiei electrice prin conversie mare în condiții practice.

d) Abia pentru mașinile electrice rotative la care în varianta convențională s-au atins practic limitele legate de pierderile mecanice și termice, în special din cauza gazelelor și greutateilor mari. Repetitivitatea acestor limite se poate realiza prin folosirea bobinelor supraconductoare care odată făcând posibilitatea reducerii greutateii de aproximativ 3 ori [57], în a măriri puterilor ulterioare. Se-

torită dificultăților ce apar în cazul folosirii supraconductoarelor în regim variabil, în stadiul actual se preconizează folosirea bobinelor supraconductoare în sistemul de excitație al mașinilor electrice, ceea ce delimitază aria tipurilor de mașini electrice cu înfășurări supraconductoare la : mașinile sincrone, mașinile de c.c. homopolare și heteropolare [9,23,99]. Avantajele acestor mașini legate de eliminarea fierului, reducerea substanțială a gabariturii, mărirea tensiunii nominale, îmbunătățirea randamentului, devin deosebit de interes doar la puteri unitare mari [9,32,99]. Astfel mașinile sincrone cu excitație supraconductoare devin competitive cu cele convenționale la puteri unitare peste 500 MVA în cazul unei perechi de poli și respectiv 1000-1500 MVA în cazul a două perechi de poli. Realizarea unor astfel de generatoare electrice periate și mărirea randamentului mașinii electrice cu 0,5% [9,37] ceea ce conduce la importante economii.

Mașinile de c.c. homopolare se pretează foarte bine realizării în varianta supraconductoare, singura problemă deosebită constituind-o colectarea unor curenți electricei de valori mari [4,36,73,86]. Cercetările actuale urmăresc obținerea unor perii colectoare care să permită densități de curent mai mari, folosirea contactului cu metal lichid și mărirea tensiunii prin segmentarea inelului.

Există și domenii unde deși nu este vorba de puteri unitare limitu, se impun mașini electrice cu gabarite mici și greutate redusă. Este cazul navelor maritime și mai ales al celor spațiale, situații în care folosirea mașinilor electrice cu înfășurări supraconductoare reprezintă o soluție.

e) Bobine pentru sustentare magnetică. Legea principiul levitației magnetice care se bazează pe repulsia de intervale în cazul cimpurilor magnetice cu același sens, este cunoscut de multă vreme (1908), aplicațiile practice importante sînt posibile doar la cimpuri magnetice puternice. Domeniul de aplicare cel mai important pare a fi în transportul de mare viteză (>300 km/h) caz în care suspenția pe roți nu mai este posibilă [64,86].

f) Bobine pentru stocarea energiei, care prezintă avantaje față de alte soluții de stocare pentru timp de descărcare de ordinul 10^{-3} - 10^{-5} s [10,58]. Aceste bobine supraconductoare [10, 28,86,137] deosebite în cazul lor: energia poate fi stocată un timp practic nelimitat și fără pierderi; încărcarea poate fi lentă, încît se utilizează surse de alimentare simple și ieftine; gabaritul și greutatea nu sînt excesiv de mari, datorită densităților mari de energie la cimpurile magnetice puternice ce se pot realiza.

Există numeroase alte domenii în care se folosesc bobine de cimp

purii magnetice puternice. Astfel se amintesc: separarea magnetică în industria mineritului, desalinizarea apei marine, tratarea magnetică a apei poluate [38], și altele.

Actualmente există numeroase laboratoare de cercetare care dispun de instalații capabile să producă câmpuri magnetice în domeniul 10-30 f, înosebi în țările dezvoltate tehnologic [18,88, 124]. Există de asemenea situații în care unele laboratoare au renunțat să mai folosească bobinele făcute cu apă de mare și să se înlocuiască cu cele supraconductoare, fiind mai economice. Aceste, deși respectivele sisteme convenționale reprezintă investiții mari și din punct de vedere tehnic se puteau folosi în continuare.

CAPITOLUL 2

Metode de calcul al cimpului magnetic si al fortelor electromagnetice la bobinele criogenice si supracon- ductoare

Importanța determinării cimpului magnetic și a forțelor care se manifestă în sistemele fizice purtătoare de curenți electrice este evidentă atât în faza de proiectare cât și de exploatare a acestora. Din punct de vedere al calculului se disting de obicei două etape:

- evaluarea cuilor și aproximativă sau numai în anumite puncte particulare a cimpului magnetic, astfel că încă de la început în faza de proiectare să se poată alege soluții tehnice adecvate. Metodele de calcul folosite în acest scop trebuie să fie simple și expeditiv, în cazul lor adunându-se de obicei importante simplificări;

- determinarea mai exactă a cimpului magnetic și respectiv a forțelor electromagnetice pentru ca într-o etapă avansată de proiectare să se definitiveze soluțiile tehnice acceptate, sau să se aprecieze performanțele în diferite condiții de funcționare a unor sisteme realizate practic. Metodele de calcul folosite în aceste scopuri trebuie să permită obținerea unor rezultate cât mai exacte, sint desigur mai complexe și laborioase.

În acest capitol se prezintă unele metode de calcul vizând unele aspecte menționate mai sus și în strânsă legătură cu sistemele fizice avute în vedere ținând seama de particularitățile acestora.

2.1. Unele particularități specifice sistemelor criogenice și supraconductoare

Facind abstracție de deosebirile tehnologice legate îndeosebi de tehnica temperaturilor joase, sistemele criogenice și supraconductoare prezintă sub aspectul calculului electromagnetic unele particularități referitoare în principal la densitatea de curent, folosirea materialelor feromagnetice și bineînțeles menținerea stării de supraconducție în cazul sistemelor supraconductoare.

2.1.1. Particularități legate de calculul electromagnetic al bobinelor criogenice și supraconductoare

Dueta cu scăderea rezistivității la temperaturi joase se poate mari densitatea de curent atât la bobinele criogenice cât mai ales la cele supraconductoare, cu condiția ca sistemul de răcire să poată asu-

gura menținerii temperaturii scăzute. Creșterea densității de curent oferă posibilitatea reducerii secțiunii transversale a cailor de curent astfel încât în unele situații, bobinele pot fi echivalente prin puteri de curent sau chiar prin conductoare filiforme, ceea ce simplifică problema calculului electromagnetice.

O alta particularitate rezultă din faptul că bobinele criogenice și supraconductoare sînt realizate în mod obișnuit pentru câmpuri magnetice puternice. În această situație, spre deosebire de cazul sistemelor convenționale de producere a câmpului magnetic în care materialele feromagnetice cîștigă un rol esențial în obținerea unui anumit nivel și o anumită distribuție spațială a câmpului magnetic, la sistemele criogenice și supraconductoare este insuficientă folosirea materialelor feromagnetice pentru producerea câmpului magnetic, din cauza saturății pronunțate la câmpuri magnetice puternice. Absența materialului comutator la magnetizarea în mod continuu, iar energia necesară disponibilă se poate folosi în alte scopuri. Din punct de vedere al calculului electromagnetice, absența materialului permite tratarea problemei ca o problemă în mediu omogen și liniar (μ_0), ceea ce constituie o simplificare majoră.

Pe de altă parte, valoarea maximă a câmpului magnetic în zona utilă, precum și câmpuri magnetice relativ mari în zonele din apropierea bobinei care produce câmpul magnetic, pentru protejerea aparatului de măsură și a altor instalații conexe se impun în unele cazuri necesari de ecranare magnetică. În această situație, materialele feromagnetice menținute în scopul obținerii câmpului magnetic se vor folosi în scop de ecranare și astfel vor complica problema calculului electromagnetice mai ales dacă acestea nu pot fi construite liniare.

În cazul sistemelor supraconductoare se mai relevă importanța deosebită privind funcționarea acestora astfel încât să nu se depășească parametrii critici, cîmă dispăre starea supraconductoare. Din punct de vedere al calculului electromagnetice, aceasta înseamnă că la o anumită densitate de curent este necesar să se cunoască valoarea maximă a inducției magnetice în bobina ce produce câmpul magnetic și această valoare să fie sub câmpul critic al materialului supraconductor ($B_{max} < B_0$). Pe lângă importanța cunoașterii acestei valori maxime și aici s-a dezvoltat o metodă de determinare a sa, ce mai relevă ca proiectarea trebuie făcută astfel ca B_{max} să rezultă cât mai redus posibil. Această decizie la valori mari ale inducției magnetice sînt admise densități de curent reduse și cu o mare creștere volumul de material supraconductor necesar pentru obținerea câmpului magnetic impus în zona utilă.

2.1.2. Unele cazuri studiate

Pe parcursul elaborării lucrării s-au avut în vedere câteva situații întâlnite relativ frecvent în practică, izvorite și din necesitatea rezolvării unor teme de cercetare contractuală [10,11,12, 32,33,34,35,36,47] în care a fost angajat și autorul. Se menționează astfel obiceiurile pentru generatoarele MAB, bobințele de excitație ale generatoarelor sincrone, diferite tipuri de solenoizi destinați fie unor scopuri de reactor, fie excitației mașinilor electrice unipolare, în toate acestea existând problemele realizării lor în variante criogenice sau supraconductoare. Desigur că în situații diferite se pretzau diferite metode pentru determinarea câmpului magnetic și de aceea sub acest aspect principalele probleme abordate în baza se pot încadra într-unul din următoarele cazuri:

- conductoare cu formă geometrică complicată (oarecare) care intervin în cazul bobinelor pentru generatoarele MAB și în alte situații când nu se poate neglija influența capetelor de bobine;
- conductoare rectilinii, paraleli și de lungime mare, întâlnite la generatoarele MAB cu canal de secțiune constantă și lungime mare, dar și altele la mașinile sincrone de mare putere;
- conductoare dispuse în forma de spire circulare coaxiale (sisteme de rotație), întâlnite la diferite tipuri de solenoizi printre care și la excitația mașinilor unipolare.

2.1.3. Ipoteze de calcul uzuale

În fiecare din cazurile abordate se au în vedere anumite ipoteze simplificatoare, unele dintre acestea fiind valabile în majoritatea situațiilor. Aceste ipoteze de calcul au un caracter general sînt:

- regimul se consideră staționar;
- în calculul câmpului magnetic se lucrează cu o densitate echivalentă de curent obținută prin raportarea curentului total (solenației la întregul său, relația transversală fiind suma în acest scop de suprafața transversală a cablului supraconductor (material de bază plus supraconductor) și de factorul de umplere la realizarea bobinajului. Această densitate de curent se consideră constantă cel puțin pe porțiuni;
- integralul vectorial se consideră liniar și ozoget din punct de vedere magnetic, cu excepția situațiilor în care se folosesc ecrane feromagnetice. Avînd în vedere că ecranarea magnetică se face mai ales la câmpuri magnetice puternice, rezultă că se impune în aceste situații să se țină seama mai ales de neomogenitatea câmpului și de neliniaritatea mediului.

2.2. Conductoare de formă complicată situate într-un mediu omogen și liniar

În situația în care conductoarele parcurse de curenți au o formă geometrică complicată nu se recomandă căutarea unei soluții analitice a problemei de câmp magnetic. Chiar dacă aceasta se poate găsi ea va fi greu de folosit în evaluările numerice. Dacă conductoarele parcurse de curenți ocupă un domeniu limit, câmpul magnetic se poate determina fie prin integrarea numerică a relației lui Biot-Savart-Laplace, fie pe baza potențialului magnetic vector.

2.2.1. Determinarea câmpului magnetic prin integrarea numerică a relației lui Biot-Savart-Laplace

Se presupune că se consideră o distribuție de volum a curentului electric (fig.2.1), în ipotezele menționate anterior inductia magnetică într-un punct exterior P se determină pe baza relației cunoscute:

$$\vec{B} = \frac{\mu_0}{4\pi} \int_V \frac{\vec{J} \times \vec{R}}{R^3} dv \quad (2.1)$$

Integrarea referindu-se la întreg domeniul parcurs de curenți.

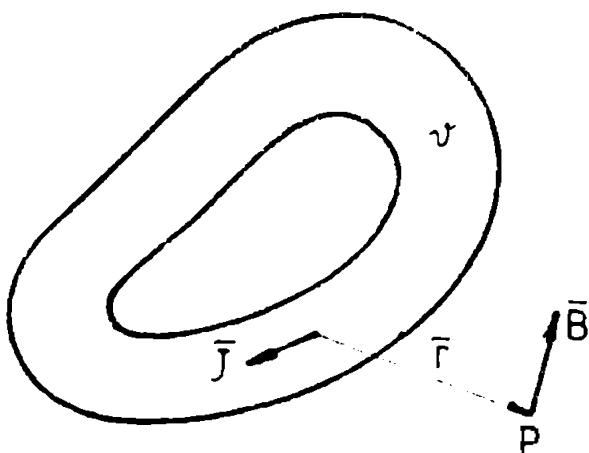
În cazuri particulare în care există anumite simetrii este posibilă rezolvarea analitică a integralei de volum din relația (2.1), obținându-se expresia inductiei magnetice pentru cazul considerat.

Într-un caz general însă, când geometria conductoarelor de curenți este complicată, această integrare analitică nu mai este posibilă și se recomandă utilizarea unor metode numerice de integrare.

Un astfel de procedeu a fost elaborat de autor [10] și constă din următoarele etape:

- se descompune domeniul parcurs de curenți într-un număr limitat N_g de tuburi de curenți, de suprafață transversală ΔS (fig.2.2). Dacă N_g este

Fig.2.1. Explicația privind aplicarea relației 2.1



mare, rezultă ΔS mic astfel încât domeniul parcurs de curenți este echivalent prin N_g spire care în calcul pot fi considerate filiforme și parcurse fiecare de un curenți $\Delta I = J \Delta S$. Se precizează că aceste spire prin care s-a echivalat domeniul parcurs de curenți în general nu reprezintă spire reale care există în sistemul fizic considerat. Se poate deci vorbi pentru calcularea simplă de spire, înțelesul ei este de spire de calcul, sau spire echivalente;

- se aproximează fiecare spira filiformă cu un curenți poligonal cu N_l laturi (fig.2.3) astfel încât aproximarea să fie cât mai

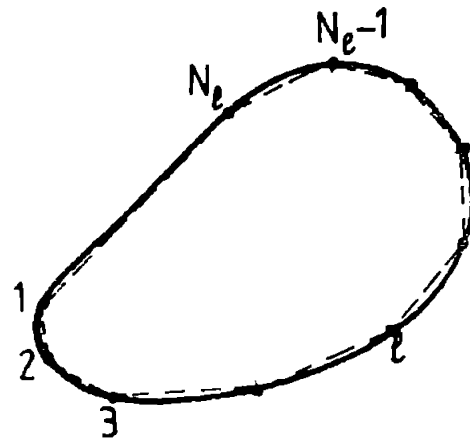
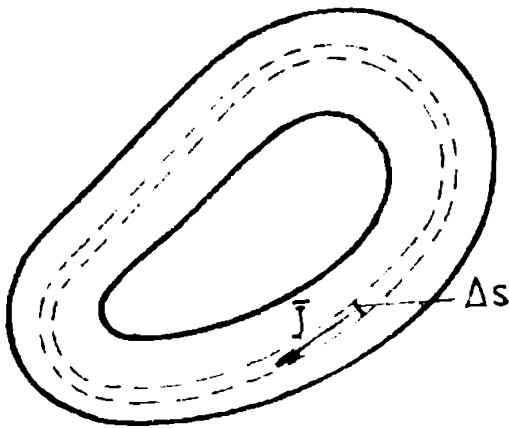


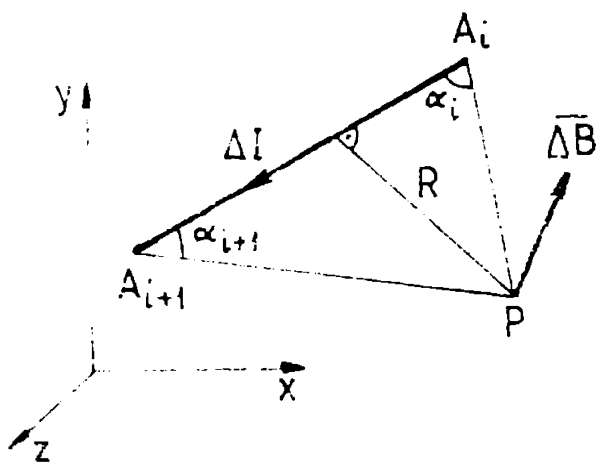
Fig. 2.2. Descompunerea domeniului în epile de calcul

Fig. 2.3. Aproximarea spirei de calcul printr-un contur poligonal

Amplasarea acestor epile presupune înlocuirea cu numărul de laturi N_e ale fig. 2.3, și înlocuirea cu virfurile conturului poligonal să se aleagă în poziții convenabile;

se însumează contribuțiile tuturor laturilor din cele N_e epile echivalente, obținându-se câmpul rezultat.

Pentru o latură rectilinie parcursă de curentul ΔI aplicând relația 2.1 rezultă expresia inducției magnetice



$$\Delta \vec{B} = \mu_0 \frac{\Delta I}{4\pi R^2} (\cos \alpha_i + \cos \alpha_{i+1}) \vec{u} \quad (2.2)$$

în care scrierile au semnificația din figura 2.4, iar \vec{u} este versorul direcției lui $\Delta \vec{B}$.

Introducând un factor geometric $G = (\cos \alpha_i + \cos \alpha_{i+1})/R^2$, relația (2.2) se scrie în formă

$$\Delta \vec{B} = 10^{-7} G \Delta I \vec{u} \quad (2.3)$$

Cu aceste, câmpul magnetic rezultat devine

$$\vec{B} = \sum_1^{N_s} \sum_1^{N_l} \Delta \vec{B} \quad (2.4)$$

Însușirea înclucă-se desigur pe com-

Fig. 2.4. Câmpul unei laturi rectilinie parcursă de curent

ponente într-un sistem de coordonate. Considerând sistemul cartezian, rezultă

$$B_x = \sum_1^{N_s} \sum_1^{N_l} 10^{-7} G_x \Delta I; \quad B_y = \sum_1^{N_s} \sum_1^{N_l} 10^{-7} G_y \Delta I; \quad B_z = \sum_1^{N_s} \sum_1^{N_l} 10^{-7} G_z \Delta I \quad (2.5)$$

în care: $G_x = G \vec{i} \cdot \vec{u}$; $G_y = G \vec{j} \cdot \vec{u}$; $G_z = G \vec{k} \cdot \vec{u}$.

În cazul particular în care toate spirele elementare sînt parcurse de același curent $\Delta I = I/N_e$, relațiile (2.5) pot fi puse sub

fora:

$$B_x = 10^{-7} G_{tx} I; \quad B_y = 10^{-7} G_{ty} I; \quad B_z = 10^{-7} G_{tz} I \quad (2.6)$$

in care

$$G_{tx} = \frac{1}{R} \sum_1^{N_s} \sum_1^{N_t} G_{x_i}; \quad G_{ty} = \frac{1}{R} \sum_1^{N_s} \sum_1^{N_t} G_{y_i}; \quad G_{tz} = \frac{1}{R} \sum_1^{N_s} \sum_1^{N_t} G_{z_i} \quad (2.7)$$

Cunoscind componentele cimpului rezultat (rel. 2.6) se determină și valoarea inducției magnetice în punctul considerat

$$B = 10^{-7} G_t I \quad (2.8)$$

in care

$$G_t = (G_{tx}^2 + G_{ty}^2 + G_{tz}^2)^{1/2} \quad (2.9)$$

Desigur că aplicarea relațiilor (2.5) sau (2.6) pentru determinarea inducției magnetice este avantajoasă doar cu folosirea calculatoarelor electronice. În acest scop, a fost conceput și realizat un program de calcul care permite determinarea inducției magnetice în orice punct dacă se cunosc pozițiile vîrurilor spirelor poligonale. Ordinea de principiu a acestui este prezentată în figura 2.7 (pag. 38).

La rezolvarea numerică a problemei, intervin unele aspecte cu caracter calitativ, în special datorate preciziei de calcul și timpului de calcul necesar, ținînd în seama viteza de rotunjire introdusă de circuitul de calcul, precizia este cu atât mai mare cu cât n_s și n_t sînt mai mari, aceasta conducînd însă la creșterea timpului de calcul. Se impune prin urmare să se stabilască anumite criterii de alegere a lui n_s și n_t , astfel încît să se obțină precizia cerută în cel mai scurt timp de calcul cât mai redus. În acest sens se prezintă în continuare unele recomandări privind optimizarea spirei filiforme și a numărului de spire echivalente.

β. Pentru a estima rotund în care alegerea conturului de aproximare a spirei afectează precizia de calcul, se consideră o spirală circulară de raza a paralelă cu axelele Ox și Oy în punctul de calcul este situat la distanța relativ mare de conturul spirei, aceasta se aproximează cu un poligon regulat avînd n_t laturi. Considerînd vîrurile poligonului pe cerc (înscris în cerc, fig. 2.8), la limita pentru $n_t \rightarrow \infty$ spirală circulară și cel poligonul coincidă și produc același cîmp magnetic. Dacă n_t este mic, se vede evident o eroare, care se estimează pentru puncte situate pe axa Oz .

Rezolvînd relația (2.1) pentru un punct situat pe axa spirei circulare la distanța x , se obține:

$$B_0 = \mu_0 \frac{I n_t^2}{2x} \quad (2.10)$$

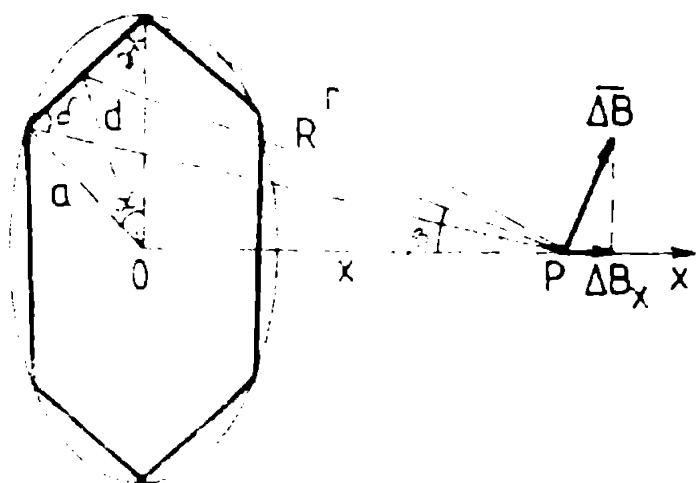


Fig. 2.00. Spira circulară și spira echivalentă (poligon)

Pentru o latură a poligonului regulat se aplică relația (2.2) și datorită simetriei, prin însumarea contribuțiilor celor \$N_1\$ laturi se obține câmpul rezultat cu orientarea axei spirii:

$$\bar{B}_p = \sum_1^{N_1} \Delta \bar{B}_p = N_1 \cdot \mu_0 \frac{I}{4\pi R} 2 \cos \delta \sin \beta \bar{1} \quad (2.11)$$

cu notațiile din figura 2.06 se poate scrie:

$$a = R \sin \delta; \quad \cos \delta = \frac{a}{R} \cos \gamma$$

$$\sin \beta = \frac{a}{R} = \frac{a \sin \gamma}{R \sin \delta}$$

$$\gamma = \frac{\pi - \alpha}{2} = \frac{\pi}{2} - \frac{\pi}{N_1} = \frac{N_1 - 2}{2N_1} \pi$$

și rezultă:

$$B_p = \mu_0 I \frac{I_0^2 \sin 2\gamma}{4\pi R^3 \sin^2 \delta} \quad (2.12)$$

Erora relativă care se face, în înlocuirea spirii circulare cu un poligon regulat este:

$$\epsilon = \frac{B_p - B_c}{B_c} = \frac{N_1}{2\pi} \frac{\sin 2\gamma}{\sin^2 \delta} - 1 = \frac{\sin 2\gamma}{\alpha \sin^2 \delta} - 1 \quad (2.13)$$

deci:

$$\sin^2 \delta = \frac{x^2 + a^2 \sin^2 \gamma}{x^2 + a^2} = \frac{x_r^2 + \sin^2 \gamma}{x_r^2 + 1}$$

se observă că \$\epsilon\$ depinde de numărul de laturi \$N_1\$ și de distanța relativă \$x_r = x/a\$. În tabelul 2.01 se dau valorile acestei erori în funcție de \$N_1\$ și de \$x/a\$, iar în figura 2.07 aceste erori sînt reprezentate grafic.

Într-un calcul preciziei de calcul fără exagerată a numărului de laturi se procedează ca spira poligonală să fie înscrisă într-un cerc de raza \$a' = K_1 a\$ (fig. 2.00), adică vîrful poligonului să nu fie înscris pe spira circulară, răsucirea factorului de corecție se poate determina cu diferite condiții impuse, cum ar putea fi:

- spira circulară și cea poligonală să aibă aceeași circ. magnetic în centru;
- perimetrul poligonului să fie același cu lungimea spirii circulare;
- suprafețele celor două spiri să fie egale.

Fig. 2.1. Eroarea relativă datorată înlocuirii spirii
cerculare cu un poligon regulat înscris în cerc

x/a	$\epsilon \times 10^4$			$-\epsilon \times 10^4$					
	0	0,25	0,5	0,75	1	1,5	2	3	4
2	6540	4079	337	2046	3284	4024	5133	5530	5074
4	2732	2027	610	630	1512	2470	2920	3299	3441
6	1627	614	337	133	343	1041	1293	1313	1607
8	46	442	150	63,7	200	372	723	603	523
10	343	278	129	30,2	170	352	403	33	332
12	233	132	50	23	120	230	321	300	423
15	103	34,3	40,4	3,04	11,9	110	131	172	104
20	37,3	41,3	22,0	4,00	20,3	62,7	00	37	104
30	30,7	30,2	14,0	3,03	10,4	35,3	31,2	62,1	60,0
40	23,3	20,3	10,1	2,03	12,0	27,4	33,0	43,1	40,3
50	20,0	10,3	6,21	1,03	10,3	22,2	20,0	34,3	37,3
60	14,3	11,0	3,7	1,17	7,17	13,4	20	24,3	20
80	3,14	1,33	3,03	0,13	4,33	3,00	12,0	13,3	10,7
100	0,34	1,22	2,33	0,32	3,13	0,33	0,03	10,0	11,0
120	3,03	3,33	1,01	0,34	2,04	4,33	3,70	6,32	7,33
150	1,27	1,07	0,3	0,13	1,10	2,47	3,21	3,30	4,10
180	0,33	0,01	0,33	0,11	0,34	1,12	1,43	1,73	1,00
200	0,23	0,20	0,03	0,02	0,13	0,28	0,30	0,44	0,47

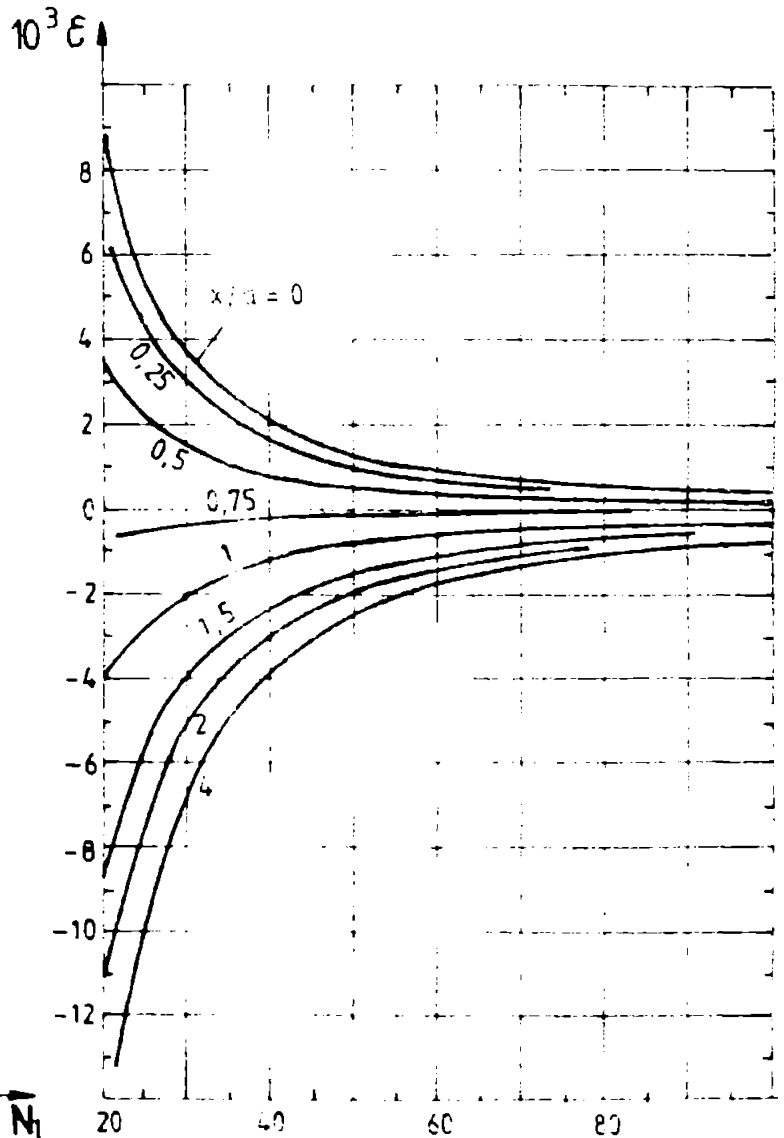
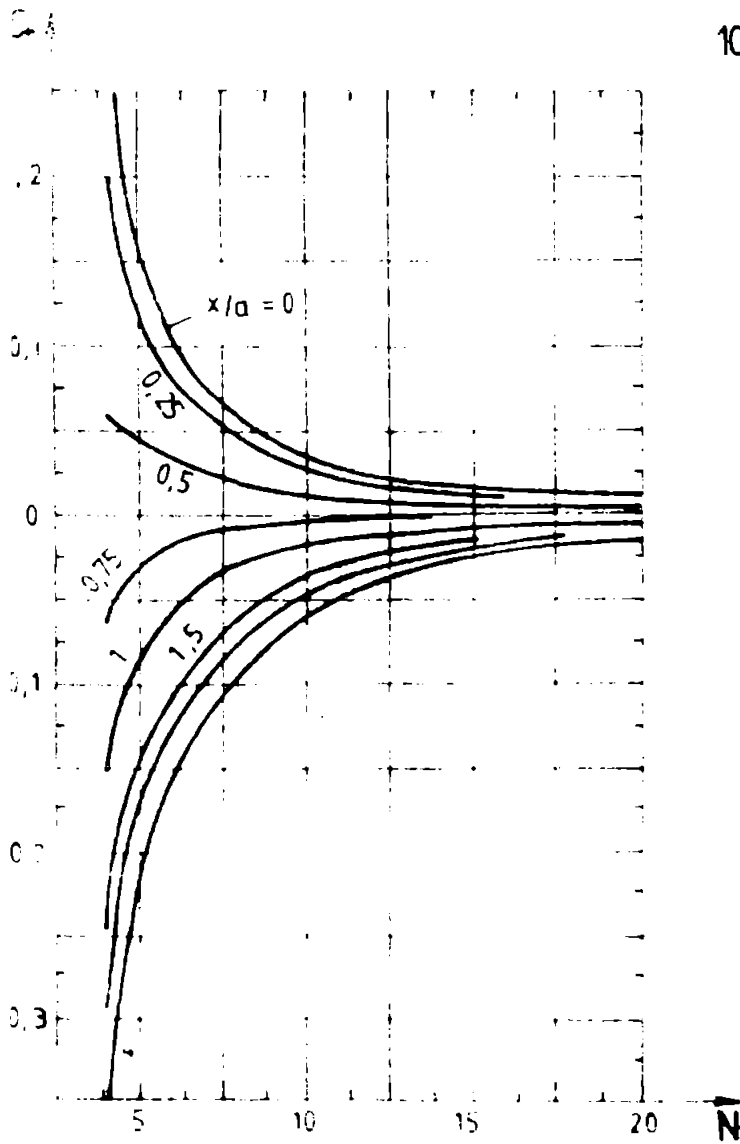


Fig. 2.2. Eroarea de calcul al câmpului magnetic pe axa spirii
cerculare, datorată aproximării acesteia cu un poligon

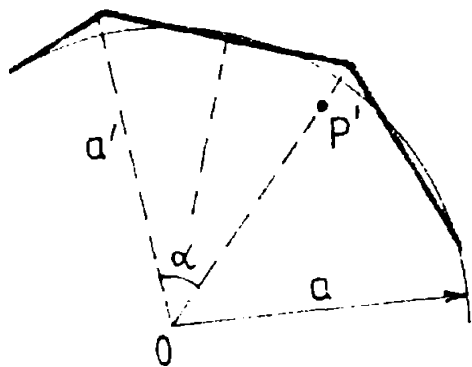


Fig. 2.8. Spira circulară și spira scvialentă coecentă

din condiția egalității câmp magnetic în centru și folosind relațiile (2.10) și (2.12) rezultă:

$$\mu_0 \frac{I}{2a} = \mu_0 \frac{I}{\alpha a^2} \tan \frac{\alpha}{2}$$

$$f_{01} = \frac{a'}{a} = \frac{2}{\alpha} \tan \frac{\alpha}{2} \quad (2.14)$$

din condiția egalității perimetrului rezultă:

$$\alpha \cdot a = 2a' \sin \frac{\alpha}{2}$$

$$f_{02} = \frac{a'}{a} = \frac{\alpha}{2 \sin \frac{\alpha}{2}} \quad (2.15)$$

din condiția egalității suprafețelor rezultă:

$$\frac{1}{2} \alpha a^2 = a' \sin \frac{\alpha}{2} \cdot a' \cos \frac{\alpha}{2} = \frac{a'^2}{2} \sin \alpha$$

$$f_{03} = \frac{a'}{a} = \sqrt{\frac{\alpha}{\sin \alpha}} \quad (2.16)$$

Valorile factorilor de corecție funcție de numărul de laturi, respectiv de unghiul în centru α , sînt date în tabelul 2.2. Se constată că f_{01} și f_{03} coincid practic pentru $N_1 > 10$. În figura 2.9 se prezintă grafic f_{01} și f_{02} .

Tabelul 2.2. Valorile factorilor de corecție a razei spirii circulare

N_1	α (rad)	f_{01}	f_{02}	f_{03}
3	$2\pi/3$	1,074	1,209	1,222
4	$\pi/2$	1,213	1,111	1,223
6	$\pi/3$	1,1026	1,0472	1,0990
8	$\pi/4$	1,0748	1,0262	1,0739
10	$\pi/5$	1,07425	1,01664	1,05391
12	$\pi/6$	1,02349	1,01151	1,02333
18	$\pi/9$	1,01030	1,00907	1,01024
24	$\pi/12$	1,00772	1,00280	1,00774
30	$\pi/15$	1,007071	1,00163	1,003607
36	$\pi/18$	1,002746	1,001270	1,002744
40	$\pi/20$	1,002061	1,001029	1,002060
48	$\pi/24$	1,001430	1,000714	1,001430
60	$\pi/30$	1,000914	1,000477	1,000914
72	$\pi/36$	1,000632	1,000317	1,000632
90	$\pi/45$	1,000400	1,000203	1,000400

Pentru spira de rază $a' = f_{03} \cdot a$, expresia (2.12) devine:

$$B'_p = \mu_0 \frac{N_1 I a'^2 \sin 2\gamma}{4\pi(a'^2 + a^2)^{1/2} (a^2 + a'^2 \sin^2 \gamma)} \quad (2.17)$$

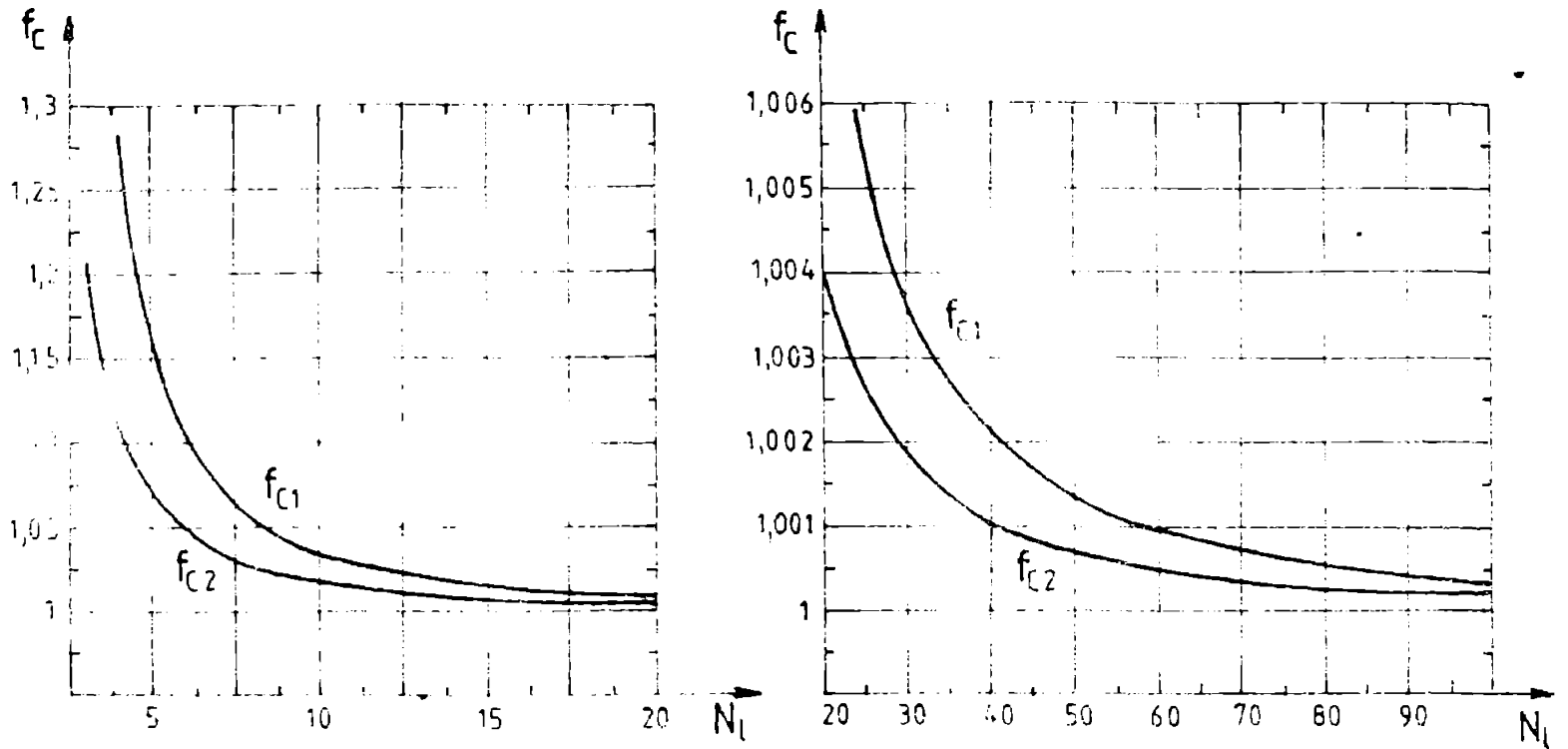


Fig. 2.9. Valorile factorului de corecție a razei în funcție de numărul de laturi ale poligonului

În eroarea ε' devine:

$$\varepsilon' = \frac{R_0' - R_0}{R_0} = \frac{N_l r_0^2 (1 + x_r^2)^{3/2} \sin 2\gamma}{2\pi (f_{c1}^2 + x_r^2)^{1/2} (x_r^2 + f_{c2}^2 \sin^2 \gamma)} - 1 \quad (2.10)$$

În tabelul 2.3 se prezintă eroarea ε care se obține prin înlocuirea factorului de corecție f_{c1} și se constată că pentru un număr relativ mic de laturi, $N_l = 18$, se obține o precizie la fel de bună ca și pentru $N_l = 360$ laturi în cazul în care nu se folosește acest factor de corecție.

Tabelul 2.3. Eroarea datorată înlocuirii spirii circulare cu un poligon înscris într-un cerc cu rază corectată

r/a N_l	0	0,25	0,5	0,75	1	1,5	2	4
		$-\varepsilon' \cdot 10^4$				$\varepsilon' \cdot 10^4$		
3	0	77,8	203,5	275,6	165,4	117,1	403,8	979,2
4	0	22,6	56,2	68,6	42,1	40,9	110,1	250,-
6	0	4,3	10,9	12,3	7,8	7,1	20,1	174
8	0	1,3	3,2	3,4	1,9	2,8	6,89	13,7
10	0	0,52	1,32	1,44	0,84	1,00	2,07	2,30
12	0	0,25	0,63	0,685	0,394	0,414	1,28	0,28
18	0	0,17	0,176	0,00	0,03	0,401	0,024	0,12
24	0	0,015	0,039	0,043	0,024	0,03	0,070	0,127
30	0	0,006	0,016	0,017	0,009	0,014	0,032	0,007

Se consideră în continuare cazul în care punctul de calcul se află în apropierea centrului spirii ($r' \approx R_0$, 2.0), situație

care intervine la determinarea cimpului magnetic în interiorul bobinajului fie pentru calculul forțelor, fie pentru verificarea parametrilor critici în cazul supraconductoarelor. Pe baza rezultatelor de mai sus se poate aprecia că folosirea factorului de corecție în acest caz conduce la rezultate bune pentru întările relativ îndepărtate de punctul de calcul, însă pentru întările din imediata vecinătate a lui P' , aproximația conturului spirii cilindrice este grosieră și ca urmare eroarea de calcul va fi inacceptabil de mare. Din acest motiv se impune o aproximație mai bună în această zonă, putându-se adopta soluțiile (fig. 2.10):

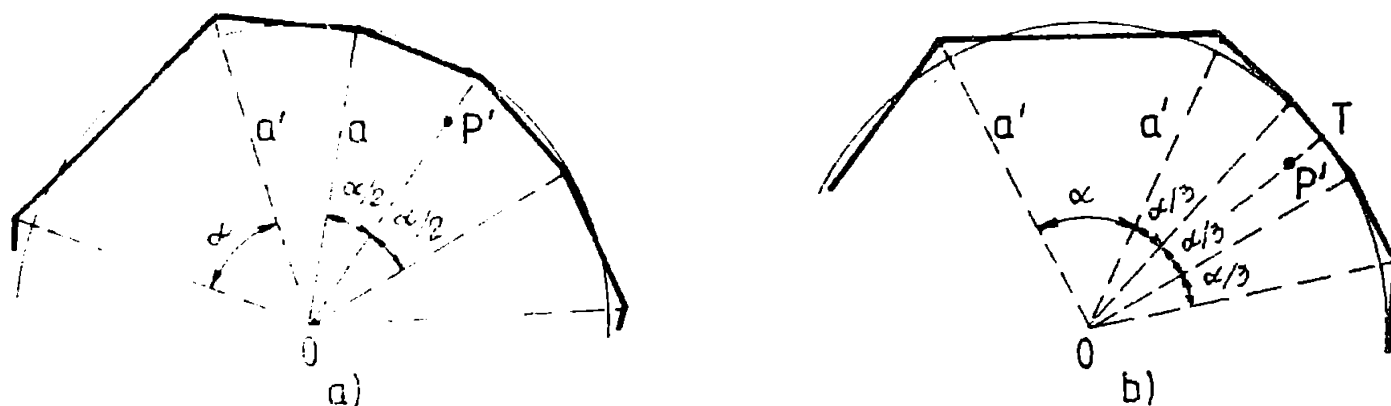


Fig. 2.10. Posibilități de aproximare a spirii pentru puncte situate în apropierea conturului spirii

- divizarea unghiului la centru α în vecinătatea punctului P' și plasarea vîrurilor poligonului pe spira circulară (fig. 2.10 a). Procedeeul poate fi repetat obținîndu-se de o parte și alta a punctului P' unghiurile $\alpha/4$. Prin aceasta, la același unghi α numărul de laturi crește cu 2 respectiv 4, astfel încît se obține $\alpha = 2\pi/(N_1 - 2)$, respectiv $\alpha = 2\pi/(N_1 - 4)$;

- împărțirea în 3 a unghiului la centru în vecinătatea punctului P' și alegerea conturului poligonal astfel încît latura cea mai apropiată de P' să fie tangentă la spira circulară în punctul P' situat pe raza ce trece prin P' (fig. 2.10 b). Prin aceasta numărul de laturi crește cu 2 astfel încît $\alpha = 2\pi/(N_1 - 2)$.

În ambele situații se obține o îmbunătățire substanțială a preciziei de calcul practic fără creșterea numărului de laturi, situație avantajoasă sub aspectul timpului de calcul.

Rezultă așadar că dacă se procedează cu atenție la alegerea conturului poligonal se obține o precizie bună (tab. 2.3) pentru un număr de laturi relativ redus, $N_1 = 20-30$. Acest rezultat se va folosi și în cazul unor spiri cu forme diferite, cînd este mai dificilă introducerea unor curbură exacte privind modul de alegere a conturului poligonal.

8. Aproximarea integralei (2.1) prin suma (2.4) conduce desigur

și la o eroare de calcul datorată alegerii unui număr \$N_s\$ limitat de spire de calcul. Pentru eliminarea acestei erori și pentru a face posibilă unele recomandări privind alegerea numărului de spire, se consideră un conductor cu secțiune dreptunghiulară, secțiunea \$a\$ de lungime \$b\$, parcurs de un curent unitar repartizat pe secțiune. Bara dreptunghiulară se descompune într-un număr \$N_s\$ de bare elementare cu secțiunea \$\Delta S = \Delta a \cdot \Delta b\$ (fig. 2.11), astfel încât \$S = ab = N_s \Delta a \Delta b\$.

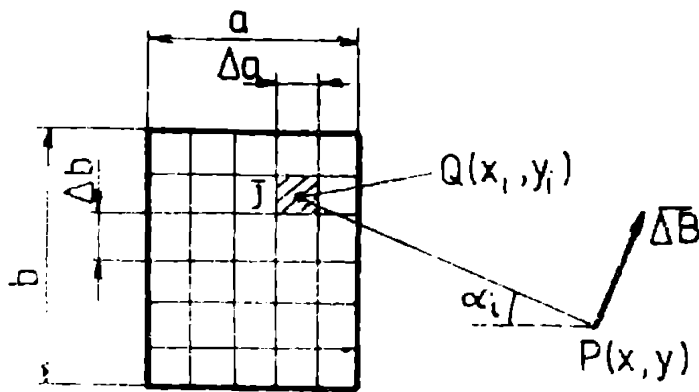


Fig. 2.11. Conductor cu secțiune dreptunghiulară parcurs de curent

Notând cu \$\vec{A}_i\$ inducția magnetică corespunzătoare unei bare elementare

$$\Delta B = \mu_0 \frac{j \Delta S}{2\pi r} = \mu_0 \frac{I}{2\pi r} \quad (2.19)$$

unde \$I\$ este curentul total al barei de secțiune \$S\$, se obțin componentele câmpului rezultat:

$$\begin{aligned} B_x &= \sum_1^{N_s} \Delta B \sin \alpha_i = 10^{-7} G_y I \\ B_y &= \sum_1^{N_s} \Delta B \cos \alpha_i = 10^{-7} G_x I \end{aligned} \quad (2.20)$$

Început în limita pentru \$\Delta a\$ și \$\Delta b\$ foarte mici (\$\rightarrow 0\$) se obține expresia exactă a inducției magnetice:

$$B_{x0} = 10^{-7} G_{x0} I; \quad B_{y0} = 10^{-7} G_{y0} I \quad (2.21)$$

în care:

$$\begin{aligned} G_{x0} &= \frac{1}{2} \left[(x-a) \ln \frac{(x-a)^2 + y^2}{(x-a)^2 + (y-b)^2} + x \ln \frac{x^2 + (y-b)^2}{x^2 + y^2} + \right. \\ &\quad \left. + 2y \operatorname{arctg} \frac{-ay}{x(x-a) + y^2} + 2(y-b) \operatorname{arctg} \frac{a(y-b)}{(y-b)^2 + x(x-a)} \right] \\ G_{y0} &= \frac{1}{2} \left[(y-b) \ln \frac{(x-a)^2 + (y-b)^2}{x^2 + (y-b)^2} + y \ln \frac{x^2 + y^2}{(x-a)^2 + y^2} + \right. \\ &\quad \left. + 2x \operatorname{arctg} \frac{bx}{x^2 + y(y-b)} + 2(x-a) \operatorname{arctg} \frac{-b(x-a)}{(x-a)^2 + y(y-b)} \right] \end{aligned} \quad (2.22)$$

Pentru estimarea erorii rezultate din faptul că \$N_s\$ este limitat, se consideră o bară cu secțiune pătrată și se calculează diferența procentuală de calcul realizat de autor, creșterea

$$\epsilon = \frac{B - B_0}{B_0} \quad (2.23)$$

funcție de N_s și distanța relativă x/a , pentru puncte situate pe arce, $y=ab/2$. Rezultatele sînt prezentate în tabelul 2.4, și în figura 2.12, fiind utile în scopul alegerii unei valori minime pentru N_s , dacă se urmărește obținerea unei precizii impuse într-un anumit punct. În analiza zonalului de variație al acestei erori, s-a stabilit și o relație aproximativă dintre dependența a distanței relative față de numărul de bare elementare, care asigură o eroare $\epsilon < 1\%$:

$$\frac{x}{a} \leq 1 + \frac{1}{N_s} \quad (2.24)$$

Se constată, după cum era de așteptat, că pentru puncte situate în mediul apropiere a barei particulă de curent, se obține o precizie sensibilmente mai bună, este mai ușor de condus la timp mare de calcul. În această situație se recomandă ca secțiunile viciinate Δs să fie mici în apropierea punctului de calcul și mai mari în restul secțiunii barei particulă de curent (fig. 2.13). Se obține în acest mod o precizie de calcul impusă, fără creșterea exagerată a numărului total de bare elementare.

Tabelul 2.4. Eroarea determinată numărului limit de bare elementare

		$\epsilon \times 10^4$										
N_s x/a	1	2.2	3.3	4.4	5.5	6.6	7.7	8.8	9.9	10.10	12.12	
1	1547	-762	345	-377	328	-251	234	-188	182	-151	-125	
1,005	1,500	-725	437	-356	280	-211	189	-149	137	-112	-86,8	
1,015	1427	-649	414	-287	209	-148	121	-92,3	77,6	-61,4	-42,7	
1,03	1318	-573	315	-189	129	-80,7	63	-44,7	33,3	-24,6	-14,1	
1,05	1185	-445	219	-118	70	-42,2	26,6	-16,9	11	-7,24	-3,22	
1,075	1042	-359	140	-65,0	32,7	-17,1	9,07	-5	2,75	-1,37	-0,2	
1,1	917	-277	89,3	-36,4	17,2	-9,74	3,07	-1,49	0,66	-0,35	-0,07	
1,15	714	-148	36,3	-11,3	3,25	-1,18	0,33	-0,17	0,04	-0,02	-0,01	
1,25	444	-47,3	0,04	-1,11	0,11	-0,07	0,02	0	0	0	-0,01	
1,47	190	-1,9	0,74	0,17	0,07	0,04	0,02	0,02	0,01	0	0	
1,7	77,9	2,7	0,37	0,18	0,07	0,04	0,03	0,03	0,02	0,01	0,01	
<	32,3	1,6	0,33	0,11	0,05	0,03	0,01	0,02	0,01	0,01	0	

Concluziile obținute cu privire la erorile de calcul pentru bare de lungime mare rafinabile și pentru o bobină masivă formată din N_s laturi secțiunii, cu decompunerea acesteia în șir de calcul se face astfel încât latură cea mai apropiată să respecte condițiile stabilite pentru bare de lungime mare.

Relația care este în baza programului de calcul (2.2) este desigur valabilă dacă punctul de calcul se află în exteriorul secțiunii Δs a spirii elementare. Dacă se calculează câmpul magnetic în secțiunea transversală a bobinei, există ocazionalități de decompunere

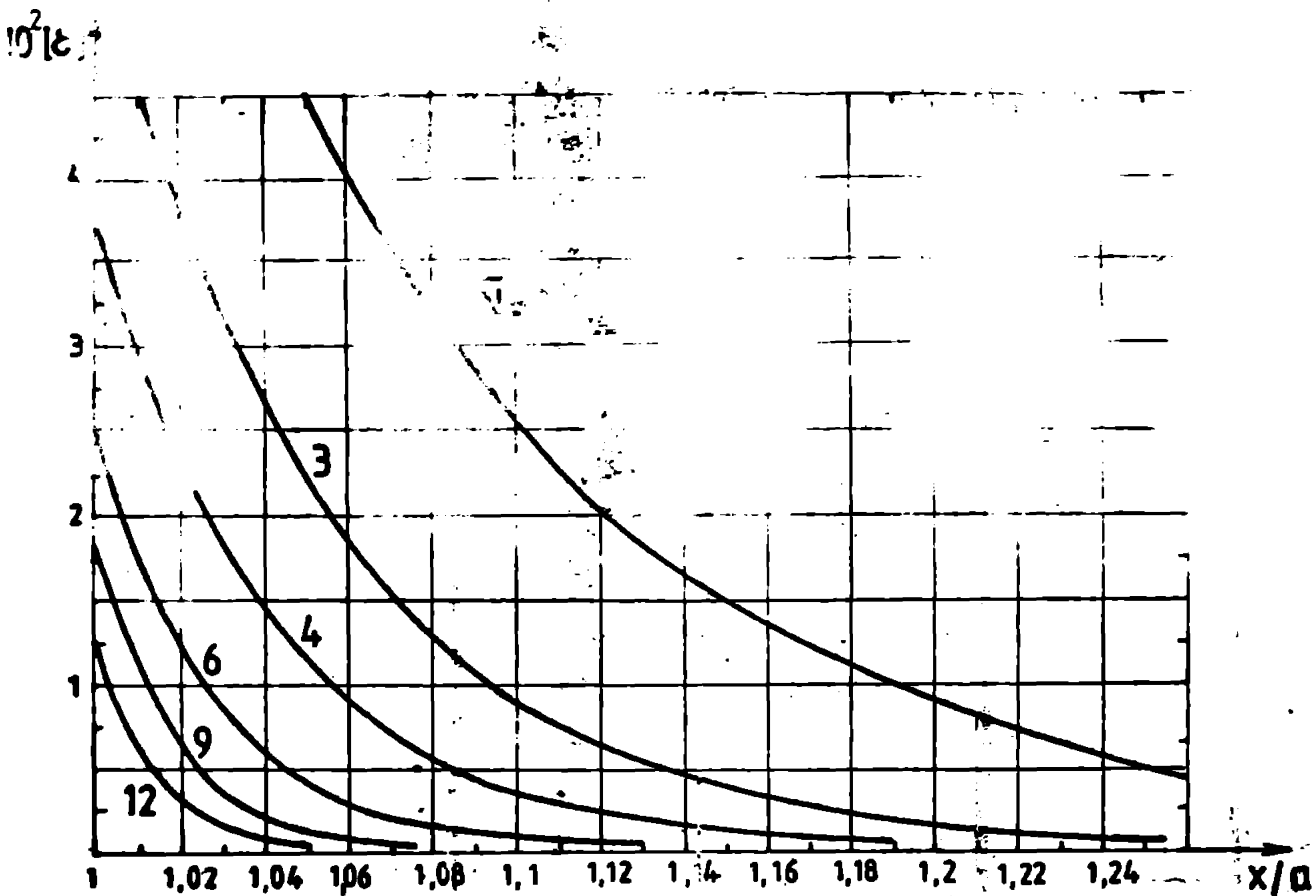


Fig. 2.12. Erorile datorate aproximării bazei rectiliniei printr-un număr finit de bare elementare

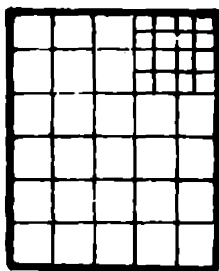


Fig. 2.13. Aproximarea secțiunii transversale pentru puncte situate în apropierea acesteia

în spire elementare și anume:

a) punctul de calcul să se situeze pe suprafața laterală de contact a spirelor elementare (punctul P din fig. 2.14);

b) punctul de calcul să fie în centrul secțiunii AS a unei spire elementare (punctul P' din fig. 2.14). În această situație, latură respectivă a spirei elementare nu produce câmp magnetic în punctul P' situat pe axa laturii ($\Delta b = 0$) și deci acest termen trebuie eliminat din relația (2.4). Această eliminare se face simplu în programul de calcul, trecând valoarea distanței b pentru fiecare latură. Dacă

$b < \epsilon_R$ (unde $\epsilon_R < \Delta a$, $\epsilon_R < \Delta b$), nu se mai calculează Δb și se trece la următoarea latură.

Se menționează faptul că varianta b) este de preferat deoarece prin eliminarea din calcul a laturii pe care se situează punctul P, acesta este la o distanță mai mare decât în varianta a). La urmărire la același ϵ_R rezultă o precizie mai mare, sau la aceeași precizie se poate lua ϵ_R mai mic, deci timp de calcul mai

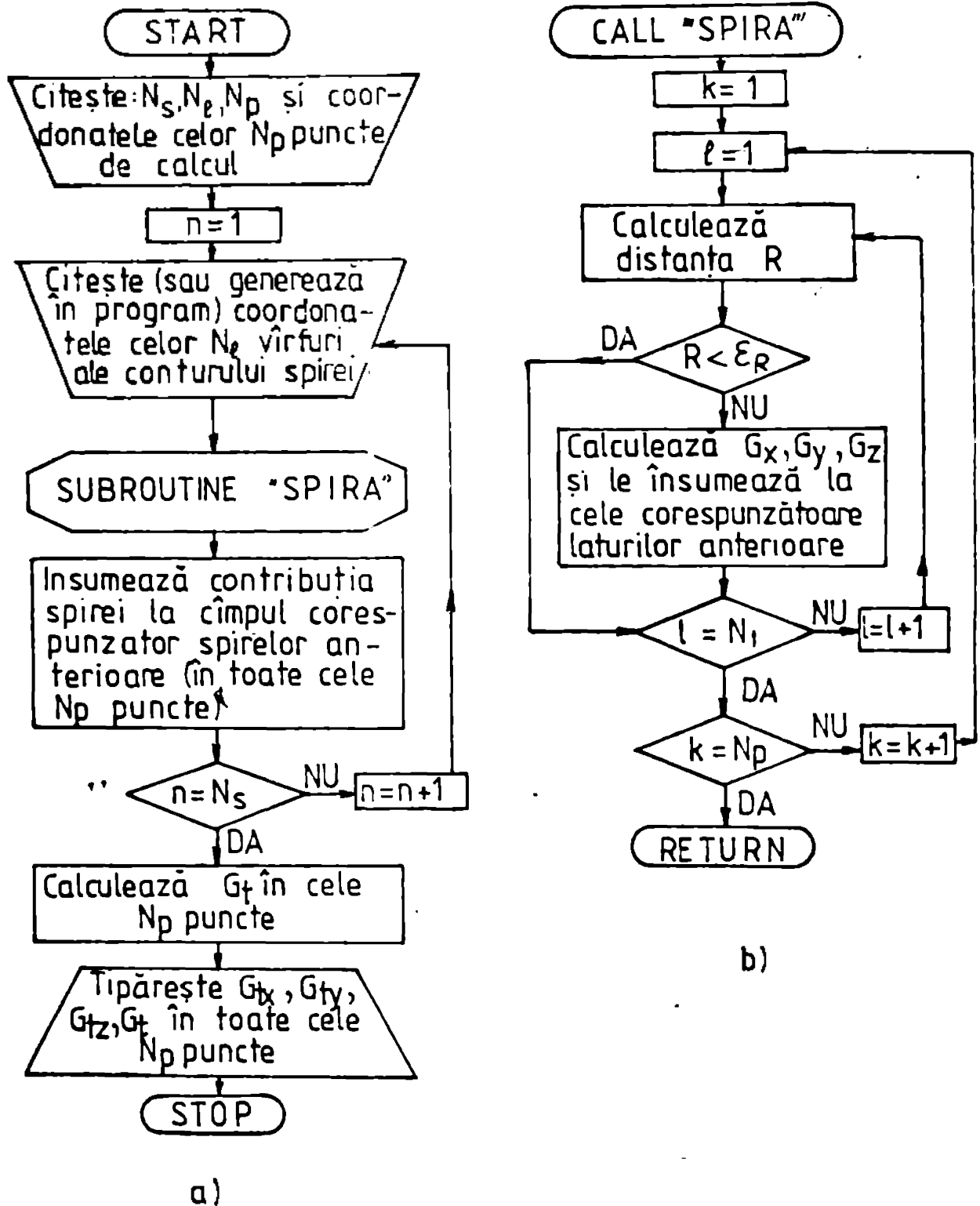


Fig. 2.5. Ordinograma de principiu a programului de calcul bazat pe relația Biot-Savart-Laplace.
a) programul principal ; b) subprogramul „SPIRA”

ruale. De asemenea se precizează faptul că și în situația în care punctul P se află în exteriorul volumului parcurs de curent, acesta se poate situa pe direcția unei laturi a conturului poligonal, ca de exemplu latura 1 din figura 2.15. Pentru această latură $\Delta B_{\Delta} = 0$, dar $\Delta \vec{B}_{\Delta} \neq 0$, deci și această latură trebuie eliminată dacă $\delta < \epsilon_2$.

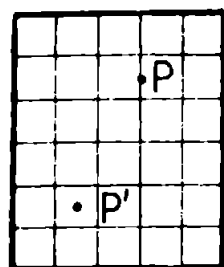


Fig. 2.14. Plasarea punctelor de calcul în interiorul conturului parcurs de curent

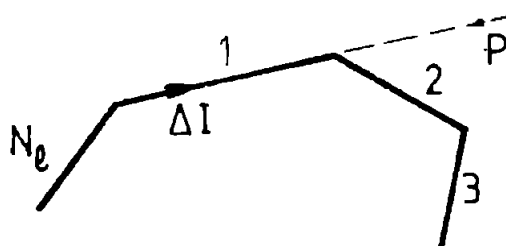


Fig. 2.15. Explicativă privind situația în care $\Delta B_{\Delta} = 0$

2.2.2. Calculul cîmpului magnetic cu ajutorul potențialului magnetic vector

Rezolvarea relației 2.01 se poate face și prin intermediul funcției potențiale vectoriale \vec{A} , care în ipotezele menționate se determină cu relația:

$$\vec{A} = \frac{\mu_0}{4\pi} \int_V \frac{\vec{j}}{r} dV \quad (2.25)$$

scrierile avînd semnificația din figura 2.1.

Făcînd aceeași descompunere a domeniului V parcurs de curent în N_s spire cu N_l laturi fiecare, se obține pentru o latură (fig. 2.16)

$$\Delta \vec{A} = \vec{u}_{\Delta\Delta} \mu_0 \frac{\Delta I}{4\pi} \ln \frac{r_1 + l_2}{R_1 + l_1} \quad (2.26)$$

respectiv:

$$\vec{A} = \sum_1^{N_s} \sum_1^{N_l} \Delta \vec{A} \quad (2.27)$$

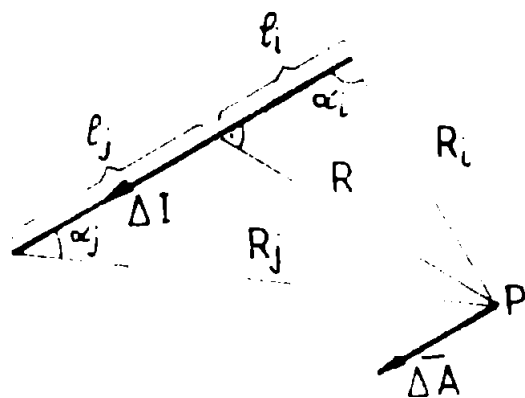


Fig. 2.16. Potențialul magnetic vector corespunzător unei laturi rectilinii

Pentru determinarea inducției magnetice este necesar să se cunoască modul de variație al potențialului vector în jurul punctului P, pentru estimerarea derivatelor ce intervin în relația $\vec{B} = \text{rot } \vec{A}$. Acestea se aproximează prin diferențe finite astfel încît (în coordonate carteziene):

$$\frac{\partial \Delta A}{\partial a} \approx \frac{\Delta \Delta A}{\Delta a} = \frac{V_{i+1} - V_{i-1}}{u_{i+1} - u_{i-1}} \quad (2.28)$$

unde u și v (mpv) reprezintă pe rind una din direcțiile sistemului de coordonate.

Rezultă că pentru calculul inducției magnetice într-un punct P , trebuie cunoscut potențialul vector în 6 puncte situate pe axele sistemului de coordonate și simetric față de punctul P , ca în figura 2.17.

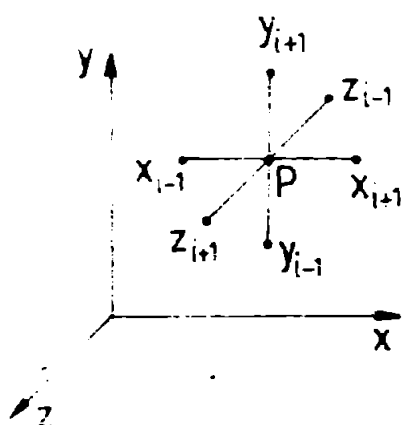


Fig. 2.17. Determinarea inducției magnetice pe baza potențialului magnetic vector

Avind în vedere faptul că în cadrul acestei metode trebuie calculat rot \vec{A} , iar relația (2.26) nu este mai simplă decât (2.2), rezultă că în general metoda prezentată în acest paragraf este mai dezavantajoasă în legătură cu volumul de calcul. Metoda poate deveni avantajoasă în situația în care potențialul vector are aceeași orientare (conductoare rectilinii paralele) situație ce va fi tratată în paragraful următor.

2.3. Conductoare rectilinii paralele și de lungime mare

Situație se întâlnește în cazul generatorilor AB și mai ales în cazul mașinilor electrice supraconductoare de mare putere care prezintă lungime mare în raport cu dimensiunile transversale, iar materialele feromagnetice lipsesc sau se folosesc doar în scopul ecranării.

În aceste materialele feromagnetice, câmpul magnetic se poate determina fie direct pe baza expresiei (2.17) fie prin intermediul potențialului magnetic vector.

2.3.1. Calculul direct

Pornind de la expresia inducției magnetice corespunzătoare unui conductor cilindric rectiliniu și infinite lung, câmpul magnetic rezultat în cazul unei configurații cunoscute de curent planare reprezintă (Fig. 2.18) de obicei prin relația:

$$\vec{B} = \int_S \vec{dB} = \frac{\mu_0}{2\pi} \int_S \frac{\vec{j} \times \vec{R}}{R^2} ds \quad (2.29)$$

Deoarece câmpul este plan paralel se poate lucra în planul complex, unde el este de obicei dat în figura 2.19, și se obține pentru un

conductor elementar expresia [15]:

$$\underline{B}^E = \underline{a}_x B_x - j B_y = \mu_0 \frac{I}{2\pi} \frac{j}{z - z_0} \quad (2.30)$$

in care:

$$B_x = \text{Re}\{\underline{B}^E\} = \mu_0 I \frac{y - y_0}{2\pi R^2} \quad (2.31)$$

$$B_y = -\text{Im}\{\underline{B}^E\} = \mu_0 I \frac{x - x_0}{2\pi R^2}$$

Pentru un conductor rectiliniu respectiv parcurs de un curent uniform repartizat pe sectiune rezultă relația:

$$\underline{B}^E = \mu_0 \frac{I}{2\pi} \int_S \frac{j \underline{a}_z ds}{z - z_0} = \mu_0 \frac{I}{4\pi} \oint_{\Gamma} \frac{\underline{z}^E - \underline{z}_0^E}{z - z_0} dz \quad (2.32)$$

in care s-a ținut seama că $(z - z_0)^{-1}$ este o funcție analitică, iar Γ reprezintă conturul ce limitează suprafața S (fig. 2.19, b).

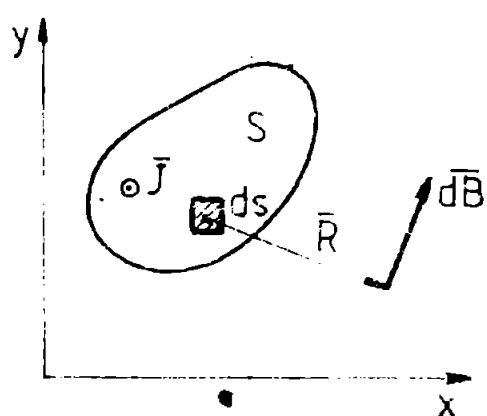


Fig. 2.18. Conductor rectiliniu masiv parcurs de curent

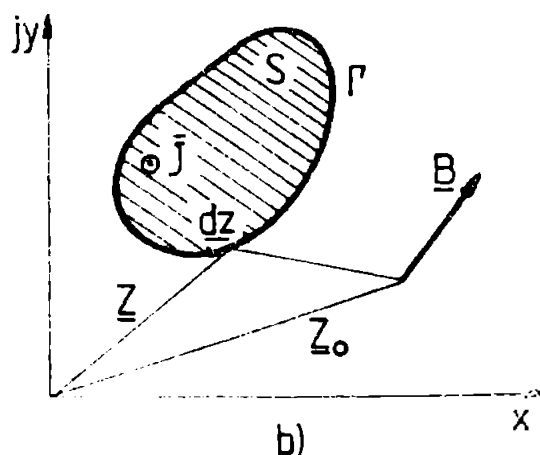
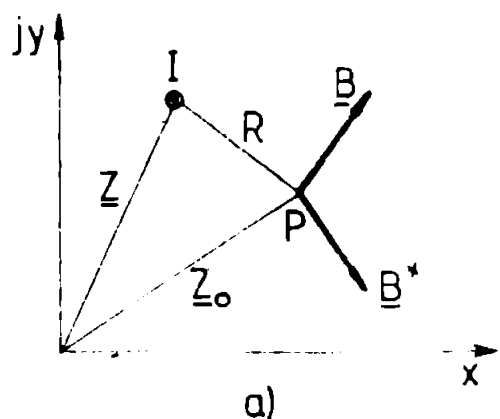


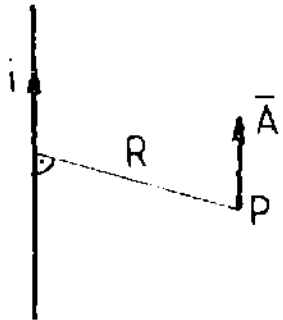
Fig. 2.19. Explicativ privind generarea câmpului magnetic lucrând în planul complex.

relația 2.32 prezintă față de relația 2.29 următoarele avantaje:

- se obține câmpul magnetic rezultat fără a fi necesară însumarea pe componente într-un sistem de axe;
- numărul de termeni ai sumei ce aproximează integrala de contur este mai redus decât al sumei ce aproximează integrala de suprafață la o precizie de calcul echivalentă. Astfel dacă se consideră o suprafață dreptunghiulară (fig. 2.11) aproximată prin $n_x n_y$ suprafețe elementare ΔS , iar conturul Γ prin $N_r = 2(n_x + n_y)$ segmente rectilinii, rezultă $N_r < N_s$ pentru $n_x > 3$ și $n_y \geq 2n_x(n_x - 2)$. Astfel ca întotdeauna avantajul de a lucra cu numere complexe, dar acesta nu constituie o problemă în cazul folosirii calculatoarelor electronice.

2.3.2. Calculul cu ajutorul potențialului magnetic vector

α. Se pornește de la expresia potențialului magnetic vector în cazul unui conductor cilindric rectiliniu infinit lung (fig.2.20), care are direcția paralelă cu \vec{J} și expresia:



$$A = 0 - \frac{\mu_0 i}{2\pi} \ln R \quad (2.33)$$

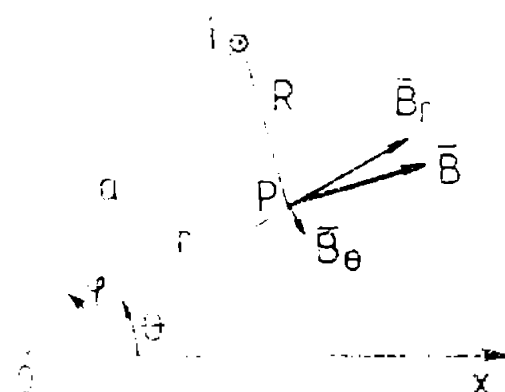
în cazul conductoarelor rectilinii și paralele rezultă avantajul obținerii potențialului rezultat printr-o sumă algebrică, respectiv o integrală în cazul conductoarelor masive (fig.2.18):

$$A = 0_0 - \int_S \mu_0 \frac{J d\Omega}{2\pi} \ln R \quad (2.34)$$

Fig.2.20. Potențialul magnetic vector în cazul unui conductor cilindric parcurs de curent

La forme particulare ale suprafeței S se poate rezolva integrala din relația (2.34), în caz general însă aceasta aproximându-se printr-o sumă cu număr finit de termeni, având potențialul vector rezultat, inducția magnetică se obține din $\vec{B} = \text{rot } \vec{A}$.

În cazul mașinilor electrice, anumită dispoziție spațială a conductoarelor parcurs de curenți este avantajos să se realizeze echilibrul polilor. În această situație (fig. 2.21), expresia (2.33) se poate pune sub alta formă prin dezvoltarea în serie a lui $\ln R$ [25,49], obținându-se:



se poate pune sub alta formă prin dezvoltarea în serie a lui $\ln R$ [25,49], obținându-se:

$$\begin{aligned} A_1 = 0_1 + \frac{\mu_0 i}{2\pi} \sum_{n=1}^{\infty} \frac{1}{n} \left(\frac{r}{a}\right)^n \cos n(\varphi - \theta) \quad \text{pt. } r < a \\ A_2 = 0_2 - \frac{\mu_0 i}{2\pi} \ln r + \frac{\mu_0 i}{2\pi} \sum_{n=1}^{\infty} \frac{1}{n} \left(\frac{a}{r}\right)^n \cos n(\varphi - \theta) \quad \text{pt. } r > a \end{aligned} \quad (2.35)$$

Fig. 2.21. Explicativă privind câmpul magnetic în coordonate polare

β. Dacă conductoarele sînt dispuse pe un cilindru iar sensurile curenților prin acestea alternează, se vorbește de sisteme multipolare. Astfel, în cazul unui multipol cu p perechi de poli (fig.2.22), potențialul rezultat se obține însumând expresii de forma (2.35) pentru cele 4p conductoare, grupînd în aceste sume cîte doi termeni corespunzătorii conductoarelor simetrice față de axe de simetrie și fiindu-le acordate semnele de înălțare ca

sisteme multipolare. Astfel, în cazul unui multipol cu p perechi de poli (fig.2.22), potențialul rezultat se obține însumând expresii de forma (2.35) pentru cele 4p conductoare, grupînd în aceste sume cîte doi termeni corespunzătorii conductoarelor simetrice față de axe de simetrie și fiindu-le acordate semnele de înălțare ca

$$\sum_{m=0}^{2p-1} (-1)^m \cos n \left(\frac{\pi}{p} + m \right) = \begin{cases} 0 & \text{pt. } n = 2kp \\ 2p & \text{pt. } n = (2k-1)p \end{cases}$$

de cuprin expresiile:

$$\begin{aligned}
 A_1 &= \frac{\mu_0 2pI}{\pi} \sum_{k=1}^{\infty} \frac{1}{n} \left(\frac{r}{a}\right)^n \cos n\varphi \cos n\theta \\
 A_0 &= \frac{\mu_0 2pI}{\pi} \sum_{k=1}^{\infty} \frac{1}{n} \left(\frac{a}{r}\right)^n \cos n\varphi \cos n\theta
 \end{aligned}
 \quad n = (2k-1)p \quad (2.56)$$

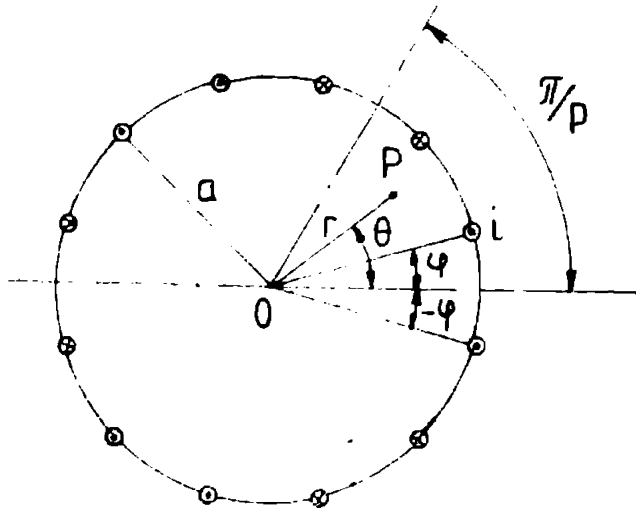


fig. 2.22. Multipol format din conductoare iliniforme

$$\begin{aligned}
 A_1 &= \frac{\mu_0 2pI}{\pi} \sum_{k=1}^{\infty} \frac{1}{n} \left(\frac{r}{a}\right)^n \sin n\varphi \cos n\theta \\
 A_0 &= \frac{\mu_0 2pI}{\pi} \sum_{k=1}^{\infty} \frac{1}{n} \left(\frac{a}{r}\right)^n \sin n\varphi \cos n\theta
 \end{aligned}
 \quad (2.57)$$

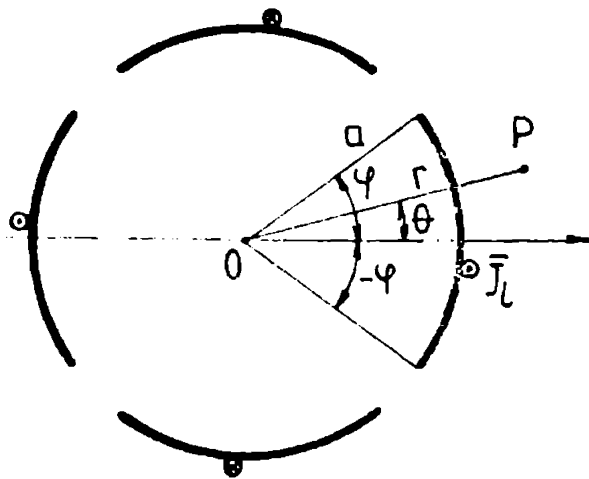


fig. 2.23. Multipol format din paturi de curent

unde:

$$A_1 = \frac{\mu_0 2pI}{\pi} \sum_{k=1}^{\infty} \frac{r^n}{(2-n)n^2} (a_2^{2-n} - a_1^{2-n}) \sin n\varphi \cos n\theta \quad (2.58)$$

in care a_2 reprezinta la termenul constant deosebi aceasta da alina vine in expresia inducției magnetice.

in cazul unui multipol format din paturi de curent (fig. 2.23), expresiile (2.56) sînt valabile pentru $2p$ paturi de conductoare elementare, fiecare de curent $dI = J_L a d\varphi$. Potențialul magnetic rezultant se obține prin integrare $A = \int_0^\varphi dA$ și deoarece $\int_0^\varphi \cos n\varphi d\varphi = \frac{1}{n} \sin n\varphi$ rezultă:

in cazul mai general al unui multipol format din conductoare masive (fig. 2.24), potențialul magnetic rezultant se obține prin integrarea expresiilor (2.57) unde limitile a_1 și a_2 constituite dintr-un J_L înlocuindu-se cu J sau, ceea ce echivalență cu înlocuirea conductoarelor masive prin cei multe conductoare cu grosime mică de, fiecare putînd fi considerat ca o patură de curent.

deosebi pentru $r < a_1$

$$\int_{a_1}^{a_2} a^{1-n} \cos \frac{1}{2-n} (a_2^{2-n} - a_1^{2-n}) \sin n\varphi \cos n\theta$$

Pentru $r > a_2$ se obține în mod similar :

$$A_{\theta} = \frac{\mu_0 2pJ}{\pi} \sum_{k=1}^{\infty} \frac{r^{-n}}{(2+n)a_2^n} (a_2^{2+n} - a_1^{2+n}) \sin n\varphi \cos n\theta \quad (2.39)$$

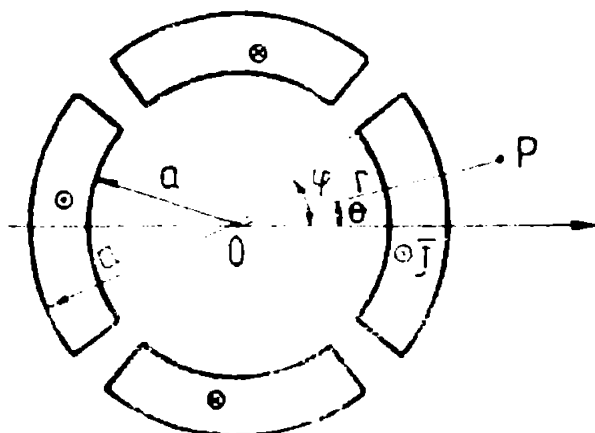


Fig. 24. Multipol format din conductoare masive

Pentru $a_1 < r < a_2$ se consideră sistemul format din doi multipoli, unul de raza a_1 și r pentru care este valabilă expresia (2.39) și altul de raza r și a_2 pentru care este valabilă expresia (2.38). Se obține ușor:

$$A_{\theta} = \frac{\mu_0 2pJ}{\pi} \sum_{k=1}^{\infty} \frac{1}{n} \left[\frac{r^n}{2-n} (a_2^{2+n} - r^{2-n}) + \frac{r^{-n}}{2+n} (r^{2+n} - a_1^{2+n}) \right] \sin n\varphi \cos n\theta \quad (2.40)$$

Componentele inducției magnetice se determină din $\vec{B} = \text{rot } \vec{A}$,

adică

$$B_r = \frac{\partial A}{r \partial \theta}, \quad B_{\theta} = -\frac{\partial A}{\partial r} \quad (2.41)$$

rezultând expresiile prezentate sintetic în tabelul 2.5.

Se constată că ecuațiile (2.38)-(2.40) și corespondențele lor din tabelul 2.5 nu pot fi utilizate pentru $n = 2$ (adică în situația că $p = 2$ și pentru $k = 1$), deoarece se obține o nedeterminare. Întorcându-se la:

$$\lim_{n \rightarrow 2} \frac{a_2^{2-n} - a_1^{2-n}}{2-n} = \lim_{n \rightarrow 2} \frac{\left(\frac{a_2}{a_1}\right)^{2-n} - 1}{2-n} = \ln \frac{a_2}{a_1}$$

se obține pentru $r < a_1$:

$$(A_1)_{n=2} = \frac{\mu_0 J}{\pi} r \ln \frac{a_2}{a_1} \sin 2\varphi \cos 2\theta \quad (2.42)$$

$$(B_{\theta}^r)_{n=2} = -\frac{\mu_0 2J}{\pi} r \ln \frac{a_2}{a_1} \sin 2\varphi \begin{matrix} \sin 2\theta \\ \cos 2\theta \end{matrix}$$

și respectiv pentru $a_1 < r < a_2$:

$$(A)_{n=2} = \frac{\mu_0 J}{\pi} \left[r^2 \ln \frac{a_2}{r} + \frac{r^4 - a_1^4}{4r^2} \right] \sin 2\varphi \cos 2\theta$$

$$(B_{\theta}^r)_{n=2} = \frac{\mu_0 J}{2\pi} r \left[\frac{1}{2} - 4 \ln \frac{a_2}{r} + \left(\frac{a_1}{r}\right)^4 \right] \sin 2\varphi \begin{matrix} \sin 2\theta \\ \cos 2\theta \end{matrix} \quad (2.43)$$

Tabelul 2.5. Expresiile componentelor inducției magnetice

Situația	domeniul	$B_r^r \rightarrow B_\theta$	$n = 2(k-1)p$
Conductor cilindric (fig. 2.21)	$r < a$	$\pm \frac{\mu_0 I}{2\pi a} \sum_{k=1}^{\infty} \left(\frac{r}{a}\right)^{k-1} \begin{matrix} \sin k(\varphi-\theta) \\ \cos k(\varphi-\theta) \end{matrix}$	
	$r > a$	$\frac{\mu_0 I}{2\pi} \left[r^{-1} + a^{-1} \sum_{k=1}^{\infty} \left(\frac{a}{r}\right)^{k+1} \right] \begin{matrix} \sin k(\varphi-\theta) \\ \cos k(\varphi-\theta) \end{matrix}$	
Multipol cu cordon cilindric (fig. 2.22)	$r < a$	$-\frac{\mu_0 2pI}{\pi a} \sum_{k=1}^{\infty} \left(\frac{r}{a}\right)^{n-1} \begin{matrix} \sin n\theta \\ \cos n\varphi \end{matrix}$	
	$r > a$	$+\frac{\mu_0 2pI}{\pi a} \sum_{k=1}^{\infty} \left(\frac{a}{r}\right)^{n+1} \begin{matrix} \cos n\varphi \\ \sin n\theta \end{matrix}$	
Multipol cu plăci de curent (fig. 2.23)	$r < a$	$-\frac{\mu_0 2pJ_1}{\pi} \sum_{k=1}^{\infty} \frac{1}{n} \left(\frac{r}{a}\right)^{n-1} \begin{matrix} \sin n\varphi \\ \sin n\theta \\ \cos n\theta \end{matrix}$	
	$r > a$	$+\frac{\mu_0 2pJ_1}{\pi} \sum_{k=1}^{\infty} \frac{1}{n} \left(\frac{a}{r}\right)^{n+1} \begin{matrix} \sin n\varphi \\ \sin n\theta \\ \cos n\theta \end{matrix}$	
Multipol cu cordon masiv (fig. 2.24)	$r < a_1$	$-\frac{\mu_0 2pJ_1}{\pi} \sum_{k=1}^{\infty} \frac{r^{n-1}}{n(2-n)} (a_2^{2-n} - a_1^{2-n}) \begin{matrix} \sin n\varphi \\ \sin n\theta \\ \cos n\theta \end{matrix}$	
	$r > a_2$	$+\frac{\mu_0 2pJ_1}{\pi} \sum_{k=1}^{\infty} \frac{r^{-n-1}}{n(2+n)} (a_2^{2+n} - a_1^{2+n}) \begin{matrix} \sin n\varphi \\ \sin n\theta \\ \cos n\theta \end{matrix}$	
	$a_1 < r < a_2$	$\frac{\mu_0 2pJ_1}{\pi} \sum_{k=1}^{\infty} \frac{r}{n(4-n^2)} \left[\frac{2n}{4} \pm (2-n) \left(\frac{a_1}{r}\right)^{n+2} - (2+n) \left(\frac{r}{a_2}\right)^{n-2} \right] \begin{matrix} \sin n\varphi \\ \sin n\theta \\ \cos n\theta \end{matrix}$	

Este interesant și util de analizat convergența seriilor pentru cazurile de interes practic din tabelul 2.5. Sub acest aspect, situația cea mai nefavorabilă se poate prezenta pentru $\varphi = \frac{\pi}{2p}$ și $\theta = \varphi$ pentru componenta B_r , respectiv $\theta = 0$ pentru componenta B_θ .

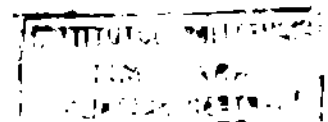
În cazul unui multipol cu plăci de curent (fig. 2.23) pentru $\theta = \varphi = \pi/2p$ și rna se obține:

$$B_r = -\frac{\mu_0 2pJ_1}{\pi} \sum_{k=1}^{\infty} \frac{1}{(2k-1)p} \sin^2(2k-1)\frac{\pi}{2} = -\mu_0 \frac{2J_1}{\pi} \sum_{k=1}^{\infty} \frac{1}{2k-1} \quad (2.44)$$

Serie rezultată fiind divergentă [1] se obține un câmp magnetic foarte intens (teoretic infinit) în zona de schimbare a sensului curentului electric. Se impune în acest caz soluția $\varphi < \pi/2p$.

Pentru $\theta = 0$, $\varphi = \pi/2p$ și rna se obține:

$$B_\theta = \pm \frac{\mu_0 2pJ_1}{\pi} \sum_{k=1}^{\infty} \frac{1}{(2k-1)p} \sin(2k-1)\frac{\pi}{2} = \pm \frac{\mu_0 J_1}{2} \quad (2.45)$$



unde s-a ținut seama că $\sum_{k=1}^{\infty} \frac{(-1)^k}{2k-1} = -\frac{\pi}{4}$ [1]

În cazul unui multipol cu conductoare masive, convergența seriilor este asigurată în toate situațiile de faptul că intervalele factorului $\frac{1}{n(n-2)}$ sau $\frac{1}{n(n+2)}$, seriile fiind de forma:

$$\sum_{k=1}^{\infty} \frac{1}{n(n-2)} P(n) \quad \text{sau} \quad \sum_{k=1}^{\infty} \frac{1}{n(n+2)} Q(n) \quad (2.46)$$

cu $|P(n)| < 1$ și $|Q(n)| < 1$. Astfel de exemplu pentru $p=1$, $\theta = \varphi = \frac{\pi}{2}$ și $r=a_1$ se obține:

$$B_r = \frac{\mu_0 2J}{\pi} \sum_{k=1}^{\infty} \frac{1}{n(n-2)} \left[\left(\frac{a_1}{a_2}\right)^{n-2} - 1 \right] \sin^2(2k-1)\frac{\pi}{2}$$

sau

$$B_r = \frac{\mu_0 Jr}{\pi} \left[1 + 2 \sum_{k=1}^{\infty} \frac{1}{n(n-2)} \left(\frac{a_1}{a_2}\right)^{n-2} \right] \quad (2.47)$$

unde s-a ținut seama că $\sum_{k=1}^{\infty} \frac{1}{n(n-2)} = -\frac{1}{2}$ [1]

2.3.3. Metoda separării variabilelor în cazul prezentei ecranului electromagnetic

În cazul mașinilor sincrone cu excitație supraconductoare, condițiile de funcționare impun ca în jurul înfășurării de excitație și cea a indușului să se plaseze unul sau mai multe ecrane conductoare [17,25,24,55,115]. De asemenea poate interveni și un ecran feromagnetic exterior și respectiv unul interior dacă axul mașinii este izomagnetic. În această situație modelul nu mai este omogen și ca urmare nu se mai poate calcula cimpul magnetic pornind de la relația (2.35), fiind necesare alte metode.

De aceste motive se consideră sistemul izic din figura

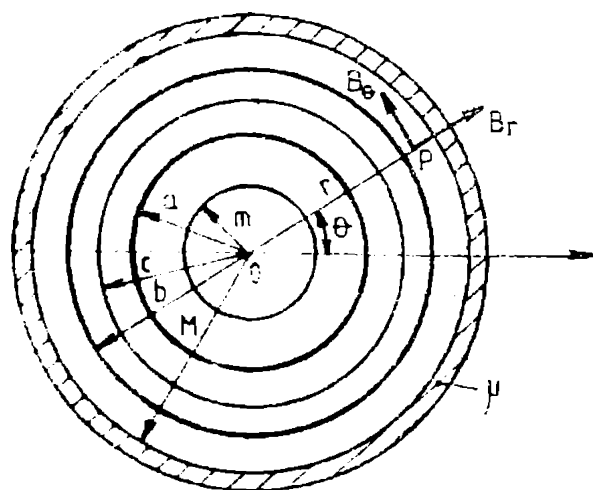


Fig. 2.25. Secțiune transversală printr-o mașină sincronă supraconductoare

2.25 care poate reprezenta o secțiune transversală printr-o mașină sincronă în care înfășurările sunt aproximativ prin plăci de curent. În acest caz ecranul conductor este de asemenea de grosime neglijabilă. Semnificațiile razelor notate în figură sînt: m - ecranul feromagnetic interior, a - înfășurarea de excitație, c - ecranul conductor, b - înfășurarea indușului și M - ecranul feromagnetic exterior.

Pentru determinarea cimpului magnetic se poate utiliza potențialul magnetic vector care în exteriorul

potențialul de curent satisface ecuația Laplace, considerând lungimea
 foarte mare, aceasta devine în coordonate polare dată de forma:

$$\frac{1}{r} \frac{\partial A}{\partial r} + \frac{\partial^2 A}{\partial r^2} + \frac{\partial^2 A}{r^2 \partial \theta^2} = 0 \quad (2.46)$$

cu metoda separării variabilelor, soluția este de forma [23]:

$$A = \sum_{n=1}^{\infty} (C_n r^n + D_n r^{-n}) (P_n \cos n\theta + Q_n \sin n\theta) \quad (2.47)$$

Constantele de integrare din relația (2.47) se determină din
 condițiile la limită pe care trebuie să le satisfacă potențialul
 vector.

β. Referindu-ne la câmpul magnetic produs de înmagazinarea de
 excitație și notând cu indice "i" cărțile pentru $r < a$ și respectiv
 cu "e" pentru $r > a$, la potențial de curent trebuie să scriem condițiile

$$(B_{r1})_{r=a} = (B_{re})_{r=a}; \quad -(H_{\theta i})_{r=a} + (H_{\theta e})_{r=a} = j_l$$

care pentru potențialul vector se scriu sub forma:

$$\left(\frac{\partial A}{r \partial \theta}\right)_{r=a} = \left(\frac{\partial A}{r \partial \theta}\right)_{r=a}; \quad \left(\frac{\partial A}{\partial r}\right)_{r=a} - \left(\frac{\partial A}{\partial r}\right)_{r=a} = \mu_0 j_l \quad (2.50)$$

Înmagazinarea de excitație ilina de fapt un multipol cu număr
 de curent (fig. 2.23), caracterizat liniar de curent care intervine în

relația (2.50) în forma dată
 fig. 2.20, putându-se dezvoltarea
 în serie Fourier

$$j_l = \sum_{k=1}^{\infty} j_{lvk} \cos k\theta \quad (2.51)$$

unde $k v p = (2k-1)p$, unde v este
 coeficientul unui termen de serie
 $(2k-1)p$ în cosinus [20].

Amplitudinea caracteristică a un
 termen v este:

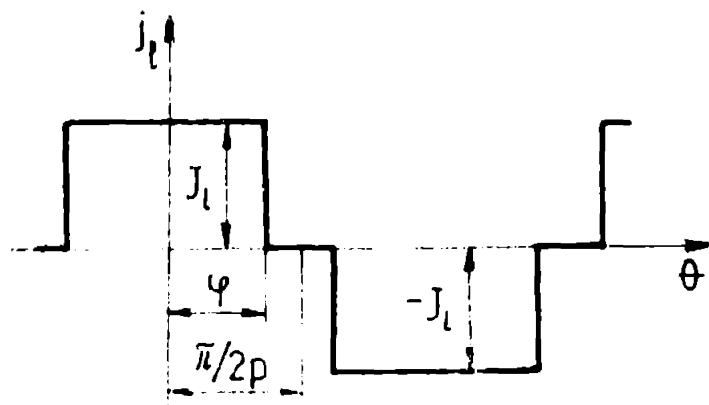


Fig. 2.20 Distribuția caracteristică
 liniară de curent

$$j_{lvk} = \frac{1}{2\pi} \int_0^{\pi/2} j_l(\theta) \cdot \cos v\theta \cos k\theta = \frac{4J_l p}{\pi k} \sin k\varphi \quad (2.52)$$

În funcție de ω și de faptul că este vorba de un sistem în regim
 se poate ca viteza unghiulară ω , unde noțiunea de curent se scrie
 în forma:

$$j_l = \frac{4J_l p}{\pi k} \sum_{k=1}^{\infty} \sin k\varphi \cos v(\omega t - \theta) \quad (2.53)$$

pentru a putea să satisfacă condiția (2.50), trebuie ca
 să scriem de r și j_l , astfel încât relația (2.47) să poată fi
 și în forma:

$$A = \sum_{k=1}^{\infty} (C_k r^k + D_k r^{-k}) j_{lv}$$

respectiv, scriem cele două zone $r < a$ și $r > a$:

$$\begin{aligned}
 A_1 &= \sum_{k=1}^{\infty} (A_{1k} r^k + B_{1k} r^{-k}) J_{1k} \\
 A_0 &= \sum_{k=1}^{\infty} (A_{0k} r^k + G_{0k} r^{-k}) J_{1k}
 \end{aligned}
 \tag{2.54}$$

Considerind ecuațiile electromagnetice ideale ($\mu \rightarrow \infty$), la suprafața acestora sînt îndeplinite condițiile :

$$(A_{0k})_{r=a} = \left(\frac{\partial A_0}{\partial r} \right)_{r=a} = 0
 \tag{2.55}$$

$$(B_{0k})_{r=a} = \left(\frac{\partial A_0}{\partial r} \right)_{r=a} = 0
 \tag{2.56}$$

Condițiile (2.55), (2.55) și (2.56) aplicate pentru fiecare armonica (ν), conduc la expresiile:

$$\begin{aligned}
 E_{\nu} \left[1 + \left(\frac{a}{R} \right)^{2n} \right] &= A_{\nu} \left[1 + \left(\frac{a}{R} \right)^{2n} \right] \\
 E_{\nu} \left[1 - \left(\frac{a}{R} \right)^{2n} \right] - A_{\nu} \left[1 - \left(\frac{a}{R} \right)^{2n} \right] &= \frac{\mu_0}{n} a^{1-n} \\
 \Gamma_{\nu} &= A_{\nu} a^{2n} \\
 G_{\nu} &= A_{\nu} a^{2n}
 \end{aligned}$$

din care se obțin constantele de integrare:

$$\begin{aligned}
 A_{\nu} &= \frac{\mu_0 a}{2na^n} \left[1 + \left(\frac{a}{R} \right)^{2n} \right] \left[1 - \left(\frac{a}{R} \right)^{2n} \right]^{-1} \\
 A_{\nu} &= \frac{\mu_0 a}{2na^n} \left(\frac{a}{R} \right)^{2n} \left[1 + \left(\frac{a}{R} \right)^{2n} \right] \left[1 - \left(\frac{a}{R} \right)^{2n} \right]^{-1} \\
 E_{\nu} &= \frac{\mu_0 a}{2na^n} a^{2n} \left[1 + \left(\frac{a}{R} \right)^{2n} \right] \left[1 - \left(\frac{a}{R} \right)^{2n} \right]^{-1} \\
 G_{\nu} &= \frac{\mu_0 a}{2n} a^n \left[1 + \left(\frac{a}{R} \right)^{2n} \right] \left[1 - \left(\frac{a}{R} \right)^{2n} \right]^{-1}
 \end{aligned}$$

cu acestea, expresiile (2.54) devin:

$$\begin{aligned}
 A_1 &= \sum_{k=1}^{\infty} \frac{\mu_0 a J_{1k}}{2n} \left[1 + \left(\frac{a}{R} \right)^{2n} \right] \left[1 - \left(\frac{a}{R} \right)^{2n} \right]^{-1} \left[1 + \left(\frac{r}{R} \right)^{2n} \right] \left(\frac{r}{R} \right)^n \\
 A_0 &= \sum_{k=1}^{\infty} \frac{\mu_0 a J_{1k}}{2n} \left[1 + \left(\frac{a}{R} \right)^{2n} \right] \left[1 - \left(\frac{a}{R} \right)^{2n} \right]^{-1} \left[1 + \left(\frac{r}{R} \right)^{2n} \right] \left(\frac{r}{R} \right)^n
 \end{aligned}
 \tag{2.57}$$

Întrucît termenii de relația (2.57) și introducînd notațiile

$$\begin{aligned}
 C_{\nu i} &= \frac{2n}{\pi n} \mu_0 J_{1k} \left[1 + \left(\frac{a}{R} \right)^{2n} \right] \left[1 - \left(\frac{a}{R} \right)^{2n} \right]^{-1} \sin n\varphi \\
 C_{\nu e} &= \frac{2n}{\pi n} \mu_0 J_{1k} \left[1 + \left(\frac{a}{R} \right)^{2n} \right] \left[1 - \left(\frac{a}{R} \right)^{2n} \right]^{-1} \sin n\varphi
 \end{aligned}$$

expresiile potențialului magnetic vector se scriu în formă:

$$\begin{aligned}
 A_1 &= \sum_{k=1}^{\infty} C_{\nu i} \frac{a}{R} \left[1 + \left(\frac{R}{r} \right)^{2n} \right] \left(\frac{r}{R} \right)^n \cos \nu (\omega t - p\theta) \\
 A_0 &= \sum_{k=1}^{\infty} C_{\nu e} \frac{a}{R} \left[1 + \left(\frac{R}{r} \right)^{2n} \right] \left(\frac{r}{R} \right)^n \cos \nu (\omega t - p\theta)
 \end{aligned}
 \tag{2.58}$$

particularizarea acestor expresii pentru cazul în care nu există

ecrane feromagnetice ($\mu \rightarrow \infty$), se regasesc expresiile (2.57).

Daca apar procese tranzitorii in care amplitudinea cimpului magnetic invirtitor este variabila in timp, in ecranul conductor ($r=c$) care se rotește solidar cu inductorul se induce tensiuni și vor apare curenti electrici. Considerand ecranul conductor ideal ($\sigma = \infty$), pentru determinarea expresiei potențialului vector se va folosi condiția:

$$\left(\frac{\partial \Delta}{\partial \sigma}\right)_{r=c} = 0 \quad (2.54)$$

in locul condiției (2.55). Prin urmare, constantele de integrare se determina din:

$$\begin{aligned} A_n \left[1 + \left(\frac{a}{b}\right)^{2n}\right] &= A_n \left[1 - \left(\frac{c}{a}\right)^{2n}\right] \\ A_n \left[1 - \left(\frac{a}{b}\right)^{2n}\right] - K_n \left[1 + \left(\frac{c}{a}\right)^{2n}\right] &= \frac{\mu_0}{n} a^{1-n} \\ K_n &= K_n a^{2n} \\ G_n &= -K_n c^{2n} \end{aligned}$$

și rezultă pentru potențialul magnetic vector expresiile

$$\begin{aligned} \Delta_1 &= \sum_{k=1}^{\infty} A_{k1} \frac{a}{n} \left[1 + \left(\frac{a}{r}\right)^{2n}\right] \left(\frac{r}{a}\right)^n \cos n(\omega t - p\sigma) \\ \Delta_0 &= \sum_{k=1}^{\infty} A_{k0} \frac{a}{n} \left[1 - \left(\frac{r}{c}\right)^{2n}\right] \left(\frac{a}{r}\right)^n \cos n(\omega t - p\sigma) \end{aligned} \quad (2.56)$$

in care s-au introdus notațiile:

$$\begin{aligned} A_{k1} &= \frac{2D}{\pi n} \mu_0 J_1 \left[1 - \left(\frac{a}{c}\right)^{2n}\right] \left[1 + \left(\frac{a}{c}\right)^{2n}\right]^{-1} \sin n\varphi \\ A_{k0} &= \frac{2D}{\pi n} \mu_0 J_1 \left[1 + \left(\frac{a}{a}\right)^{2n}\right] \left[1 + \left(\frac{a}{c}\right)^{2n}\right]^{-1} \sin n\varphi \end{aligned}$$

Ținând seama de faptul că cimpul magnetic produs de inductor, problema se pune diferit pentru armonica fundamentală și respectiv pentru armonicele de ordin superior.

Pentru determinarea armonicii fundamentale a cimpului magnetic al inductorului, care se rotește solidar cu rotorul și cu ecranul conductor, se pot folosi relațiile (2.56) in care se introducete a ca c (raza păturii de curent statice fiind b) și desigur φ și J_1 corespunzator de axonul inductorului.

Pentru armonicele de ordin superior ale cimpului magnetic invirtitor, cit și pentru procesele tranzitorii, prezenta ecranului conductor (ideal) impune in locul condiției (2.56), condiția:

$$\left(\frac{\partial \Delta_1}{\partial \sigma}\right)_{r=c} = 0$$

In aceasta situație, constantele de integrare se determina din:

$$\begin{aligned} A_n \left[1 - \left(\frac{a}{b}\right)^{2n}\right] &= K_n \left[1 + \left(\frac{a}{b}\right)^{2n}\right] \\ A_n \left[1 + \left(\frac{a}{b}\right)^{2n}\right] - K_n \left[1 - \left(\frac{a}{b}\right)^{2n}\right] &= \mu_0 \frac{a^{1-n}}{n} \end{aligned}$$

$$E_{\nu} = - E_{\nu 0} e^{2n} \quad (2.40)$$

$$G_{\nu} = A_{\nu} e^{2n}$$

și rezultă pentru potențialul magnetic vector expresiile:

$$A_{\nu 1} = \sum_{k=1}^{\infty} P_{\nu 1} \frac{b}{R} \left[1 - \left(\frac{R}{b}\right)^{2n} \right] \left(\frac{R}{b}\right)^n \cos \nu (\omega t - p\theta) \quad (2.41)$$

$$A_{\nu 0} = \sum_{k=1}^{\infty} P_{\nu 0} \frac{a}{R} \left[1 + \left(\frac{R}{a}\right)^{2n} \right] \left(\frac{R}{a}\right)^n \cos \nu (\omega t - p\theta)$$

în care s-au folosit notățiile:

$$P_{\nu 1} = \frac{20}{\pi n} \mu_0 J_1 \left[1 + \left(\frac{b}{R}\right)^{2n} \right] \left[1 + \left(\frac{R}{b}\right)^{2n} \right]^{-1} \sin n\varphi$$

$$P_{\nu 0} = \frac{20}{\pi n} \mu_0 J_0 \left[1 - \left(\frac{a}{R}\right)^{2n} \right] \left[1 + \left(\frac{R}{a}\right)^{2n} \right]^{-1} \sin n\varphi$$

iar sumele se fac de la $n=2$ pentru armonicile de ordin superior ale cimpului statorului și respectiv de la $n=1$ pentru cazul regiunilor tranzitorii.

Componentele inductiei magnetice se obțin pe baza relațiilor (2.41) și rezultă valorile din tabelul 2.6.

Tabelul 2.6. Expresiile componentelor inductiei magnetice în prezența ecranilor electrostatici

Situația	domeniul	$\vec{B}_0 \rightarrow \vec{B}_R$	$\nu = 2k-1$ $n = \nu p$ $\gamma = \omega t - p\theta$
Cimpul de excitație și armonicile inferioare ale inductiei (a → b)	$a < r < b$	$\sum_{k=1}^{\infty} C_{\nu 1} \left(\frac{r}{a}\right)^{n-1} \left[1 + \left(\frac{a}{r}\right)^{2n} \right]$	$\sin \nu \gamma$ $\cos \nu \gamma$
	$a < r < b$	$\sum_{k=1}^{\infty} C_{\nu 0} \left(\frac{a}{r}\right)^{n+1} \left[1 + \left(\frac{r}{a}\right)^{2n} \right]$	$\sin \nu \gamma$ $\cos \nu \gamma$
Regiunile tranzitorii ale excitației	$a < r < a$	$\sum_{k=1}^{\infty} D_{\nu 1} \left(\frac{r}{a}\right)^{n-1} \left[1 + \left(\frac{a}{r}\right)^{2n} \right]$	$\sin \nu \gamma$ $\cos \nu \gamma$
	$a < r < a$	$\sum_{k=1}^{\infty} D_{\nu 0} \left(\frac{a}{r}\right)^{n+1} \left[1 + \left(\frac{r}{a}\right)^{2n} \right]$	$\sin \nu \gamma$ $\cos \nu \gamma$
Regiunile tranzitorii și armonicile superioare ale inductiei	$c < r < b$	$\sum_{k=1}^{\infty} P_{\nu 1} \left(\frac{r}{b}\right)^{n-1} \left[1 + \left(\frac{b}{r}\right)^{2n} \right]$	$\sin \nu \gamma$ $\cos \nu \gamma$
	$b < r < b$	$\sum_{k=1}^{\infty} P_{\nu 0} \left(\frac{b}{r}\right)^{n+1} \left[1 + \left(\frac{r}{b}\right)^{2n} \right]$	$\sin \nu \gamma$ $\cos \nu \gamma$

Acasă inductivă este masivă (fig. 2.24), aceasta se echivalează cu o mulțime de plăci de curent, iar cu expresiile din tabelul 2.6 în care se înlocuiește J_1 cu $J da$ se obțin componentele inductiei magnetice corespunzătoare plăcii de curent de răză $a(b)$ și grosime $da(db)$. Cimpul rezultat se obține prin integrare

$$\vec{B}_0 = \int_{a_1}^{a_2} d\vec{B}_0 ; \quad \vec{B}_R = \int_{a_1}^{a_2} d\vec{B}_R \quad (2.62)$$

2.4. Sisteme cu simetrie axială

Sistemele în care câmpul magnetic prezintă o simetrie axială (de rotație) se întâlnesc frecvent în practică în moduri în cazul solenoidelor sau bobinelor rezultate dintr-o combinație de solenoidi coaxiali, dar și în alte situații în care intervin numai spire circulare coaxiale, iar mediile respectu aceeași simetrie axială.

În ipotezele menționate la paragr. 2.1.3. și în absența ecranelor feromagnetice, câmpul magnetic se poate determina cu metoda descrisă în paragr. 2.2.1, dar ținând seama de simetria axială, se pot folosi și alte metode bazate pe:

- expresia potențialului vector al unei spire circulare, în care intervin integrale eliptice [128];

- integrarea analitică a expresiei 2.1, conducând tot la expresii cu integrale eliptice [94];

- dezvoltarea în serie a potențialului magnetic scalar al unei spire circulare [49].

Dintre aceste metode de calcul, autorul și-a propus să o dezvolte pe ultima, fiind convenabilă în calcule pentru cazuri relativ complicate.

În prezența unor ecrane feromagnetice având formă particulară (cilindru coaxial, de lungime mare și permeabilitate magnetică mare) se poate folosi și metoda separării variabilelor pentru potențialul magnetic scalar sau vector. În cazuri mai generale se impun metodele numerice, autorul oprindu-se asupra metodei diferențelor finite.

2.4.1. Metoda bazată pe dezvoltarea în serie a potențialului magnetic scalar

Considerăm un conductor cu simetrie axială parcurs de curent și putina avea formă carecare în secțiunea transversală S (fig. 2.27), în ipotezele menționate se poate determina câmpul magnetic printr-o descompunere în suburi de curent elementare (spire filiforme) și aplicarea corespunzătoare a principiului superpoziției.

☞ Pentru determinarea inducției magnetice corespunzătoare unei spire circulare parcurse de curent, se pornește de la expresia potențialului magnetic scalar într-un punct $M(z, \rho)$ situat pe axa de simetrie a spirei. Cu notațiile din figura 2.28, potențialul magnetic scalar are expresia [49]:

$$V_M(z, \rho) = \frac{I}{2} \left(1 - \frac{z - \sqrt{z^2 - \rho^2}}{a} \right) \quad (2.65)$$

Ținând seama că $1/d$ se poate dezvolta în serie de puteri cu coeficienți polinoame Legendre, expresia (2.65) devine:

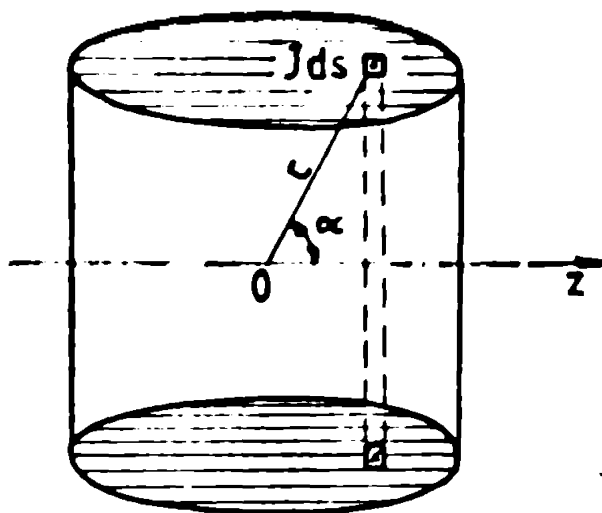


Fig. 2.27. Solenoid cu simetrie axială

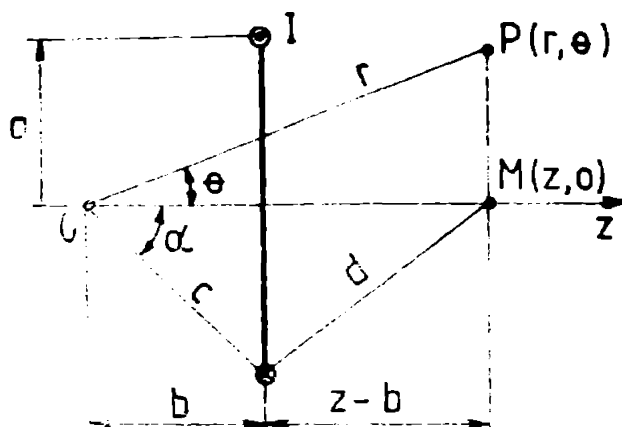


Fig. 2.28. Explicativă privind potențialul magnetic scalar al unei spire circulare

$$V_{\Omega}(z, 0) = \frac{1}{2} \left[1 - \frac{z-b}{c} \sum_{n=0}^{\infty} \left(\frac{z}{c}\right)^n P_n(\cos \alpha) \right] \text{ pentru } z < c$$

$$V_{\Omega}(z, 0) = \frac{1}{2} \left[1 - \frac{z-b}{c} \sum_{n=0}^{\infty} \left(\frac{c}{z}\right)^{n+1} P_n(\cos \alpha) \right] \text{ pentru } z > c$$

(2.64)

în care $P_n(\cos \alpha)$ sînt polinoamele lui Legendre, avînd expresiile cunoscute [49, 117]:

$$P_0(\cos \alpha) = 1 ; P_1(\cos \alpha) = \cos \alpha$$

(2.65)

$$P_n(\cos \alpha) = \frac{2n-1}{n} \cos \alpha P_{n-1}(\cos \alpha) - \frac{n-1}{n} P_{n-2}(\cos \alpha)$$

după unele transformări, expresiile (2.64) se pot pune în forma mai convenabilă:

$$V_{\Omega}(z, 0) = \frac{1}{2} \left[1 + \frac{b}{c} - \sin \alpha \sum_{n=1}^{\infty} \frac{1}{n} \left(\frac{z}{c}\right)^n P_n^0(\cos \alpha) \right] , z < c$$

$$V_{\Omega}(z, 0) = \frac{1}{2} \sin \alpha \sum_{n=1}^{\infty} \frac{1}{n+1} \left(\frac{c}{z}\right)^{n+1} P_n^0(\cos \alpha) , z > c$$

(2.66)

$$\text{în care } P_n^0(\cos \theta) = -\frac{d}{d\theta} [P_n(\cos \theta)]$$

Pe lângă un punct $r(r, \theta)$ definit pe axa de simetrie a spirei cilindrice (Fig. 2.28), potențialul magnetic scalar se scrie din relațiile (2.66) în care se înlocuiește $z^{\pm n}$ cu $r^{\pm n} P_n(\cos \theta)$ [117]. Avînd seama de simetrie și renunțînd la termenul constant $\frac{1}{2}(1 + \frac{b}{c})$ care nu intervine în calculul inducției magnetice, rezultă:

$$V_{\Omega 1}(r, \theta) = -\frac{I \sin \alpha}{c} \sum_{n=1}^{\infty} \frac{1}{n} \left(\frac{r}{c}\right)^n P_n^0(\cos \alpha) P_n(\cos \theta)$$

$$V_{\Omega 2}(r, \theta) = \frac{I \sin \alpha}{2} \sum_{n=1}^{\infty} \frac{1}{n+1} \left(\frac{c}{r}\right)^{n+1} P_n^0(\cos \alpha) P_n(\cos \theta)$$

(2.67)

unde $n=1$ este cu indice 1 ($V_{\Omega 1}$) soluția pentru $r < c$ și cu indice 2 ($V_{\Omega 2}$) pentru $r > c$, necesară ca să se poată trece și în continuare.

Componentele inducției magnetice se determină din $\vec{B} = -\mu_0 \text{grad } V$, unde V , arădă:

$$B_r = -\mu_0 \frac{\partial V_H}{\partial r}, \quad B_\theta = -\mu_0 \frac{\partial V_H}{\partial \theta} \quad (2.68)$$

și se obțin expresiile:

$$B_{r1} = \mu_0 \frac{I \sin \alpha}{2a} \sum_{n=1}^{\infty} \left(\frac{r}{a}\right)^{n-1} P_n'(\cos \alpha) P_n(\cos \theta) \quad (2.69)$$

$$B_{\theta 1} = -\mu_0 \frac{I \sin \alpha}{2a} \sum_{n=1}^{\infty} \frac{1}{n} \left(\frac{r}{a}\right)^{n-1} P_n'(\cos \alpha) P_n'(\cos \theta)$$

$$B_{r2} = \mu_0 \frac{I \sin \alpha}{2b} \sum_{n=1}^{\infty} \left(\frac{r}{b}\right)^{n+2} P_n'(\cos \alpha) P_n(\cos \theta) \quad (2.70)$$

$$B_{\theta 2} = \mu_0 \frac{I \sin \alpha}{2b} \sum_{n=1}^{\infty} \frac{1}{n+1} \left(\frac{r}{b}\right)^{n+2} P_n'(\cos \alpha) P_n'(\cos \theta)$$

atunci cînd secțiunea transversală a a conductivii parcurse de curent este mică, astfel încît aceste se poate considera totuși drept-o lungură spirală helicoidală, care evidențiază avantajul ca sistemul de coordonate poate să fie considerat cu originea în centrul spirii (buc în fig. 2.28) astfel încît $\alpha = \pi/2$, unde $\alpha = 0$, dar ora (rînd spirală), expresiile (2.69) și (2.70) devin:

$$B_{r1} = \mu_0 \frac{I}{2a} \sum_{n=1}^{\infty} \left(\frac{r}{a}\right)^{n-1} P_n'(0) P_n(\cos \theta) \quad (2.71)$$

$$B_{\theta 1} = -\mu_0 \frac{I}{2a} \sum_{n=1}^{\infty} \frac{1}{n} \left(\frac{r}{a}\right)^{n-1} P_n'(0) P_n'(\cos \theta)$$

$$B_{r2} = \mu_0 \frac{I}{2b} \sum_{n=1}^{\infty} \left(\frac{r}{b}\right)^{n+2} P_n'(0) P_n(\cos \theta) \quad (2.72)$$

$$B_{\theta 2} = \mu_0 \frac{I}{2b} \sum_{n=1}^{\infty} \frac{1}{n+1} \left(\frac{r}{b}\right)^{n+2} P_n'(0) P_n'(\cos \theta)$$

Pentru puncte situate pe axa de simetrie (buc), deoarece $P_n(1) = 1$ și $P_n'(1) = 0$, câmpul magnetic are numai componente axiale avînd expresiile:

$$B_{z1}(a, 0) = \mu_0 \frac{I}{2a} \sum_{n=1}^{\infty} \left(\frac{r}{a}\right)^{n-1} P_n'(0) \quad (2.73)$$

$$B_{z2}(a, 0) = \mu_0 \frac{I}{2b} \sum_{n=1}^{\infty} \left(\frac{r}{b}\right)^{n+2} P_n'(0)$$

Pentru puncte situate în planul spirii ($\theta = \pi/2$), deoarece $P_{2n+1}(0) = 0$ și $P_{2n}'(0) = 0$, câmpul are numai componente tangențială orientată tot axial ($B_\theta = -B_z$) avînd expresiile:

$$B_{z1}(r, \frac{\pi}{2}) = \mu_0 \frac{I}{2a} \sum_{n=1}^{\infty} \frac{1}{2n-1} \left(\frac{r}{a}\right)^{2n-2} P_{2n-1}'(0) \quad (2.74)$$

$$B_{z2}(r, \frac{\pi}{2}) = -\mu_0 \frac{I}{2b} \sum_{n=1}^{\infty} \frac{1}{2n+1} \left(\frac{r}{b}\right)^{2n+1} P_{2n+1}'(0)$$

Expresiile (2.74) sînt convenabile pentru determinarea câmpului în planul spirii, avînd în vedere că

$$P_{2n}'(0) = 0; \quad P_1'(0) = 1; \quad P_{2n+1}'(0) = (-1)^n \frac{2n+1}{n} P_{2n-1}'(0) \quad (2.75)$$

astfel încît rezultă:

$$B_{z1}(r, \frac{\pi}{2}) = \frac{\mu_0 I}{2a} \left[1 + \frac{1}{3} \left(\frac{r}{a}\right)^2 \left(\frac{r}{a}\right)^2 + \frac{1}{5} \left(\frac{r}{a}\right)^4 \left(\frac{r}{a}\right)^4 + \dots \right] \quad (2.76)$$

$$B_{z2}(r, \frac{\pi}{2}) = -\frac{\mu_0 I}{2b} \left[\frac{1}{2} \left(\frac{r}{b}\right)^3 + \frac{1}{4} \left(\frac{r}{b}\right)^5 + \frac{1}{6} \left(\frac{r}{b}\right)^7 + \dots \right]$$

Ținând seama de (2.75) rezultă că și expresiile (2.73) se pot pune sub formă:

$$B_{z1}(z, \theta) = \frac{\mu_0 I}{2c} \sum_{n=1}^{\infty} \left(\frac{R}{c}\right)^{2n-2} P_{2n-1}^0(\cos \theta) \quad (2.75')$$

$$B_{z2}(z, \theta) = \mu_0 \frac{I}{2c} \sum_{n=1}^{\infty} \left(\frac{R}{c}\right)^{2n+1} P_{2n-1}^0(\cos \theta)$$

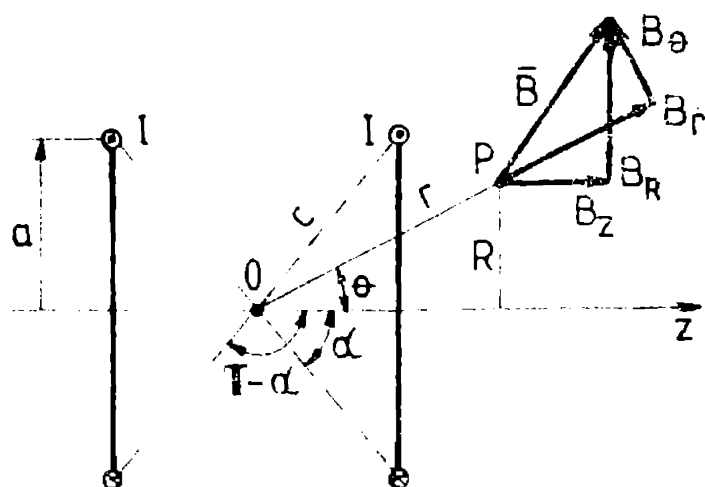


Fig. 2.29. Perechi de spire cilindrice

3. Dacă elementul parcurs de curent (fig. 2.27) prezintă pe lângă simetria axială și simetrie față de un plan central ($z=0$), atunci acesta se poate considera ca fiind format din perechi de spire identice și dispuse simetric. Considerând o astfel de pereche de spire (fig. 2.29), caracterizate prin unghiurile α și $\pi-\alpha$, câmpul rezultat se obține însumând expresii de forma (2.69) respectiv (2.70) pentru cele două spire.

Astfel, de exemplu, pentru componenta radială în cazul $r < c$, se obține:

$$B_{r1} = \mu_0 \frac{I \sin \alpha}{2c} \sum_{n=1}^{\infty} \left(\frac{R}{c}\right)^{n-1} [P_n^0(\cos \alpha) + P_n^0(-\cos \alpha)] \quad (2.77)$$

$$\text{Deoarece } P_n^0(-\cos \alpha) = \begin{cases} P_n^0(\cos \alpha) & \text{pentru } n=2k-1 \\ -P_n^0(\cos \alpha) & \text{pentru } n=2k \end{cases}$$

rezultă că în expresia (2.77) se anulează termenii de ordin par, adică se obține aceeași precizie de calcul dar cu un număr de termeni al seriei recus de jumătate. Componentele inducției magnetice corespunzătoare unei perechi de spire sînt prin urmare:

$$B_{r1} = \mu_0 \frac{I \sin \alpha}{c} \sum_{n=1}^{\infty} \left(\frac{R}{c}\right)^{2n-2} P_{2n-1}^0(\cos \alpha) P_{2n-1}^0(\cos \theta) \quad (2.78)$$

$$B_{\theta 1} = -\mu_0 \frac{I \sin \alpha}{c} \sum_{n=1}^{\infty} \frac{1}{2n-1} \left(\frac{R}{c}\right)^{2n-2} P_{2n-1}^1(\cos \alpha) P_{2n-1}^1(\cos \theta)$$

$$B_{r2} = \mu_0 \frac{I \sin \alpha}{c} \sum_{n=1}^{\infty} \left(\frac{R}{c}\right)^{2n+1} P_{2n-1}^0(\cos \alpha) P_{2n-1}^0(\cos \theta) \quad (2.79)$$

$$B_{\theta 2} = \mu_0 \frac{I \sin \alpha}{c} \sum_{n=1}^{\infty} \frac{1}{2n} \left(\frac{R}{c}\right)^{2n+1} P_{2n-1}^1(\cos \alpha) P_{2n-1}^1(\cos \theta)$$

În practică interesează de cele mai multe ori componentele după direcția axială (B_z) și după o direcție perpendiculară pe aceasta (B_R). Conform cu figura 2.29 acestea se obțin din:

$$B_z = B_z \cos \theta = \mu_0 \sin \theta; \quad B_R = B_R \sin \theta + B_\theta \cos \theta$$

și rezultă:

$$B_{z1} = \mu_0 \frac{I \sin \alpha}{c} \sum_{n=1}^{\infty} \left(\frac{R}{c}\right)^{2n-2} P_{2n-1}^0(\cos \alpha) P_{2n-2}^0(\cos \theta) \quad (2.80)$$

$$B_{R1} = -\mu_0 \frac{I \sin \alpha}{c} \sum_{n=1}^{\infty} \frac{1}{2n-1} \left(\frac{R}{c}\right)^{2n} P_{2n+1}^0(\cos \alpha) P_{2n}^0(\cos \theta)$$

$$B_{z2} = \mu_0 \frac{I \sin \alpha}{a} \sum_{n=1}^{\infty} \left(\frac{a}{r}\right)^{2n+1} P_{2n-1}^1(\cos \alpha) P_{2n}(\cos \theta) \quad (2.61)$$

$$B_{z2} = \mu_0 \frac{I \sin \alpha}{a} \sum_{n=1}^{\infty} \frac{1}{2n} \left(\frac{a}{r}\right)^{2n+1} P_{2n-1}^1(\cos \alpha) P_{2n}^0(\cos \theta)$$

Particularizând aceste expresii pentru $\alpha = \frac{\pi}{2}$ (cazul unei spirale circulare parcursa încă de curentul $2I$), se pot regăsi expresiile particulare pe axa spiralei și respectiv în planul spiralei. Astfel:

- pentru $\theta = 0$, ținând seama că $P_n^1(1) = 0$ și $P_n(1) = 1$ rezultă

$$B_{z1} = B_{z2} = 0;$$

$$B_{\theta 1} = \frac{\mu_0 I}{a} \sum_{n=1}^{\infty} \left(\frac{a}{r}\right)^{2n-2} P_{2n-1}^1(0); \quad B_{\theta 2} = \frac{\mu_0 I}{a} \sum_{n=1}^{\infty} \left(\frac{a}{r}\right)^{2n+1} P_{2n-1}^1(0)$$

adică tocmai relațiile (2.73);

- pentru $\theta = \frac{\pi}{2}$, ținând seama că

$$P_{2n-2}^1(0) = \frac{1}{2n-1} P_{2n-1}^1(0); \quad P_{2n}^1(0) = -\frac{1}{2n} P_{2n-1}^1(0)$$

rezultă:

$$B_{z1} = B_{z2} = 0;$$

$$B_{\theta 1} = \frac{\mu_0 I}{a} \sum_{n=1}^{\infty} \frac{1}{2n-1} \left(\frac{a}{r}\right)^{2n-2} P_{2n-1}^1(0); \quad B_{\theta 2} = -\frac{\mu_0 I}{a} \sum_{n=1}^{\infty} \frac{1}{2n} \left(\frac{a}{r}\right)^{2n+1} P_{2n-1}^1(0)$$

adică tocmai relațiile (2.74).

5. Dacă secțiunea transversală a conductivului parcurs de curent (S în Fig. 2.27) este mare, atunci aceasta se descompune în spirale elementare pentru care sînt valabile expresiile de calcul stabilite anterior, înlocuind doar pe I cu $I \, ds$ și netîind cîmpul corespunzător unei spirale cu ds . Cîmpul rezultat se obține prin integrarea componentei corespunzătoare a lui \vec{dB} pe întreaga suprafață S . Pot interveni următoarele trei situații distincte, în funcție de poziția pe care o ocupă punctul de calcul al cîmpului magnetic (Fig. 2.30):

a) $r < c_{\min}$, adică toate spiralele de calcul au $c > r$. În această situație cîmpul rezultat se obține prin

$$\vec{B}_{\vec{r}_1} = \int_S d\vec{B}_{\vec{r}_1} \approx \sum_1^{N_s} \Delta \vec{B}_{\vec{r}_1} \quad (2.82)$$

unde \vec{r}_1 poate reprezenta pe r, θ, z sau ρ , iar N_s este un număr finit de spirale de secțiune ΔS în care s-a descompus bobina;

b) $r > c_{\max}$, adică toate spiralele de calcul au $c < r$. Rezultă:

$$\vec{B}_{\vec{r}_2} = \int_S d\vec{B}_{\vec{r}_2} \approx \sum_1^{N_s} \Delta \vec{B}_{\vec{r}_2} \quad (2.83)$$

c) $c_{\min} < r < c_{\max}$, adică există spirale în situația $r < c$, dar există și spirale în situația $r > c$. În acest caz, cîmpul

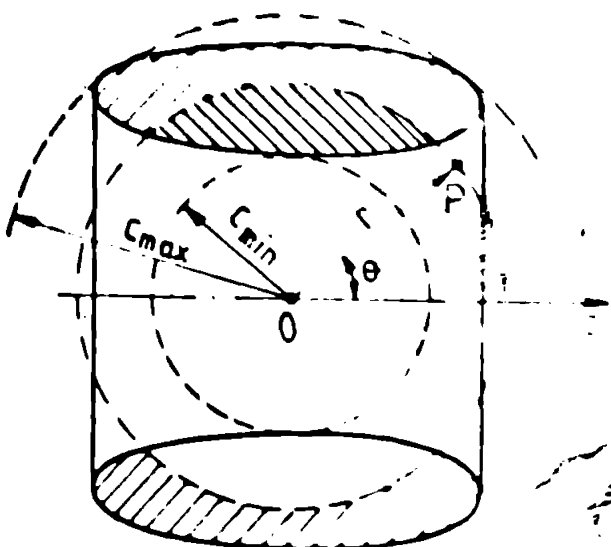


Fig. 2.30. Bobină masivă cu simetrie axială

pe rezultat se obține prin:

$$A_{\Sigma} = \int_{S_1} dB_{\Sigma 1} + \int_{S_2} dB_{\Sigma 2} = \sum_1^{N_{S1}} \Delta B_{\Sigma 1} + \sum_1^{N_{S2}} \Delta B_{\Sigma 2} \quad (2.84)$$

unde N_{S1} reprezintă spirale care satisfac condiția $r < a$, iar N_{S2} cele care satisfac condiția $r > a$.

Având în vedere expresiile lui a_0 , integrarea analitică în relațiile (2.62), (2.63) sau (2.84) este practic imposibilă, se poate aproxima-se printr-o sumă finită, corespunzătoare unui număr finit (N_s) de spire de secțiune Δs și parcursă de curentul $\Delta i = \Delta s$. Astfel, de exemplu, pentru componenta longitudinală a câmpului rezultat în cazul unui sistem care prezintă și simetrie față de planul central, se obține:

$$\begin{aligned} B_{z1} &= \sum_{i=1}^{N_s} \mu_0 \frac{J_i \Delta s_i \sin \alpha_i}{c_i} \sum_{n=1}^{\infty} \left(\frac{r}{a_i}\right)^{2n-2} P_{2n-1}^1(\cos \alpha_i) P_{2n-1}(\cos \theta) \\ B_{z2} &= \sum_{i=1}^{N_s} \mu_0 \frac{J_i \Delta s_i \sin \alpha_i}{c_i} \sum_{n=1}^{\infty} \left(\frac{a_i}{r}\right)^{2n+1} P_{2n-1}^1(\cos \alpha_i) P_{2n}(\cos \theta) \\ B_z &= \sum_{i=1}^{N_{S1}} \mu_0 \frac{J_i \Delta s_i \sin \alpha_i}{c_i} \sum_{n=1}^{\infty} \left(\frac{r}{a_i}\right)^{2n-2} P_{2n-1}^1(\cos \alpha_i) P_{2n-1}(\cos \theta) + \\ &+ \sum_{i=1}^{N_{S2}} \mu_0 \frac{J_i \Delta s_i \sin \alpha_i}{c_i} \sum_{n=1}^{\infty} \left(\frac{a_i}{r}\right)^{2n+1} P_{2n-1}^1(\cos \alpha_i) P_{2n}(\cos \theta) \quad (2.85) \end{aligned}$$

Expresii similare se pot scrie având la bază oricare dintre componentele de curent pentru o spira sau o porțiune de spire.

2.4.2. Metode pentru îmbunătățirea uniformității câmpului magnetic

După cum s-a mai amintit, bobinele cu simetrie circulară care se întâlnesc cel mai frecvent în practică au forma unor solenoidi sau combinații de solenoidi. Deoarece în multe situații se impune o anumită uniformitate a câmpului magnetic realizat în zona utilă, este necesară analiza modului de variație a acestuia în zona respectivă și a posibilităților de îmbunătățire a uniformității.

α. În acest scop se consideră un solenoid cu densitate de curent constantă pe secțiunea sa transversală (fig. 2.31). Câmpul magnetic pe axa solenoidului se obține cu expresia (2.1) care descrie simetria de integrare simplă, rezultând:

$$B = \frac{\mu_0}{2} a_1 \left[F(\alpha, \beta + \frac{a_2}{a_1}) + F(\alpha, \beta - \frac{a_2}{a_1}) \right] \quad (2.86)$$

în care s-au introdus notațiile $\alpha = a_2/a_1$ și $\beta = b/a_1$, iar $F(\alpha, \beta)$ este un factor geometric având expresia [83]:

$$F(\alpha, \beta) = \frac{4}{\pi} \beta \left[\ln(\alpha + \sqrt{\alpha^2 + \beta^2}) - \ln(1 + \sqrt{1 + \beta^2}) \right] \quad (2.87)$$

(se obține α în [r] dacă se înlocuiește J în $[A/mm^2]$ și a_1 în [m]). În centrul solenoidului, se obține din (2.86) pentru $s = 0$,

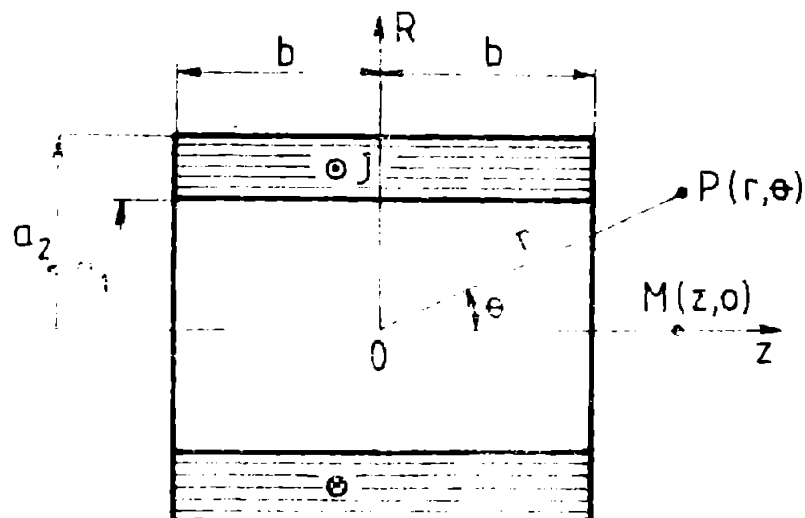


Fig. 2.31. Solenoid cu densitate de curent constantă pe secțiune

$$B_0 = J a_1 F(\alpha, \beta) \quad (2.88)$$

iar în zona centrală ($r < a_1$) câmpul magnetic se poate exprima și printr-o dezvoltare în serie în jurul originii [18, 53], componenta longitudinală avînd expresia:

$$B_z = B_0 \left[1 + \alpha_2(\alpha, \beta) \left(\frac{r}{a_1}\right)^2 P_2(\cos \theta) + \alpha_4(\alpha, \beta) \left(\frac{r}{a_1}\right)^4 P_4(\cos \theta) + \dots \right] \quad (2.89)$$

$$F_{2n}(\alpha, \beta) = \frac{1}{B_0(2n)!} \left(\frac{\partial^{2n}}{\partial z^{2n}} B(z, 0) \right)_{z=0} \quad \text{în care} \quad (2.90)$$

Ținînd seama de semnificația polinoamelor Legendre, din relația (2.89) rezultă că variația maximă a câmpului magnetic se obține pentru puncte situate pe axa solenoidului ($r = z$),

$$B(z, 0) = B_0 \left[1 + \alpha_2(\alpha, \beta) \left(\frac{z}{a_1}\right)^2 + \alpha_4(\alpha, \beta) \left(\frac{z}{a_1}\right)^4 + \dots \right]$$

și ținînd seama de (2.88) rezultă:

$$B(z, 0) = J a_1 \left[F(\alpha, \beta) + \alpha_2(\alpha, \beta) \left(\frac{z}{a_1}\right)^2 + \alpha_4(\alpha, \beta) \left(\frac{z}{a_1}\right)^4 + \dots \right] \quad (2.91)$$

respectiv

$$B(z, 0) = J a_2 \left[\frac{1}{\alpha} F(\alpha, \beta) + \alpha^2 \alpha_2(\alpha, \beta) \left(\frac{z}{a_2}\right)^2 + \alpha^4 \alpha_4(\alpha, \beta) \left(\frac{z}{a_2}\right)^4 + \dots \right] \quad (2.92)$$

Expresiile termenilor $F_{2n}(\alpha, \beta)$ se pot determina prin calcularea derivatelor (2.90) și ținînd seama de (2.87), fiind date în literatură [83, 80]. La asemenea se pot deduce relații similare pentru cazul în care densitatea de curent este variabilă pe secțiunea solenoidului. Astfel în [33] se dau expresiile lui B_0 și $F(\alpha, \beta)$ pentru cazul în care J are o variație liniară în direcția radială, $J = J_0 a / a_1$.

Pentru a obține un câmp magnetic de mare uniformitate în jurul originii și fără a face apel la soluția total necomercială de marimă a lungimii solenoidului, se poate face o combinație de solenoizi astfel încît să se anuleze unii termeni din relația (2.91) sau (2.92). În literatură [18, 53] se folosește terminologia de "bobină compensată de ordinul $2n$ ", unde $2n$ reprezintă ordinal primul termen necul din seria (2.91) sau (2.92).

β. Compensarea de ordinul patru se obține în mod simplu dacă se consideră bobinele din figura 2.32 ca fiind rezultate din combinația a doi solenoizi avînd parametrii a_1, α, β, J și respectiv a_1, α, β_c și $J_c = -J$. Ținînd seama de relația (2.91) rezultă:

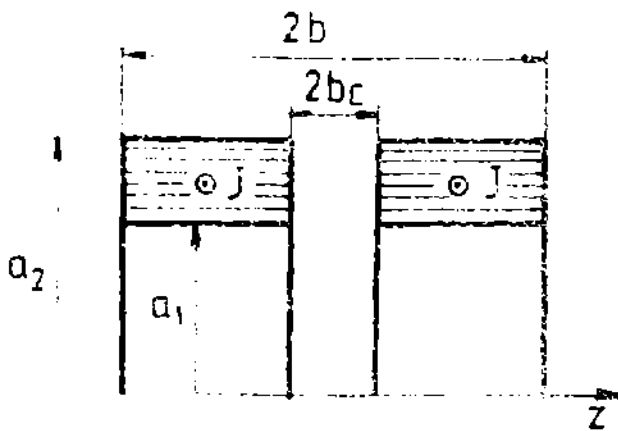


Fig. 2.32. Compensare de ordinul patru
numai dacă $\beta \geq (1 + \alpha)/4$.

Practic parametrul β_c se obține în mod simplu dacă se tabelizează $F\dot{A}_2(\alpha, \beta)$ în funcție de α și β . Apoi pentru α și β dat, se alege β_c din tabel astfel încât să fie satisfăcută condiția (2.94).

8. Pentru compensare de ordinul șase se cunoaște din literatură [18, 27, 83, 88] mai multe posibilități, dintre care se prezintă două mai frecvent întâlnite:

a) bobină de compensare interior (fig. 2.33) situație în care bobina se consideră formată din doi solenoidi având parametrii a_1, α, β, J și respectiv $a_2, \alpha_c, \beta_c, J_c = -J$. Pentru compensare de ordinul șase, rezultă parametrii α_c și β_c din satisfacerea simultană a condițiilor:

$$F\dot{A}_2(\alpha_c, \beta_c) = F\dot{A}_2(\alpha, \beta) ; F\dot{A}_4(\alpha_c, \beta_c) = F\dot{A}_4(\alpha, \beta) \quad (2.95)$$

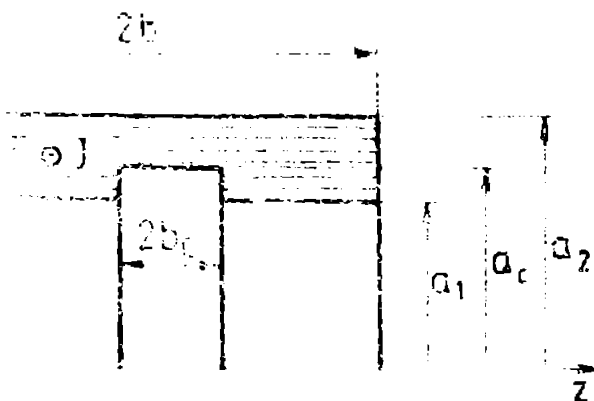


Fig. 2.33. Solenoid de compensare interior

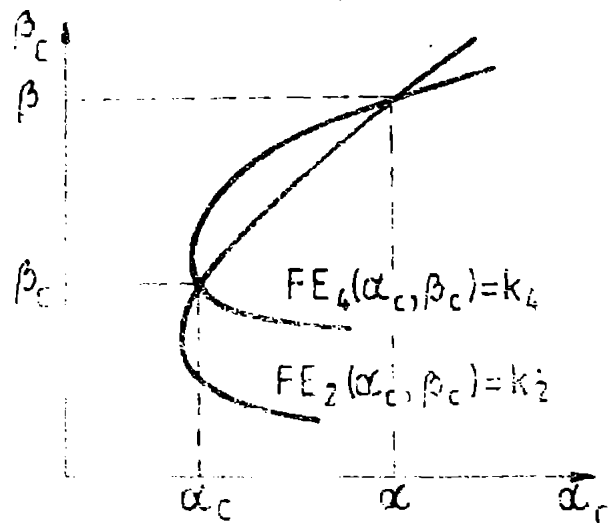


Fig. 2.34. Determinarea grafică a parametrilor solenoidului de compensare

Determinarea practică a parametrilor solenoidului de compensare se face în două etape:

- se determină pentru solenoidul de bază (α, β) sarcinile:

$$F\dot{A}_2(\alpha, \beta) = k_2$$

$$F\dot{A}_4(\alpha, \beta) = k_4$$

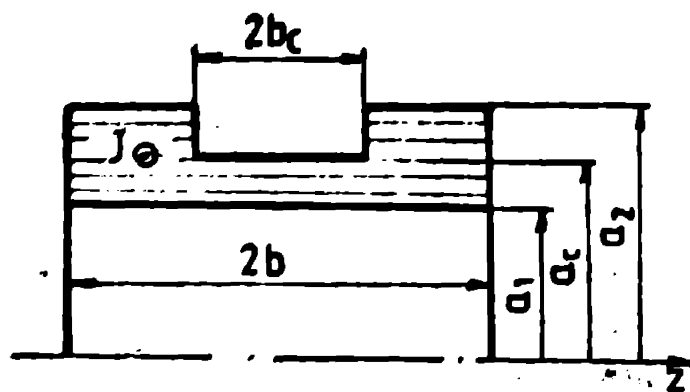


fig. 2.55. Solenoid de compensare exterior

și respectiv $\alpha_2, \beta_2, J_0 = -J$. Baza comună a celor doi solenoidi fiind α_2 , se folosește expresia (2.52) pentru inducția magnetică și rezultă o compensare de ordinul șase dacă se îndeplinesc condițiile:

$$\begin{aligned} \alpha_c F_{\alpha_2}(\alpha_c, \beta_c) &= \alpha F_{\alpha}(\alpha, \beta) \\ \alpha_c^3 F_{\beta_2}(\alpha_c, \beta_c) &= \alpha^3 F_{\beta}(\alpha, \beta) \end{aligned} \quad (2.96)$$

În mod similar se pot deduce condițiile necesare pentru compensare de un anumit ordin în situație de densitatea de curent este variabilă de la un strat la altul. Astfel autorul a stabilit condițiile pentru compensare de ordinul șase în situația cu solenoidul este format din două sau trei straturi cu Jact [27,55]. Pentru cea de-a doua structură (fig. 2.56) aceste condiții sînt:

$$\begin{aligned} F_{\alpha_2}(\alpha_c, \beta_c) &= F_{\alpha_2}(\alpha_1, \beta_1) + \frac{J_2}{\alpha_1 J_1} F_{\alpha_2}(\alpha_2, \beta_2) \\ F_{\beta_2}(\alpha_c, \beta_c) &= F_{\beta_2}(\alpha_1, \beta_1) + \frac{J_2}{\alpha_1^3 J_1} F_{\beta_2}(\alpha_2, \beta_2) \end{aligned} \quad (2.97)$$

De asemenea în [27] se propune un nou mod de compensare (fig. 2.57) derivat din varianta cu solenoid de compensare exterior, în care însă $J_0 = -J$. Condițiile necesare pentru compensare de ordinul șase sînt:

$$\begin{aligned} \alpha_c F_{\alpha_2}(\alpha_c, \beta_c) &= \frac{J}{J_0} \alpha F_{\alpha}(\alpha, \beta) \\ \alpha_c^3 F_{\beta_2}(\alpha_c, \beta_c) &= \frac{J}{J_0} \alpha^3 F_{\beta}(\alpha, \beta) \end{aligned} \quad (2.98)$$

Înca raportul J/J_0 este impus, din condițiile (2.98) rezultă α_c și β_c se alegîndu-se desigur pentru raportul J/J_0 o valoare optimă astfel încît câmpul în semn controlă să nu deașorească exagerat de mult. Se poate însă impune α_c (de exemplu $\alpha_c = \alpha$) și vor rezulta din relațiile (2.98) β_c și J/J_0 . Există și posibilitatea obținerii unei compensări de ordinul opt, încă se determină α_c, β_c și J/J_0 din condițiile:

- se reprezintă grafic (fig. 2.54)

curbaze

$$F_{\alpha_2}(\alpha_c, \beta_c) = K_2$$

$$F_{\beta_2}(\alpha_c, \beta_c) = K_4$$

- parametrii solenoidului de compensare rezultă din intersecția celor două curbe (dacă există al doilea punct de intersecție).

b) Solenoid de compensare exte-

rior (fig. 2.55), situație în care obi-

cina se consideră formată din doi so-

lenuzi avînd parametrii α_2, β_2, J_0

și respectiv $\alpha_2, \beta_2, J_0 = -J$. Baza comună a celor doi solenoidi fiind

α_2 , se folosește expresia (2.52) pentru inducția magnetică și rezultă o compensare de ordinul șase dacă se îndeplinesc condițiile:

$$\begin{aligned} \alpha_c F_{\alpha_2}(\alpha_c, \beta_c) &= \alpha F_{\alpha}(\alpha, \beta) \\ \alpha_c^3 F_{\beta_2}(\alpha_c, \beta_c) &= \alpha^3 F_{\beta}(\alpha, \beta) \end{aligned} \quad (2.96)$$

În mod similar se pot deduce condițiile necesare pentru compensare de un anumit ordin în situație de densitatea de curent este variabilă de la un strat la altul. Astfel autorul a stabilit condițiile pentru compensare de ordinul șase în situația cu solenoidul este format din două sau trei straturi cu Jact [27,55]. Pentru cea de-a doua structură (fig. 2.56) aceste condiții sînt:

$$\begin{aligned} F_{\alpha_2}(\alpha_c, \beta_c) &= F_{\alpha_2}(\alpha_1, \beta_1) + \frac{J_2}{\alpha_1 J_1} F_{\alpha_2}(\alpha_2, \beta_2) \\ F_{\beta_2}(\alpha_c, \beta_c) &= F_{\beta_2}(\alpha_1, \beta_1) + \frac{J_2}{\alpha_1^3 J_1} F_{\beta_2}(\alpha_2, \beta_2) \end{aligned} \quad (2.97)$$

De asemenea în [27] se propune un nou mod de compensare (fig. 2.57) derivat din varianta cu solenoid de compensare exterior, în care însă $J_0 = -J$. Condițiile necesare pentru compensare de ordinul șase sînt:

$$\begin{aligned} \alpha_c F_{\alpha_2}(\alpha_c, \beta_c) &= \frac{J}{J_0} \alpha F_{\alpha}(\alpha, \beta) \\ \alpha_c^3 F_{\beta_2}(\alpha_c, \beta_c) &= \frac{J}{J_0} \alpha^3 F_{\beta}(\alpha, \beta) \end{aligned} \quad (2.98)$$

Înca raportul J/J_0 este impus, din condițiile (2.98) rezultă α_c și β_c se alegîndu-se desigur pentru raportul J/J_0 o valoare optimă astfel încît câmpul în semn controlă să nu deașorească exagerat de mult.

Se poate însă impune α_c (de exemplu $\alpha_c = \alpha$) și vor rezulta din relațiile (2.98) β_c și J/J_0 . Există și posibilitatea obținerii unei compensări de ordinul opt, încă se determină α_c, β_c și J/J_0 din condițiile:

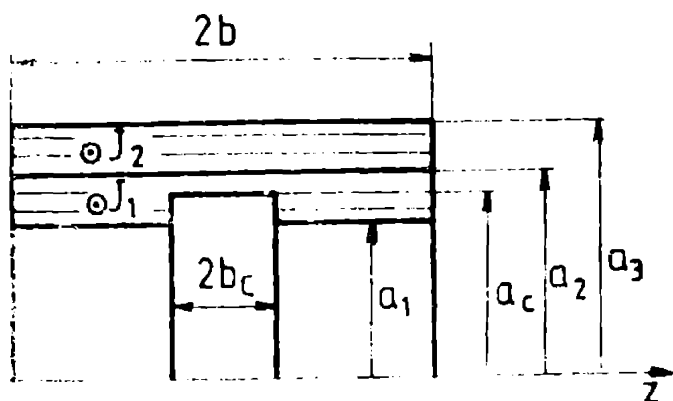


Fig. 2.36. Solenoid cu două straturi $J \neq ct$

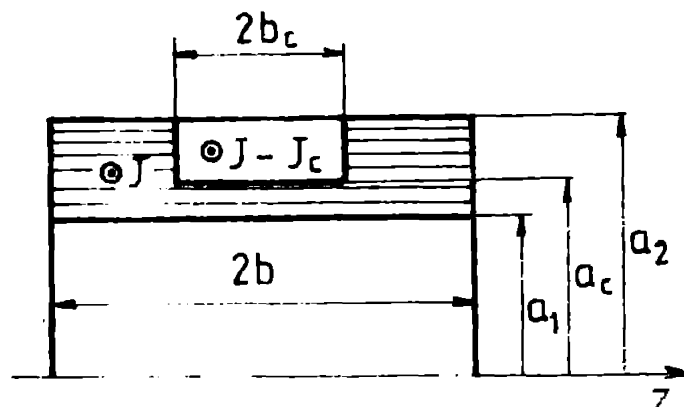


Fig. 2.37. Varianta propusă pentru compensare

$$\begin{aligned} \alpha_c FE_2(\alpha_c, \beta_c) &= \int_0^1 \alpha FE_2(\alpha, \beta) \\ \alpha_c^3 FE_4(\alpha_c, \beta_c) &= \int_0^1 \alpha^3 FE_4(\alpha, \beta) \\ \alpha_c^5 FE_6(\alpha_c, \beta_c) &= \int_0^1 \alpha^5 FE_6(\alpha, \beta) \end{aligned} \quad (2.49)$$

În acest scop recomandăm-se utilizarea unor metode numerice pentru soluționarea sistemului (2.36).

5. Prin metodele de compensare prezentate în paragrafele anterioare se poate obține un câmp magnetic de înaltă uniformitate într-o zonă centrală restrinsă. Autorul propune în continuare o posibilitate de a extinde zona de câmp uniform prin modificarea pe zone a densității de curent.

Se consideră un solenoid sub formă unei plăci de curent (Fig. 2.38) cu densitatea liniară J_l constantă. Inducția magnetică într-un punct situat pe axa solenoidală se obține pornind de la relația (2.1) și rezultă:

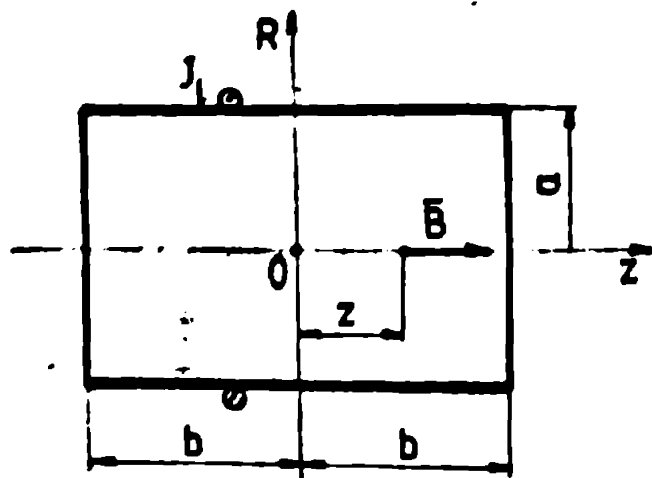


Fig. 2.38. Placă de curent cu $J_l = ct$

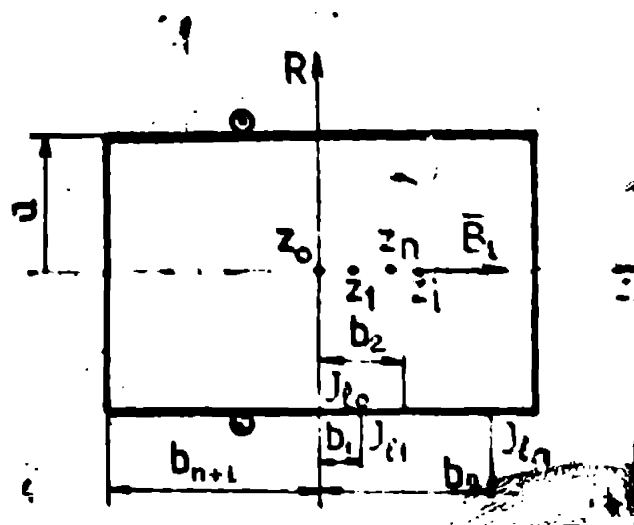


Fig. 2.39. Placă de curent cu $J_l = ct$ pe porțiuni

$$B = \frac{\mu_0 J_1}{2} f(a, b, z) \quad (2.100)$$

unde $f(a, b, z)$ este un factor geometric avind expresia:

$$f(a, b, z) = \frac{b+z}{\sqrt{a^2+(b+z)^2}} + \frac{b-z}{\sqrt{a^2+(b-z)^2}} \quad (2.101)$$

Dacă se consideră solenoidul format din n zone cu densitatea constantă pe fiecare zonă, dar variabilă de la o zonă la alta (fig. 2.39), inducția magnetică într-un punct z_1 pe axa de simetrie rezultă prin însumarea contribuțiilor tuturor zonelor:

$$B_1 = \frac{\mu_0}{2} \sum_{j=0}^n J_{1j} [f(a, b_{j+1}, z_1) - f(a, b_j, z_1)] \quad (2.102)$$

în care $b_0 = 0$ și deci $f(a, b_0, z_1) = 0$.

Relația (2.102) se poate aplica și dacă raza a este variabilă de la o zonă la alta, înlocuindu-se deci a cu a_j . În esență, ecuația se poate pune în formă:

$$B_1 = \mu_0 \sum_{j=0}^n K_j J_{1j} \quad (2.103)$$

în care $K_j = J_{1j} / J_{10}$ și $B_{1j} = f(a_j, b_{j+1}, z_1) - f(a_j, b_j, z_1)$

Coefficienții K_j se pot determina din condiția ca inducția magnetică în n puncte situate pe axă să fie aceeași cu cea din centrul bobinei, adică

$$B_1 = B_0 \quad ; \quad i = 1, n \quad (2.104)$$

Lezându-se K_0 este cunoscut ($K_0 = 1$) expresiile (2.104) se pun sub formă:

$$\sum_{j=1}^n K_j (B_{1j} - B_{1j}) = B_{11} - B_{11} \quad ; \quad i = 1, n \quad (2.105)$$

sau mai compact

$$\sum_{j=1}^n C_{1j} K_j = 2B_{11} \quad ; \quad i = 1, n \quad (2.106)$$

Prin urmare a rezultat un sistem de ecuații algebrice liniare, care se poate rezolva simplu prin metode numerice [40, 72, 77].

În cazul unui solenoid masiv, avind razele a_1 și a_2 și format din n zone cu densitate de curent constantă (fig. 2.40), pentru a obține un câmp magnetic uniform se procedează ca și în cazul precedent. Altfel, se pornește de la expresia (2.100) pentru câmpul magnetic pe axa unui solenoid cu n constant și coastă secționară a_1 , și se obține

$$B_1 = \frac{1}{2} \sum_{j=0}^n J_j a_{1j} \left[\mu(\alpha_j \beta_{j+1} + \frac{z_1}{a_{1j}}) + \mu(\alpha_j \beta_{j+1} - \frac{z_1}{a_{1j}}) - \mu(\alpha_j \beta_j + \frac{z_1}{a_{1j}}) - \mu(\alpha_j \beta_j - \frac{z_1}{a_{1j}}) \right] \quad (2.107)$$

Acceastă relație are aceeași formă ca și (2.103), înca coeficienții B_{1j} au altă expresie și anume:

$$E_{1j} = a_{1j} \left[E(\alpha_j \beta_{j+1} + \frac{z_1}{a_{1j}}) + \right. \\ \left. + E(\alpha_j \beta_{j+1} - \frac{z_1}{a_{1j}}) - E(\alpha_j \beta_j + \frac{z_1}{a_{1j}}) - \right. \\ \left. - E(\alpha_j \beta_j - \frac{z_1}{a_{1j}}) \right] \quad (2.106)$$

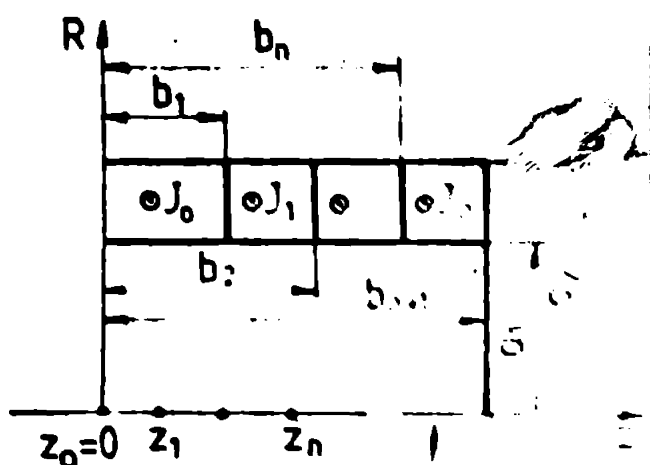


Fig. 2.40. Solenoid cu
Jest. pe porțiuni

Impunind condiția (2.104), rezultă un sistem de ecuații de formă (2.105), respectiv (2.106) cu aceeași semnificație (2.105).

η. O posibilitate de a obține un câmp uniform în toată zona interioară a unei bobine rezultă prin realizarea acesteia sub formă unui elipsoid și având o îndăurire exterioară de sud-șire (patru de curent) cu o densitate liniară de curent ce variază într-un anumit mod în lungul bobinei.

Problema care se pune este determinarea distribuției acestei densități liniare de curent. În acest scop se poate pleca de la faptul cunoscut [117] că dacă într-un câmp magnetic uniform \vec{B}_0 , se plasează un corp diamagnetic de formă elipsoidală, în interiorul acestuia câmpul magnetic este tot uniform, dar mai mic, $\vec{B} < \vec{B}_0$ (fig. 2.41, a).

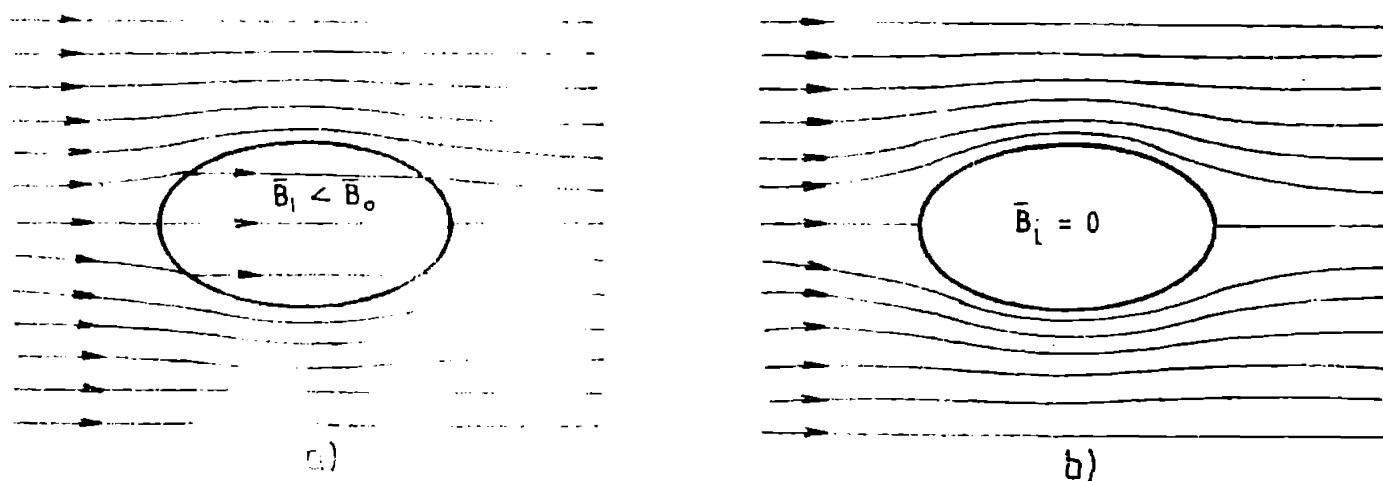


Fig. 2.41. Corp diamagnetic elipsoidal în câmp magnetic uniform
Câmpul magnetic în interiorul elipsoidului se poate considera sub formă $\vec{B}_1 = \vec{B}_0 + \vec{B}'$, în care \vec{B}' este produs de curenții legați din corp.

Dacă se consideră elipsoidul diamagnetic ideal (de exemplu superconductor), cu $\mu_r = 0$ ($\chi_r = -1$), atunci $\vec{B}_1 = 0$ ($\vec{B}' = -\vec{B}_0$), adică curenții legați produc un câmp magnetic egal și de sens contrar cu câmpul exterior. Situația este re- prezentată în fig. 2.41, b).

Considerăm în continuare curenții legați ca o pătură de cu-

rent pe suprafața elipsoidului, densitatea liniară a acestora, J_l , se determină din:

$$\text{rot}_s \vec{B} = \mu_0 J_l = B_{\text{ot}} - B_{\text{it}}$$

și deoarece $B_{\text{it}} = 0$ rezultă:

$$J_l = \frac{1}{\mu_0} B_{\text{ot}} \quad (2.109)$$

Prin urmare pentru cunoașterea densității liniare J_l pe suprafața elipsoidului diamagnetic ideal, trebuie cunoscută componenta tangențială a câmpului magnetic în acea suprafață.

Importanța practică a relației (2.109) constă în faptul că dacă se realizează o astfel de distribuție de curenți și se păstrează și în absența câmpului exterior, atunci scurgea pătura de curenți produce în interiorul elipsoidului un câmp magnetic uniform (fig. 2.42).

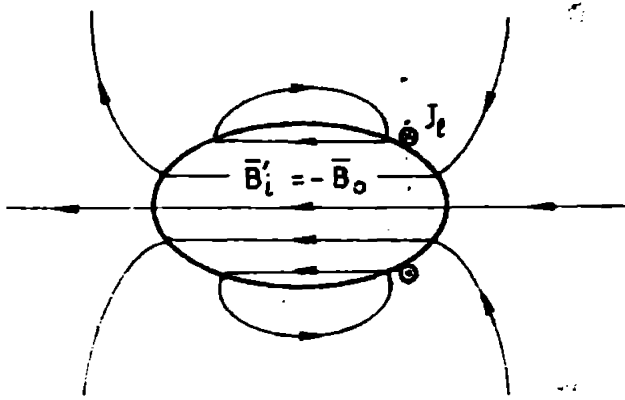


Fig. 2.42. Câmpul magnetic al bobinei elipsoidice unui elipsoid de rotație (care interesează în practică) cu semiaxele a și b fiind:

$$J_l = \frac{\mu_0}{1+G} \frac{By}{\sqrt{b^2+y^2(p^2-1)}} = \frac{a}{1+G} \frac{\sqrt{1-(\frac{x}{a})^2}}{\sqrt{1-(1-\frac{1}{p^2})(\frac{x}{a})^2}} \quad (2.110)$$

în care G este un factor geometric cu expresia:

$$G = \frac{1}{p^2-1} \left[\frac{4}{\sqrt{p^2-1}} \ln(p + \sqrt{p^2-1}) - 1 \right] \quad (2.111)$$

iar $p = a/b$ (raportul semiaxelor elipsoidului).

Se constată că densitatea liniară de curenți are o variație relativ complicată în lungul unei elipticități (fig. 2.43) și prin urmare este dificilă realizarea practică a unei astfel de înfășurări. Dificultatea aceasta se poate însă elimina în mod simplu, dacă bobina elipsoidică se aproximează printr-o înfășurare în trepte, în limita o înfășurare de astfel de trepte. Curentul de printr-o treaptă de lungime dl trebuie să fie egal cu cel corespunzător lungimii dl pe elipsoid (fig. 2.44) adică:

$$dl = J_l dl = J_l^0 dz \quad (2.112)$$

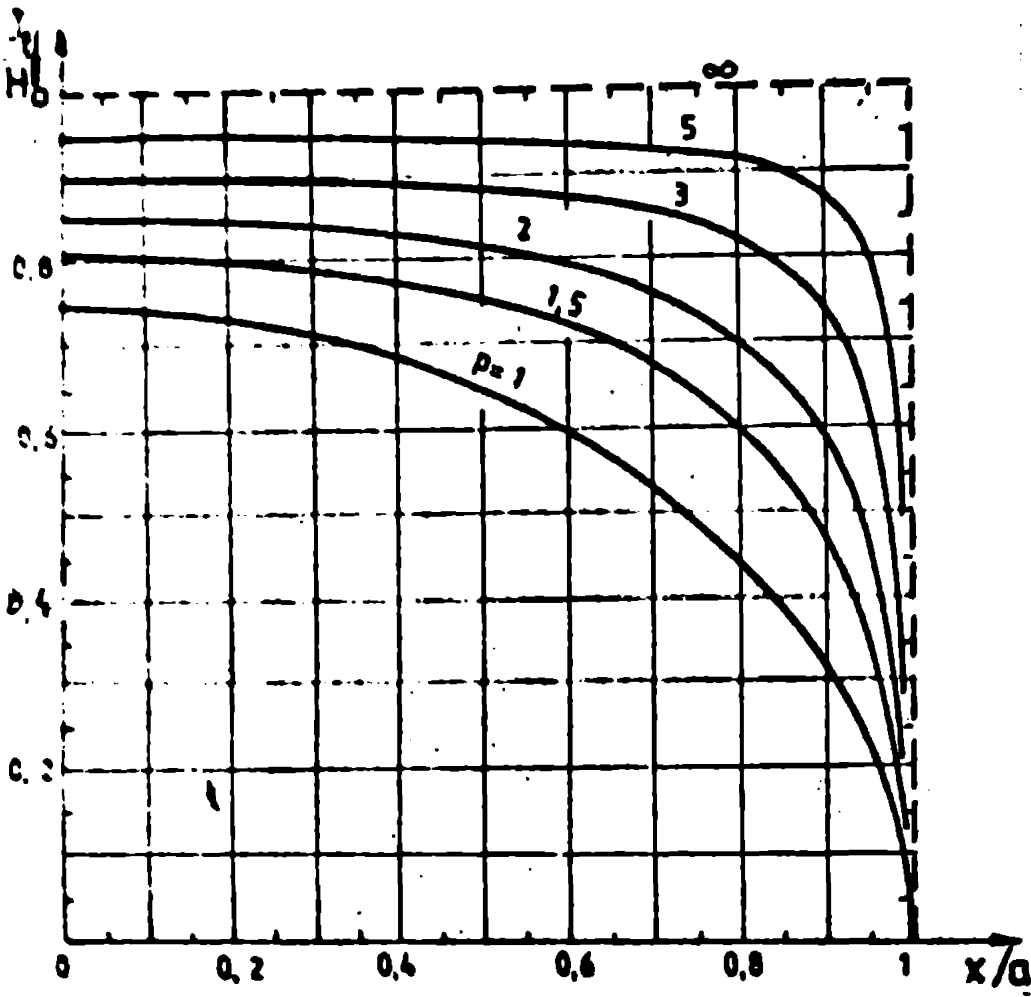


Fig. 2.43. Distribuția densității de curent în bobina elipsoidală

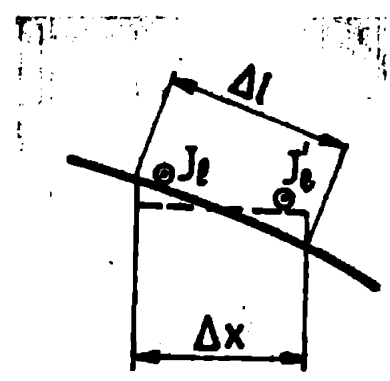


Fig. 2.44. Aproximarea elipsoidalului în trepte

Ținând seama că
 $dl = \sqrt{dx^2 + dy^2} =$
 $= \frac{1}{py} \sqrt{b^2 + y^2(p^2 - 1)} dx$
 din (2.110) și (2.112)
 se obține
 $J_1' = J_1 \frac{dl}{dx} = \frac{b}{1+G}$ (2.115)

acest rezultat

reflectă faptul că densitatea de curent în treptele prin care se aproximează bobina elipsoidală este aceeași independent de x și deci ușor de realizat practic. Pe baza ecuației ultimei răsfilii se poate calcula foarte ușor cîmpul magnetic în interiorul unei astile de bobine:

$$H_0 = (1+G)J_1' \quad (2.114)$$

Este interesant de analizat cazurile limită $p \rightarrow \infty$ și $p \rightarrow 1$.

a) Pentru $p \rightarrow \infty$ bobina elipsoidală devine o solenoidă înfășurată în jurul unui cilindru lung și foarte subțire $\lim_{p \rightarrow \infty} G = 0$, relația (2.114) ia forma:

$$H_0 = J_1' \quad (2.115)$$

cunoscută din cazul solenoidului de lungime foarte mare.

b) Pentru $p \rightarrow 1$, elipsoidalul degenerază într-o așă și deoarece $\lim_{p \rightarrow 1} G = \frac{1}{3}$, se obține din (2.114):

$$H_0 = (1 + \frac{1}{3})J_1' = \frac{4}{3} J_1' \quad (2.116)$$

Se constată, după cum era de așteptat, că la o anumită densitate de curent se obține un cîmp magnetic cu utit mai intens cu cît p este mai mic. Într-adevăr și de suprafața ocupată de pătura de curent care la o anumită densitate o impune de condițiile de utilizare rezultă cu utit mai mică cu cît p este mai mic, se recomandă ca elipsoidalii să fie alungați cât mai puțin posibil.

În practică, pentru a facilita accesul în zona interioară a bobinei, înfășurarea nu va ocupa întreg elipsoidul ci, va fi acoperită la capete (fig. 2.45). În această situație scade gradul de uniformitate al câmpului magnetic mai ales la capete, dar se păstrează un nivel de bun în zona centrală.

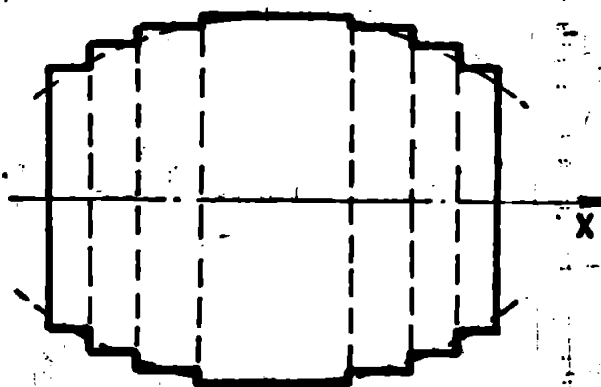


Fig. 2.45. Aproximarea în trepte a bobinei elipsoidale caschate

Pentru a compensa micșorarea gradului de uniformitate ca urmare a descolării bobinajului la capete, se propune următoarea soluție:

- se realizează înfășurarea din n bobinajii de raza exterioră egală înalte să aproximeze elipsoidul desenat (fig. 2.45);
- se determină densitatea de curent în fiecare zonă din condiția ca în n puncte de pe axă să fie același câmp, după metoda indicată în cazul bobinajilor.

siior.

2.4.3. Metoda separării variabilelor

În cazul prezentei unor medii feromagnetice (introduse în scop de corectare) nu se mai pot aplica metodele de calcul prezentate mai sus, urmind să se recurgă la metode numerice. În unele situații particulare însă, când mediile sunt izolare, se poate determina și analitic câmpul magnetic folosind metoda separării variabilelor.

Se consideră astfel cazul unei bobine cilindrice scurte în prezența unui mediu feromagnetic coaxial (fig. 2.46). Pentru calcul

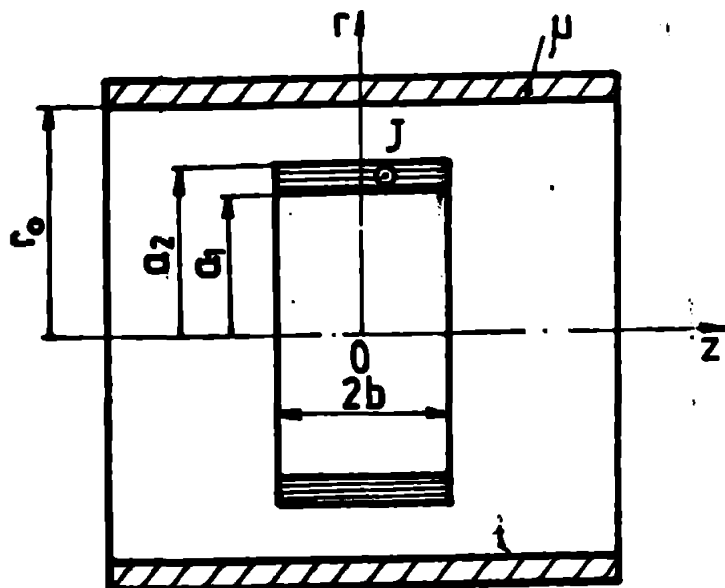


Fig. 2.46. Bobină cilindrică cu ecran feromagnetic coaxial

se poate folosi potențialul magnetic scalar, V_m , sau potențialul vector, \vec{A} , care în puncte situate în starea mediilor periferice de curent, î satisfac ecuația lui Laplace:

$$\nabla^2 V_m = 0, \text{ respectiv } \nabla^2 \vec{A} = 0.$$

Întrucât avem de-a face cu sisteme cilindrice, aceste ecuații în coordonate cilindrice sunt:

$$\frac{1}{r} \frac{\partial}{\partial r} \left(r \frac{\partial V_m}{\partial r} \right) + \frac{\partial^2 V_m}{\partial z^2} = 0 \quad (2.117)$$

$$\frac{\partial}{\partial r} \left(\frac{1}{r} \frac{\partial A}{\partial r} \right) + \frac{\partial^2 A}{\partial z^2} = 0 \quad (2.118)$$

Rezolvarea problemei constă în integrarea ecuației (2.117) sau (2.118) în condiții de frontieră date, integrare posibilă dacă se admit anumite simplificări, astfel se consideră ecranul ideal ($\mu = \infty$) și de lungime infinită, iar bobina cilindrică se aproximează printr-o spirală circulară sau printr-o pătură de curent.

β . În cazul unei spirale circulare ecranată cu un cilindru feromagnetic ideal coaxial (fig. 2.47,a), suprafața ecranului are $V_H = 0$ și se poate deci considera că

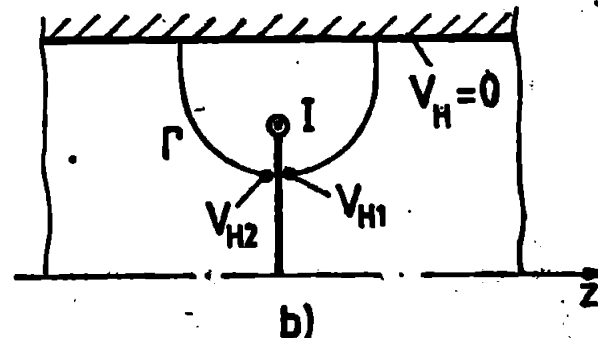
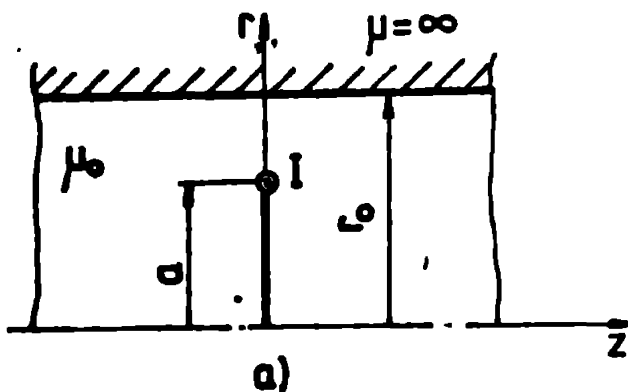


fig. 2.47. Spirală circulară ecranată cu un cilindru feromagnetic coaxial

$$V_H(r_0, z) = 0 \quad (2.119)$$

Pe ce altă parte, suprafața spiralei este o suprafață de discontinuitate pentru V_H , rezultând în condiția (2.119) potențiale egale și de semn contrari pe cele două lăți ale suprafeței spiralei (fig. 2.47,b)

$$V_{H1} = -V_{H2} = V_{H0}$$

relație care are valabilitate pentru orice $0 \leq r < a$.

Valoarea lui V_{H0} se determină din teorema lui Ampère

$$\oint_{\Gamma} \vec{H} \cdot d\vec{l} = I = V_{H1} - V_{H2} = 2V_{H0}$$

și dacă se notează $A(0,0) = I/2a = H_0$, rezultă:

$$V_{H0} = aH_0 \quad (2.120)$$

În virtutea simetriei rezultă că în puncte situate în planul spiralei la $r > a$, V_H are valoarea ce se scrie, adică $V_H = 0$.

Fără uzură pentru situația din figura 2.47, condițiile de frontieră sînt:

$$V_H(r_0, z) = \begin{cases} 0 & \text{pt. } r < a \\ aH_0 & \text{pt. } r > a \end{cases} \quad (2.121)$$

Rezolvarea problemei constă în integrarea ecuației (2.117) cu respectarea condițiilor (2.121). Problema a fost rezolvată în [30] cu

metoda separării variabilelor, rezultând:

$$V_H(r, z) = \frac{\mu_0 I}{2b} \sum_{m=1}^{\infty} \frac{J_1(\xi_m \frac{a}{r_0})}{\xi_m J_1^2(\xi_m)} J_0(\xi_m \frac{r}{r_0}) \exp(-\xi_m \frac{z}{r_0}) \quad (2.122)$$

în care J_0, J_1 sînt funcțiile Bessel de speța întâi și ordin zero respectiv unu, iar ξ_m sînt rădăcinile funcției Bessel J_0 .

Pentru componentele inducției magnetice, din $\vec{B} = -\mu_0 \nabla V_H$ se obține:

$$B_r(r, z) = \mu_0 \frac{I}{r_0} \sum_{m=1}^{\infty} \frac{J_1(\xi_m \frac{a}{r_0})}{J_1^2(\xi_m)} \xi_m J_0(\xi_m \frac{r}{r_0}) \exp(-\xi_m \frac{z}{r_0}) \quad (2.123)$$

$$B_z(r, z) = \mu_0 \frac{I}{r_0} \sum_{m=1}^{\infty} \frac{J_1(\xi_m \frac{a}{r_0})}{J_1^2(\xi_m)} J_0(\xi_m \frac{r}{r_0}) \exp(-\xi_m \frac{z}{r_0})$$

iar prin particularizarea lor se obține câmpul pe axa bobinei:

$$B_z(0, z) = \mu_0 \frac{I}{r_0} \sum_{m=1}^{\infty} \frac{J_1(\xi_m \frac{a}{r_0})}{\xi_m J_1^2(\xi_m)} \exp(-\xi_m \frac{z}{r_0}) \quad (2.124)$$

și la suprafața ecranului

$$B_r(r_0, z) = \mu_0 \frac{I}{r_0} \sum_{m=1}^{\infty} \frac{J_1(\xi_m \frac{a}{r_0})}{J_1(\xi_m)} \exp(-\xi_m \frac{z}{r_0}) \quad (2.125)$$

De asemenea se poate determina fluxul magnetic prin solenoid:

$$\Phi = \int_0^{\infty} B_z(r_0, z) 2\pi r_0 dz = \mu_0 2\pi a I \sum_{m=1}^{\infty} \frac{J_1(\xi_m \frac{a}{r_0})}{\xi_m J_1^2(\xi_m)} \quad (2.126)$$

și fluxul magnetic prin suprafața bobinei:

$$\Phi_0 = \int_0^a B_z(r, 0) 2\pi r dr = \mu_0 2\pi a I \sum_{m=1}^{\infty} \frac{J_1^2(\xi_m \frac{a}{r_0})}{\xi_m J_1^2(\xi_m)} \quad (2.127)$$

util pentru determinarea inductivității sau a energiei magnetice

7. Se consideră în continuare un solenoid de lungime finit și grosime redusă (astfel că se poate aproxima printr-o pătură de curent), ecranat cu un cilindru feromagnetice ideal, coaxial).

În această situație (fig. 2.45), pătură de curent se poate considera ca fiind formată dintr-o infinitate de spirale steleare (lățime dl). Pentru o astfel de spirală elementară sînt valabile expresiile (2.123) ... 2.125) în care însă se consideră $dl = dl$ și $z^0 = z-1$. Câmpul rezultat se obține prin aplicarea principiului superpoziției, adică

$$H_1 = \int_0^b dH_1$$

și fiind cunoscut că

$$\int_{-b}^b \exp(-\xi_m \frac{z-l}{R_0}) dl = \frac{2z}{\xi_m} \exp(-\xi_m \frac{z}{R_0}) \cdot \text{sh}(\xi_m \frac{b}{R_0})$$

Se obțin relațiile:

$$B_r(r,z) = \mu_0 \frac{2aJ_1}{R_0} \sum_{m=1}^{\infty} \frac{J_1(\xi_m \frac{b}{R_0})}{\xi_m J_1^2(\xi_m)}$$

$$J_1(\xi_m \frac{b}{R_0}) \text{sh}(\xi_m \frac{b}{R_0}) \exp(-\xi_m \frac{z}{R_0})$$

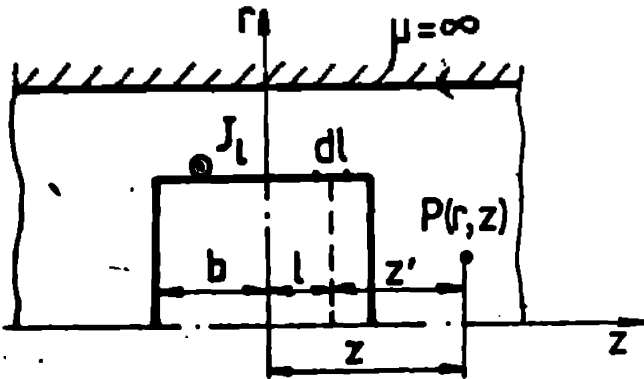


fig. 2.48. Fâșii de curent acoperiți cu un cilindru feromagnetic axial

$$B_z(r,z) = \mu_0 \frac{2aJ_1}{R_0} \sum_{m=1}^{\infty} \frac{J_1(\xi_m \frac{b}{R_0})}{\xi_m J_1^2(\xi_m)} J_0(\xi_m \frac{r}{R_0}) \text{sh}(\xi_m \frac{b}{R_0}) \exp(-\xi_m \frac{z}{R_0})$$

$$B_z(0,z) = \mu_0 \frac{2aJ_1}{R_0} \sum_{m=1}^{\infty} \frac{J_1(\xi_m \frac{b}{R_0})}{\xi_m J_1^2(\xi_m)} \text{sh}(\xi_m \frac{b}{R_0}) \exp(-\xi_m \frac{z}{R_0})$$

$$B_r(r_0,z) = \mu_0 \frac{2aJ_1}{R_0} \sum_{m=1}^{\infty} \frac{J_1(\xi_m \frac{b}{R_0})}{\xi_m J_1^2(\xi_m)} \text{sh}(\xi_m \frac{b}{R_0}) \exp(-\xi_m \frac{z}{R_0}) \quad (2.128)$$

Problema enunțată se poate rezolva și pe altă cale pornind de la potențialul magnetic vector care trebuie să fie o funcție pară de z și limită în limitele considerate. Rezolvând necunoscuta separabil variabilelor, soluția ecuației (2.118) este în această situație de forma:

$$A_1(r,z) = \int_0^{\infty} C_1 I_1(\lambda r) \cos \lambda z d\lambda \quad \text{pt. } r < a \quad (2.129)$$

$$A_2(r,z) = \int_0^{\infty} (D_1 K_1(\lambda r) + E_1 I_1(\lambda r)) \cos \lambda z d\lambda \quad \text{pt. } r > a$$

în care I_1 și K_1 sînt funcțiile lui Bessel modificate, de primă și respectiv de cea de-a doua specie. Constantele de integrare se determină din condițiile de continuitate:

$$A_1(a,z) = A_2(a,z)$$

$$\left(\frac{\partial A_1(r,z)}{\partial r} - \frac{\partial A_2(r,z)}{\partial r} \right)_{r=a} = \mu_0 J_1 \quad (2.130)$$

$$\frac{1}{R_0} A_2(r_0,z) + \left(\frac{\partial A_2(r,z)}{\partial r} \right)_{r=R_0} = 0$$

în care J_1 se exprimă printr-o integrală Fourier în forma:

$$J_1 = \frac{2J_1}{\pi} \int_0^{\infty} \frac{\sin \lambda b \cos \lambda z}{\lambda} d\lambda \quad (2.131)$$

Problema a fost rezolvată în [21], obținându-se relațiile:

$$\begin{aligned}
 B_{1r}(r,z) &= \mu_0 \frac{2J_1}{\pi} \int_0^\infty F(\lambda, a, r_0, b) I_1(\lambda r) \sin(\lambda z) d(\lambda a) \\
 B_{1z}(r,z) &= \mu_0 \frac{2J_1}{\pi} \int_0^\infty F(\lambda, a, r_0, b) I_0(\lambda r) \cos(\lambda z) d(\lambda a) \\
 B_{2r}(r,z) &= \mu_0 \frac{2J_1}{\pi} \int_0^\infty F(\lambda, r, r_0, b) I_1(\lambda a) \sin(\lambda z) d(\lambda a) \\
 B_{2z}(r,z) &= \mu_0 \frac{2J_1}{\pi} \int_0^\infty G(\lambda, r, r_0, b) I_1(\lambda a) \cos(\lambda z) d(\lambda a) \quad (2.132) \\
 B_{1z}(0,z) &= \mu_0 \frac{2J_1}{\pi} \int_0^\infty F(\lambda, a, r_0, b) \cos(\lambda z) d(\lambda a) \\
 B_{2z}(r_0, z) &= \mu_0 \frac{2J_1}{\pi} \int_0^\infty \frac{I_1(\lambda a)}{\lambda r_0 I_0(\lambda r_0)} \sin(\lambda b) \sin(\lambda z) d(\lambda a)
 \end{aligned}$$

in care s-au introdus notațiile:

$$F(\lambda, r, r_0, b) = \left[I_1(\lambda r) \frac{K_0(\lambda r_0)}{I_0(\lambda r_0)} + K_1(\lambda r) \right] \sin(\lambda b) \quad (2.133)$$

$$G(\lambda, r, r_0, b) = \left[I_0(\lambda r) \frac{K_0(\lambda r_0)}{I_0(\lambda r_0)} - K_0(\lambda r) \right] \sin(\lambda b)$$

Relațiile (2.132) sînt echivalente cu (2.128), iar prin particularizare pentru $r_0 = \infty$, ($I_0(\infty) = \infty$, $K_0(\infty) = 0$) permit și descrierea inducției magnetice la coșuri, cilindrice, de asemenea se pot vedea căna contribuția scării feromagnetice la producerea câmpului magnetic, contribuție care apare în relațiile (2.132) prin termenii al relațiilor (2.133).

Pentru fluxul magnetic prin scara, se obține:

$$\Phi = \mu_0 4J_1 \int_0^\infty \int_0^\infty \frac{I_1(\lambda a)}{I_0(\lambda r_0)} \frac{\sin(\lambda b)}{\lambda} \sin(\lambda z) d(\lambda a) dz \quad (2.134)$$

Iar pentru fluxul prin suprafața scării de bază ai

$$\Phi_2 = \mu_0 4J_1 \int_0^a \int_0^\infty F(\lambda, a, r, b) I_0(\lambda r) \cos(\lambda z) d(\lambda a) dz \quad (2.135)$$

2.4.4. Metoda diferențelor finite

α. După cum este cunoscut, metodele numerice folosite cel mai frecvent în determinarea câmpului magnetic sunt metodele analitice, exacte și metodele elementelor finite, fiecare în parte cu avantajele și dezavantajele. Metodele elementelor finite oferă posibilitatea încadrării convenabile a diferitelor frontiere în cadrul discretizării în elemente finite, astfel că ea se folosește în cazul unor geometrii complicate și (sau) medii neomogene [74, 80, 69, 128]. În situația unor geometrii particulare (simetrii), când este posibilă încadrarea câmpului magnetic în rețeaua de discretizare în diferențe finite, metodele diferențelor finite prezintă avantajele sub aspectul simplității și al volumului de lucru. Fiind vorba de sistemele fizice avute în vedere prezintă astăzi ca particularități, în cadrul teoriei a fost preferată

metoda diferențelor finite.

Folosind în scopul calculului potențial magnetic vector, aceasta satisface ecuația $\text{rot}(\frac{1}{\mu} \text{rot } \vec{A}) = \vec{J}$ valabilă și în medii neomogene. În cazul sistemelor cu simetrie axială (fig. 2.27), această ecuație este de forma:

$$\frac{\partial}{\partial r} \left[\frac{1}{\mu r} \frac{\partial}{\partial r} (rA) \right] + \frac{\partial}{\partial z} \left[\frac{1}{\mu r} \frac{\partial}{\partial z} (rA) \right] + J = 0 \quad (2.136)$$

Componentele inducției magnetice se determină din $\vec{B} = \text{rot } \vec{A}$, adică:

$$B_r = -\frac{\partial A}{\partial z}; \quad B_z = \frac{1}{r} \frac{\partial}{\partial r} (rA) = \frac{A}{r} + \frac{\partial A}{\partial r} \quad (2.137)$$

În cazul metodei diferențelor finite, se scrie această ecuație în diferențe finite și se bazează pe faptul că soluția într-un anumit punct este egală cu valoarea medie aritmetică a soluției în vecinătatea sa.

β. Pentru rezolvarea ecuațiilor în diferențe finite se consideră problema ilustrată în figura de mai jos, care prezintă distribuția de curent în jurul conductoarelor (fig. 2.4). Ecuațiile din (2.136) se aproximează cu o anumită precizie [13,57]:

$$\begin{aligned} \frac{1}{\mu r} \left[\frac{\partial}{\partial z} (rA) \right]_1 &= \frac{1}{2} \left(\frac{1}{\mu_1 r_1} + \frac{1}{\mu_p r_p} \right) \frac{r_1 A_1 - r_p A_p}{h_z} \\ \frac{1}{\mu r} \left[\frac{\partial}{\partial z} (rA) \right]_2 &= \frac{1}{2} \left(\frac{1}{\mu_3 r_3} + \frac{1}{\mu_p r_p} \right) \frac{r_1 A_1 - r_2 A_2}{h_z} \\ \frac{1}{\mu r} \left[\frac{\partial}{\partial r} (rA) \right]_2 &= \frac{1}{2} \left(\frac{1}{\mu_2 r_2} + \frac{1}{\mu_p r_p} \right) \frac{r_2 A_2 - r_p A_p}{h_r} \\ \frac{1}{\mu r} \left[\frac{\partial}{\partial r} (rA) \right]_4 &= \frac{1}{2} \left(\frac{1}{\mu_4 r_4} + \frac{1}{\mu_p r_p} \right) \frac{r_p A_p - r_4 A_4}{h_r} \end{aligned} \quad (2.138)$$

Fig. 2.49. Metoda de calcul diferențial finit

$$\frac{\partial}{\partial z} \left[\frac{1}{\mu r} \frac{\partial}{\partial z} (rA) \right]_p = \frac{1}{h_z} \left\{ \left[\frac{1}{\mu r} \frac{\partial}{\partial z} (rA) \right]_1 - \left[\frac{1}{\mu r} \frac{\partial}{\partial z} (rA) \right]_3 \right\} \quad (2.139)$$

$$\frac{\partial}{\partial r} \left[\frac{1}{\mu r} \frac{\partial}{\partial r} (rA) \right]_p = \frac{1}{h_r} \left\{ \left[\frac{1}{\mu r} \frac{\partial}{\partial r} (rA) \right]_2 - \left[\frac{1}{\mu r} \frac{\partial}{\partial r} (rA) \right]_4 \right\}$$

$$\begin{aligned} \mu_p \left[\frac{\partial^2}{\partial z^2} \left(\frac{r}{\mu_2} + \frac{r}{\mu_p r_2} + \frac{r}{\mu_4 r_4} \right) + \frac{\partial^2}{\partial r^2} \left(\frac{r}{\mu_p} + \frac{r}{\mu_1 r_1} + \frac{r}{\mu_3 r_3} \right) \right] = \\ = \mu_2 \left[\left(\frac{1}{\mu_2} + \frac{r_2}{\mu_p r_p} \right) A_2 + \left(\frac{1}{\mu_4} + \frac{r_4}{\mu_p r_p} \right) A_4 \right] + \\ + \mu_1 \left[\left(\frac{1}{\mu_1} + \frac{r_1}{\mu_p r_p} \right) A_1 + \left(\frac{1}{\mu_3} + \frac{r_3}{\mu_p r_p} \right) A_3 \right] + 2h_r^2 \mu_p^2 J_p \quad (2.140) \end{aligned}$$

În cazul particularizat pentru un sistem de conductoare paralele ($\mu_1 = \mu_2 = \mu$), se ob-

și se exprimă ca urmare [18]

$$r_p^2 \left[\frac{1}{\mu_1 r_1} + \frac{1}{\mu_2 r_2} + \frac{1}{\mu_3 r_3} + \frac{1}{\mu_4 r_4} + \frac{4}{\mu_p r_p} \right] = \left(\frac{1}{\mu_1} + \frac{1}{\mu_p r_p} \right) a_1 +$$

$$+ \left(\frac{1}{\mu_2} + \frac{1}{\mu_p r_p} \right) a_2 + \left(\frac{1}{\mu_3} + \frac{1}{\mu_p r_p} \right) a_3 + \left(\frac{1}{\mu_4} + \frac{1}{\mu_p r_p} \right) a_4 + 2b^2 \quad (2.14)$$

Se constată că relațiile (2.13) și (2.14) nu conțin termenii r_1 și r_2 deoarece în aproximația de ordine zero, $r_1 = r_2 = 0$. Pentru a obține cu precizie înaltă relațiile (2.13) și (2.14) este necesară o aproximație adecvată a termenilor $\frac{1}{\mu_1 r_1} + \frac{1}{\mu_2 r_2}$ și respectiv $\frac{1}{\mu_3 r_3} + \frac{1}{\mu_4 r_4}$. Se poate să aproximeze termenii $\frac{1}{\mu_1 r_1}$ și $\frac{1}{\mu_2 r_2}$ astfel:

$$\left(\frac{1}{\mu_1 r_1} \right)_{\text{mediu}} = \frac{1}{2} \left(\frac{1}{\mu_1} + \frac{1}{\mu_2} \right) \cdot \frac{1}{r_p} \left(\frac{r_1}{r_p} \right) = \frac{1}{2r_p} \left(\frac{1}{\mu_1} + \frac{1}{\mu_2} \right) \approx \frac{1}{r_p}$$

și respectiv în $\frac{r_2}{r_p} \approx 2 \frac{r_2 - r_p}{r_2 + r_p} = \frac{2r_2}{r_2 + r_p}$ rezultă:

$$\left(\frac{1}{\mu_2 r_2} \right)_{\text{mediu}} = \left(\frac{1}{\mu_1} + \frac{1}{\mu_2} \right) \cdot \frac{1}{r_2 + r_p}$$

Cu aceeași și pentru termenii $\frac{1}{\mu_3 r_3}$ și $\frac{1}{\mu_4 r_4}$ se obține:

$$\frac{1}{\mu_1 r_1} \left[\frac{\partial}{\partial x} (\gamma A) \right]_1 = \left(\frac{1}{\mu_1} + \frac{1}{\mu_2} \right) \frac{1}{2r_p} \frac{\partial \gamma A}{\partial x}$$

$$\frac{1}{\mu_2 r_2} \left[\frac{\partial}{\partial x} (\gamma A) \right]_2 = \left(\frac{1}{\mu_1} + \frac{1}{\mu_2} \right) \frac{1}{r_2 + r_p} \frac{\partial \gamma A}{\partial x}$$

$$\frac{1}{\mu_3 r_3} \left[\frac{\partial}{\partial x} (\gamma A) \right]_3 = \left(\frac{1}{\mu_3} + \frac{1}{\mu_4} \right) \frac{1}{r_3 + r_p} \cdot \frac{r_3 - r_p}{r_3} \frac{\partial \gamma A}{\partial x}$$

$$\frac{1}{\mu_4 r_4} \left[\frac{\partial}{\partial x} (\gamma A) \right]_4 = \left(\frac{1}{\mu_3} + \frac{1}{\mu_4} \right) \frac{1}{r_4 + r_p} \cdot \frac{r_4 - r_p}{r_4} \frac{\partial \gamma A}{\partial x}$$

$$\frac{\partial}{\partial x} \left[\frac{1}{\mu_1 r_1} \frac{\partial}{\partial x} (\gamma A) \right]_1 = \frac{1}{2r_p^2} \left[\left(\frac{1}{\mu_1} + \frac{1}{\mu_2} \right) (a_1 - a_p) + \left(\frac{1}{\mu_3} + \frac{1}{\mu_4} \right) (a_3 - a_p) \right] \quad (2.15)$$

$$\frac{\partial}{\partial x} \left[\frac{1}{\mu_2 r_2} \frac{\partial}{\partial x} (\gamma A) \right]_2 = \frac{1}{r_1^2} \left[\left(\frac{1}{\mu_1} + \frac{1}{\mu_2} \right) \frac{r_2 - r_p}{r_2 + r_p} + \left(\frac{1}{\mu_3} + \frac{1}{\mu_4} \right) \frac{r_4 - r_p}{r_4 + r_p} \right]$$

și introducând în (2.13) rezultă:

$$a_p \left\{ b^2 \left(\frac{1}{\mu_1} + \frac{1}{\mu_3} + \frac{1}{\mu_4} \right) + b^2 \left[\left(\frac{1}{\mu_2} + \frac{1}{\mu_4} \right) \frac{r_2 - r_p}{r_2 + r_p} + \left(\frac{1}{\mu_3} + \frac{1}{\mu_4} \right) \frac{r_4 - r_p}{r_4 + r_p} \right] \right\} =$$

$$= 2b^2 \frac{b^2}{r_p} + b^2 \left[\left(\frac{1}{\mu_1} + \frac{1}{\mu_2} \right) a_1 + \left(\frac{1}{\mu_3} + \frac{1}{\mu_4} \right) a_3 \right]$$

$$\cdot h_p^2 \left[\left(\frac{1}{\mu_2} + \frac{1}{\mu_p} \right) \frac{2r_2}{r_2+r_p} \Delta_2 + \left(\frac{1}{\mu_4} + \frac{1}{\mu_p} \right) \frac{2r_4}{r_4+r_p} \Delta_4 \right] \quad (2.144)$$

Apoi se introduc notațiile

$$u_k = \frac{1}{2} \left(1 + \frac{\mu_p}{\mu_k} \right); \quad c_k = \frac{2r_k}{r_k+r_p}; \quad c_{pk} = \frac{2r_k}{r_k+r_p} \quad (2.145)$$

relația (2.144) se scrie mai compact în forma:

$$\Delta_p \left[h_1^2 (u_1 + u_3) + h_2^2 (u_2 c_2 + u_4 c_4) \right] = \mu_p h_1^2 h_2^2 J_p + h_1^2 (u_1 \Delta_1 + u_3 \Delta_3) + h_2^2 (u_2 c_2 \Delta_2 + u_4 c_4 \Delta_4) \quad (2.146)$$

Ultima relație este utilizabilă în orice punct (și în apropierea axei $r=0$), iar pentru r_p mare este identică cu (2.140). De asemenea se poate fi ușor particularizată pentru o rețea pătrată.

În practică interesează în mod deosebit situația când există suprafețe de discontinuitate pentru permeabilitatea magnetică μ , în particular cazurile în care firul se poate considera liniar pentru diferite situații posibile, coeficienții u_k și valorile lui tabelul 2.7 (pag. 80).

Pentru ca numărul de noduri ale rețelei de discretizare să nu rezulte exagerat de mare, se poate alege o rețea cu pas constant pe anumite subdomenii, dar variabil cu la un subdomeniu în altul. În această situație, pentru descrierea situației la granița dintre diferitele subdomenii, distanțele față de punctele vecine sînt diferite. Cu notațiile din fig. 2.50, ecuația în diferențe finite se scrie în mod similar cu (2.146) doar că se ține seama de modul în care se exprimă

derivata de ordinul doi în situația că unul din ele este variabil. După [27] în relațiile (2.146) se va face raportarea la unul din cele două direcții longitudinale și respectiv radială, obținându-se

$$\frac{1}{\mu r} \left[\frac{\partial}{\partial z} (r \frac{\partial}{\partial z}) \right]_1 = \frac{1}{2} \left(\frac{1}{\mu_1} + \frac{1}{\mu_p} \right) \frac{\Delta_1 - \Delta_3}{h_1}$$

$$\frac{1}{\mu r} \left[\frac{\partial}{\partial z} (r \frac{\partial}{\partial z}) \right]_3 = \frac{1}{2} \left(\frac{1}{\mu_3} + \frac{1}{\mu_p} \right) \frac{\Delta_3 - \Delta_1}{h_3} \quad (2.147)$$

$$\frac{1}{\mu r} \left[\frac{\partial}{\partial r} (r \frac{\partial}{\partial r}) \right]_2 = \left(\frac{1}{\mu_2} + \frac{1}{\mu_p} \right) \frac{1}{r_2+r_p} \frac{r_2^2 \Delta_2 - r_p^2 \Delta_p}{h_2}$$

$$\frac{1}{\mu r} \left[\frac{\partial}{\partial r} (r \frac{\partial}{\partial r}) \right]_4 = \left(\frac{1}{\mu_4} + \frac{1}{\mu_p} \right) \frac{1}{r_4+r_p} \frac{r_p^2 \Delta_p - r_4^2 \Delta_4}{h_4}$$

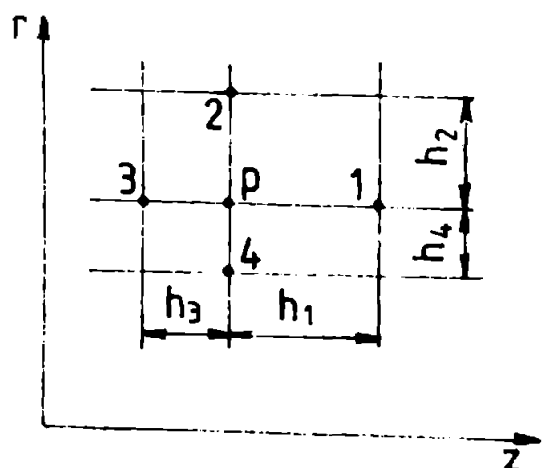


Fig. 2.50. Rețea de discretizare cu pas variabil

$$\frac{\partial}{\partial x} \left[\frac{1}{\mu_p} \frac{\partial}{\partial x} (\mathcal{E}_x) \right]_p = \frac{2}{h_2 + h_3} \left[\left(\frac{1}{\mu_2} + \frac{1}{\mu_p} \right) \frac{h_2 - h_3}{2h_2} + \left(\frac{1}{\mu_3} + \frac{1}{\mu_p} \right) \frac{h_3 - h_2}{2h_3} \right] \quad (2.146)$$

$$\frac{\partial}{\partial x} \left[\frac{1}{\mu_p} \frac{\partial}{\partial x} (\mathcal{E}_x) \right]_p = \frac{2}{h_2 + h_4} \left[\left(\frac{1}{\mu_2} + \frac{1}{\mu_p} \right) \frac{h_2 - h_4}{2(h_2 + h_p)} + \left(\frac{1}{\mu_4} + \frac{1}{\mu_p} \right) \frac{h_4 - h_2}{2(h_4 + h_p)} \right]$$

Introducind în relația (2.146), după unele transformări adecvate obținem forma

$$\begin{aligned} A_p \left\{ (h_2 + h_4) \left[\frac{u_1}{h_2} + \frac{u_3}{h_3} \right] + (h_1 + h_3) \left[\frac{u_2}{h_2} c_2 + \frac{u_4}{h_4} c_4 \right] \right\} = \\ = (h_2 + h_4) \left[\frac{u_1}{h_2} A_1 + \frac{u_3}{h_3} A_3 \right] + (h_1 + h_3) \left[\frac{u_2}{h_2} c_{a2} A_2 + \frac{u_4}{h_4} c_{a4} A_4 \right] + \\ + \frac{1}{2} (h_1 + h_3) (h_2 + h_4) \mu_p J_p \end{aligned} \quad (2.147)$$

în care s-au folosit din nou notațiile (2.142).

Se verifică ușor că pentru $h_1 = h_3 = h_p$ și $h_2 = h_4 = h_p$, din relația (2.147) se obține relația (2.146).

Deși în problema concretă abordată intervin zone caracterizate cu $\mu = \mu_0$, este utilă particularizarea relației (2.147) făcând cauzele de variație conductivităților μ_i din cadrul 2-7, obținându-se astfel o succesiune sistematică a necesarului de calcule și a simplității cu care se poate rezolva numeric problema. În acest scop se va lua în considerare expresia particulară pentru fiecare situație în care se presupune ($\mu_1 = \mu_2 = \mu_3 = \mu_4 = \mu_p = \mu_0 \mu_r$) și în care conductivitățile, precum și de curent ($J_p = 0$), în următoarele situații:

a) $h_1 = h_3 = h_p, h_2 = h_4 = h_r$

$$A_p [2 + c_n (c_2 + c_4)] = A_1 + A_3 + c_n (c_{a2} A_2 + c_{a4} A_4) \quad (2.148)$$

în care $c_n = h_p^2 / h_r^2$;

b) $h_1 = h_3 = h_p, h_2 = h_4 = h_p$

$$A_p [2 + c_n (c_2 + c_4)] = \frac{2h_3}{h_1 + h_3} (A_1 + \frac{h_1}{h_3} A_3) + c_n (c_{a2} A_2 + c_{a4} A_4) \quad (2.149)$$

în care $c_n = h_1 h_3 / h_p^2$;

c) $h_1 = h_3 = h_p, h_2 = h_4$

$$A_p [2 + c_n (c_2 + \frac{h_2}{h_4} c_4)] = A_1 + A_3 + c_n (c_{a2} A_2 + \frac{h_2}{h_4} c_{a4} A_4) \quad (2.150)$$

în care $c_n = 2h_p^2 [h_2 (h_2 + h_4)]^{-1}$;

d) $h_1 = h_3, h_2 = h_4$

$$A_p [2 + c_n (c_2 + \frac{h_2}{h_4} c_4)] = \frac{2h_3}{h_1 + h_3} (A_1 + \frac{h_1}{h_3} A_3) + c_n (c_{a2} A_2 + \frac{h_2}{h_4} c_{a4} A_4) \quad (2.151)$$

în care $c_n = 2h_1 h_3 [h_2 (h_2 + h_4)]^{-1}$.

În interiorul bobinei ($r_p < r_0$), în membrul drept al ecuațiilor (2.150) și (2.152) se mai adaugă termenul $\mu_0 \mu_r h_2^2 j_p$ și respectiv în ecuațiile (2.181) și (2.183) termenul $\mu_0 \mu_r h_1 h_2 j_p$.

Componentele inducției magnetice se pot exprima de asemenea în diferențe finite. Astfel, în cazul unei rețele dreptunghiulare cu pas constant (fig. 2.49), relațiile (2.137) se scriu în formă:

$$B_r = \frac{1}{2h_p} (A_3 - A_1)$$

$$B_z = \frac{1}{2h_r h_p} (r_2 A_2 - r_4 A_4) = \frac{A}{r_p} + \frac{1}{2h_r} (A_2 - A_4) \quad (2.154)$$

dar pentru o rețea cu pas variabil:

$$B_r = \frac{1}{h_1 + h_3} (A_3 - A_1)$$

$$B_z = \frac{1}{(h_2 + h_4) r_p} (r_2 A_2 - r_4 A_4) = \frac{A}{r_p} + \frac{1}{h_2 + h_4} (A_2 - A_4) \quad (2.155)$$

Se constată că pentru puncte situate pe axa de simetrie ($r_p = 0$), nu se poate determina componenta longitudinală B_z cu relațiile (2.154) sau (2.155), deoarece acestea conduc la o nedeterminare. Aliniind aceste nedeterminări se obține:

$$B_z = \lim_{r \rightarrow 0} \frac{1}{r} \frac{\partial A}{\partial r} = 2 \frac{\partial A}{\partial r} \quad (2.156)$$

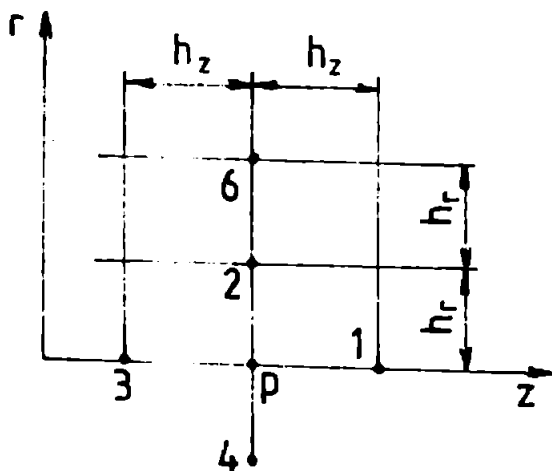


Fig. 2.51. Punct de calcul pe axa de simetrie

Pentru calculul derivatelor $\partial A / \partial r$ pe axa de simetrie se dezvoltă potențialul vector în serie Taylor în jurul punctului p. Cu notațiile din fig. 2.51 și reținând termenii până la ordinul doi, rezultă:

$$A_{z=1} = A_p + h_r \frac{\partial A}{\partial r} + \frac{1}{2} h_r^2 \frac{\partial^2 A}{\partial r^2} + \dots \quad (2.157)$$

$$A_{z=3} = A_p + h_r \frac{\partial A}{\partial r} + \frac{1}{2} h_r^2 \frac{\partial^2 A}{\partial r^2} + \dots$$

În combinația $4A_2 - A_6$ și ținând seama de (2.156) se obține:

$$B_z = \frac{1}{h_r} (4A_2 - A_6) \quad (2.158)$$

Aplicarea relațiilor (2.154) sau (2.155) pentru puncte situate în apropierea unor suprafețe de separație a două medii de permeabilități mult diferite (fig. 2.52) conduce la rezultate eronate din cauza valorilor mult diferite ale componentelor tangențiale ale inducției magnetice în cele două medii. În acest caz se impune exprimarea acestora în funcție de potențialul magnetic vector dintr-un singur mediu.

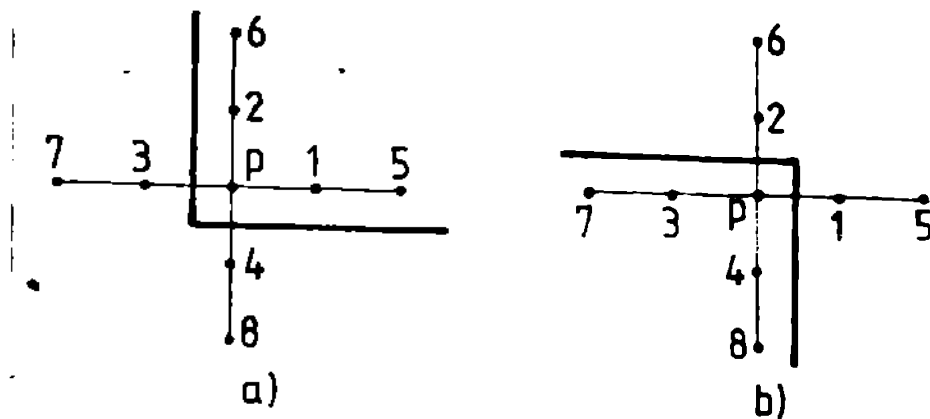


Fig. 2.52. Puncte situate în apropierea suprafeței de separație a două medii

Astfel considerind situația din fig. 2.52, a și notând cum viteza în serie Taylor în jurul punctului P, rezultă:

$$A_2 = A_p + h_2 \frac{\partial A}{\partial r} + \frac{1}{2} h_2^2 \frac{\partial^2 A}{\partial r^2} + \dots \quad A_1 = A_p + h_1 \frac{\partial A}{\partial z} + \frac{1}{2} h_1^2 \frac{\partial^2 A}{\partial z^2} + \dots$$

$$A_6 = A_p + 2h_2 \frac{\partial A}{\partial r} + \frac{1}{2} 4h_2^2 \frac{\partial^2 A}{\partial r^2} + \dots \quad A_5 = A_p + 2h_1 \frac{\partial A}{\partial z} + \frac{1}{2} 4h_1^2 \frac{\partial^2 A}{\partial z^2} + \dots$$

Din combinații ale acestor expresii în care se ține cont totodată și de ordinul doi, se obțin derivatele

$$\frac{\partial A}{\partial r} = \frac{1}{2h_2} (A_2 - 2A_p - A_6) \tag{2.159}$$

$$\frac{\partial A}{\partial z} = \frac{1}{2h_1} (A_1 - 2A_p - A_5)$$

și cu acestea, relațiile (2.137) devin:

$$B_r = \frac{1}{2h_2} (3A_2 - 4A_1 + A_5) \tag{2.160}$$

$$B_z = \frac{1}{h_1} A_p + \frac{1}{2h_2} (4A_2 - 3A_p - A_6)$$

Pentru situația din fig. 2.52, b se obține în mod similar

$$B_r = \frac{1}{2h_2} (4A_2 - 3A_p - A_7) \tag{2.161}$$

$$B_z = \frac{1}{h_1} A_p + \frac{1}{2h_2} (3A_2 + A_6 - 4A_4)$$

Deși ar putea apărea și situații când unul sau dintre coeficienții inducției magnetice nu se determină cu relații de forma (2.160) sau (2.161), coeșienții corespunzători unui μ se determină totuși cu (2.155). Se observă însă că, întrucât μ este constantă după direcția radială, respectiv axială, deoarece cu atât justificați utilizarea metodei rezoluției după normală la suprafața de separație în apropierea suprafeței și pentru puncte situate în același mediu. Utilizarea metodei rezoluției nu este justificată nici în înlocuirea metodei

de simetrie.

7. Pentru găsirea soluției privind valorile potențialului magnetic vector în nodurile rețelei de discretizare, trebuie stabilită frontiera domeniului și asigurat condițiile pe această frontieră. Fiindcă avem ca scop reprezentarea a liniei de câmp magnetic, rezultă că pe axa de simetrie longitudinală se poate considera axă de

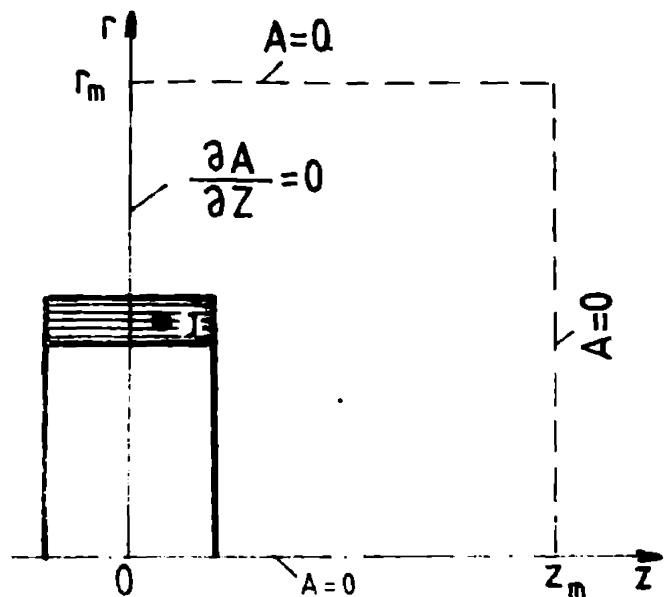


Fig. 2.53. Frontiera domeniului și condițiile de frontieră

axă de simetrie față de planul $z=0$, înseamnă că în acest plan $\partial A/\partial z=0$, sau $A(z)=A(-z)$. În aceste condiții, rezultă că domeniul poate fi limitat la un singur de plan, rezultarea practică a problemei impunând asigurarea limitelor unghiurii la dimensiuni finite, adică cea mai simplă fiind un dreptunghi cu laturile r_m și z_m (Fig. 2.53). Dacă r_m și z_m sînt suficienți de mari, se poate considera că pe laturile $r=r_m$ și respectiv

$z=z_m$ avem $A=0$.

Fiind stabilită frontiera domeniului precum și condițiile pe această frontieră, se pot aplica ecuații de formă (2.144) respectiv (2.145) pentru toate nodurile interioare și se ține seama de condiția $\partial A/\partial z=0$ pentru nodurile de pe latura $z=0$. Dacă și aceste noduri se considera interioare, adică se extinde

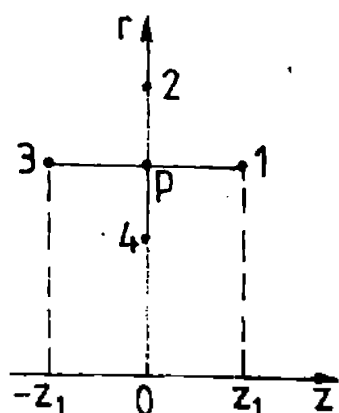


Fig. 2.54. Extinderea domeniului la stînga

frontiera la stînga cu un pas (Fig. 2.54), pentru care sînt valabile relații de aceeași formă ca și pentru celelalte noduri interioare, condiția $\partial A/\partial z=0$ înseamnă $A_3=A_1$. Rezultă prin urmare un număr de condiții egal cu numărul de noduri interioare și tot astfel recunoscut (potențialele acestor noduri). Considerînd rețeaua formată din n linii și n coloane (Fig. 2.55) rezultă $(n-2)(n-2)$ noduri interioare, deci tot atitea ecuații, respectiv necunoscute. În general numărul necunoscute este mare la o discretizare fină a domeniului, recomandîndu-se pentru rezolvare metodele iterative care necesită un volum de memorie mai redus. În acest scop se vor folosi metode iterative Gauss-Seidel sau metodele relaxației [40,42,79,111] care pot asigura și o convergență rapidă a soluției.

8. În cazul nodurilor liniare cînd μ este independent de z , se

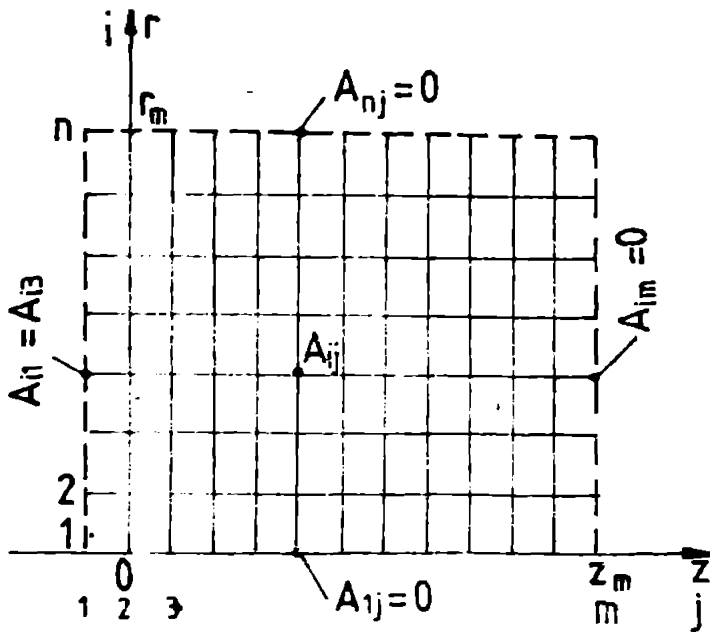


Fig. 2.77. Structura matricilor A și discretizarea

poruște de la o soluție inițială $a_{ij}^{(0)}$ care se corectează succesiv pe baza relațiilor (2.161), până când

$$|\Delta A|_{\max} = |A_{ij} - a_{ij}^{(k-1)}| < \epsilon \quad (2.162)$$

se obține soluția la iterația k dată

$$a_{ij}^{(k)} = \begin{cases} A_{ij} & \text{la metoda Gauss-Seidel} \\ A_{ij} + f_0 \Delta A & \text{la metoda Jacobi, etc.} \end{cases} \quad (2.163)$$

în care $-1 < f_0 < 1$, și se pot lua concluzii cu privire la accelerarea convergenței dacă $f_0 > 0$ (într-o altă situație), există deseori o valoare optimă a acestui f_0 , valoare care poate fi găsită în literatura de specialitate.

Se poate utiliza și metoda relațiilor prin care se aproximează ecuația (1.1).

Principalele dificultăți apar în realizarea pe cale mecanică a programului de calcul magnetic și în legătură cu capacitatea de stocare a sistemului de calcul și de simulare. Alinau seacă de acțiune dificilă, la elaborarea algoritmului și a programului de calcul se vor avea în vedere următoarele aspecte de interes:

- reducerea la minimum a numărului de operații de calcul;
- mișcarea numărului de celule și de rețea și discretizarea fără afectarea preciziei rezultărilor;
- alegerea structurii matricilor și de relații similitudine;
- alegerea metodei de calculare a convergenței la apropierea valorii optime.

Pentru simplificarea realizării se pot lua unele măsuri de simplificări fără afectarea esențială a soluției se poate lua următoarea măsură:

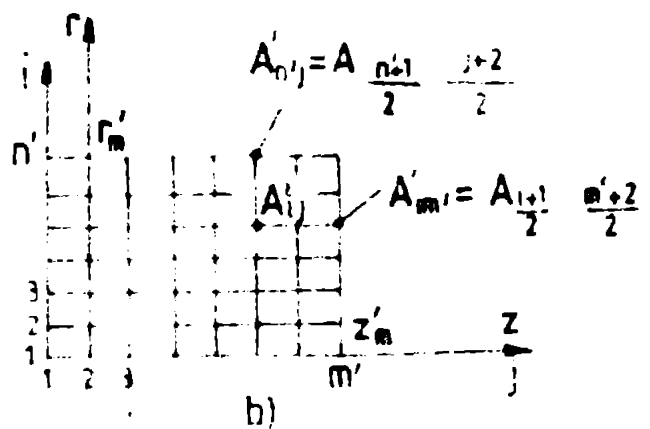
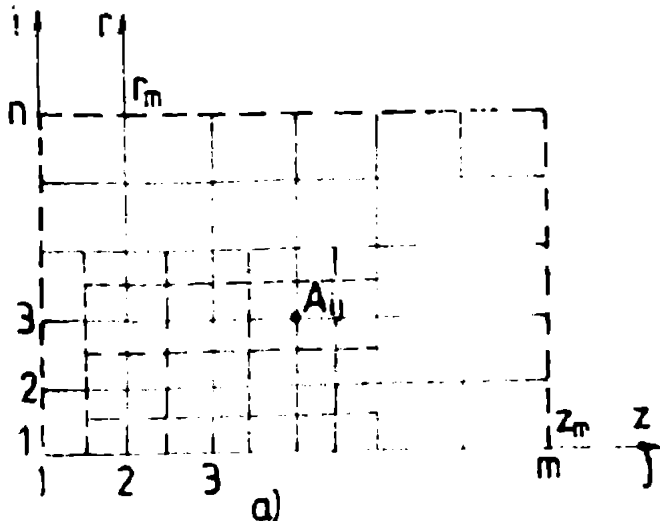


Fig. 2.78. Presieră de la o rețea presieră la una zai fali

(pas mic) în zonele cu variație mare a cimpului magnetic, respectiv grosieră (pas mare) în zonele de mică variație. Aceasta presupune o anumită experiență pentru a estima cel mai corect aceste zone. O altă posibilitate constă în folosirea unei rețele inițiale grosiere pe baza căreia se construiește o rețea ce va fi utilizată ca soluție inițială într-o rețea mai fină ale cărei dimensiuni r_m și z_m au fost reduse (fig. 2.26). Pe frontiera domeniului rezolu (fig. 2.25,b) se vor considera valorile cunoscute anterior, iar în interior se vor lua punctele ce nu au corespondență în rețeaua grosieră.

Pentru alegerea soluției inițiale $A_{ij}^{(0)}$ apropiată de soluția finală este necesar să se determine aproximativ spectrul cimpului magnetic și apoi pornind de la valori cunoscute (aproximativ) ale inducției magnetice, să determinăm un aproape la aproape vectorii potențialului vector. De exemplu pentru situația din fig. 2.23 se poate face calculul inducției magnetice în centrul bobinei (considerând bobina în aer). Inducția și inducția magnetice în planul centralei ($z=0$) este constantă și pornind de la aceasta în centru, rezultă din (2.150) valorile potențialului vector în acest plan. Aproximând și

toate liniile de câmp (fig. 2.27) se pot atribui valori inițiale (pentru zone) tuturor nodurilor rețelei de discretizare.

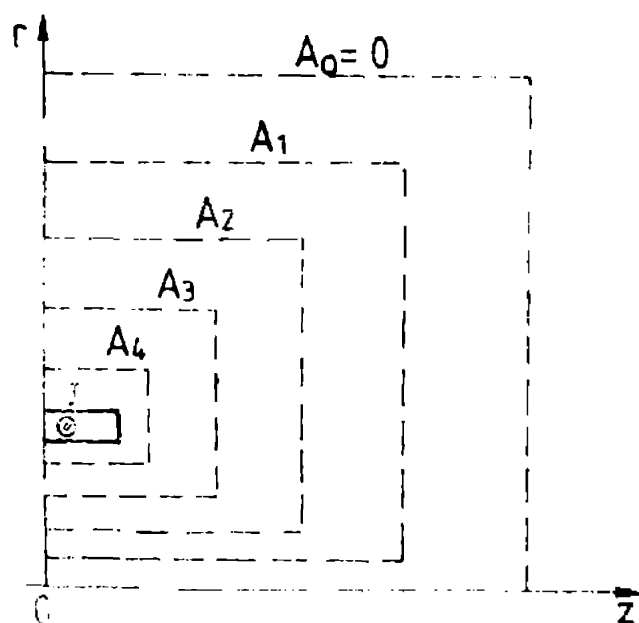


Fig. 2.57. Aproximarea soluției inițiale

7. Dacă există și acțiunea de cuplaj și un calcul iterativ pentru permeabilitatea magnetică, folosind metoda de calculare aproximativă în sea converabil, etapele de calcul sînt:

- alegerea unor valori inițiale pentru permeabilitatea magnetică, $\mu_{ij}^{(0)}$, pornind de la valorile presupuse ale inducției magnetice;
- procedând ca în cazul medilor

liniare se construiește soluția $A_{ij}^{(1)}$ și respectiv $B_{ij}^{(1)}$ iar din cauza cu magnetică se construiește $\mu_{ij}^{(1)} = \mu(B_{ij}^{(1)})$;

- cu noile valori cunoscute pentru permeabilitatea magnetică, se repetă calculul iterativ pînă cînd noile valori sînt practic identice cu cele anterioare, adică:

$$|\Delta\mu|_{\max} = |\mu_{ij}^{(k)} - \mu_{ij}^{(k-1)}| < \epsilon\mu \quad (2.154)$$

Pentru accelerarea convergenței, se recomandă o subrelaxare, adică permeabilității magnetice μ se atribuie noile valori

Capitolul 3

CONCEPȚIA TEORETICĂ A UNUI SCHEMĂ DE MAȘINĂ
DE CONVERSIE

În acest capitol se prezintă unele cazuri concrete ale proiectării sistemelor electromecanice și ale sistemelor electrodinamice, în vederea realizării de mașini și aparate de măsură și de control. În acest scop se consideră generatorii electrodinamici, mașinile electrice și diferite variante de conversie.

1.1. MAȘINA DE CONVERSIE ELECTROMECANICĂ

Interesul pentru producerea energiei electrice pe cale mecanică este justificat de faptul că în combinație cu un sistem generator de putere obținem o soluție simplă a problemei de conversie a energiei de la 400 la 40-500 [V] corespunzător cu o soluție satisfăcătoare a problemei de alimentare [10]. Mai mult ca, pentru o soluție adecvată de producere a energiei electrice și în cazul în care se utilizează alte soluții, trebuie luate în considerare unele aspecte. În acest scop se consideră energia puterii electrice pe unitatea de volum al canalului de conversie și, care se poate exprima în formă [10]:

$$P_e = \sigma v^2 b^2 k(1 - k) \quad (1)$$

în care: σ - conductivitatea materialului (plată); v - viteza de rotație a materialului; b - înălțimea magnetică; k - coeficientul de sarcină sau de încălzire sau de putere σv^2 este de ordinul 10^3 ori mai mic decât la generatorii rotativi clasici, rezultă că trebuie marșate volumul generatorului (al canalului de conversie) și înălțimea magnetică. Prin urmare este necesar un câmp magnetic intens într-un volum relativ mare al canalului de conversie, situație în care singura soluție rațională de realizare a bobinelor de producere a câmpului magnetic este cea de tipul bobinilor [7,9,10]. În această situație sunt îndeplinite ipotezele de la paragraful 2.1.3.

Forma geometrică a acestor bobine depinde de ritmul și de numărul de canale de conversie, de posibilitatea accesului la electrozii plasați pe porțiile laterale ale canalului, de necesitatea unui câmp magnetic transversal și mai uniform și nu în ultimul rând de posibilitatea subțierea de realizare de canalele necesare condiția de uniformitate a unui câmp magnetic transversal și uniform înălțimea și secțiunile constante și de înălțimea mare [10,10], care rezultă din cauză că se realizează în practică, dar cu un câmp magnetic uniform la electrozi. În această cauză, trebuie să se pot face în continuare unele figuri cu bobine:

- de tip helmoitsu reprezentate principal în fig. 3.1.a;
- de tip șeu, plasate pe un suport cu secțiune dreptunghiulară (fig. 3.1.b) sau de secțiune circulară (fig. 3.1.c).

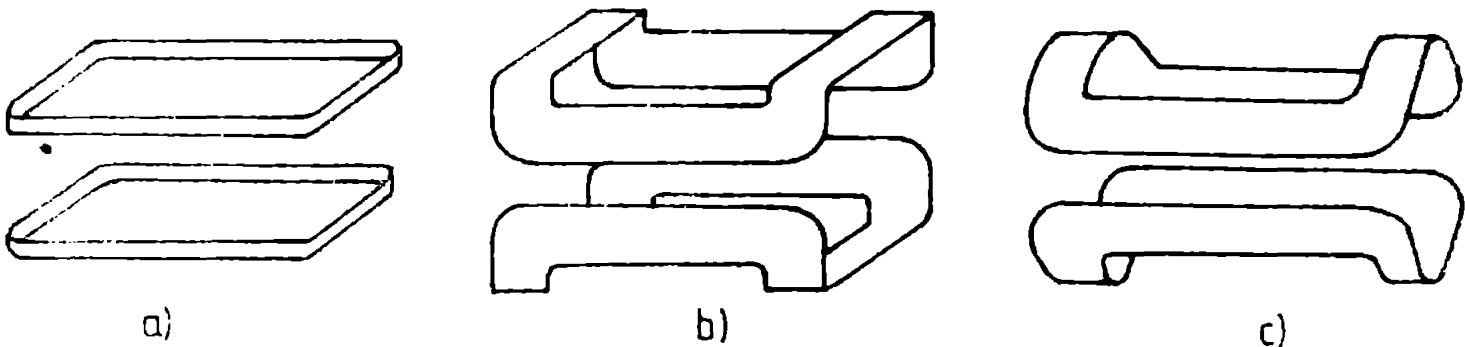


fig. 3.1. Tipuri de bobine pentru generatoare MHD

Calculul electromagnetic al bobinelor pentru generatoare MHD, presupune parcurgerea următoarelor etape principale:

- alegerea formei geometrice a bobinelor;
- determinarea dimensiunilor orientative ale acestora printr-un calcul simplificat, echivalându-le cu conductoare filiforme sau plăci de curent;
- determinarea secțiunii transversale a laturilor de bobina;
- calcul mai exact al câmpului magnetic pentru bobina cu secțiunea reală și eventuale corecții ale formei și dimensiunilor geometrice;
- calculul forțelor electromagnetice și reconsiderarea dimensionării bobinei dacă aceste forțe sînt excesiv de mari.

3.1.1. Câmpul magnetic în canalul de conversie MHD la diferite configurații de spire filiforme

Lungimea canalului de conversie MHD fiind mare în comparație cu dimensiunile transversale, bobinele pot fi aproximate pentru început prin conductoare filiforme de lungime infinită. Dacă secțiunea canalului este constantă pe lungimea lui, aceste conductoare sînt paralele și dispuse ca în figura 3.2.

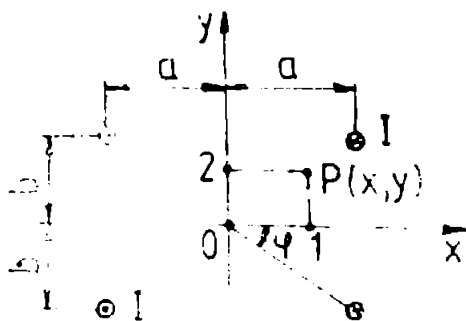


Fig. 3.2. Conductoare filiforme paralele

Inducția magnetică într-un punct $P(x,y)$ se poate determina pornind de la relația (2.31) obținându-se pentru componenta transversală B_y expresia:

$$B_y = \frac{\mu_0 I}{2\pi} \left(\frac{a+x}{(a+x)^2 + (b+y)^2} + \frac{a-x}{(a-x)^2 + (b+y)^2} + \frac{a+x}{(a+x)^2 + (b-y)^2} + \frac{a-x}{(a-x)^2 + (b-y)^2} \right)$$

(3-2)

Pentru puncte situate pe axele de simetrie inducția magnetică are numai componentă după axa y ($B = B_y$) și se obțin expresiile particulare:

$$\begin{aligned} B_0 &= \frac{\mu_0 I}{\pi} \frac{2a}{a^2 + b^2} \\ B_1 &= \frac{\mu_0 I}{\pi} \left(\frac{a+x}{(a+x)^2 + b^2} + \frac{a-x}{(a-x)^2 + b^2} \right) \\ B_2 &= \frac{\mu_0 I}{\pi} \left(\frac{a}{a^2 + (b+x)^2} + \frac{a}{a^2 + (b-x)^2} \right) \end{aligned} \quad (3.3)$$

Utilizându-se la inducția magnetică pe axa y (B_y), această se poate exprima funcție de valoarea în centru (B_0) printr-o dezvoltare în serie

$$B_1 = B_0 \left[1 + \frac{1}{1!} \left(\frac{\partial B_1}{\partial x} \right)_0 + \frac{1}{2!} \left(\frac{\partial^2 B_1}{\partial x^2} \right)_0 + \dots \right]$$

Iar pentru obținerea unui câmp magnetic cât mai omogen, se impun anularea primelor derivate din această expresie.

Pentru ca prima derivată să se anuleze, funcția $B_y(x, y)$ trebuie să fie pară în raport cu x , aceasta asigurându-se prin plasarea simetrică a conductoarelor față de axele x și y . În fig. 3.3 s-a constatat îndeplinirea acestei condiții și deci $(\partial B_1 / \partial x)_0 = 0$. Impunând ca și derivata de ordinul doi să se anuleze în origine, $(\partial^2 B_1 / \partial x^2)_0 = 0$, rezultă

$$a = b\sqrt{3} \quad \text{sau} \quad \varphi = \pi/6 \quad (3.4)$$

condiție cunoscută în literatura [18, 109].

Similar se poate arăta că și pentru $(\partial^2 B_2 / \partial y^2)_0$ se trebuie respectată tot condiția (3.4). Presupunând îndeplinirea acestei condiții, inducția magnetică în centru obține expresia:

$$B_0 = \mu_0 \frac{3I}{2\pi a} \quad (3.5)$$

Creșterea în continuare a gradului de omogenitate a câmpului magnetic în zona utilă se poate obține doar prin îndepărtarea conductoarelor de această zonă (măritura dimensiunilor a și respectiv b), cu respectarea condiției (3.4). Desigur că în această situație s, are avantajul micșorării valorii B_0 , și deși este important să se cunoască poziția acestor conductoare astfel încât variația câmpului magnetic să nu depășească o valoare impusă. În acest scop se consideră variațiile relative ale inducției magnetice pe axele universale

$$\epsilon_x = \frac{B - B_0}{B_0}, \quad \epsilon_y = \frac{B - B_0}{B_0} \quad (3.6)$$

și ținând seama de relațiile (3.3) rezultă:

$$\epsilon_x = 1 - 4 \frac{4 - 3\left(\frac{x}{a}\right)^2}{16 - 12\left(\frac{x}{a}\right)^2 + 9\left(\frac{x}{a}\right)^4}$$

$$\epsilon_y = 1 - \frac{4 + \left(\frac{x}{a}\right)^2}{16 + 4\left(\frac{x}{a}\right)^2 + \left(\frac{x}{a}\right)^4} = 1 - \frac{4 + 3\left(\frac{x}{a}\right)^2}{16 + 12\left(\frac{x}{a}\right)^2 + 9\left(\frac{x}{a}\right)^4} \quad (3.7)$$

Pe baza acestor ultime expresii se pot determina rapoartele x/a respectiv y/a astfel încât să se obțină anumite valori impuse pentru ϵ_x și ϵ_y , determinarea făcându-se foarte ușor din curbele reprezentate în fig. 3.3.

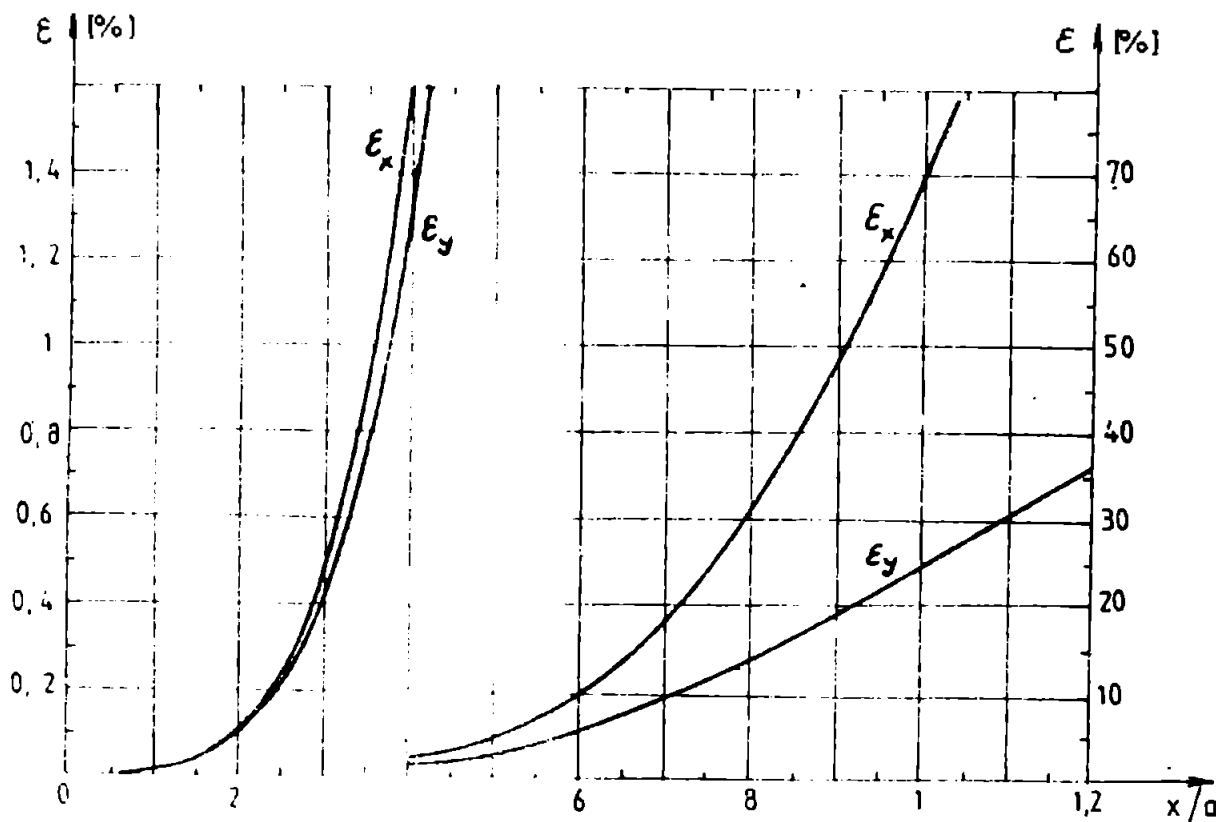


Fig. 3.3. Variația cimpului pe axele transversale

Conșiderând spirale cilindrice și de lungime finită care sunt luate în considerare și contribuția capetelor, în [15] se dau expresiile inducției magnetice pe axa longitudinală a canalului în cazul unor spirale de tip solenoid sau de tip șee cu capete rectangulare sau circulare. În cadrul tezei s-a luat în considerare și situația unui canal divergent având forma din figura 3.4, cu laturile

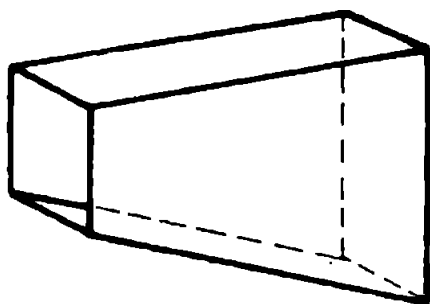


Fig. 3.4. Canal cu capetele lui divergent

principale ale bobinei plasate pe pereții laterali ai canalului (fig. 3.5,a) și respectiv pe cel divergenți (fig. 3.5,b). În cazul lui (fig. 3.5,a) pentru componenta transversală a inducției magnetice într-un punct situat pe axa longitudinală s-a obținut expresia:

$$B_y = \frac{\mu I_0 \sin \varphi}{\pi R} \left[a \left(\frac{1}{\sqrt{1 + \epsilon^2}} + \frac{1}{(\epsilon^2 + \epsilon_1^2) \sqrt{\sin^2 \varphi + \epsilon^2 + \epsilon_1^2}} \right) + a \left(\frac{1}{\sqrt{1 + \epsilon^2}} + \frac{1}{(\epsilon^2 + \epsilon_2^2) \sqrt{\sin^2 \varphi + \epsilon^2 + \epsilon_2^2}} \right) \right] \quad (3.8)$$

in care s-au folosit notațiile

$$a = \frac{b}{h}; \quad d = \frac{l-s}{h}; \quad \varepsilon_1 = \frac{a_1}{h}; \quad \varepsilon_2 = \frac{a_2}{h} \quad (3.9)$$

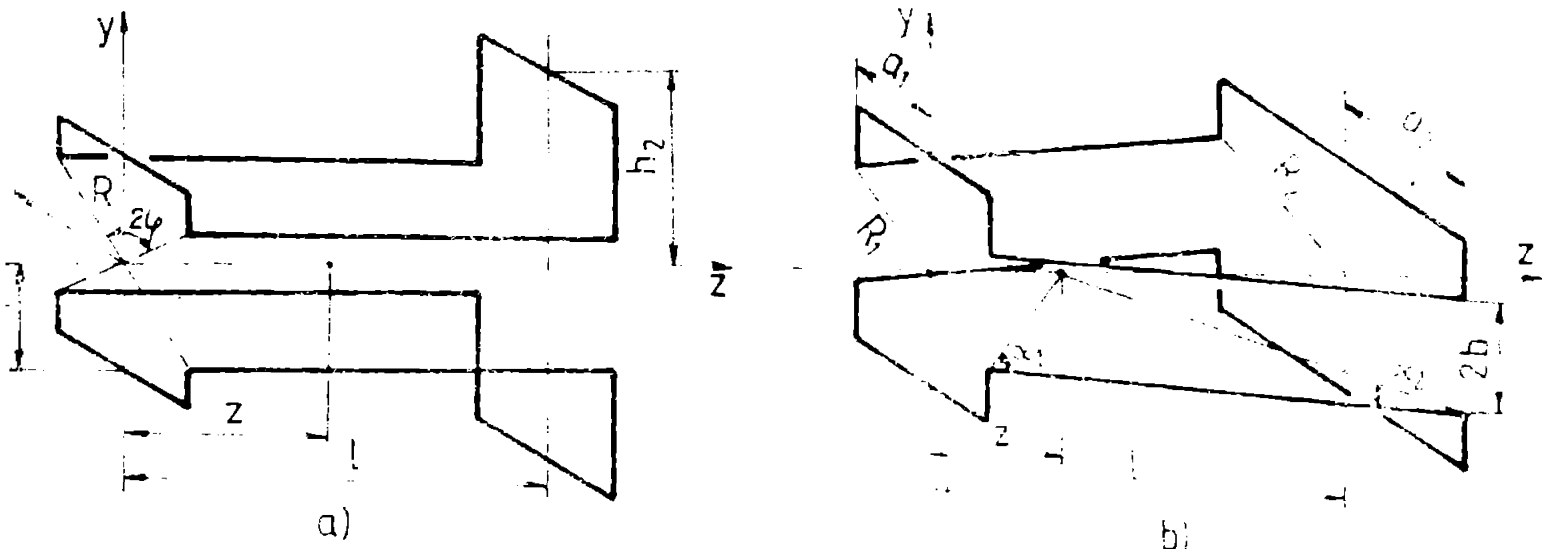


Fig. 3.5. Geometria spirurilor elicoidale pentru cazul divergent
Pentru spiruri cu capete cilindrice (Fig. 3.5, a) s-a obținut:

$$B_y = \frac{\mu_0 I}{\pi} \left[\frac{a_1}{(b^2+z^2)\sqrt{a_1^2+h^2+s^2}} + \frac{(l-z)a_2}{[b^2+(l-z)^2]\sqrt{a_2^2+h^2+(l-z)^2}} + \frac{\cos \alpha_1 + \cos \alpha_2}{\sqrt{a_1^2+b^2+s^2} \sin \alpha_1} \cos \gamma \right]$$

in care

$$\cos \alpha_1 = \frac{l-s+a_1(a_2-a_1)}{[\{l^2+(a_2-a_1)^2\}(a_1^2+b^2+s^2)]^{1/2}}; \quad \cos \alpha_2 = \frac{l(1-s)+a_2(a_2-a_1)}{[\{l^2+(a_2-a_1)^2\}(a_2^2+b^2+(l-s)^2)]^{1/2}} \quad (3.10)$$

$$(3.11)$$

iar γ este unghiul format cu axa oy de normala la planul ce trece prin punctele $A(0,0,s)$, $A_1(-a_1,0,0)$ și $A_2(-a_2,0,l)$, adică:

$$\cos \gamma = \frac{s(a_2-a_1) + a_1 l}{\sqrt{b^2 l^2 + [s(a_2-a_1) + a_1 l]^2 + s^2 (a_2-a_1)^2}} \quad (3.12)$$

In caz că spirurile de tip conic au capete cilindrice (sunt plasate pe suprafața laterală a unui cilindru), se cunosc din fig. 3.5c și relațiile (3.9), componenta transversală a inducției magnetice pe axa longitudinală are expresia [10]:

$$B_y = \frac{\mu_0 I \sin \varphi}{\pi a} \left[\frac{2(2rc^2)}{(1+c^2)^{3/2}} + \frac{d(2rc^2)}{(1+c^2)^{3/2}} \right] \quad (3.13)$$

Expresiile stabilite permit calculul relativ simplu al componentei inducției magnetice în punctele axei longitudinale a cilindrilor. Pentru puncte care nu sînt pe această axă, se pot stabili expresii similare, dar acestea devin foarte complicate, astfel încît se recomandă calculul numeric pe bază

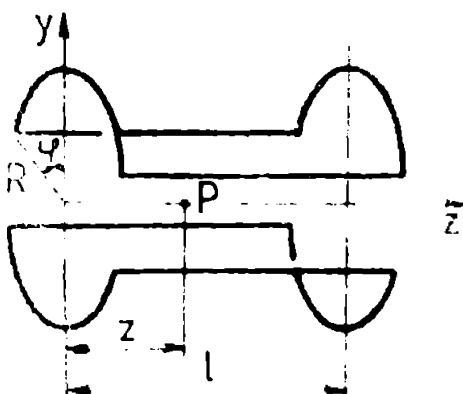


Fig. 3.6. Spiră elicoidă uniformă cu capete cilindrice

metodei indicate în paragr. 2.2.1.

2.1.2. Căminul magnetic în cazul de conversie lui în cazul unor conductoare echivalente prin pătrări de curenți

În cazul echivalenței bobinelor prin pătrări de curenți, s-au luat în considerare aceleași trei cazuri de bobine de tip șer cu capete rectangulare și liniile principale ale bobinei paralele sau divergente și bobine de tip șer cu capete circulare, în toate situațiile considerate liniile de curenți, J_1 , fiind constante.

Se consideră un caz lungimea bobinelor foarte mare, pentru situația din fig. 3.7, pornind de la expresia (3.11) în care $\beta \rightarrow \beta_1$ și se obține pentru componenta transversală a inducției magnetice expresia

$$b_y = \frac{\mu_0 J_1}{2\pi} (\alpha_1 + \alpha_2 + \alpha_3 + \alpha_4) \quad (3.14)$$

respectiv pe axe longitudinale

$$b_x = \frac{\mu_0 J_1}{\pi} \cdot 2\alpha \quad (3.15)$$

în care

$$\alpha = \arctg \frac{b_2}{a} = \arctg \frac{b_1}{a}$$

pentru a avea o bună uniformitate a câmpului magnetic în origine se impune din nou condiția de anulare a derivatei de ordinul doi în origine și se obține:

$$b_1 (a^2 + b_2^2)^2 = b_2 (a^2 + b_1^2)^2 \quad (3.16)$$

pe baza acestei expresii s-a reprezentat grafic $b_1/a = F(b_2/a)$ în fig. 3.8, putându-se astfel determina ceea ce este și expresiv dimensiunile geometrice care asigură un grad înalt de uniformitate.

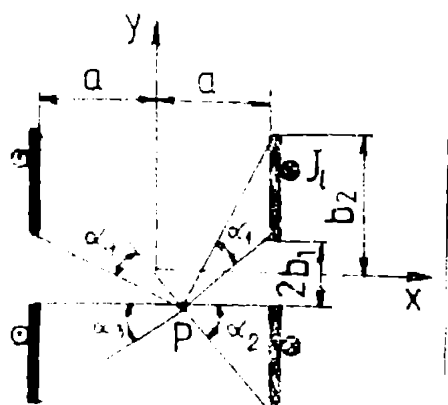


Fig. 3.7. Conductoare paralele echivalente prin pătrări de curenți

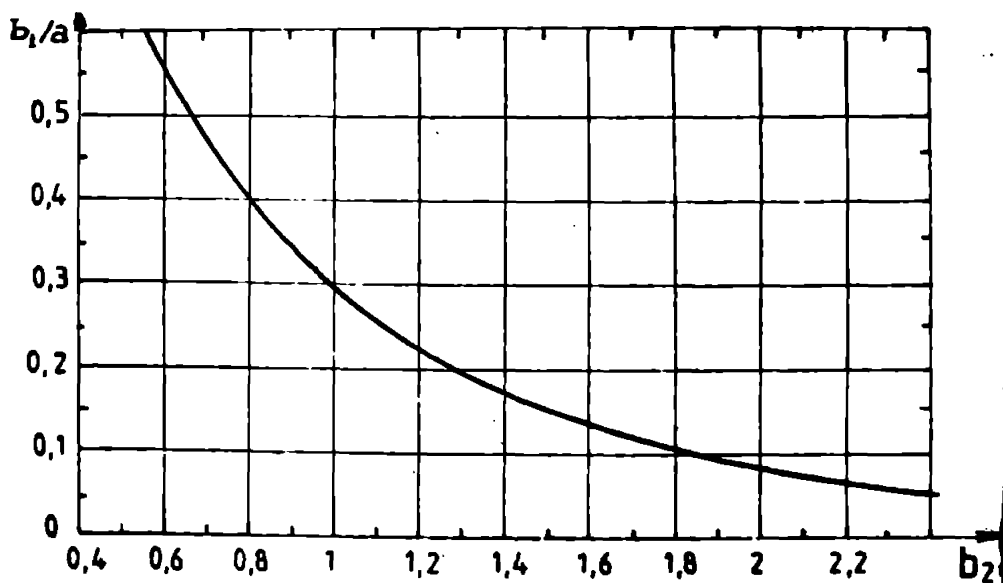


Fig. 3.8. Determinarea grafică a condițiilor geometrice pentru uniformitate ridicată

Doă laturile principale ale dechisei sînt divergente și de lungime mare (fig. 3.9.a), pentru determinarea inducției magnetice nu se mai poate porni de la expresia (2.31). Pentru puncte situate

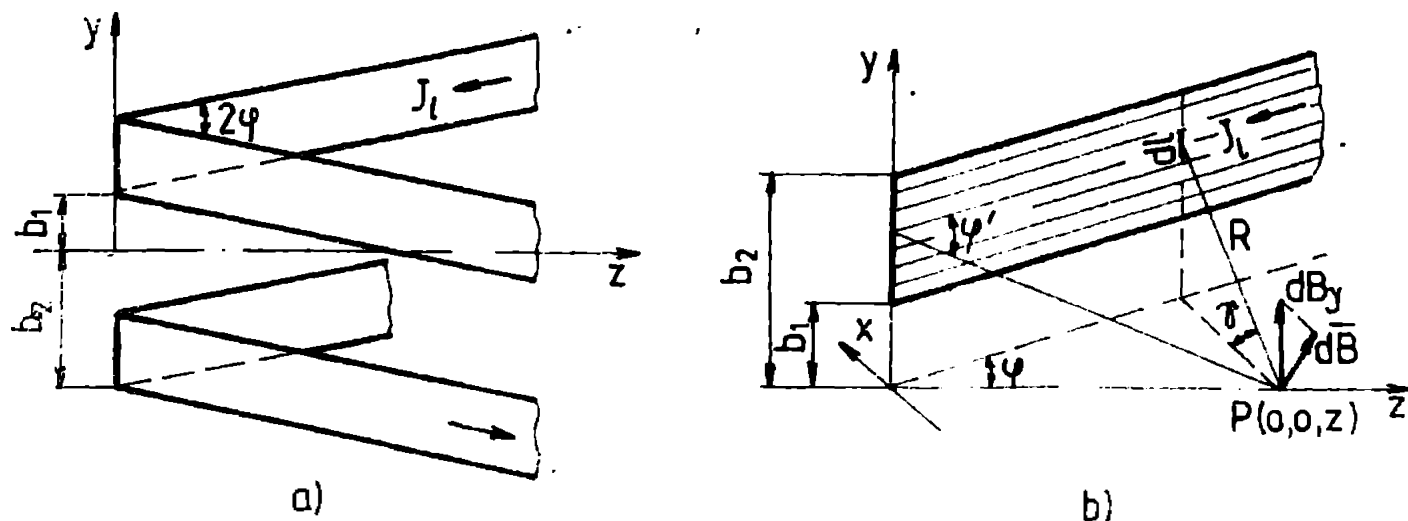


Fig. 3.9. Conductoare divergente echivalente prin plăți de curent

pe axa longitudinală se pornește de la expresia

$$dB_y = \frac{\mu_0 J_1 \cdot dl}{4\pi R^2} (1 + \cos \varphi') \cos \gamma \quad (3.17)$$

în care notațiile au semnificația din fig. 3.9.b) și se obține

$$B_y(z) = \frac{\mu_0 J_1}{\pi} (\alpha + \beta) \quad (3.18)$$

în care

$$\alpha = \arctg \frac{b_2}{z \sin \varphi} - \arctg \frac{b_1}{z \sin \varphi} ; \quad \beta = \arctg \frac{b_2 \sin \varphi'}{\sqrt{z^2 + b_2^2}} - \arctg \frac{b_1 \sin \varphi'}{\sqrt{z^2 + b_2^2}}$$

Pentru $z \gg b_2$ și divergență redusă (φ mic) rezultă $\beta \approx \alpha \cos \varphi \approx \alpha$ și deci

$$B_y(z) \approx \frac{\mu_0 J_1}{\pi} (1 + \cos \varphi) \alpha \approx \frac{\mu_0 J_1}{\pi} 2\alpha \quad (3.19)$$

relație de aceeași formă cu (3.15), însă unghiul α este în funcție de z .

Pentru situația în care conductoarele sînt de lungime mare și sînt cilindrice, avînd în secțiune transversală forma din fig. 3.10, inducția magnetică pe axa longitudinală se determină pornind de la relația (2.31) și se obține [8]:

$$B_z = \frac{2\mu_0 J_1}{\pi} (\sin \varphi_2 - \sin \varphi_1)$$

Pentru un punct oarecare din canal ($r < a$) se lucrează în coordonate polare și componentele inducției magnetice se obțin prin particulele sînt relațiilor coroborătoare ale tabelului 2.5 în care $r_1 \rightarrow -r_1$, $\sin n\varphi \rightarrow \sin n\varphi_2 - \sin n\varphi_1$, iar lazerul se obține

$$B_r = \frac{2\mu_0 J_1}{\pi} \sum_{k=1}^{\infty} \frac{1}{k} \left(\frac{r}{a}\right)^{k-1} (\sin k\varphi_2 - \sin k\varphi_1) \sin k\theta$$

$$A_y = \frac{2\mu_0 J_1}{\pi} \sum_{k=1}^{\infty} \frac{1}{k} \left(\frac{R}{a}\right)^{k-1} (\sin n\varphi_2 - \sin n\varphi_1) \cos n\theta \quad (3.20)$$

Temperatura în orice punct \$A_y\$ se obține conform cu figura 3.10 și expresiile lui \$A_x\$ și \$A_y\$ pe axa \$Oy\$

$$A_y = A_x \sin \theta + A_y \cos \theta$$

și înlocuim conform cu

$$\sin n\theta \sin \theta + \cos n\theta \cos \theta = \cos(n-1)\theta$$

rezultă:

$$A_y = \frac{2\mu_0 J_1}{\pi} \sum_{k=1}^{\infty} \frac{1}{k} \left(\frac{R}{a}\right)^{k-1} (\sin n\varphi_2 - \sin n\varphi_1) \cdot \cos(n-1)\theta \quad (3.21)$$

(3.21)

care se poate aplica particularizării pentru multe situații pe axa \$Ox\$ (\$\theta = 0\$) sau \$Oy\$ (\$\theta = \pi/2\$)

Pe axa \$Ox\$ temperatura este dispusă pe un suprafață cilindrică.

$$A_y(x,0) = \frac{2\mu_0 J_1}{\pi} \sum_{k=1}^{\infty} \frac{1}{k} \left(\frac{R}{a}\right)^{k-1} (\sin n\varphi_2 - \sin n\varphi_1)$$

(3.22)

$$A_y(0,y) = \frac{2\mu_0 J_1}{\pi} \sum_{k=1}^{\infty} \frac{(-1)^{k-1}}{k} \left(\frac{R}{a}\right)^{k-1} (\sin n\varphi_2 - \sin n\varphi_1)$$

Impunând din nou condiția de anulare a derivatei a doua în origine, rezultă cu condițiile \$\varphi_2\$ și \$\varphi_1\$ trebuie alese astfel încât

$$\sin 3\varphi_2 - \sin 3\varphi_1 = 0 \text{ sau } \varphi_2 = \frac{\pi}{3} - \varphi_1 \quad (3.23)$$

În situația de față se ia în considerare lungimea finită a bobinelor, acestea se vor aproxima prin \$n_2\$ spirale hiliforme, și se va aplica condiția de opoziție.

Pe baza datelor prezentate, s-au efectuat calcule pentru un canal de converție \$AB\$ cu lungimea de \$5\$ m și secțiunea transversală de \$0,4 \times 0,7\$ m² la intrare, respectiv \$0,4 \times 1,1\$ m² la ieșire, considerându-se trei variante constructive de bobine \$(a, b, c)\$. În toate cazurile, spațiul dintre peretele interior al canalului și pătură de conductă este umplut cu \$0,175\$ m [6,11].

În varianta (a), laturile principale ale bobinelor sînt plasate pe peretele exterior al canalului, spiralele avînd forma din figura 3.20. Pe baza dimensiunilor impuse ale canalului s-au stabilit două modele de bobine \$b_1 = 0,75\$ m și \$b_2 = 0,9\$ m, iar din figura (3.2) rezultă \$a_1 = 25\$ mm. Această valoare s-a majorat la \$b_1 = 75\$ mm pentru a avea suficiente spațiu pentru cele două vase de aer.

În varianta (b), laturile principale ale bobinelor sînt plasate pe peretele interior al canalului, spiralele avînd forma din figura 3.20. În secțiunea transversală s-au ales \$b_2 = 0,45\$ m, \$b_1 = 0,15\$ m, iar \$a_1 = 0,9\$ m la intrarea canalului și \$a_2 = 1,7\$ m la ieșire. Aceste

această pentru canalul considerat $\varphi = \arctg 0,1$ rezultă că se poate folosi relația (3.19).

În varianta (c), bobinele sînt plasate pe un cilindru cu $R = 0,5$ m sub unghiurile $\varphi_2 = 70^\circ$ și $\varphi_1 = 10^\circ$ (Fig. 3.10).

Pentru cele trei variante, considerînd lungimea infinite s-au calculat: inducția magnetică în centrul secțiunii canalului, B_0 , variațiile acesteia în canal pe axele x și y, inducția maximă la suprafața păturii de curent, precum și câmpul magnetic în exteriorul canalului la distanța de z m. Rezultatele sînt prezentate sintetic în tabelul 3.1.

Tabelul 3.1. Rezultate comparative la cele trei variante

Varianta	$\frac{B}{I} \cdot 10^7$ [T/A]	E_x %	E_y %		B_{max}	B_{ext}/B_0	
			intr	ieșire		$x=3, y=0$	$x=0, y=3$
a	9,48	2	1,5	3,5	1,2248	0,05	0,05
b	12,30 intr 9,09 ieșire	1	4,5	2,5	28,148	0,077	0,043
c	7,31	2,5	2,5	5	1,028	0,0	0,05

Pentru a ține seama de lungimea finită și de contribuția curentelor de bobina la producerea câmpului magnetic, s-a făcut o nouă aproximație prin spire ilimitate, în număr de șase la variantele (a) și (c) și respectiv trei spire la varianta (b). În această situație, s-a calculat componenta transversală a inducției magnetice pe axe longitudinalele a câmpului forșind ex, rezal de forme (3.6), (3.10) și (3.13), rezultatele fiind prezentate în figura 3.11.

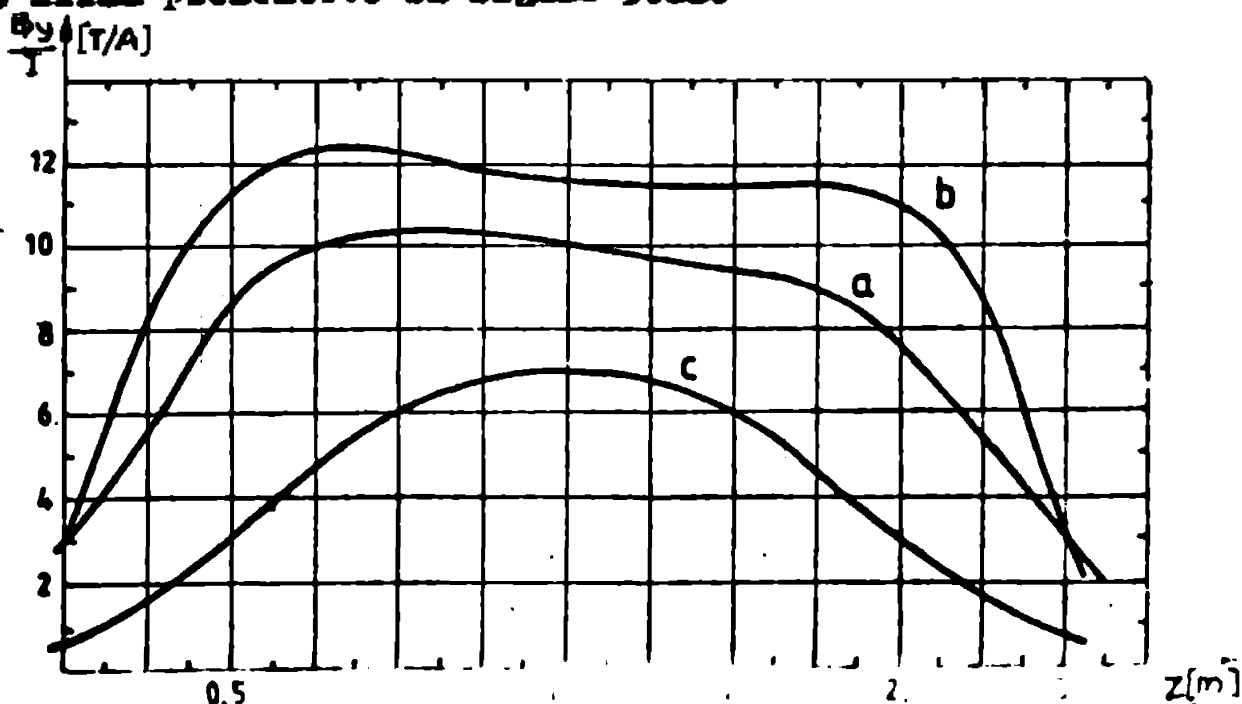


Fig. 3.11. Inducția magnetică pe axe longitudinală a canalului la cele trei variante

Analizând rezultatele obținute, se constată că:

- Varianta (a) prezintă o bună uniformitate a câmpului magnetic atât în secțiunea transversală cât și pe lungimea canalului, iar înălțimea pe conductoarele bobinei este cea mai redusă. Din cele trei variante considerate, este cea mai avantajoasă;

- Varianta (b) prezintă o bună uniformitate a câmpului magnetic, dar și unele inconveniente, și anume: câmp maxim de valoare ridicată, deoarece varianta se va lua în considerare numai dacă se rapune cu electrozii să fie realizați pe pereții divergenți ai canalului;

- Varianta (c) nu este recomandabilă pentru forma de canal divergent, deoarece raportul b_0/I este redus, fiind deci necesar un curent mare pentru realizarea unui câmp magnetic impus.

3.1.3. Câmpul magnetic în senzorii de conversie sau în cazul unor bobine pasive

Se consideră pentru început ca obiectele au laturi paralele de lungime foarte mare, iar secțiunea transversală a lor este dreptunghiulară (fig. 3.12, a).

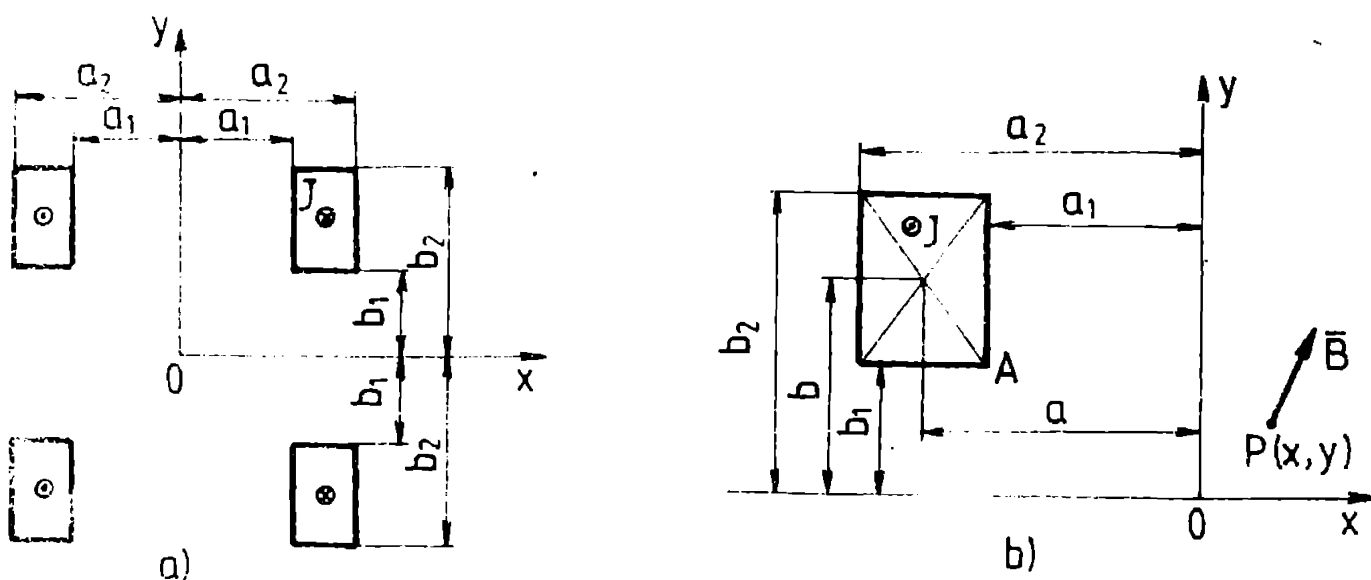


Fig. 3.12. Conductoare paralele de secțiune are dreptunghiulară

Inducția magnetică într-un punct $x(x,y)$ corespunzătoare unui singur conductor (fig. 3.12, b) se obține aplicând expresia (2.32) sau particularizând expresia (2.21) pentru sistemul de axe ales.

rezultă:

$$B_x = \frac{\mu_0 J}{4\pi} \left[(x+a_1) \ln \frac{(x+a_1)^2 + (y-b_1)^2}{(x+a_1)^2 + (y-b_2)^2} + (x+a_2) \ln \frac{(x+a_2)^2 + (y-b_2)^2}{(x+a_2)^2 + (y-b_1)^2} + 2(y-b_1) \operatorname{arctg} \frac{-(a_2-a_1)(y-b_1)}{(x+a_2)(x+a_1) + (y-b_1)^2} + 2(y-b_2) \operatorname{arctg} \frac{(a_2-a_1)(y-b_2)}{(y-b_2)^2 + (a_2+x)(a_1+x)} \right]$$

$$B_y = \frac{\mu_0 J}{4\pi} \left[(y-b_2) \ln \frac{(x+a_1)^2 + (y-b_2)^2}{(x+a_2)^2 + (y-b_2)^2} + (y-b_1) \ln \frac{(x+a_2)^2 + (y-b_1)^2}{(x+a_1)^2 + (y-b_1)^2} + 2(x+a_2) \operatorname{arctg} \frac{(b_2-b_1)(x+a_2)}{(x+a_2)^2 + (y-b_1)(y-b_2)} + 2(x+a_1) \operatorname{arctg} \frac{-(b_2-b_1)(x+a_1)}{(x+a_1)^2 + (y-b_1)(y-b_2)} \right] \quad (3.24)$$

Relațiile (3.24) se simplifică pentru un punct situat pe muchia laterală de coborâre astfel pentru punctul $A(-a_1, b_1)$ rezultă:

$$B_x(a_1, b_1) = \frac{\mu_0 J}{4\pi} F_x(\delta_x, \delta_y) \quad (3.25)$$

$$B_y(-a_1, b_1) = \frac{\mu_0 J}{4\pi} F_y(\delta_x, \delta_y)$$

în care

$$F_x(\delta_x, \delta_y) = \delta_x [\ln(1 + \alpha^2) + \alpha \operatorname{arctg} \alpha]$$

$$F_y(\delta_x, \delta_y) = \delta_x \left[\alpha \ln \frac{1 + \alpha^2}{\alpha^2} + \alpha \operatorname{arctg} \frac{1}{\alpha} \right]$$

iar $\delta_x = a_2 - a_1$, $\delta_y = b_2 - b_1$ și $\alpha = \delta_x / \delta_y$

Pentru un punct situat pe muchia laterală de coborâre ($r(x, y)$ în fig. 3.12, b) se poate aplica principiul superpoziției după cum este indicat în [6] și se obține:

$$A_x^y = \frac{\mu_0 J}{4\pi} \left[F_x^y(a_2+x, b_2-y) - F_x^y(a_1+x, b_2-y) - F_x^y(a_2+x, b_1-y) + F_x^y(a_1+x, b_1-y) \right] \quad (3.26)$$

unde în toate cele patru laturi de coborâre (a_2, b_2, a_1, b_1) s-au luat expresiile corespunzătoare indicației de direcție:

$$A_x^y = \frac{\mu_0 J}{4\pi} \left[F_x^y(a_2+x, b_2-y) - F_x^y(a_1+x, b_2-y) - F_x^y(a_2+x, b_1-y) + F_x^y(a_1+x, b_1-y) + F_x^y(a_2-x, b_2-y) - F_x^y(a_1-x, b_2-y) - F_x^y(a_2-x, b_1-y) + F_x^y(a_1-x, b_1-y) + F_x^y(a_2-x, b_2+y) - F_x^y(a_1-x, b_2+y) - F_x^y(a_2-x, b_1+y) + F_x^y(a_1-x, b_1+y) + F_x^y(a_2+x, b_2+y) - F_x^y(a_1+x, b_2+y) - F_x^y(a_2+x, b_1+y) + F_x^y(a_1+x, b_1+y) \right] \quad (3.27)$$

cu expresiile particulare pe axele x și y :

$$B(x, 0) = \frac{\mu_0 J}{2\pi} \left[F_y(a_2+x, b_2) - F_y(a_1+x, b_2) - F_y(a_2+x, b_1) + F_y(a_1+x, b_1) + F_y(a_2-x, b_2) - F_y(a_1-x, b_2) - F_y(a_2-x, b_1) + F_y(a_1-x, b_1) \right] \quad (3.28)$$

$$B(0, y) = \frac{\mu_0 J}{2\pi} \left[F_y(a_2, b_2-y) - F_y(a_1, b_2-y) - F_y(a_2, b_1-y) + F_y(a_1, b_1-y) + F_y(a_2, b_2+y) - F_y(a_1, b_2+y) - F_y(a_2, b_1+y) + F_y(a_1, b_1+y) \right]$$

și respectiv pe axa longitudinală a conductoare:

$$B_0 = \frac{\mu_0 J}{\pi} [F_y(a_2, b_2) - F_y(a_1, b_2) - F_y(a_2, b_1) + F_y(a_1, b_1)] \quad (3.29)$$

Relațiile de calcul stabilite (3.25-3.29) se pot folosi și în cazul unor bobine masive cu laturile divergente dacă unghiul de divergență (φ în fig. 3.5) este redus astfel încât $\cos\varphi \approx 1$.

Dacă se luă în considerare o bobină finită cu și secțiunea transversală reală a bobinilor, calculul câmpului magnetic se va face pe baza metodei prezentate în paragr. 2.2.1.

În continuare se prezintă modul în care s-a rezolvat problema calculului electromagnetice al unei bobine supraconductoare pentru generator cu canal de conversie divergent și secțiune pătrată, cu laturile în convergență a secțiunii și unghiuri finite a laturilor de bobină. Problema a constituit obiectul unui contract de cercetare științifică [47] între două variante de bobine, cu inducția magnetică de 0 T și respectiv 0 T. Dimensiunile canalului de conversie și ale spațiului liber din interiorul criostatului au fost impuse prin condiții de proiectare și sînt date în tabelul 3.2.

Tabelul 3.2. Dimensiunile canalului de conversie

Varianta	Secțiunea canalului de conversie (m ²)		Spațiul liber din interior, criosta (m ²)		Lungimea (m)
	intrare	ieșire	intrare	ieșire	
0 T	0,0x0,0	1,0x1,0	1x1	2x2	10
0 T	0,0x0,0	2,1x2,1	1x1	2,5x2,5	15

Analiza de calcul prezintă în paragr. 2.1.1. și 3.1.2, s-au luat în considerare bobine de tip "ce" divergente avînd forma din fig. 3.15. Dimensiunile intrare ale acestora rezultă funcție de dimensiunile canalului de conversie, grosimea peretelui acestuia (spațiul liber din interiorul criostatului) și de grosimea peretelui criostatului. Rezultatele prezentate în cele ce urmează se referă la variante cu inducția magnetică de 0 T, pentru celelalte variante acestea putîndu-se utiliza în [47].

Spațiul liber în care se plasează canalul de conversie fiind egal în variante lui 1 m² la intrare și 2x2 m² la ieșire și apreciînd grosimea peretelui criostatului în 0,2 m [12], rezultă următoarele dimensiuni interioare pentru bobine:

$$a_1 = 0,7 \text{ m} \quad a_2 = 1,2 \text{ m} \quad l = 10 \text{ m}$$

$$a_1 = 0,7 \text{ m} \quad a_2 = 1,2 \text{ m}$$

Lungimea fiind mare în raport cu dimensiunile transversale și unghiul de divergență redus, se pot aproxima într-o primă fază bobinele cu conductoare filiforme paralele și înălțimi lungi, plasate ca în fig. 3.2

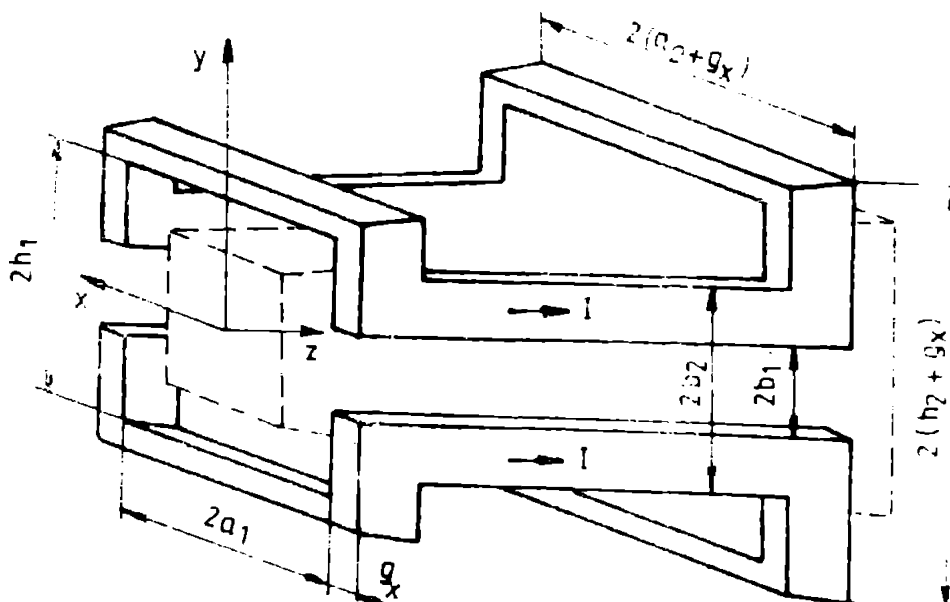


Fig. 3.13. Forma geometrică a bobinelor de tip 4m

la o distanță reală $a = 1m$, iar b rezultă din condiția (3.4) pentru a avea un câmp uniform pe secțiune, $b = 0,577 m$. În această situație, din (3.2) se determină curentul necesar pentru a realiza inducția magnetică cerută ($B_0 = BT$):

$$I = \frac{2 a B_0}{\mu_0} = 13,3 \cdot 10^6 A$$

Având în vedere dimensiunile foarte mari ale bobinelor, se poate o valoare relativ redusă pentru densitatea de curent echivalentă, $j = 48 A/cm^2$, astfel încât rezultă pentru secțiunea transversală a bobinei de bobină

$$S = S_x(b_2 - b_1) = I/j = 0,20 cm^2$$

Ținând seama de grosimea peretelui cristalinului și pentru a avea acces la electrozi, se alege $b_1 = 0,3 m$ și rezultă (din 3.12, b)

$$b_2 = b + (b - b_1) = 0,574 m$$

Dacă se aproximează conductoarele prin putări de curent, din graficul 3.6 rezultă $b_2 = 0,95 m$. Prin urmare se vor lua în considerare bobine cu $b_2 \approx 0,9 m$.

În continuare, pentru alegerea unei variante optime se ia în calculul mai exact al câmpului magnetic cu ajutorul metodei în coordonate sferice și a funcțiilor Legendre de ordinul n . Alina necesită cunoașterea câmpului magnetic din interiorul bobinelor, cu condiția ca să se supraîncă bobina și din exteriorul bobinelor, fiindcă un volum mare de calcul, astfel încât singura soluție rațională este rezolvarea numerică pe baza metodei indicate în paragraful 2.2.1. ca urmare a realizării programului de calcul mai ușor și, în principal, necesită structura sa și programul general (par. 2.2.1) dar cu unele particularități,

legate cu forma bobinării. Astfel numărul de letari este $N_1 = 2$ și deoarece așezarea simetrică de spire este convenabil calculul câmpului pentru o parte de spire. O particularitate importantă se referă la coordonatele virfurilor centrului poligonal al spirelor de calcul, care se determină în funcție de la dimensiunile a_1, a_2, b_1, b_2 și fiindu-le cunoscut numărul de împărțire a bobinei în spire de calcul (vezi 3.14), respectiv: numărul de spire pe strat (n), numărul total de spire (N_s) și dimensiunile secțiunii transversale a spirei de calcul ($\Delta a, \Delta b$).

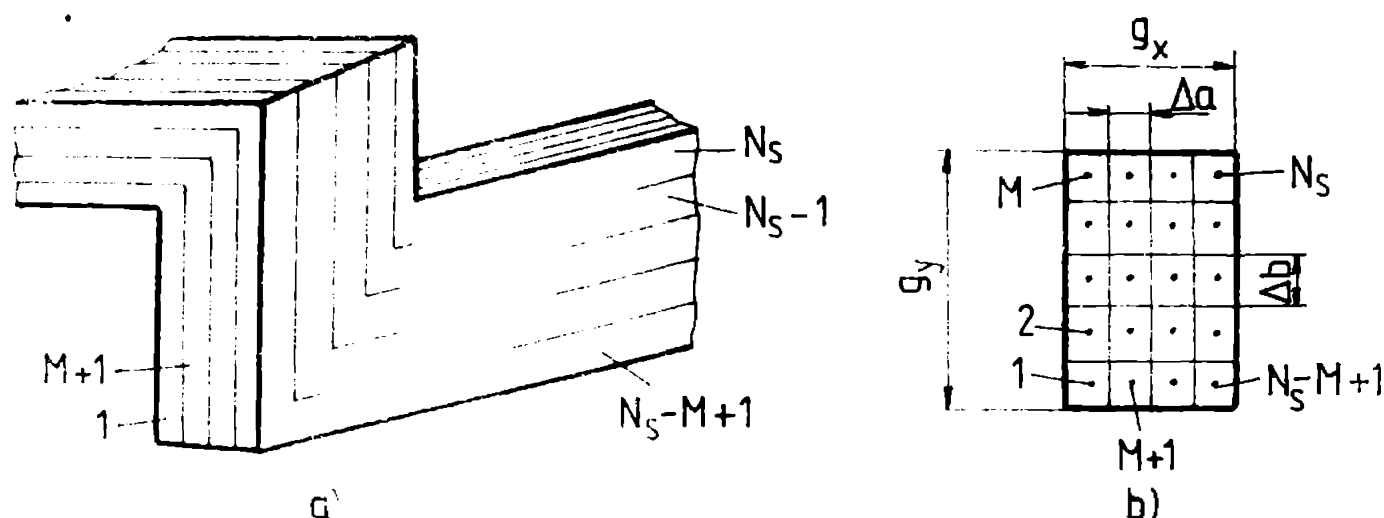


Fig. 3.14. Aplicații privind modul de împărțire a bobinei în spire de calcul

Centrul de calcul se poate alege în orice punct din fig. 3.13 indiferent de valoarea lui b_2 , se impune ca valorile stabilite și date pentru h_1 și h_2 să fie verificate și eventual corectate în program.

Programul de calcul elaborat pe baza ordinogramii de principiu din fig. 3.12, permite lucrul în combinație a mai multor variante de bobine.

Ca exemplu considerăm o bobină de calcul cu componente ale câmpului magnetic de $N_p = 100$ puncte în trei variante de bobine ce se deosebesc între ele prin numărul din tabelul 3.5.

Tabelul 3.5. Caracteristicile variantelor de bobine

Varianta	n	N_s	$a(m)$	$b(m)$	$\delta_x(m)$	$\delta_y(m)$	$b_2(m)$	$h_1(m)$	$h_2(m)$
1	6	20	0,074	0,1	0,47	0,6	0,7	0,07	1,6
2	7	28	0,1	0,1	0,4	0,7	1	0,565	1,2
3	10	20	0,074	0,1	0,262	1	1,3	1,25	1,55

Coordonatele calculului referitoare la componenta transversală a câmpului (u, v axa y) se prezintă grafic în figurile 3.16 - 3.18

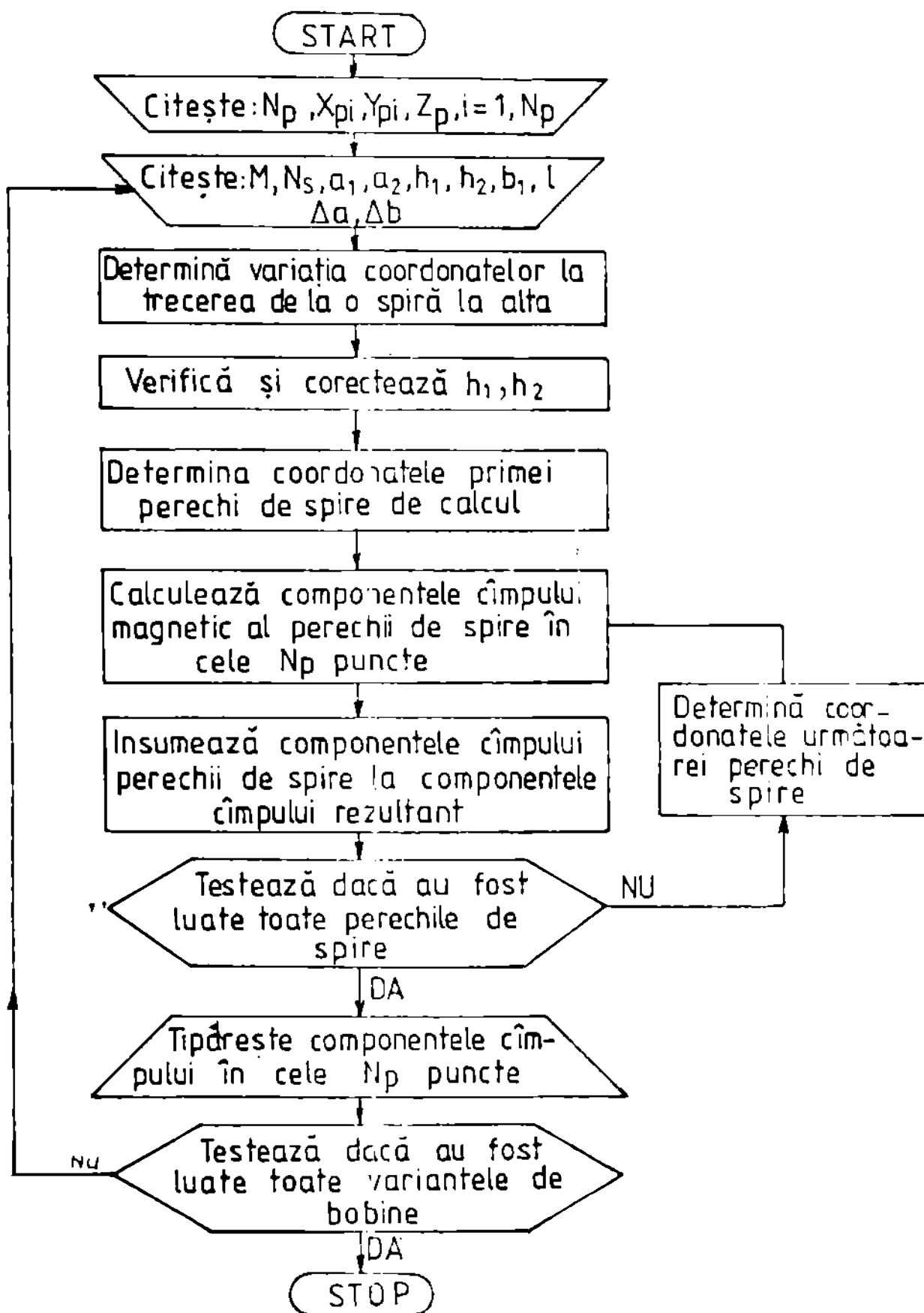


Fig.3.15. Ordinograma de principiu a programului MHD04

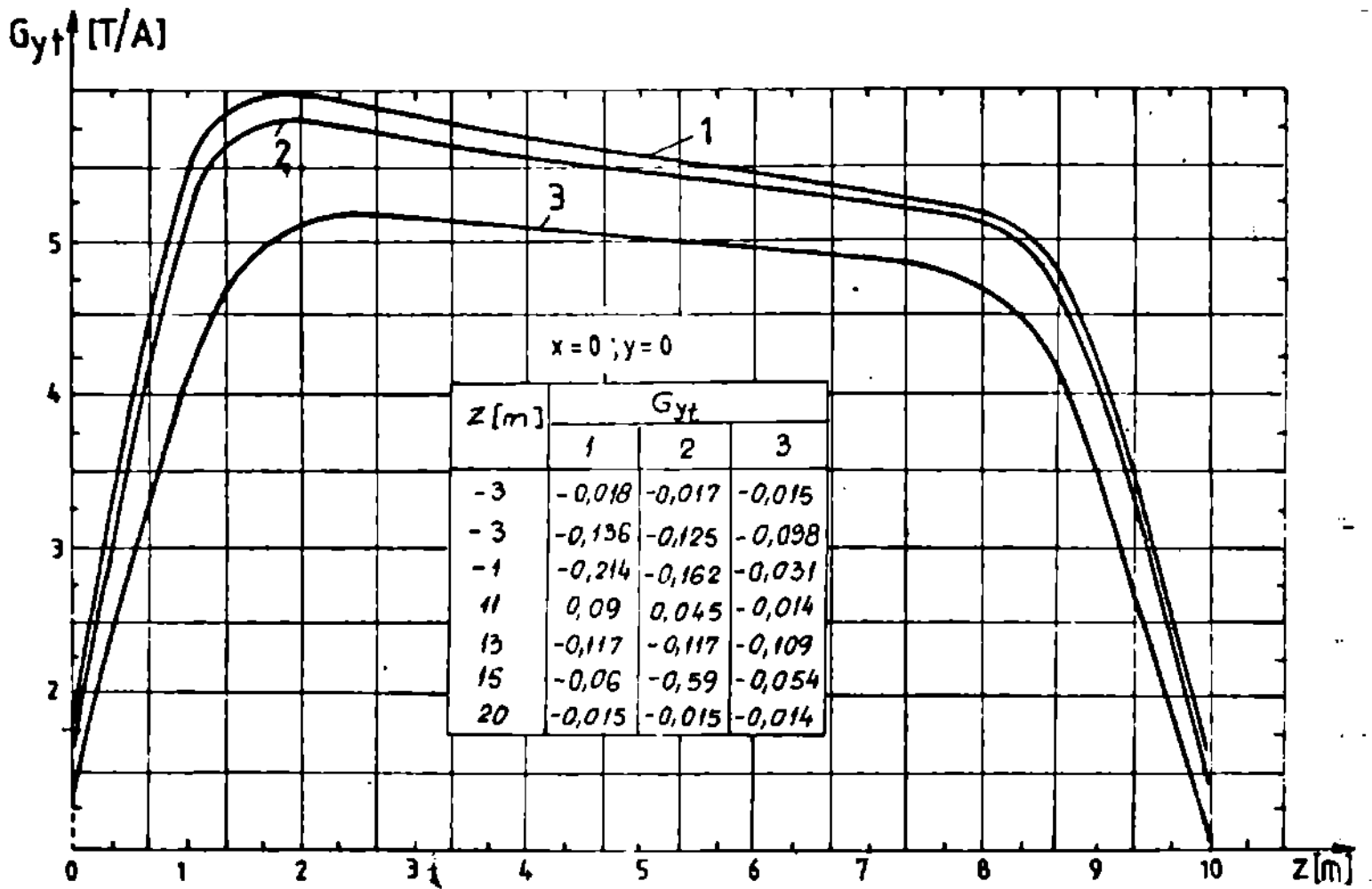


Fig. 2.10. Distribuția magnetică pe axa longitudinală a bobinei

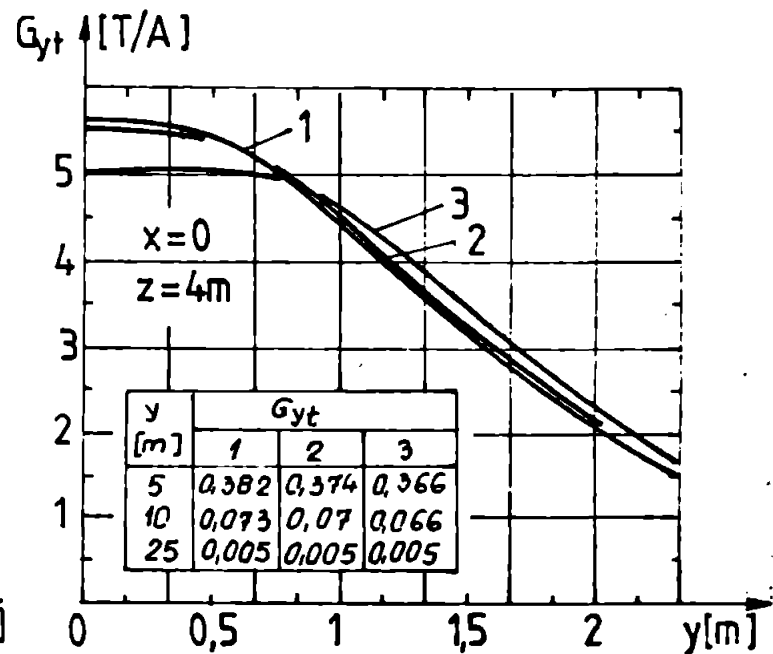
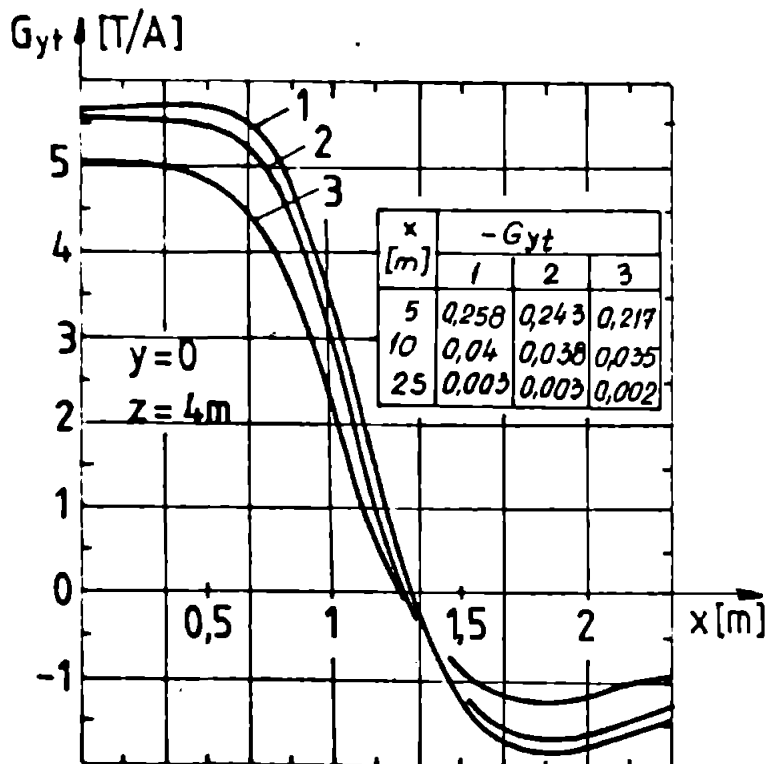


Fig. 2.11. Distribuția magnetică pe axa transversală într-o secțiune centrală

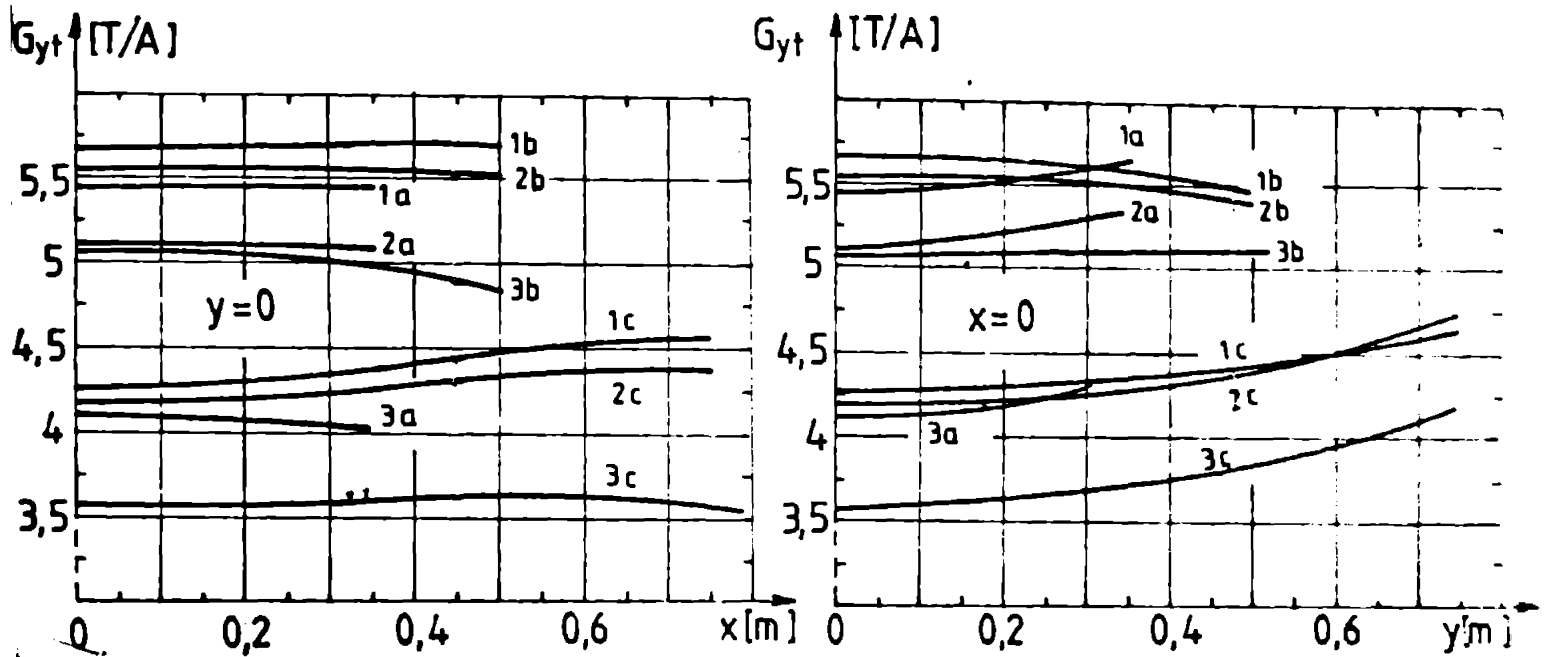


Fig. 2.10. Câmpul magnetic pe axele transversale în interiorul canalului de conversie: a) $z = 0$; b) $z = 0,02$; c) $z = 0,04$

Analizând aceste rezultate este sub aspectul valorii inducției magnetice realizate în un anumit circuit electric cit și al unității de timp necesare în canalul de conversie, se constată că valoarea a căreia este mai avantajoasă. Pentru aceasta s-a luat ca calculat valoarea câmpului magnetic și în cazul de răsucire și de la fiecare capăt al celui pentru determinarea câmpului magnetic în $H_p = 10^7$ puncte situate în canal și în exteriorul bobinei, așa ca distribuția relativă de inducție de câmp să se considere un număr mare de spirale de conversie ($H = 5, H_p = 10$). Din păcate, pentru determinarea valorii maxime a inducției magnetice, punctele de calcul sînt aproape de conductoarele parcurse de curent, ceea ce este condiționat de forma cilindrică de spirale de conversie (H_p este) și de un anumit număr de conductoare magnetice în $H_p = 10^7$ puncte situate pe suprafața interioră (câmpul de câmpul H_p) a laturii principale de bobină. O parte din rezultatele obținute se prezintă grafic în figura 2.10 = 2.10.

După cum era de așteptat datorită forței geometrice a bobinelor, se observă că inducția magnetică se crește de la interior spre exteriorul canalului de conversie. Dacă se impune ca valoarea maximă pe axa canalului să fie $H_0 = 5,6$ și țînînd seama de valoarea obținută pentru factorul geomtric pe axa canalului ($G_{t0} = 5,6$ T/A), se poate calcula valoarea electrică în-căzării:

$$I = 10^7 H_0 / G_{t0} = 10^7 \cdot 5,6 / 5,6 = 10^7 \text{ A}$$

Valoarea curentului este puțin de cea obținută în cazul spiralelor de conversie de tipul cilindric și de lungime mare. Valoarea obținută pentru intensitatea câmpului electric îi corespunde o densitate de curent

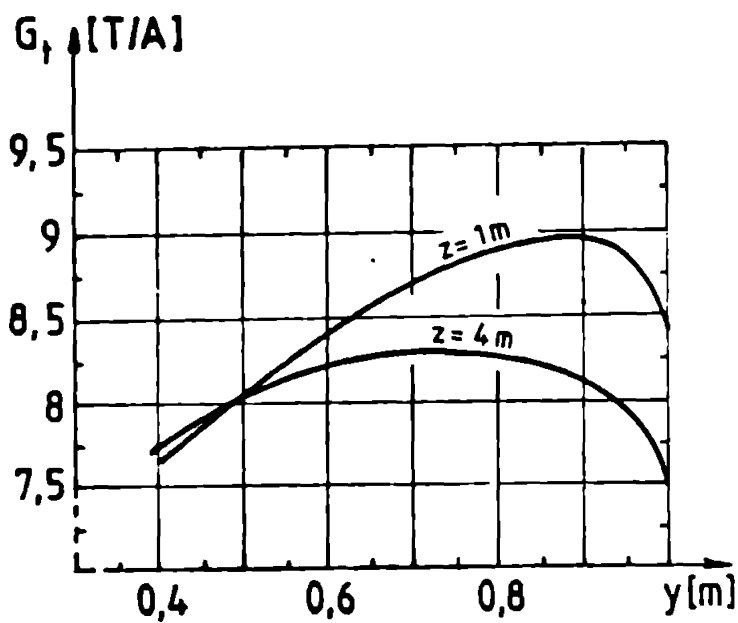


Fig. 5.19. Câmpul magnetic pe suprafața în planul de lucru al bobinei

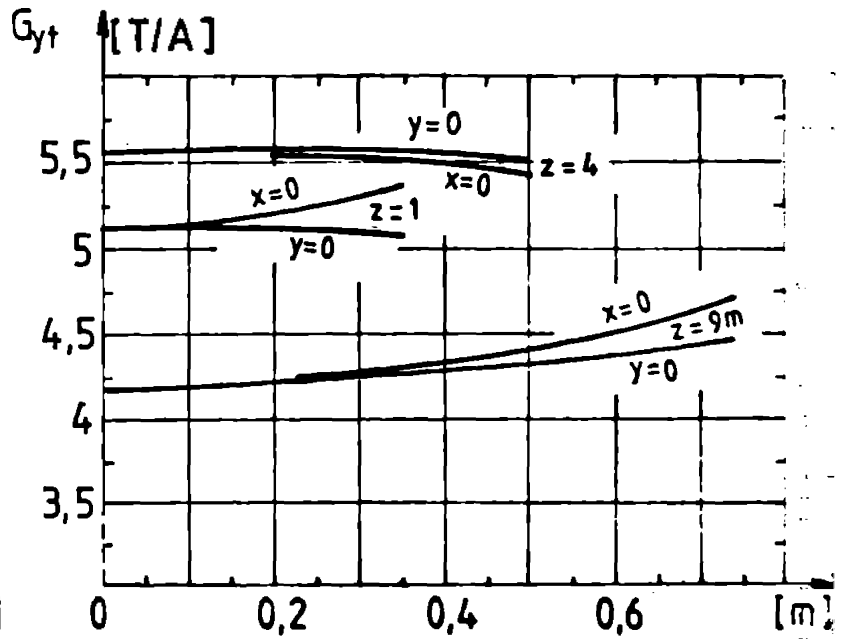


Fig. 5.20. Câmpul magnetic pe axele transversale în interiorul bobinei de conversie

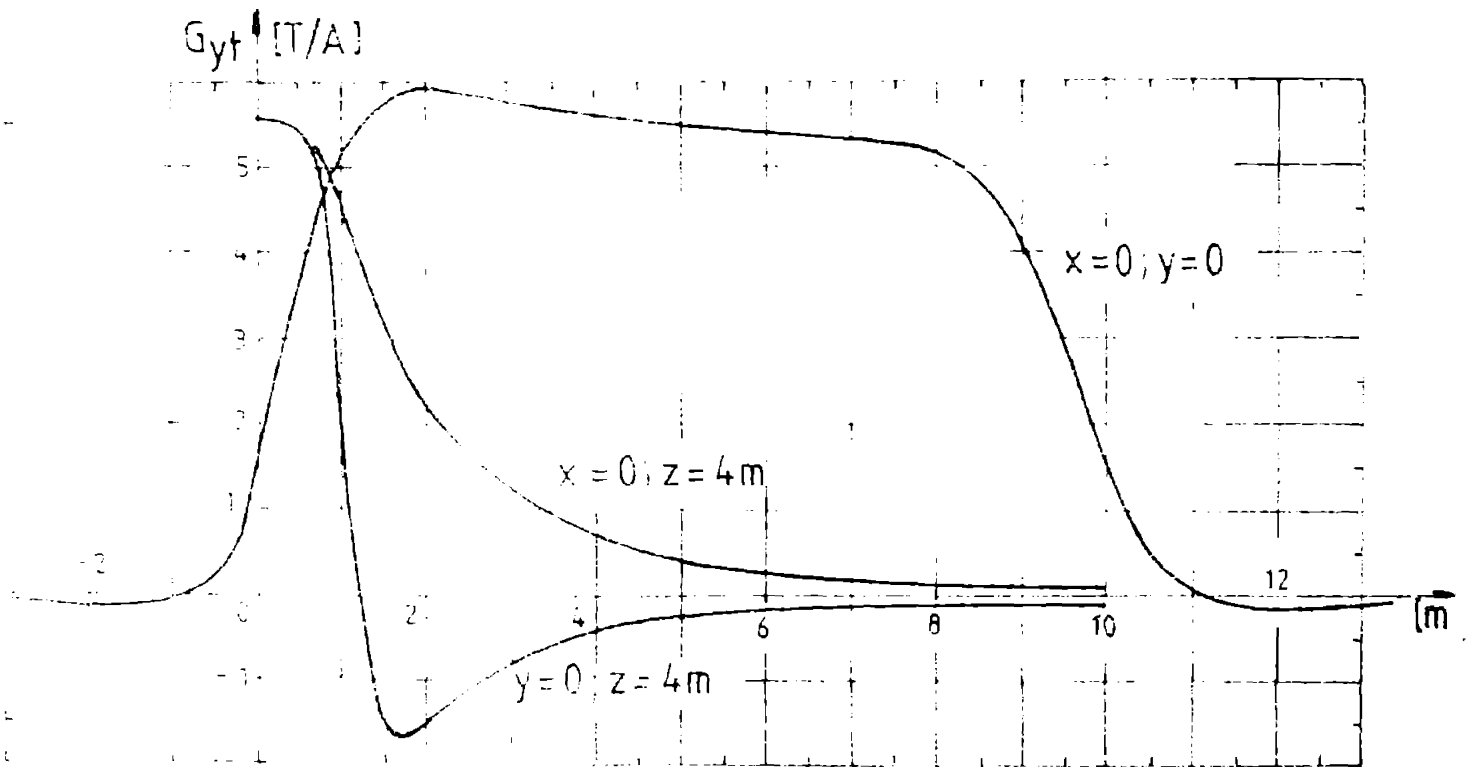


Fig. 5.21. Câmpul magnetic pe axa longitudinală și pe axele transversale într-o secțiune centrală a bobinei

echivalentă $J = 49,3 \text{ A/mm}^2$.

La suprafața bobinei, inducția magnetică are valori mari în zona de lucru a bobinei. Pentru $z=4m$ și $y=0, z=9m$ sau $z=0, y=0$ avem $G_{yt \text{ max}} = 5,94 \text{ T/A}$ și rezultă:

$$B_{\text{max}} = G_{yt \text{ max}} \cdot 10^{-7} I = 5,94 \cdot 10^{-7} \cdot 13,8 \cdot 10^9 = 12,3 \text{ T}$$

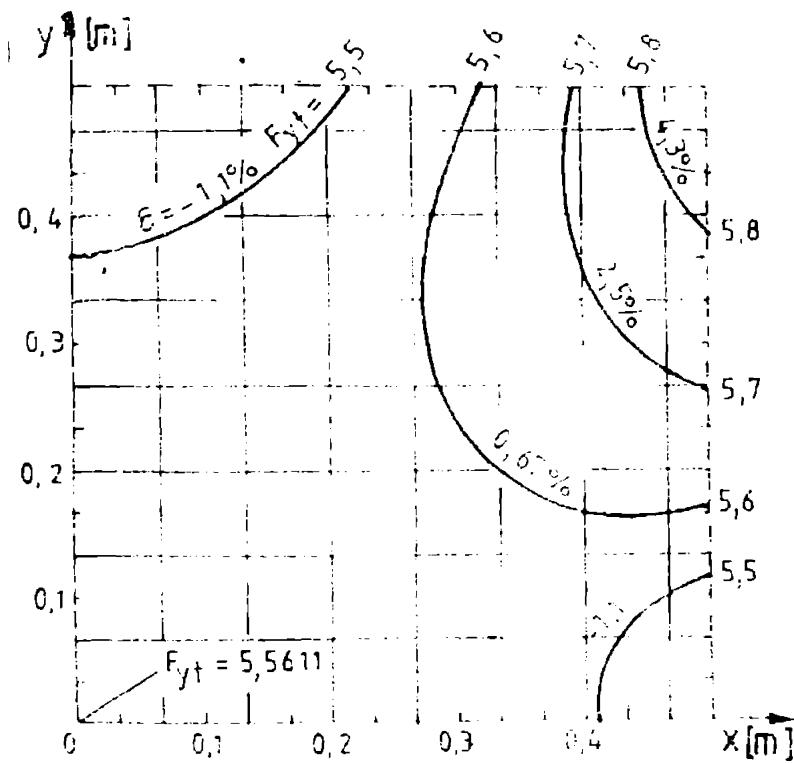


Fig. 3.22. Variația câmpului magnetic într-o secțiune centrală a cablului

formația inducției magnetice pe secțiunea transversală într-o zonă centrală ($z = 4m$) și învecinate la limita de 0,5 și este mai mare spre ieșirea canalului (30% la $z = 9m$).

Referitor la câmpul magnetic din exteriorul bobinelor se constată valori mari învecinate în zona centrală. Astfel se dau pentru orientare în tabelul 3.4 valorile inducției magnetice în câteva puncte situate la zona

Tabelul 3.4. Inducția magnetică în exteriorul bobinelor în planul $z = 4m$

x (m)	1,7	2	5	10	0	0	0	0
y (m)	0	0	0	0	1,7	2	5	10
B (T)	2,33	2,15	0,52	0,07	3,76	2,90	0,73	0,2

3.1.4. Determinarea forțelor electromagnetice

Centrul câmpului magnetic local, de vor acum să calculăm (2.170) vom în vedere că se lucrăm în coordonate carteziene. Este însă foarte importantă și cunoașterea forței rezultante care acționează asupra unității de lungime a lacurii de bobină. Aceasta se poate obține dacă se consideră N_p puncte situate într-o secțiune transversală a lacurii de bobină, marcat în centrul secțiunii celor $N_p = N_b$ spire elementare în care s-a descompus bobina (fig. 3.14.0). Considerând lungimea unitară ($\Delta v = \Delta a, \Delta b, l = \Delta a, l$), din relația (2.172) rezulta forța specifică pe unitatea de lungime a lacurii de bobină,

$$\vec{F}_l = \vec{i} \sum_1^{N_b} i_{v_{1x}} \Delta s + \vec{j} \sum_1^{N_b} i_{v_{1y}} \Delta s + \vec{k} \sum_1^{N_b} i_{v_{1z}} \Delta s \quad (3.30)$$

în care

- 120 -

$$\begin{aligned}
 F_{lx} &= \sum_{i=1}^{N_s} f_{vx} \Delta s = G_{2lx} 10^{-7} I^2 \\
 F_{ly} &= \sum_{i=1}^{N_s} f_{vy} \Delta s = G_{2ly} 10^{-7} I^2 \\
 F_{lz} &= \sum_{i=1}^{N_s} f_{vz} \Delta s = G_{2lz} 10^{-7} I^2 \\
 F_l &= \sqrt{F_{lx}^2 + F_{ly}^2 + F_{lz}^2} = G_{l1} 10^{-7} I^2
 \end{aligned}
 \tag{3.31}$$

În scopul determinării forțelor electromagnetice, s-au realizat două variante de programe de calcul dintre care unul permite calculul densității de volum a forței în orice punct ale cărui coordonate se dau ca date de intrare (programul MHD 05), iar celălalt permite calculul densității de volum a forței și a forței specifice pe unitatea de lungime într-un număr dat de secțiuni transversale (H_{2f}) ale laturii de bobină (de calcul MHD 06). Având în vedere cumarul mare de puncte în care se calculează forțele locale pentru ca erorile (3.31) să fie cât mai exacte, coordonatele acestor puncte se determină în programul de calcul. Ordinea și principiul ale celor două programe nu sînt date în figurile 3.23 și 3.24 dar structura completă a lor și rezultatele obținute sînt date în [47]. Forța locală maximă apare pe latura principală ($i_p = 1$ după numerotarea din fig. 3.25) în apropierea capetei de acces, unde s-a obținut $G_{21 \max} = 30,4 \text{ T/A}^2$ și deci pe baza relației (2.21/1) rezultă:

$$f_{vy \max} = 30,4 \cdot 10^{-7} \cdot (13,8 \cdot 10^6)^2 = 579 \text{ MN/m}^2$$

forța maximă pe unitatea de lungime apare pe laturile celei mai scurte ($i_p = 8; 2$), pentru care $G_{21 \max} = 3,55 \text{ T/A}^2$ și rezultă din (3.31)

$$F_{l \max} = 3,55 \cdot 10^{-7} \cdot (13,8 \cdot 10^6)^2 = 67,6 \text{ MN/m}$$

referitor la componentele forței rezultanta pe unitatea de lungime, acestea au valorile:

$$F_{lx \max} = 43 \text{ MN/m și apare pe latura } i_p = 8;$$

$$F_{ly \max} = 44 \text{ MN/m și apare pe latura } i_p = 1;$$

$$F_{lz \max} = 50 \text{ MN/m și apare pe latura } i_p = 8.$$

Având seama de dimensiunile secțiunii transversale a laturii de bobină acestor forțe le corespund forțe pe unitatea de suprafață

$$f_{sz} = \frac{F_{lz}}{b_x} = \frac{50}{0,4} = 125 \text{ MN/m}^2 = 12,5 \cdot 10^3 \text{ N/cm}^2$$

$$f_{sy} = \frac{F_{ly}}{b_x} = \frac{44}{0,4} = 110 \text{ MN/m}^2 = 11 \cdot 10^3 \text{ N/cm}^2$$

care solicită la compresione (strivire) conductoarele bobinei. Dacă se integrează potrivit forțelor pe unitatea de lungime, se obțin for-

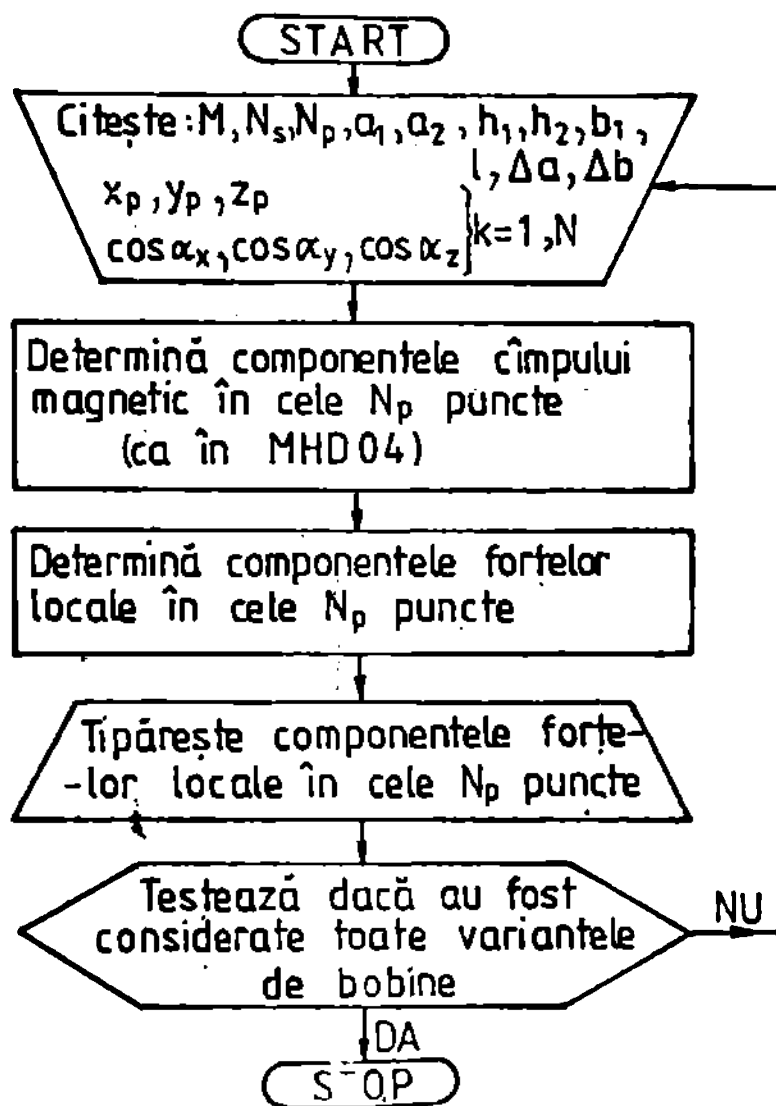
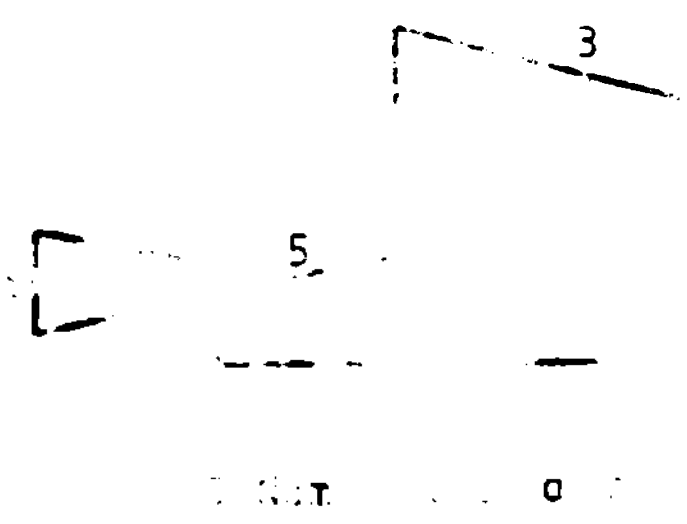


Fig 3.23 Ordinograma de program MHD 05 de calcul a...



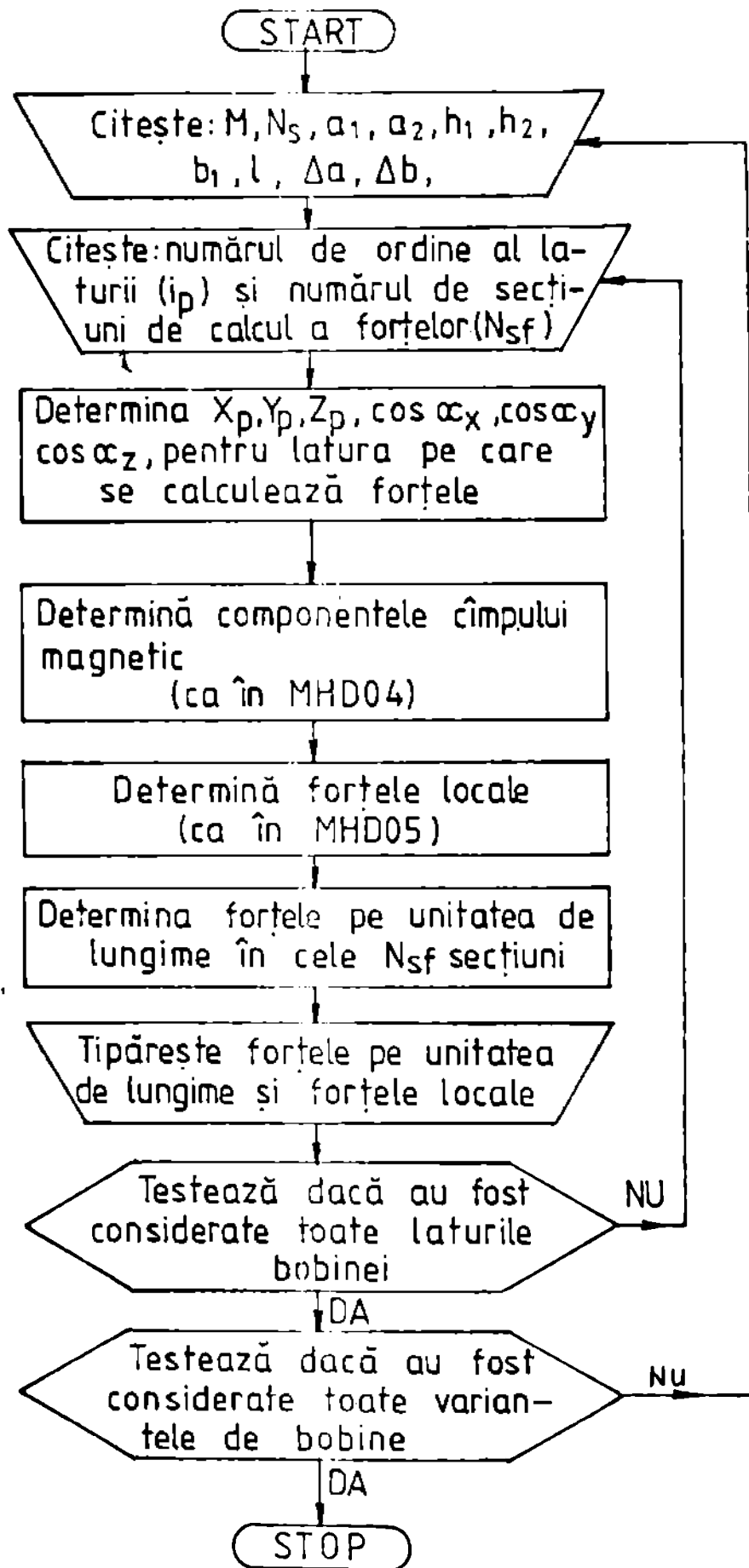


Fig. 3. 24. ORDINOGRAMA DE PRINCIPIU A PROGRAMULUI MHD06 DE CALCUL A FORTELOR LOCALE SI A FORTELOR REZULTANTE PE UNITATEA DE LUNGIME

țale rezultate care solicită bobina, astfel, rezistându-se în direc-
ția cea mai defavorabilă (caută ax), prin integrarea inductorilor $F_{1,x}$
de pe laturile 1, 2 și 8 se obține $F_x = 3010 \text{ kG}$. Această forță solli-
cită la întindere laturile 5 și 7 ale bobinei, care, asigurându-i o for-
ță specifică pe unitatea de suprafață transversală:

$$F_{\text{ex}} = \frac{F_x}{2 \cdot S} = \frac{3010}{2 \cdot 0,28} = 5370 \text{ kg/cm}^2$$

Min rezultatele obținute privind câmpul magnetic și forțele
electromagnetice se desprind unele observații necesită de importan-
te în vederea proiectării acestor bobine. Astfel, ținand seama de
valoarea maximă a inducției magnetice pe conductoarele bobinei (12,5 T)
și de parametrii critici ai supraconductoarei (tabelul
1.2), rezultă că nu se va putea folosi materialul NbTi, urmind a se
utiliza Nb₃Sn sau V₃Sn. În acest caz, datorită inducțiilor magnetice
mari din exteriorul bobinei (tabelul 3.4) se impun măsuri de ecran-
are magnetică și respectiv restricții de plasare a suprafețelor și in-
stalațiilor aferente, iar valoarea necesită de mari ale inductorilor
electromagnetici impun măsuri atente de consolidare a conductoarelor
bobinelor.

3.2. Realizări sincronizate cu c.c. față de supraconductoare

Problemele legate de realizarea inductorilor supraconductuo-
re pentru excitația generatorilor sincrone sînt justificate de ne-
tul că puterea generatorilor sincrone convenționale este limitată
practic la 1200 - 1500 MVA în funcție de cauza pierderii și alimen-
tării extrem de mari. Pe de altă parte încă din unele lucrări de
prognostic s-a vădit că din punct de vedere tehnico-economic se recoman-
dă în viitor realizarea unor generatoare cu puteri de 2000 - 3000
MVA [37,100]. Pentru realizarea unor astfel de generatoare vor tro-
bi multe probleme solicitările electromagnetice (inducția mag-
netică și densitatea de curent), impunându-se găsirea unor soluții
tehnologice care să permit aceste solicitări mari. O astfel de
soluție o constituie folosirea inductorilor de excitație supraconduc-
toare, care oferă posibilitatea obținerii unor câmpuri magnetice
puternice (parte 2.) chiar în prezența pierderilor feromagnetice. După
cum arată studiile teoretice și realizările experimentale [17,20,
67,115,130,134,137], absența pierderilor feromagnetice contribuie la cre-
șterea eficienței dispozitivelor pentru inducerea și de asigurarea por-
ții marii tensiunii necesare. Principalul avantaj al acestui sistem
il constituie reducerea pierderilor de aproximativ 20% [37].

Apar însă și alte avantaje legate de reducerea pierderilor în mașină, reducerea costului aparaturii de tranziționare și conectare (ca urmare a scăderii tensiunii nominale), și altele. Față de cunoscuta dificultăți legate de menținerea temperaturii scăzute, aceste avantaje devin preponderente la puteri relativ mari, astfel încât studiile efectuate arată că generatoarele sincrone cu excitație supraconductoare sînt competitive cu cele clasice numai la puteri unitare mai mari de 1000 MVA [17,135].

Față de variantele convenționale, în afară de faptul că lipsesc pierderile feromagnetice și că înfășurarea de excitație este supraconductoare, mai apar și alte deosebiri. Astfel între înfășurarea de excitație și cea a inducției se prevede un aeran conductor pentru ca în timpul proceselor tranzitorii cîmpurile magnetice variabile ale inducției să nu pătrundă în înfășurarea de excitație supraconductoare. De asemenea, mașina are în exterior un ecran feromagnetic, care este folosit și ca suport pentru consolidarea înfășurătorilor.

Dificultăți acestor asocieri constructive rezultă și unele particularități privind cîmpul magnetic și forțele electromagnetice. Astfel, cîmpul magnetic nu mai este axial, existînd și o componentă tangențială importantă. De asemenea, forțele electromagnetice acționează direct asupra conductoarelor parcurse de curenți și nu se supraîncălzesc de separațiile lor aer. La puteri relativ mari, astfel că se impune o bună consolidare cu materiale neferomagnetice. Din punct de vedere al calculului electromagnetic, o particularitate importantă o constituie posibilitatea aplicării principiului supraconducției. Această soluție prezintă pierderi feromagnetice lipsă sau se folosesc doar în scop de protecție și pot fi considerate inexistente, cîmpul magnetic fiind totuși în aer.

Printre variantele posibile de realizare a generatoarelor sincrone cu excitație supraconductoare, prezintă interes cele în care inducția este plasată în exterior deoarece ventilația este mai bună. Mai ușor de realizat tehnologic este varianta în care excitația este fixă și inducția rotitor și de aceea prizele realizării tehnice sînt de acest fel [86,87,130,134,135]. Soluția are însă dezavantaje legate de folosirea bobinelor colectoare la inducție, care limitează puterea mașinii și de aceea prezintă interes doar pentru încercări experimentale. La puteri mari, soluția de realizare este cu excitație rotitoare plasată în interior și inducția fixă în exterior. Principalele dificultăți care intervin în acest caz sînt legate de realizarea unui colector rotitor în legătură permanentă cu instalația de răcire, dificultăți care au fost deja depășite, existînd realizări de acest tip pe plan mondial [9,17,52,64,115]. Structura unei astfel de conexi

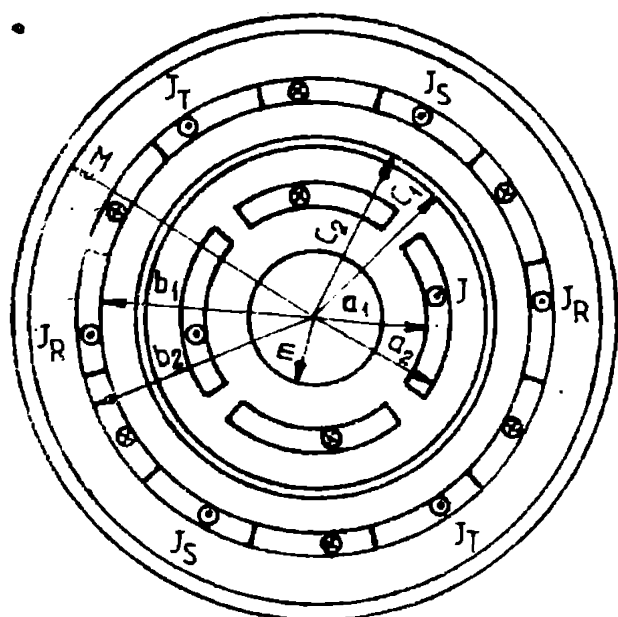


Fig. 3.26. Secțiune transversală prin mașina sincronă supraconductoare

structurii în secțiune transversală este arătată principial în fig. 3.26 în care s-a considerat numărul de perechi de poli $2p$, iar notațiile reprezintă: a - raza ecmanului feromagnetic interior (arborul mașinii); a_1, a_2 - masele înfășurării de excitație; b_1, b_2 - masele înfășurării inducției; c_1, c_2 - masele ecmanului conductor; R - raza ecranului feromagnetic exterior. Mașina fiind lungă în comparație cu dimensiunile sale transversale, se poate neglija influența capetelor de bobine astfel că se lucrează în plan, în coordonate polare.

În acest paragraf se face o analiză a influenței ecranului feromagnetic asupra câmpului magnetic din mașina sincronă, precum și determinarea unor parametri electrostatici ai regiunii.

Problema a fost abordată în cadrul unui contract de cercetare științifică [32] și de asemenea în cadrul a trei articole publicate [23, 24, 25].

3.2.1. Câmpul magnetic în o mașină sincronă cu excitație supraconductoare în absența ecranului

Dacă ecranul electrostatic lipsește sau dacă într-o primă fază acestuia nu se ia în considerare, câmpul magnetic produs de o înfășurare se poate determina direct pe baza relațiilor deosebite în paragr. 2.3.2, dacă înfășurarea se echivalează prin plăci de curent (fig. 2.23) sau conductoare masive cu densitate de curent constantă (fig. 2.24). În acest sens se folosesc relațiile din tabelul 2.3 și respectiv relațiile (2.42) și (2.43). Astfel s-au calculat componentele inducției magnetice $B_z(\theta = \pi/2p)$ și $B_z(\theta = 0)$ în o înfășurare echivalentă printr-o plăcă de curent în cazurile poli sau păi și înfășurarea repartizată pe întreg perimetrul ($\varphi = \pi/2p$) sau pe un arc $\varphi = \pi/3p$. Rezultatele se prezintă grafic în figurile 3.27 și 3.28 în care curba cu linie punctată corespunde armoniei fundamentale ($\nu = 2p-1 = 1$).

Se constată că în cazurile în care $\varphi = \pi/2p$, adică înfășurarea ocupă întreaga suprafață a cilindrilor, rezultă un câmp magnetic foarte intens pe înfășurare, ceea ce este deosebit de interesant deoarece aceasta este

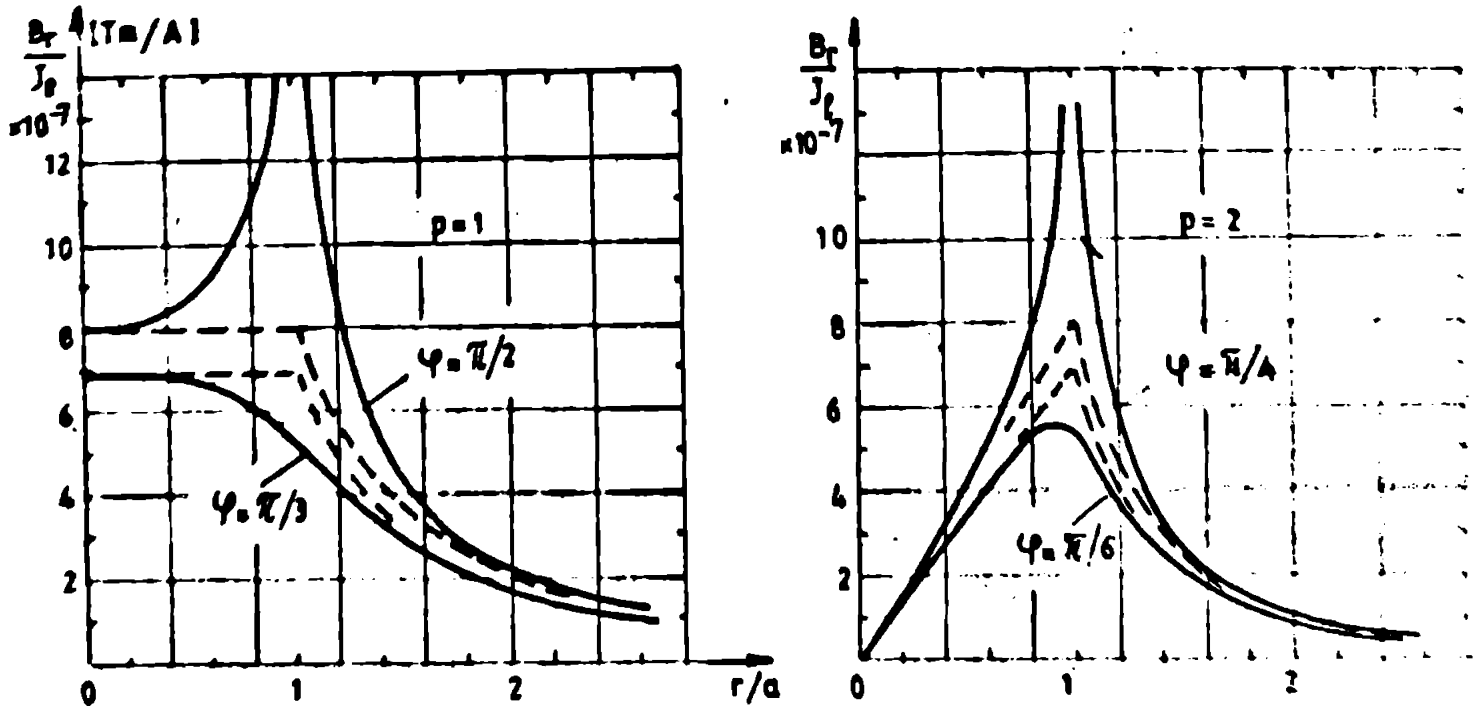


Fig. 3.27. Componenta radială a cîmpului magnetic la $\theta = \pi/2p$

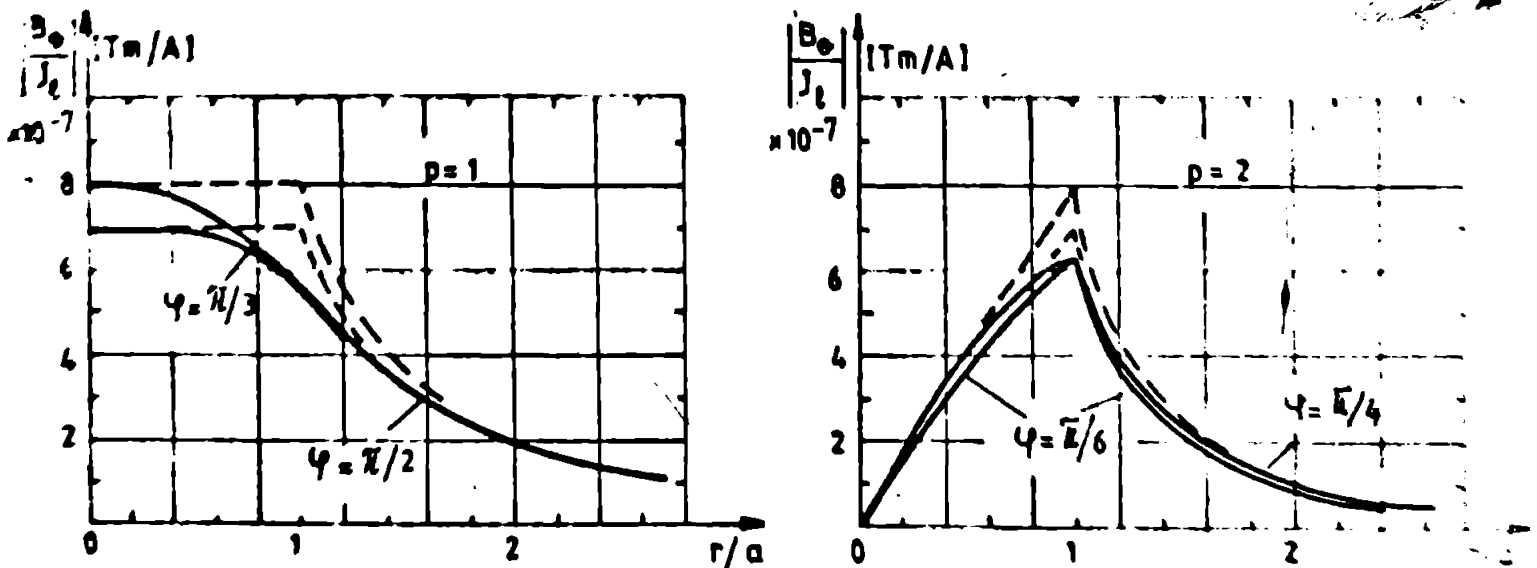


Fig. 3.28. Componenta tangențială a cîmpului magnetic la $\theta = 0$

supraconductor. În situația că $\varphi = \pi/3p$, armonic de ordinul trei este mai mare, iar cîmpul rezultat scade pronunțat în vecinătatea înfășurării.

De asemenea s-a calculat și s-a reprezentat grafic componenta radială a inducției magnetice la o înfășurare masivă cu $p = 2$, $a_2 = 1,3 a_1$ și $\varphi = \pi/4$, rezultatele fiind prezentate în fig. 3.29 în care s-a considerat $J_1 = J(a_2 - a_1)$. Se constată că și în situația defavorabilă $\varphi = \pi/2p$, cîmpul magnetic este mai redus în dreptul înfășurării, în concordanță cu predicția din paragraful 2.3.2 privind convergența seriilor din expresiile inducției magnetice (rel. 2.47).

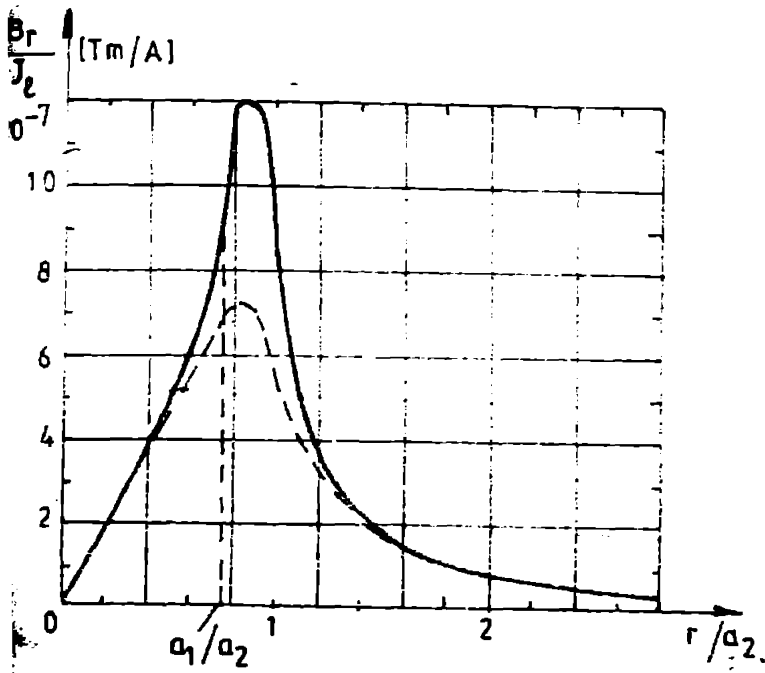


Fig. 3.29. Câmpul magnetic la o înfășurare masivă

3.2.2. Câmpul magnetic la o magiua sinuoză cu o situație supracordonată în prezența cornelor

În prezența cornelor electrodinamice, dacă acestea se consideră ideale, (carnul conductor este $\sigma = \infty$, iar cel feromagnetic $\mu = \infty$), iar înfășurările se echivalează prin pătură de curent, câmpul câmpului magnetic se poate face pe baza metodei separării variabilelor (cazule 2.3-3) folosind-se direct relațiile din tabelul 2.6.

Contra a ceea ce s-a spus o magiua combinate a influenței cornelor asupra câmpului magnetic produs de o înfășurare în-a conductor unei situații particulare pentru care s-a determinat componenta radială a inducției magnetice la $\sigma = \pi/2p$. Astfel s-a considerat o regiune cu două perechi de poli ($p=2$) și s-a neglijat influența cornelui magnetic interior, iar patura de curent s-a considerat raportizată pe arcul $\varphi = \pi/2p = \pi/4$. Carnul feromagnetic exterior s-a considerat în mai multe variante și anume $M/a = 1, 2, 1, 5, 2, \infty$, ultimul caz corespunzând situației în care carnul lipsește. Variația componentei radiale a inducției magnetice în cornele considerate este reprezentată în figura 3.30.

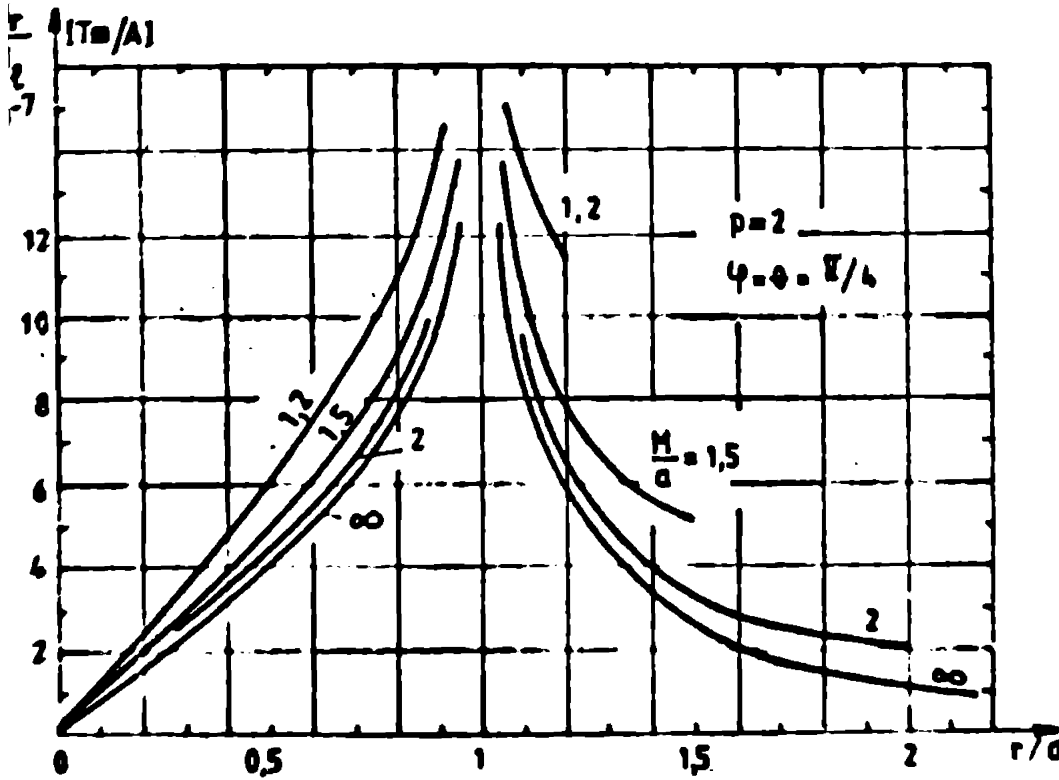


Fig. 3.30. Influența cornelui magnetic asupra inducției magnetice

Constatându-se o creștere a inducției magnetice în prezența cornelui feromagnetic.

Lezându-laborează înălțimi asemănătoare fundamentale ($\nu = 1, \mu = 2$), s-a reprezentat grafic în fig. 3.31 influența cornelui feromagnetic asupra componentei radiale a acestei inducții.

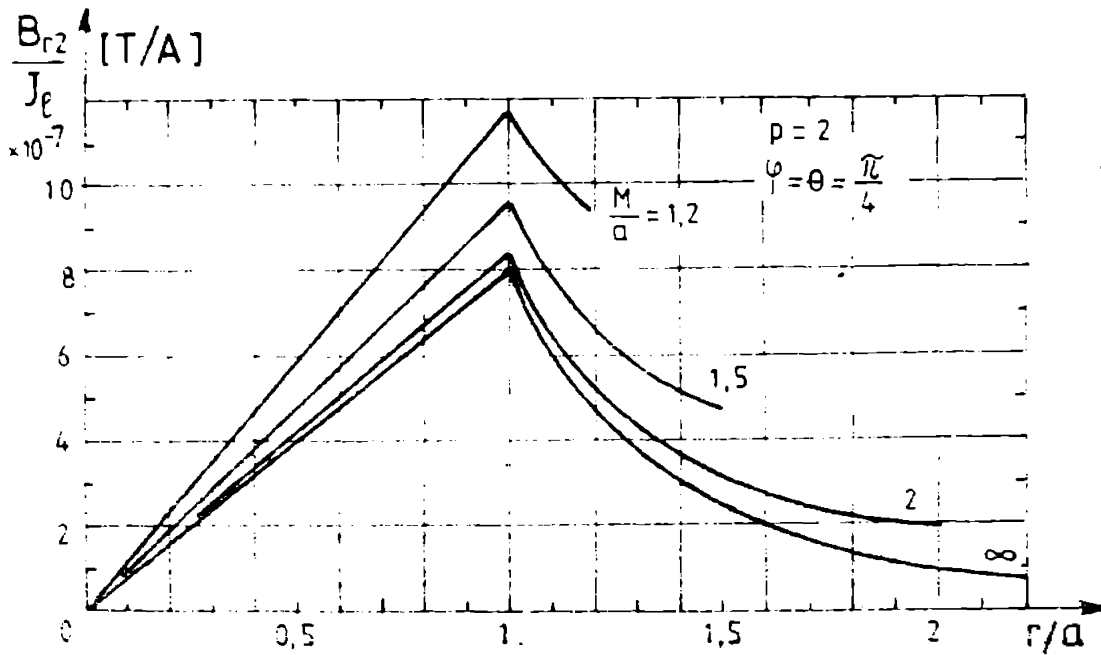


Fig. 3.31. Influența ecranului magnetic exterior asupra amonicii fundamentale a inducției magnetice

Referitor la influența ecranului conductor asupra cimpului magnetic produs de înfășurarea indușului în timpul proceselor tranzitorii, s-a reprezentat grafic în fig. 3.32 variația amonicii fundamentale a componentei radiale a inducției magnetice în situația că raza acestui ecran este

$$c = 0,8 b. \quad (3.2.2)$$

Se constată o scădere pronunțată a inducției magnetice în prezența ecranului conductor. Compararea a celor prezentate, rezultă că influența ecranului electrostatic asupra cimpului magnetic este pronunțată, astfel încât aceste ecrane nu pot fi neglijate în calculul cimpului magnetic.

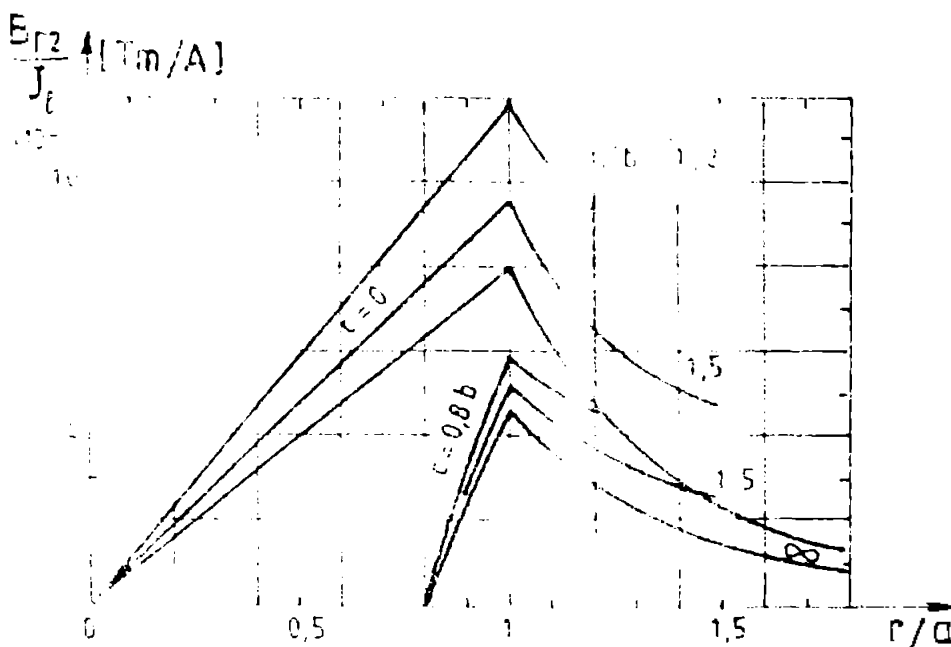


Fig. 3.32. Influența ecranului electrostatic asupra amonicii fundamentale a inducției magnetice

3.2.3. Determinarea unor parametri ai mașinilor sincrone cu excitație supraconductoare

Datorită caracteristicilor constructive, în special a existenței miezurilor feromagnetice, parametrii mașinilor sincrone cu excitație supraconductoare sînt diferiți față de cazul mașinilor clasice. Deosebit de importantă este cunoașterea inductivităților (reactanțelor) proprii și mutuale în cadrul diferitelor regimuri de funcționare: permanent, tranzitoriu sau subtranzitoriu. S-a considerat în conti-

nuare situația în care inductanțele sînt convoluate și în natură un curent și intervin efectele electromagnetice (fig. 2.25) considerate ideale.

Determinarea inductanțelor proprii și mutuale se poate face fie prin expresia energiei magnetice

$$W_M = \frac{1}{2} \int_V \vec{B} \cdot \vec{H} \, dv = \frac{1}{2\mu_0} \int_V B^2 \, dv \quad (3.32)$$

fie pe baza relației de definiție $i = \Psi/l$.

Astfel dacă se notază cu inductanța "1" valoarea fluxului în inductorul cu "2" care circulează în inductorul cu "1" (fig. 2.25) se scrie în forma:

$$W_M = \frac{1}{2\mu_0} \int_V (\vec{B}_1 + \vec{B}_2)^2 \, dv = W_{M11} + W_{M22} + W_{M12} \quad (3.33)$$

în care:

$$W_{M11} = \frac{1}{2\mu_0} \int_V \vec{B}_1 \cdot \vec{B}_1 \, dv \quad (3.34)$$

deci datorită relației de definiție se poate scrie și în funcție de inductanțele proprii și curenți, $W_M = \frac{1}{2} L_{11} i_1^2 + \frac{1}{2} L_{22} i_2^2 + L_{21} i_1 i_2$, rezultând:

$$L_{11} = \frac{2W_{M11}}{i_1^2} = \frac{1}{\mu_0 i_1^2} \int_V B_1^2 \, dv$$

$$L_{22} = \frac{2W_{M22}}{i_2^2} = \frac{1}{\mu_0 i_2^2} \int_V B_2^2 \, dv \quad (3.35)$$

$$L_{21} = \frac{W_{M12}}{i_1 i_2} = \frac{1}{\mu_0 i_1 i_2} \int_V \vec{B}_1 \cdot \vec{B}_2 \, dv$$

în care pentru inductanțele magnetice se folosesc expresiile din tabelul 2.6. Rezultatele obținute prin dezvoltarea integralelor de volum din (3.35) sînt prezentate în [25], cu aceeași conotație de precizie ca detaliile conținute în tabelul 2.6, pe care sînt prezentate în tabelul 2.6. Inductanțele proprii și mutuale se pot scrie și în funcție de inductanțele magnetice ca:

$$L_{11} = \frac{\Psi_{11}}{i_1} ; \quad L_{22} = \frac{\Psi_{22}}{i_2} ; \quad L_{21} = \frac{\Psi_{21}}{i_1} \quad (3.36)$$

în care Ψ_{ij} sînt inductanțele magnetice convoluate care au ca componente radiale a inductanței magnetice, determinate de configurația de excitație (fig. 2.25), fiindul magnetic fiind o spirală echivalentă care are o fire presare de înălțime $2a$ și este de înălțime:

$$d\Psi_{22} = l a_2 \int_{\alpha}^{\alpha+\pi/p} B_z(\theta, \theta) a \, d\theta \quad (3.37)$$

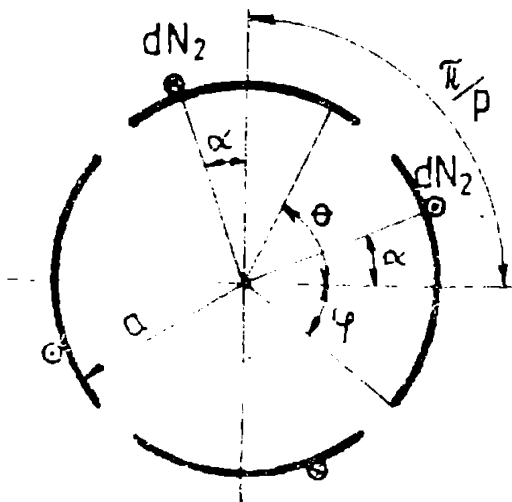
în care l este înălțimea conductoarelor, iar B_z este expresia din tabelul 2.6. Considerăm cazul particular fundamental al sistemului de funcționare în regim de natură α , este de înălțime:

$$B_r(a, \theta) = B_m(a) \sin p\theta$$

astfel ca din (3.37) se obține:

$$d\psi_{22} = \frac{1}{2} \sin 2\theta B_m(a) a \frac{d\theta}{r} \cos p\alpha \quad (3.38)$$

Acum elementul total de spire este N_2 , atunci dN_2 se poate exprima în forma $dN_2 = N_2 d\alpha / 2\varphi p$, iar fluxul total care intră în bobina de excitație se obține prin integrare:



$$\begin{aligned} \psi_{22} &= p \int_{-\varphi}^{\varphi} d\psi_{22} = p B_m(a) \frac{1}{2} \frac{2\pi a^2}{\varphi p^2} \cos p\alpha \\ &= B_m(a) \frac{2\pi a^2}{\varphi p} \sin p\varphi = B_m(a) \frac{2\pi a^2}{p} \xi_{22} \end{aligned} \quad (3.39)$$

în care $\xi_{22} = \frac{2\pi a^2 \mu \varphi}{p}$.

Având în vedere că J_1 se exprimă funcție de H_1 , creșterea înălțării în forma $J_1 = \frac{1}{2} \mu_0 H_1 / 2\varphi \mu$, din tabelul 2.6 rezultă valoarea amplitudinii inducției magnetice:

$$B_m(a) = \mu_0 \frac{2\pi a^2}{\pi a} \xi_{22} \frac{1 + (\frac{a}{b})^{2p}}{1 - (\frac{a}{b})^{2p}} \left[1 + (\frac{a}{b})^{2p} \right]$$

și introducând în (3.39) rezultăm:

$$\psi_{22} = \mu_0 \frac{2\pi a^2}{\pi a} \xi_{22}^2 \frac{1 + (\frac{a}{b})^{2p}}{1 - (\frac{a}{b})^{2p}} \left[1 + (\frac{a}{b})^{2p} \right] \quad (3.40)$$

și înlocuind în (3.40) rezultăm:

$$L_{22} = \mu_0 \frac{2\pi a^2}{\pi a} \xi_{22}^2 \frac{1 + (\frac{a}{b})^{2p}}{1 - (\frac{a}{b})^{2p}} \left[1 + (\frac{a}{b})^{2p} \right] \quad (3.41)$$

Având în vedere că J_1 și H_1 sunt independente inducției se obține o relație de dependență (3.41), însă ținem seama că amplitudinea cîmpului magnetic în interior este $3/2$ din amplitudinea cîmpului exterior, rezultă:

$$L_{11} = \mu_0 \frac{2\pi a^2}{\pi a} H_1^2 \xi_{11}^2 \frac{1 + (\frac{a}{b})^{2p}}{1 - (\frac{a}{b})^{2p}} \left[1 + (\frac{a}{b})^{2p} \right] \quad (3.42)$$

În același mod se poate obține și a derivatelor mutuale dintre inducția de excitație și cea de inducție, astfel, deoarece

$$\psi_{21} = H_2(b) \frac{2\pi b^2}{p} N_1 \xi_{11}$$

și ținem seama că din tabelul 2.6 rezultă:

$$B_m(b) = \mu_0 \frac{i_1 N_1}{\pi a} \xi_{22} \frac{1 + (\frac{b}{a})^{2p}}{1 - (\frac{b}{a})^{2p}} \left(\frac{b}{a}\right)^{p+1} \left[1 + \left(\frac{b}{a}\right)^{-2p}\right]$$

se obține expresia:

$$L_{21} = \mu_0 \frac{2l}{\pi p} N_1 N_2 \xi_{11} \xi_{22} \left(\frac{b}{a}\right)^p \frac{1 + (\frac{b}{a})^{2p}}{1 - (\frac{b}{a})^{2p}} \left[1 + \left(\frac{b}{a}\right)^{-2p}\right] \quad (3.42)$$

În absența curenților liberi magnetici ($\mu_0, \mu \rightarrow \infty$) inductivitățile bobinelor au expresiile:

$$L_{220} = \mu_0 \frac{2l}{\pi p} N_2^2 \xi_{22}^2 \quad ; \quad L_{110} = \mu_0 \frac{2l}{\pi p} N_1^2 \xi_{11}^2 \quad (3.44)$$

$$L_{210} = \mu_0 \frac{2l}{\pi p} N_1 N_2 \xi_{11} \xi_{22} \left(\frac{b}{a}\right)^p$$

În prezența curenților conduc în direcția acestor inductivități. Astfel în figurile 3.34 și 3.35 se reprezintă grafic modul de variație

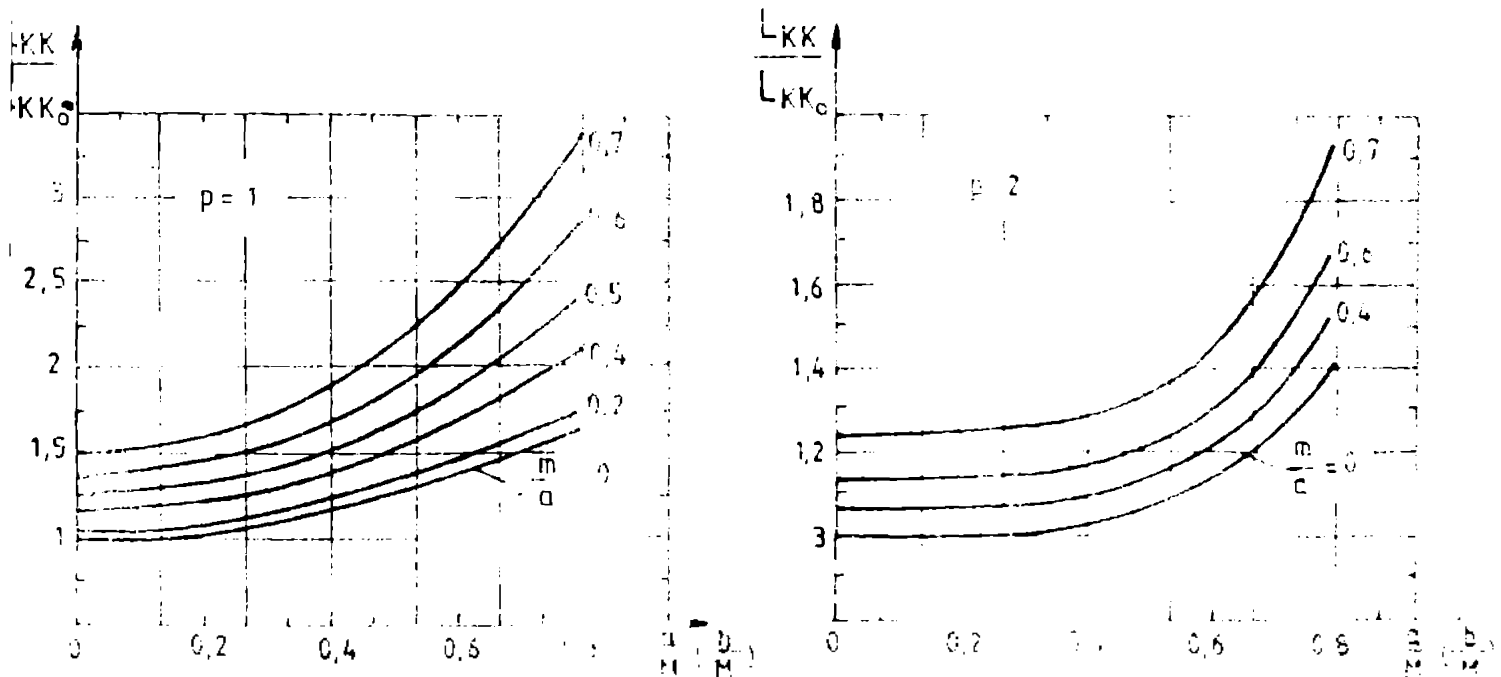


Fig. 3.34. Dependința inductivității proprii de raza bobinelor toroidale

al acestor inductivități în funcție de raza bobinelor toroidale pentru $p=1$ și $p=2$ și $b/a = 1,4$.

În cazul procedurii prezentate, inductivitățile înfățișării sunt diferite de cele din cazul regimului permanent datorită influenței curenților conduc. Astfel în ce urmează se analizează expresiile inductivității magnetice din tabelul 2.6 se constată că acestea sunt compuse din două părți, una prin faptul că $\mu = \mu_0 e^{-\beta}$ în loc de $\mu = \mu_0$. În sensul că în timpul regimului staționar, în care curenții magnetici variați nu pot fi în sensul câmpului, inductivitatea proprii se determină din (3.42) și (3.44), în care se înlocuiesc μ^2 cu μ_0^2 , adică:

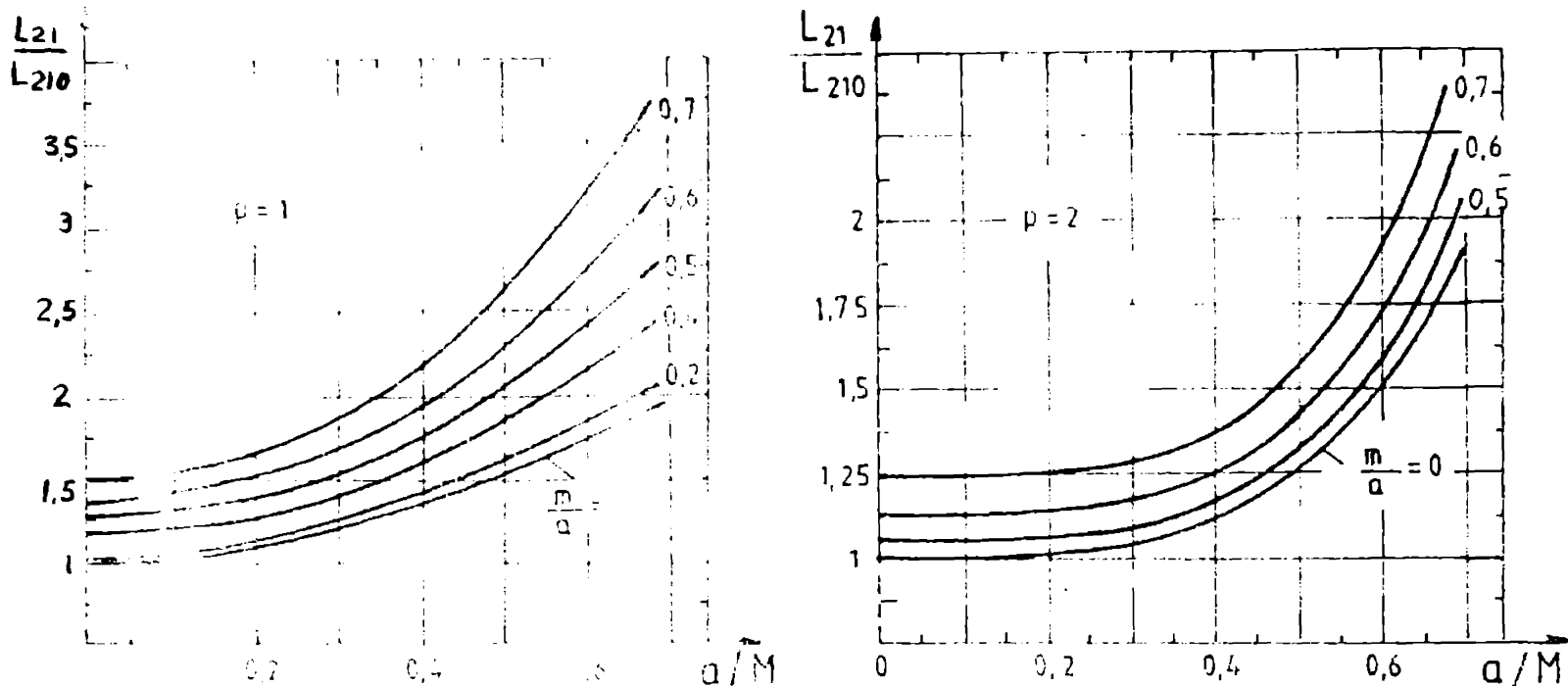


Fig. 3.39. Dependența inductivității mutuale de razele ecranelor feromagnetice

$$L_{22}^0 = \mu_0 \frac{2l}{\pi p} N_2^2 \xi_{22}^2 \frac{1 - (\frac{a}{c})^{2p}}{1 + (\frac{a}{c})^{2p}} \left[1 + (\frac{b}{c})^{2p} \right] \quad (3.45)$$

$$L_{11}^0 = \mu_0 \frac{2l}{\pi p} N_1^2 \xi_{11}^2 \frac{1 - (\frac{b}{c})^{2p}}{1 + (\frac{b}{c})^{2p}} \left[1 + (\frac{a}{c})^{2p} \right] \quad (3.46)$$

Similar, în timpul regimului tranzitoriu înfășurarea indusului fiind ecranată de înfășurarea de excitație și invers, inductivitățile se obțin înlocuind în relația (3.45) pe c cu b, iar în relația (3.46) pe c cu a. Se obțin astfel:

$$L_{22}^0 = \mu_0 \frac{2l}{\pi p} N_2^2 \xi_{22}^2 \frac{1 - (\frac{b}{c})^{2p}}{1 + (\frac{b}{c})^{2p}} \left[1 + (\frac{a}{c})^{2p} \right] \quad (3.47)$$

$$L_{11}^0 = \mu_0 \frac{2l}{\pi p} N_1^2 \xi_{11}^2 \frac{1 - (\frac{a}{c})^{2p}}{1 + (\frac{a}{c})^{2p}} \left[1 + (\frac{b}{c})^{2p} \right] \quad (3.48)$$

Pe baza expresiilor stabilite se pot face aprecieri privind închiderea magnetică a ecranelor electromagnetice, respectiv influența acestora asupra parametrilor mașinii fără ca să se analizeze în lucrare în mod special acest aspect. Astfel se menționează că datorită absenței ecranurilor feromagnetice, reactanța sincronă rezultă predominant mai mică decât în regimurile convenționale, de cca. 3-5 ori mai mică [9,22,62]. Reactanțele tranzitorii și subtranzitorii sînt mai puțin afectate, ele corespunzînd în principal unor cîmpuri de dispersie. În această situație se poate aprecia că mașina sincronă

cu excitație supraconductoare are o stabilitate statică și dinamică mai bună. Comportarea ei la scurtcircuite de curentă este însă dezavantajoasă.

3.3. solenoizi pentru cimpuri magnetice puternice

Bobinele sub formă de solenoizi se folosesc pentru generarea cimpurilor magnetice într-o mare diversitate de cazuri, după cum s-a arătat și în paragrafe 1.2. În legătura cu performanțele acestor bobine apar două aspecte care astermine în principal modul de proiectare al acestora. Astfel, dacă nu interesează uniformitatea cimpului magnetic ci doar valoarea acestuia, proiectarea bobinei se va face astfel încât să se folosească un volum minim de material conductor (supraconductor). Dacă se impune gradul de uniformitate a cimpului magnetic produs în zona utilă, dimensiunile geometrice alese nu vor mai respecta cerințe de volum minim. Și în acest caz însă se impune realizarea mai multor variante posibile, dintre care se va reține aceea care folosește un volum cât mai redus de material conductor. Rezultă că o mărime sintetică de mare importanță privind aprecierea performanțelor unui solenoid, este raportul dintre inducția magnetică în centrul solenoidului și volumul acestuia:

$$k = B/v \quad [T/m^3] \quad (3.49)$$

Ținând seama de notațiile uzuale (fig. 2.31), volumul solenoidului se exprimă în formă:

$$v = 2b\pi(a_2^2 - a_1^2) = 2\pi a_1^3 \beta (\alpha^2 - 1) = a_1^3 v^E(\alpha, \beta) \quad (3.50)$$

Iar inducția magnetică în centrul solenoidului se exprimă, pe baza relației (2.68).

Dacă bobina considerată este rezultată dintr-o combinație de solenoizi, atunci v și B se exprimă prin relațiile:

$$v = 2\pi \sum_1^n a_{1i}^3 \beta_i (\alpha_i^2 - 1) \quad (3.51)$$

$$B = \sum_1^n J_i a_{1i} F(\alpha_i, \beta_i)$$

3.3.1. Determinarea cimpului magnetic produs de un solenoid sau de o combinație de solenoizi

Pentru a putea aprecia sub diferite aspecte multiplele variante luate în considerare, este necesar să se poată determina rapid și suficient de exact distribuția spațială a cimpului magnetic. În acest scop s-au aplicat două dintre metodele prezentate în cap. 2 și amplasarea bazată pe integrarea numerică a relației lui Helmholtz-Laplace

(paragr. 2.2.1) și cea bazată pe dezvoltarea în serie a potențialului magnetic secular (paragr. 2.4.1).

Referitor la prima metodă, s-a realizat programul de calcul CMS2, care constituie de fapt o particularizare a programului general de calcul al câmpului magnetic pentru o bobină de formă oarecare. Particularizarea se referă la generarea în program a coordonatelor vârfurilor conturului poligonal al spirilor de calcul și la faptul că se ține seama de simetria bobinei față de planul central. Structura programului este prezentată în anexa A1.

Referitor la cea de-a doua metodă, s-a realizat un program de calcul (CMS1) pe baza expresiilor componentelor inducției magnetice corespunzătoare unei porțiuni de spire (rel. 2.80 sau 2.81) și a însumării contribuțiilor tuturor porțiunilor de spire (rel. 2.82, 2.83 sau 2.84). În cadrul programului de calcul realizat a fost necesară depășirea unor dificultăți legate de calculul seriilor din relațiile (2.80) și (2.81). Astfel, pentru evitarea unor calcule inutile în situația unei convergențe slabe a seriilor, s-a impus limitarea numărului de termeni ai acestora, ceea ce în program s-a realizat prin limitarea ordinului polinoamelor Legendre la valoarea KM . Pe de altă parte, în situația unei convergențe rapide a seriilor se poate obține o sumă cu o eroră substanțială a timpului de calcul dacă se neglijează termenii seriei de la un anumit ordin în sus, în acest scop fiind necesară introducerea unui anumit criteriu de precizie. Fiind seama de faptul că termenii din seriile considerate pot să nu deăscrescă monotone cu ordinul acestora, putând apărea situația că după un termen de valoare mică să urmeze un termen de valoare mai mare, s-a considerat oportunită precizia impusă atunci când

$$|b_n| + |b_{n-1}| \leq \varepsilon \quad (3.52)$$

adică suma a două termenii ultimilor doi termeni ai seriei este sub o valoare impusă ε .

Principala dificultate care apare, o constituie faptul că seriile din relațiile (2.80) și (2.81) nu sînt convergente pentru $r=0$, iar convergența este foarte redusă pentru $r \approx 0$. Acesta este un dezavantaj al metodei, deoarece înseamnă că nu se poate determina câmpul magnetic pentru puncte situate oriunde în zona $r_{\min} < r < r_{\max}$ (fig. 3.36) existînd una sau mai multe porțiuni de spire pentru care $r \approx 0$. Pentru depășirea acestui neajuns a fost adoptată soluția de calcul a inducției magnetice în alte două puncte vecine celui considerat, iar valoarea în punctul dorit se determină prin extrapolare. Astfel pentru $r = (0,98 \pm 1)r$, se calculează inducția magnetică în

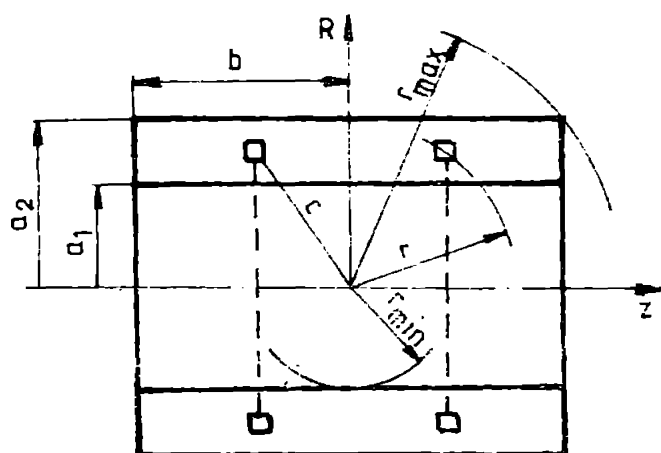


Fig. 3.36. Explicativă privind zona de convergență a relațiilor de calcul al cimpului magnetic

tura programului în anexa A2.

În scopul aprecierii comparative a rezultatelor obținute cu ajutorul celor două programe de calcul, acestea s-au aplicat în cazul unei perechi de spire circulare (helimoltz) de rază $a = 0,5$ m. Luându-se numărul de întări $N_1 = 25$ în programul CMS2 și $\epsilon = 10^{-5}$ în programul CMS1, s-au obținut rezultate practice identice, adică sub aspectul preciziei de calcul cele două metode sînt comparabile. Referitor la timpul de calcul însă, pot apărea deosebiri destul de mari. Astfel, dacă la prima metodă (CMS2) timpul de calcul nu depinde de poziția punctului de calcul, în metoda a doua (CMS1) acesta depinde pronunțat atât de unghiul θ , cit mai ales de raportul r/c . Dacă r este sensibil de c ($r < 0,7 c$ sau $c < 0,7 r$), seriile sînt rapid convergente și timpul de calcul este mai redus decît la prima metodă. Dacă în schimb $r = 0,98 c$, gradul polinoamelor Legendre ajunge la 500 și deci timpul de calcul este sensibil mai mare decît la prima metodă. Pe baza analizei prezentate se pot face următoarele recomandări privind utilizarea celor două programe de calcul în cazul solenoidilor:

- pentru puncte situate în zona $r < a_1$ sau $r > \sqrt{b^2 + a_2^2}$ se recomandă metoda bazată pe seriile cu polinoame Legendre (programul CMS1);
- pentru puncte situate în secțiunea transversală a bobinei, se recomandă metoda bazată pe relația lui Biot-Savart-Laplace (programul CMS2). Această metodă nu se recomandă îndeosebi în cazul configurațiilor legate de faptul că metodele de calcul nu pot fi aplicate chiar pe spirele ilicite, ci între acestea (ca în fig. 2.14, e);
- pentru puncte nesituate în secțiunea transversală a bobinei,

punctele cu $r_1 = 0,96 c$ și $r_2 = 0,97 c$ (și aceeași θ), iar dacă $r = (1 + 1,02)c$, se calculează în punctele $r_1 = 1,04 c$ și $r_2 = 1,03 c$. Se poate aprecia că eroarea ce se face datorită extrapolării liniare este neglijabilă atît datorită faptului că punctele vecine considerate sînt apropiate de punctul inițial, cit și datorită faptului că pentru calculele perechi de spire nu intervine această aproximație.

Ordinograma de principiu a programului de calcul elaborat este prezentată în fig. 3.37 în structura

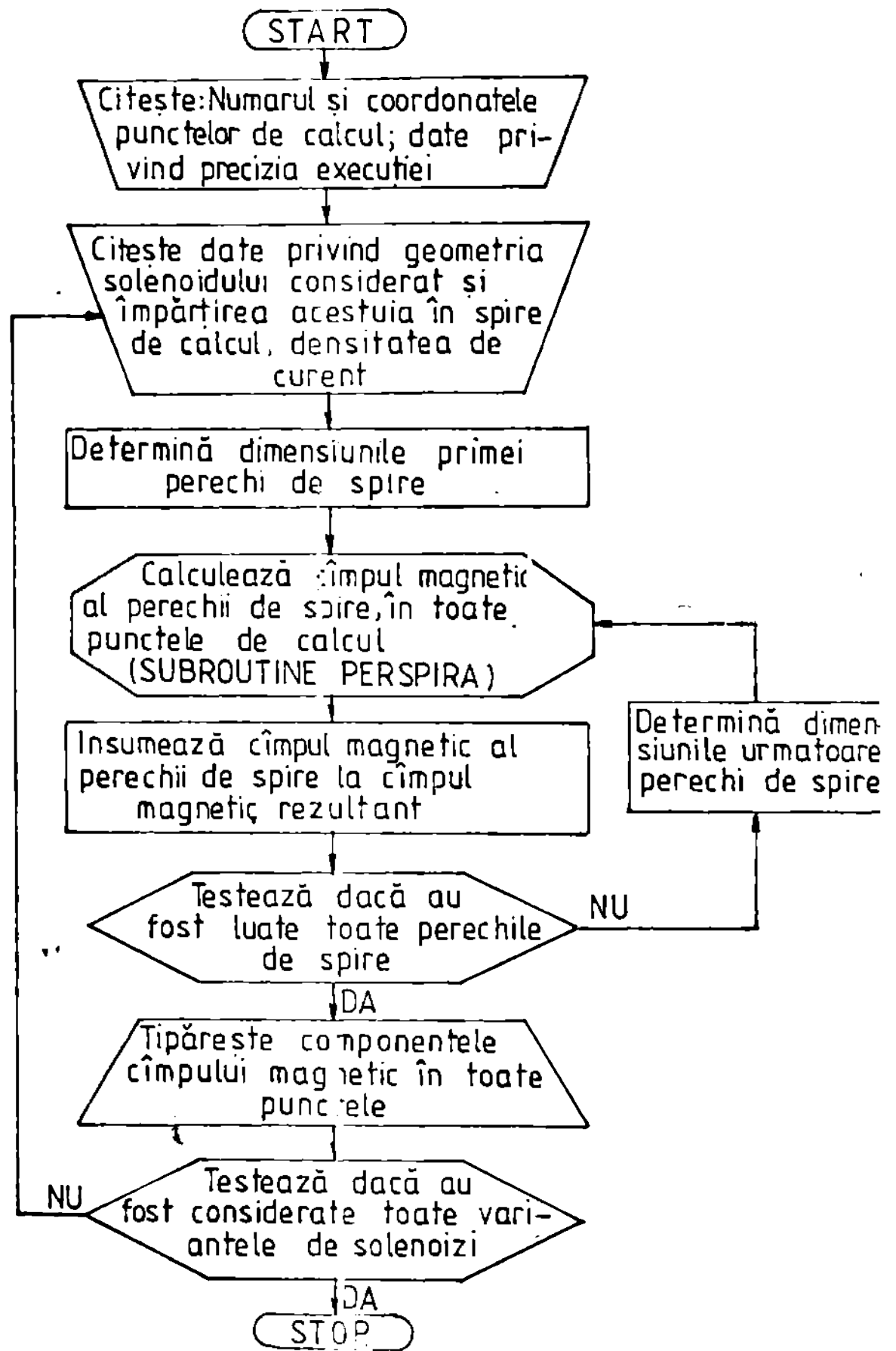


Fig. 3.37a Ordinogramă de calcul câmpului magnetic al solenoidului, luând în considerare toate variantele de solenoizi (L)

dar exprimate între $a_1 < r < \sqrt{b^2 + a_2^2}$ se pot folosi ambele metode, cu preferință pentru prima, aceasta fiind mai simplă.

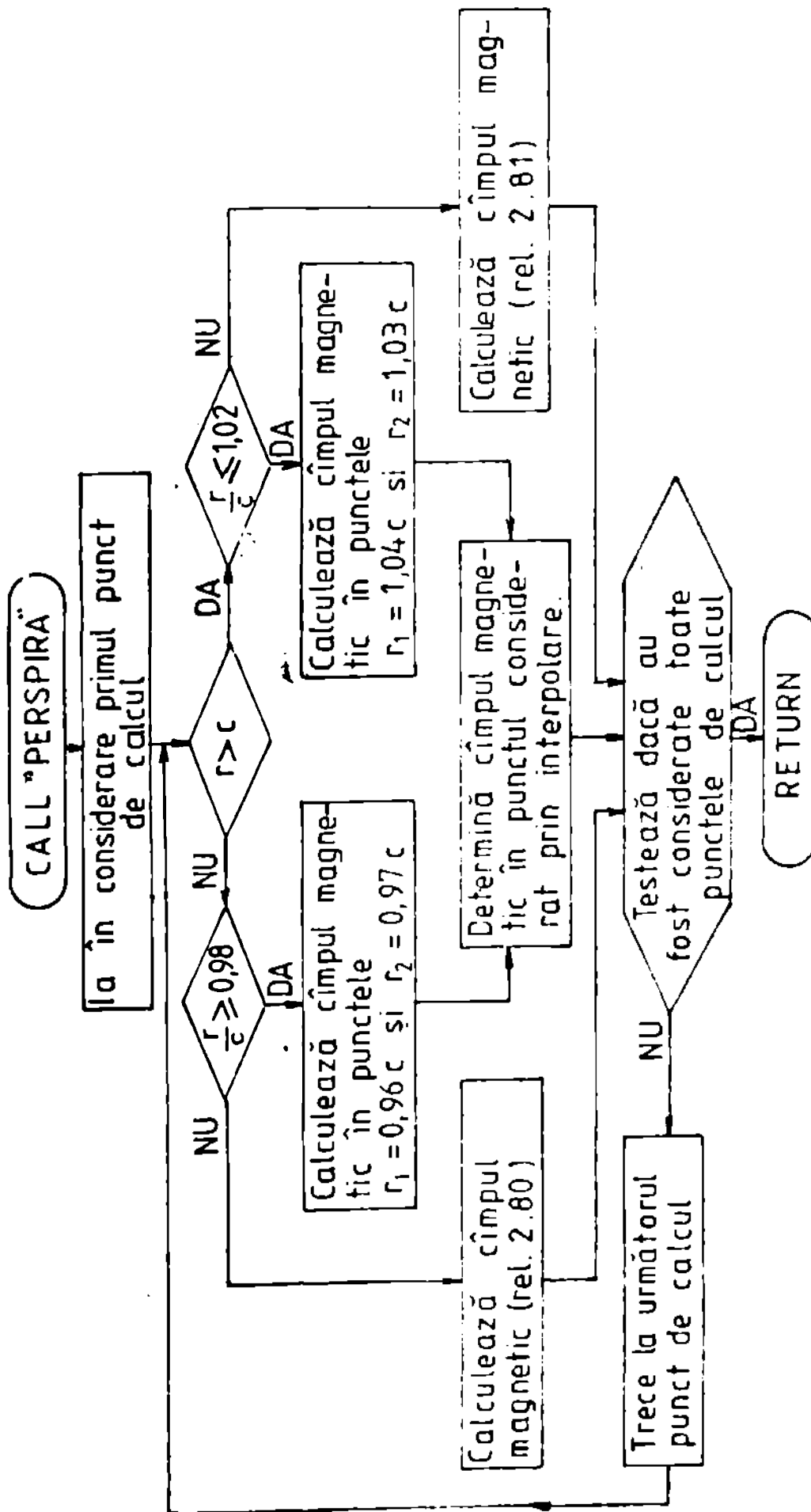


Fig. 3.37 b. Ordinograma de principiu a subprogramului de calcul al cîmpului magnetic al unei perechi de spire circulare

3.3.2. Analiza unor variante de compensare la densitate de curent constantă pe secțiune

Pentru aprecierea performanțelor obținute prin aplicarea unor tehnicilor de compensare, s-au luat în considerare mai multe variante de solenoidi, toate având același diametru, interior și aceeași lungime. Solenoidul de bază de la care s-a pornit, varianta (a), are dimensiunile

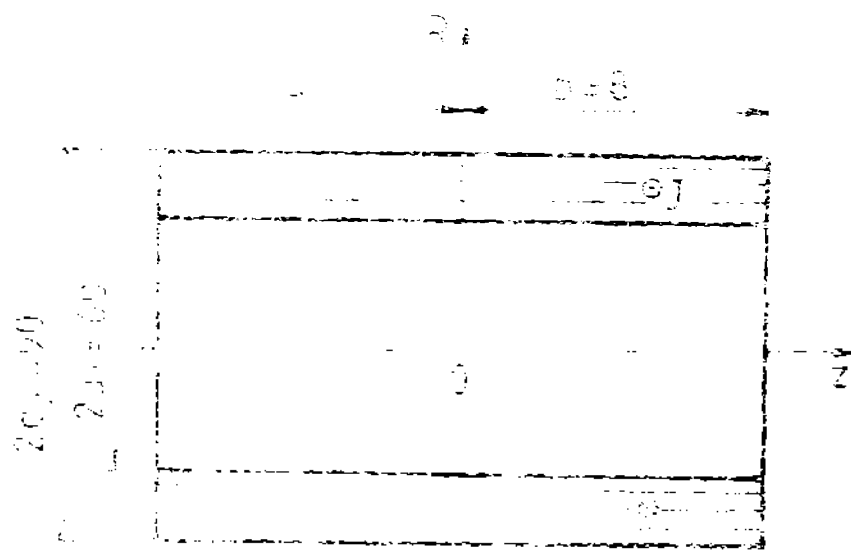


Fig.3.38. Dimensiunile solenoidului de bază (var.a)

din fig.3.38, adică $a_1=30$ mm; $\alpha = a_2/a_1=1,5$; $\beta = b/a_1=2,7$, iar densitatea de curent s-a considerat constantă pe întreaga secțiune transversală și cu valoarea $J=400$ A/mm². Această valoare relativ mare s-a așezat ținând seama de caracteristica critică (fig.1.6) și de dimensiunile reduse ale bobinei.

Pentru aceste date din relațiile (2.88), (3.50) și (3.4) rezultă: $B_0=6,838$ T; $v=572,55$ cm³; $k=11943$ T/m³.

În vederea îmbunătățirii gradului de uniformitate a cîmpului magnetic s-au aplicat unele metode de compensare indicate în paragr.

2.4.2. Astfel, pentru compensare de ordinul patru (fig.2.32) trebuie îndeplinită condiția (2.94) din care rezultă $\beta_0=0,033$, adică $b_0=0,99$ mm. Considerîndu-se în continuare $b_0=1$ mm, din relațiile (3.51) și (3.49) se obține pentru această variantă, (b),: $B_0=6,635$ T; $v=565,48$ cm³; $k=11730$ T/m³.

Pentru compensare de ordinul șase se pot aplica soluțiile din fig.2.33 sau 2.35, obținîndu-se variantele (c) și (d). Pentru varianta (c), soluția se obține grafic pe baza relațiilor (2.95). Astfel deoarece $F_2(\alpha, \beta) = -0,016905$ și $F_4(\alpha, \beta) = -0,002167$, rezultă din reprezentarea grafică din fig.3.39 parametrii solenoidului de compensare $\alpha_0=1,06$ și $\beta_0=1,08$ adică $a_0=31,8$ mm și $b_0=32,4$ mm. Rotunjind aceste valori la $a_0=32$ mm și $b_0=33$ mm, se obține: $B_0=6,106$ T; $v=546,78$ cm³; $k=11700$ T/m³.

Pentru varianta (d) trebuie satisfăcute relațiile (2.96) și dacă se pornește de la același solenoid de bază se constată că rezultă o descreștere exagerată a cîmpului magnetic în zona utilă. Pentru a evita aceasta, se consideră un alt solenoid de bază avînd $\alpha = 1,9$ iar celelalte caracteristici rămînd aceleași.

Ținînd seama că $\alpha F_2(\alpha, \beta) = -0,06575$ și $\alpha^3 F_4(\alpha, \beta) = -0,024854$, rezultă din reprezentarea grafică (fig. 3.40) că nu

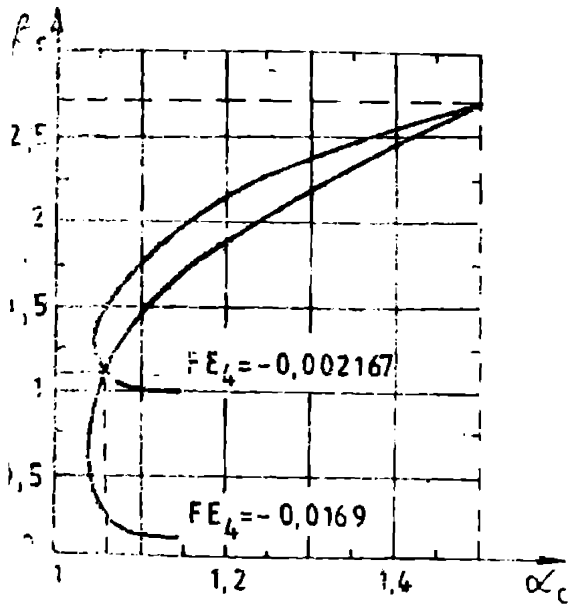


Fig. 3.39. Determinarea parametrilor solenoidului de compensare la varianta (c)

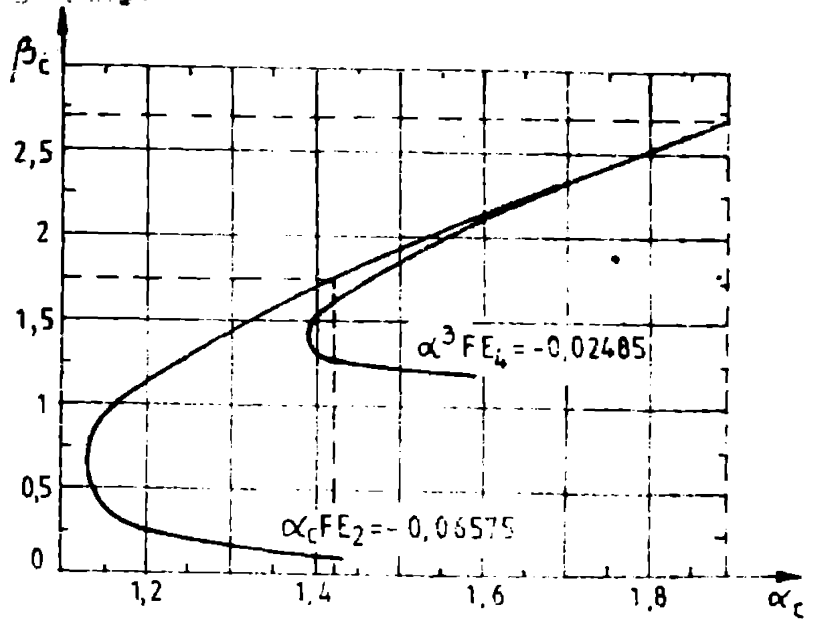


Fig. 3.40. Determinarea parametrilor solenoidului de compensare la varianta (d)

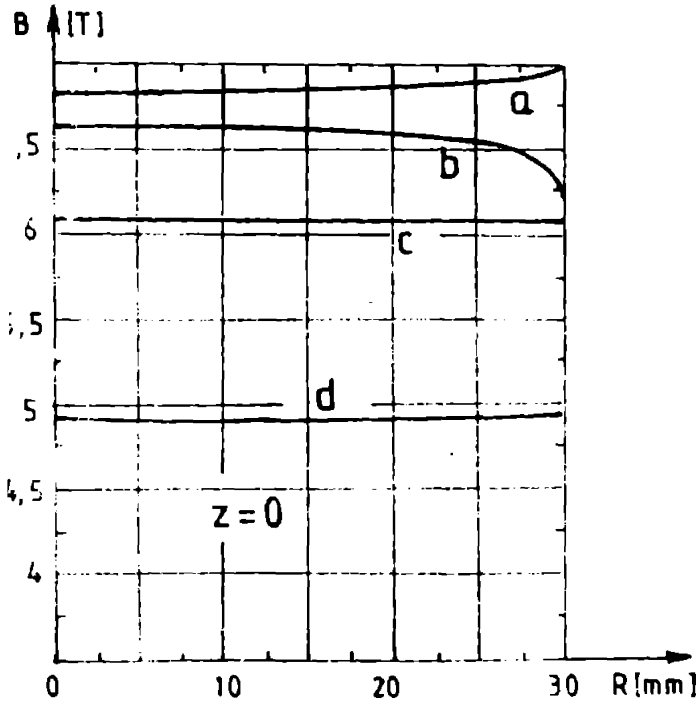
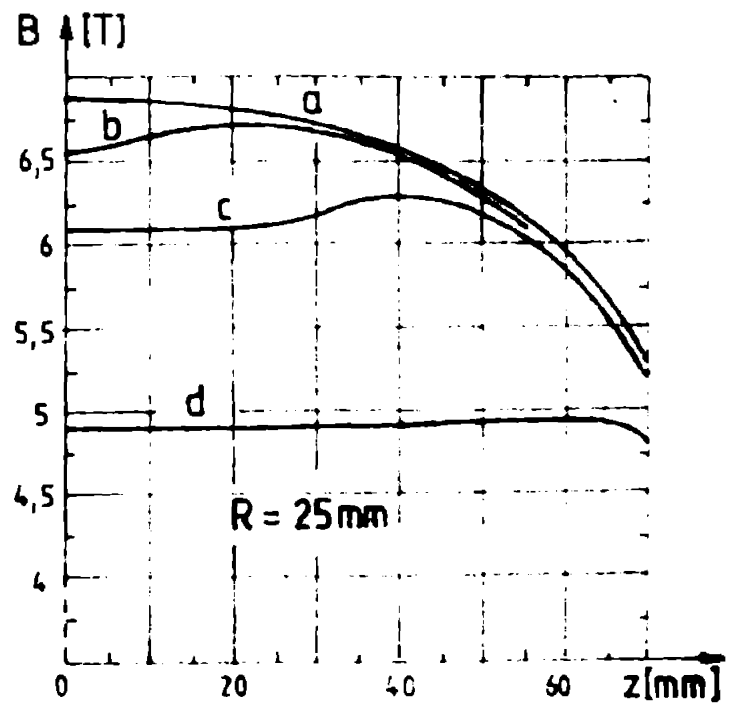
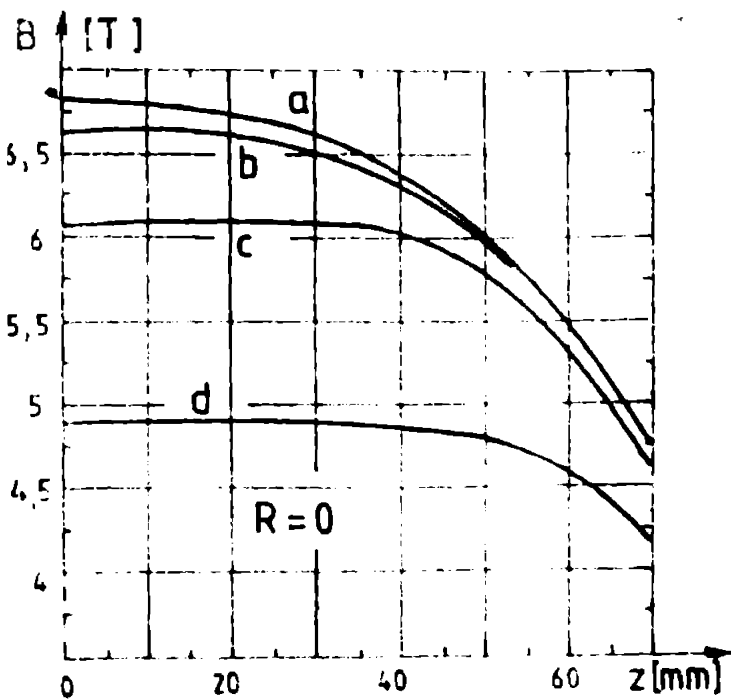


Fig. 3.41. Inducția magnetică în interiorul solenoidului la variantele de compensare cu $J =$ și pe secțiune



există un punct de intersecție între cele două curbe, deci compensarea exactă nu este posibilă. Totuși se observă că există o zonă destul de extinsă în care cele două curbe practic se suprapun, astfel că se vor alege pentru solenoidul de compensare parametrii α_0 și β_0 la limită inferioară unde curbele sînt apropiate. Rezultă în acest caz $\alpha_0 = 1,425$ și $\beta_0 = 1,75$ adică $a_0 = 40$ mm și $b_0 = 70$ mm. Se obține în această situație $B_0 = 4,518$ T; $V = 470,3$ mm³ și $k = 1076$ T/m³.

Pentru cele patru variante considerate s-a determinat cu ajutorul programului MAG2 inducția magnetică pe axa de simetrie (line), la $z=25$ mm și în planul central (z=0). Rezultatele sînt prezentate grafic în fig. 3.41.

3.3.2). Analiza unor variante de compensare la densitate de curent variabilă pe axa

În cazul bobinelor supraconductoare, realizarea acestora cu $J = \text{ct}$ pe întreaga secțiune transversală a bobinei, conduce la o utilizare nerăzională a materialului supraconductor. Ținînd seama de caracteristica critică a materialului supraconductor, rezultă că se poate mari densitatea de curent în zonele de cîmp magnetic redus obținîndu-se prin aceasta o reducere a volumului de material folosit. De aceea au fost analizate mai multe astfel de variante dintre care se prezintă în continuare cele mai caracteristice [27,35].

Astfel s-a considerat solenoidul format din două straturi caracterizate prin:

$$a_1 = 20 \text{ mm}; \alpha_1 = 1,2; \beta_1 = 2,7; J_1 = 400 \text{ A/mm}^2$$

$$a_2 = 30 \text{ mm}; \alpha_2 = 1,55; \beta_2 = 2,25; J_2 = 1,6 J_1$$

și la care nu s-au aplicat metode de compensare (varianta (c)). În mod similar cu, pentru celelalte variante, din relațiile (3.21) și (3.4) s-au obținut rezultatele: $B_0 = 6,074$ T, $V = 422,7$ cm³ și $k = 16210$ T/m³.

Prin înlocuirea unui solenoid de compensare interior (fig. 2.36) rezultă varianta (f) la care, pentru compensare de ordinul șase trebuie satisfăcute condițiile (2.97) adică:

$$F_2(\alpha_0, \beta_0) = -0,01705;$$

$$F_3(\alpha_0, \beta_0) = -0,00229$$

Din reprezentarea grafică a acestor curbe (fig. 3.42) rezultă pentru solenoidul de compensare $\alpha_0 = 1,06$ și $\beta_0 = 1,1$, adică $a_0 = 31,8$ mm și $b_0 = 33$ mm, valori sensibil apropiate de cazul în care solenoidul avea $\bar{J} = \text{ct}$ pe toată secțiunea (varianta c). Rotunjind superior pe a_0 la valoarea $a_0 = 32$ mm, se obține:

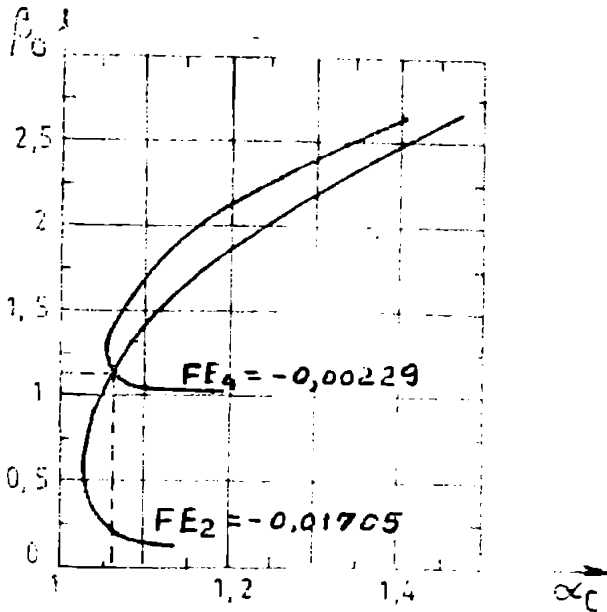


Fig. 3.42. Determinarea parametrilor solenoidului de compensare la varianta (f)

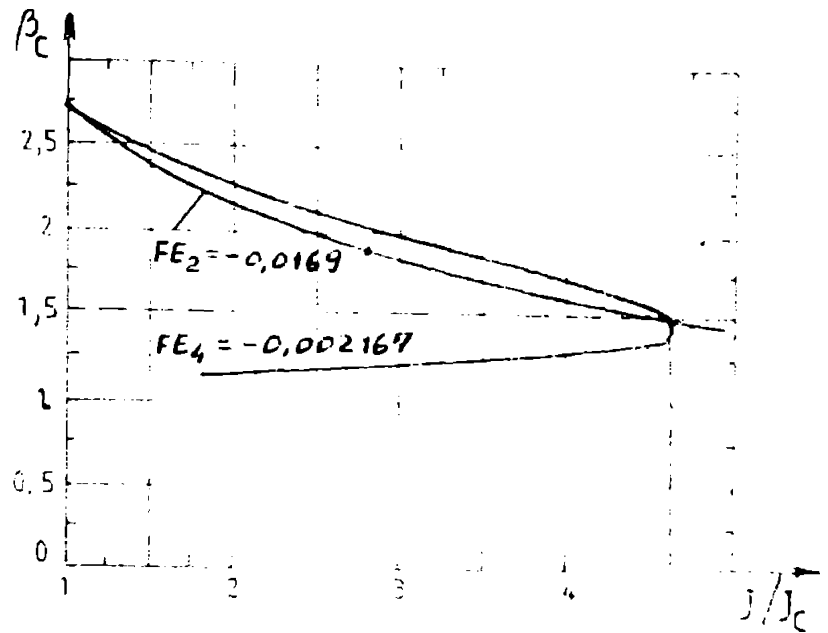


Fig. 3.43. Determinarea parametrilor solenoidului de compensare la varianta (g)

$$B_0 = 6,122 \text{ T}; \quad v = 397 \text{ cm}^3; \quad k = 15420 \text{ T/m}^3$$

O posibilitate simplă de realizare a compensării de ordinul șase propusă în [27] este cea ilustrată în figura 2.37, în care $\alpha_0 = \alpha$. Ținând seama de relațiile (2.58) și de faptul că solenoidul de bază are accelerați dimensiunii cu la varianta (a), rezultă:

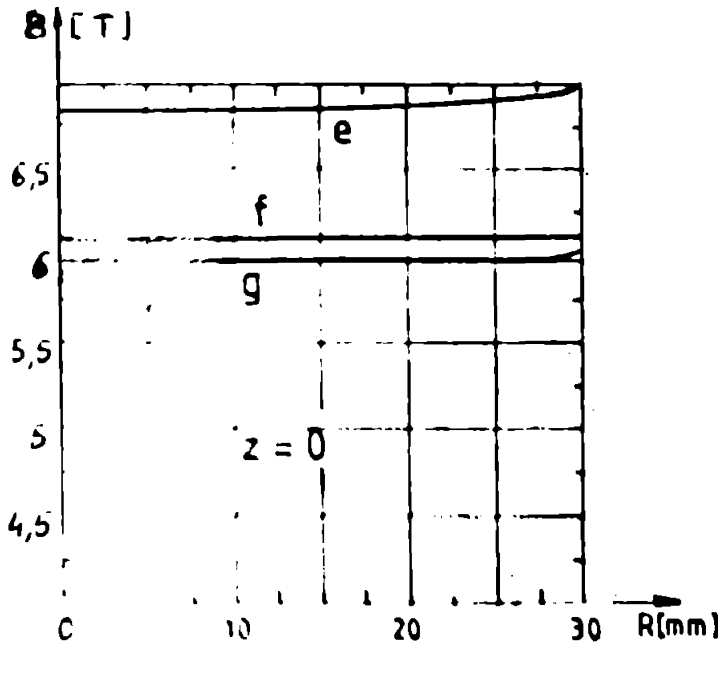
$$FE_2(\alpha, \beta_0) = \frac{J}{J_0} FE_2(\alpha, \beta) = -0,0109 \frac{J}{J_0}$$

$$FE_4(\alpha, \beta_0) = \frac{J}{J_0} FE_4(\alpha, \beta) = -0,002167 \frac{J}{J_0}$$

Din reprezentarea grafică a acestor curbe funcție de β_0 și raportul J/J_0 (fig. 3.43) rezultă $\beta_0 = 1,49$ și $J/J_0 = 4,6$ sau $J_0/J = 0,22$. Pentru a extinde zona de uniformitate a câmpului, aceste valori se măresc ușor la $\beta_0 = 1,5$ ($b_0 = 45 \text{ mm}$) și $J_0/J = 0,23$, și astfel se alege $J = J_0 = 397 \text{ A/mm}^2$ rezultă $J = 436 \text{ A/mm}^2$ și $J_0 = 181 \text{ A/mm}^2$. Se obține în această situație pentru varianta (g): $B_0 = 5,991 \text{ T}$, $v = 496,07 \text{ cm}^3$ și $k = 12014 \text{ T/m}^3$.

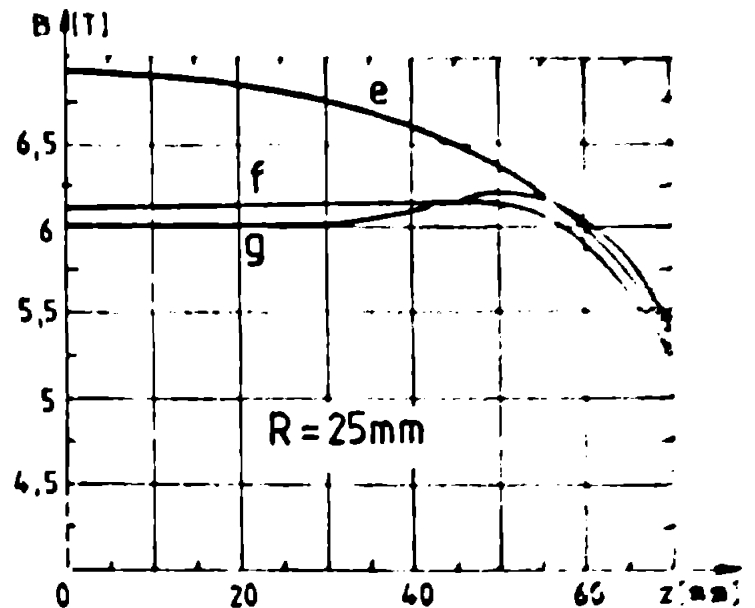
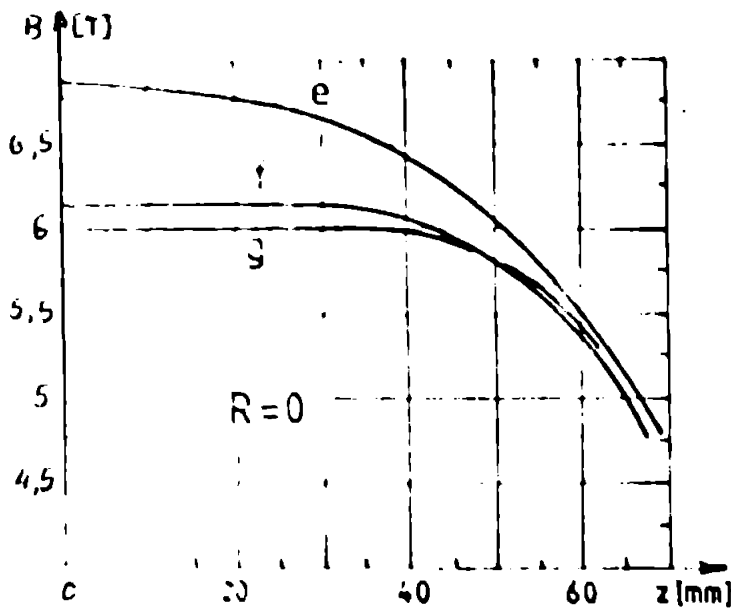
Rezultatele privind câmpul magnetic la cele trei variante considerate, obținute cu ajutorul programului UNED, sunt prezentate sintetic în fig. 3.44.

Pentru a avea o privire de ansamblu asupra tuturor variantelor considerate, se prezintă sintetic unele rezultate în tabelul 3.5, în care s-au rotit cu indice prin marime corectate în situația ei densitatea de curent se în concordanță cu caracteristicile critice a materialului sau, înconstrucție. În acest scop s-au exprimat caracteristicile critice pentru supraconductorul Niob α (J_c) în funcție de



$\delta = 5 - 7 \text{ T}$ cu o creșterea de ecuație $J_c = 1200 - 100 \cdot \delta$ și s-a modificat densitatea de curent \vec{J} la valoarea J^* astfel încât valoarea maximă a inducției magnetice B^* să corespundă caracteristicii critice.

fig. 3.44. Inducția magnetică în interiorul solenoidului la J variabil pe secțiune



Tabelul 3.5. rezultate caracteristice pentru variantele considerate

varianta	a	b	c	d	e	f	g
1	2	3	4	5	6	7	8
J [A/mm ²]	400	400	400	400	400 640	400 640	335 436
B_c [T]	0,038	0,035	0,106	4,918	6,854	0,122	5,99
B_{MAX} [T]	0,97	0,75	6,35	5	6,99	6,4	6,2
V [cm ³]	72,0	65,2	240,8	470,3	422,7	397	448,7
k [T/cm ³]	11,74	11,73	11,17	10,46	16,21	15,42	12,02

	1	2	3	4	5	6	7	8
$\Delta B/B_0\%$	$I=0$ $R=0-15\Omega$	4,81	3,00	0,35	0,26	4,69	0,23	0,098
	$I=0$ $R=0-6\Omega$	0,90	1,16	0,051	0,043	0,53	0,125	0,048
$J^0 [A/cm^2]$		365	370	387	445	307 524	307 614	318,0 417
$B_0^0 [T]$		0,239	0,237	0,200	0,472	0,234	0,232	0,71
$B_{max}^0 [T]$		0,30	0,35	0,14	0,6	0,38	0,10	0,9
$k^0 [T/cm^3]$		10,9	10,8	11,8	11,63	14,0	14,64	11,45

Pe baza rezultatelor prezentate se pot trage concluzii importante, utile în vederea alegerii variantei de bobină, astfel, dacă tehnologia permite se va realiza bobina cu mai multe straturi cu densități de curent diferite, rezultând o folosire mai eficientă a materialului supraconductor. Aceasta presupune folosirea unor bobini supraconductoare cu secțiuni diferite în diferitele zone, astfel încât prin înserierea lor să rezultă densități de curent diferite în materialul supraconductor. Referitor la variantele de compensare, se constată că la cele cu solenoid de compensare interior (c,1) câmpul magnetic în centrul solenoidului și eficiența folosirii materialului supraconductor sunt mai puțin decât în situația solenoidului de compensare exterior (c). Din punct de vedere al uniformității, câmpul magnetic în interiorul solenoidului situația este inversă, fiindcă se preferă variante cu solenoid de compensare exterior. Despre cea mai bună uniformitate în zona considerată o prezintă varianta (c) care din punct de vedere al eficienței folosirii materialului supraconductor este comparabilă cu variantele (c) și (d). Întrucât seama și de posibilitatea relativ simplă de realizare, rezultă că această variantă propusă este mult mai avantajoasă.

3.3.4. Alte posibilități de obținere a unui câmp magnetic cu grad înalt de uniformitate

În urma variantelor de compensare analizate mai sus s-au luat în considerare și posibilitățile propuse de autor în paragraful 4.2.8. În acest scop au fost elaborate programele de calcul M04 (pentru solenoid relativ - fig. 2.40) și M05 (pentru un solenoid aproximativ cilindric - fig. 2.39), programe prin care pe baza relațiilor (2.40) se determină valorile densității de curent în diferite zone astfel încât să rezultă accerși inhomogene magnetice într-un anumit interval de puncte situate pe axa solenoidului. Întrucât cele două probleme sunt de rezolvare sint similare în cele două situa-

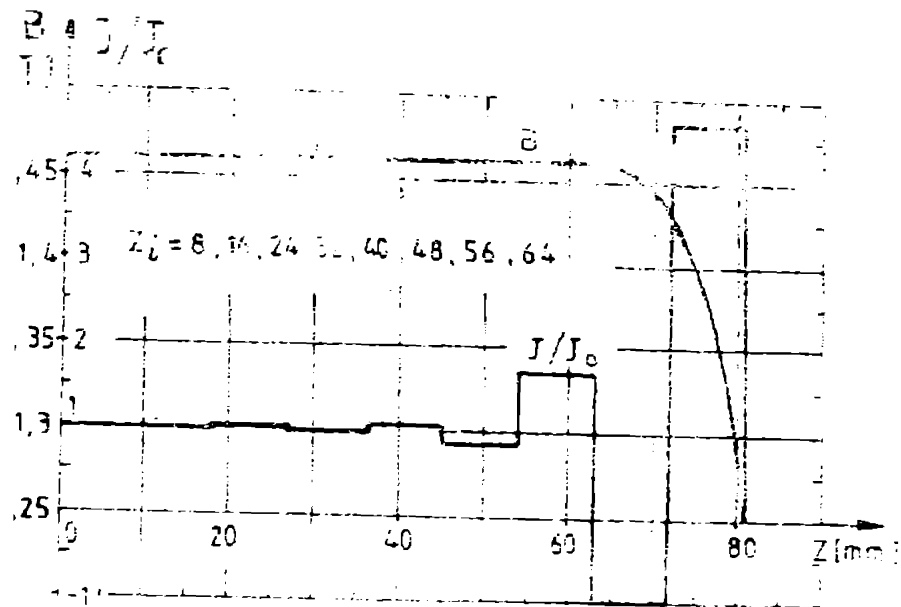
ții, se prezintă în continuare doar rezultatele obținute pentru solenoidul aproximat prin pături de curent.

Astfel s-a considerat un solenoid cu raza $a = 30$ mm și lungimea $2b = 162$ mm ($\beta = b/a = 2,7$) format din 9 zone de lungimi egale, pe fiecare densitatea de curent fiind constantă. Impunându-se ca inducția magnetică în 8 puncte situate pe axa longitudinală la distanțele z_1 să fie aceeași cu inducția magnetică în centrul solenoidului s-au obținut rezultatele din tabelul 3.6. După cum era de așteptat se constată că distribuția densității liniare de curent depinde destul de pronunțat de poziția punctelor z_1 și însoțesc de valoarea maximă a lui z_1 (extinderea zonei de câmp uniform) în comparație cu lungimea solenoidului (b). În fig. 3.47, a s-a reprezentat grafic modul de variație al densității liniare de curent și inducției magnetice pe axa de simetrie la unele din variantele din tabel.

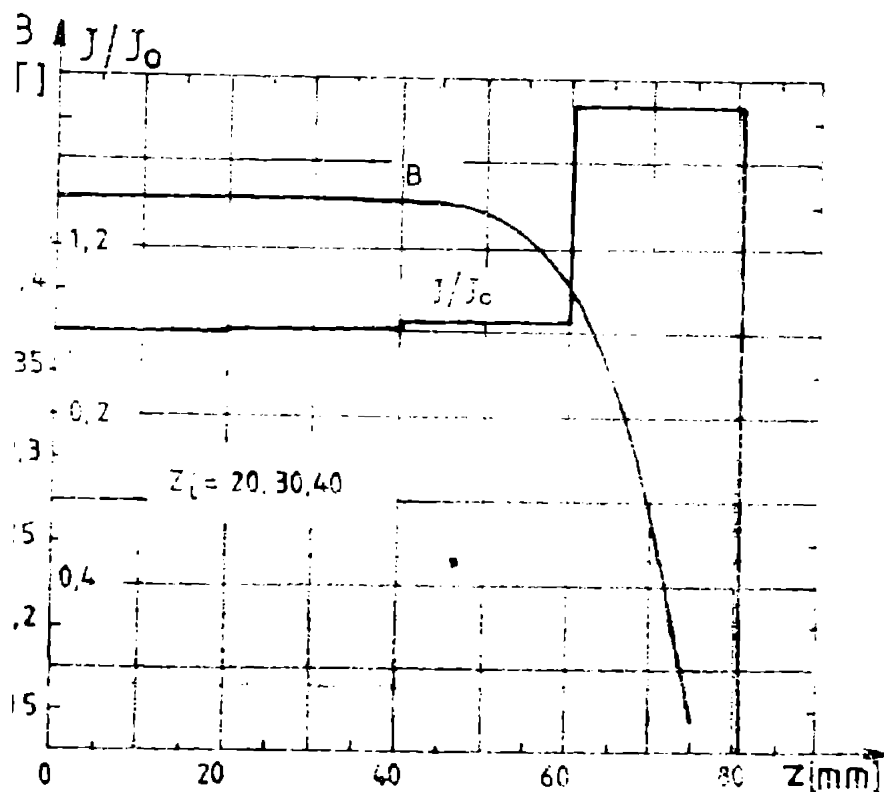
Tabelul 3.6. Distribuția densității liniare de curent la un solenoid cu câmp uniform pe axa longitudinală

z_1 [mm]	z_1	6	7	8	9
		z_2	12	14	16
	z_3	18	21	24	27
	z_4	24	28	32	36
	z_5	30	33	40	45
	z_6	36	42	48	54
	z_7	42	49	56	63
	z_8	48	56	64	72
J_i/J_0	J_1/J_0	1,001	1,0012	0,9996	0,9598
	J_2/J_0	1,0037	1,0035	1,0068	1,0792
	J_3/J_0	1,006	1,0067	0,9936	0,7859
	J_4/J_0	1,0201	1,0181	1,0598	1,5032
	J_5/J_0	0,97895	0,9879	0,8384	-0,1572
	J_6/J_0	1,3051	1,2824	1,7122	3,5499
	J_7/J_0	-0,215	-0,16535	-1,0192	-3,5222
	J_8/J_0	4,0715	4,025	4,7087	6,2596

Se constată că densitatea de curent are o distribuție alternantă de la o zonă la alta, cu amplitudini ce cresc spre ieșirea solenoidului. Dacă se reduce extinderea zonei de câmp uniform la valori comparabile cu raza solenoidului ($z_1 \approx a$) se reduc substanțial valorile densității de curent în zonele din jurul periferiei solenoidului. Astfel, în fig. 3.47, b se reprezintă grafic distribuția densității liniare de curent și a inducției magnetice la un solenoid cu 4 zone de J-est dacă punctele z_1 s-au luat la $z_1 = 20; 30; 40$ mm. Se observă și în acest caz ca de altfel și în cele din fig. 3.47, a, că pentru primele zone (din



a)



b)

Fig. 3.45. Densitatea de curent și inducția magnetică pe axa unui solenoid în zona centrală dist. $z = 0$

proximitate acestei bobine cu un curent mare de curenți (2×10^6) cu aceeași densitate de curent, s-a obținut cu ajutorul programului $IND2$ un câmp magnetic uniform în orice punct din interiorul bobinei elipsoidale. Deoarece pentru a avea acces în interior, bobina se va realiza descălecată la gâturi, s-a considerat elipsoidul tăiat la distanța $z = 81$ mm (egală cu a solenoidului considerat). Variația inducției magnetice pe axa bobinei elipsoidale descălecate este reprezentată în Fig. 3.47 comparativ cu cea obținută în cazul solenoidului de aceeași lungime și cu densitate de curent constantă. Se constată că gradul de uniformitate rămâne mult mai ridicat decât în cazul solenoidului. Bobina

apropierea planului central) densitatea de curent este puțin diferită. Cu urmări se recreează cu prima zonă cu $J = 0.6$ (cm 2) și se ia mai extinsă, până la aproximativ $b/2$. Astfel în fig. 3.46 se prezintă rezultatele obținute dacă prima zonă a fost extinsă până la $z = 36$ mm (cât primele patru zone din fig. 25.45,a). Se constată că se realizează practic aceeași distribuție a densității de curent și de asemenea aceeași extindere a zonei de câmp uniform. După cum s-a văzut, în unele zone rezultă o densitate de curent redusă sau chiar negativă (de sens contrar). În astfel de cazuri, se propune ca de la început să se considere $J = 0$ în aceste zone.

Referitor la posibilitatea de a obține un câmp magnetic uniform în interiorul unui elipsoid de rotație (paragr. 2.4.2.7) s-a considerat o bobină elipsoidală cu semiaxa mare $b = 77$ mm și semiaxa mică $a = 30$ mm. —

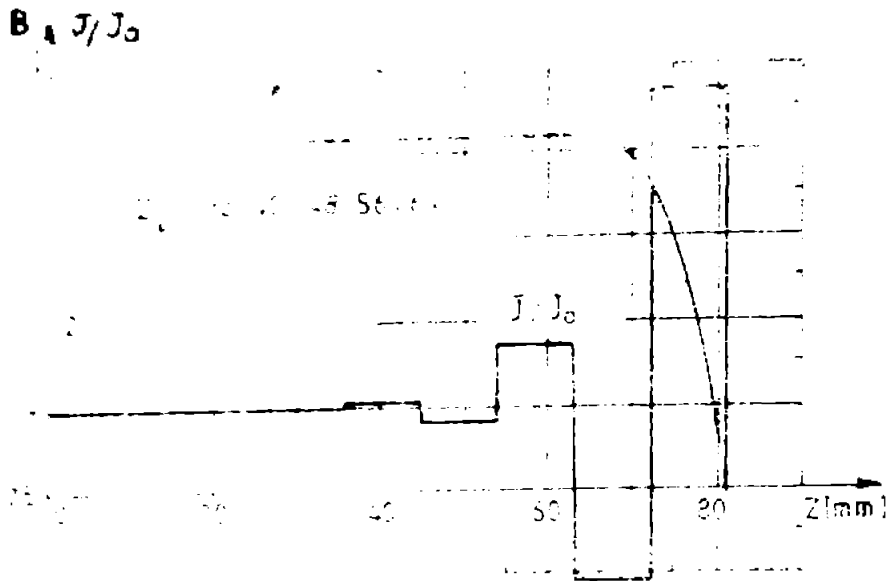


Fig. 3.46. Densitatea de curent și inducția magnetică pe axă în cazul că prima bobă este extinsă

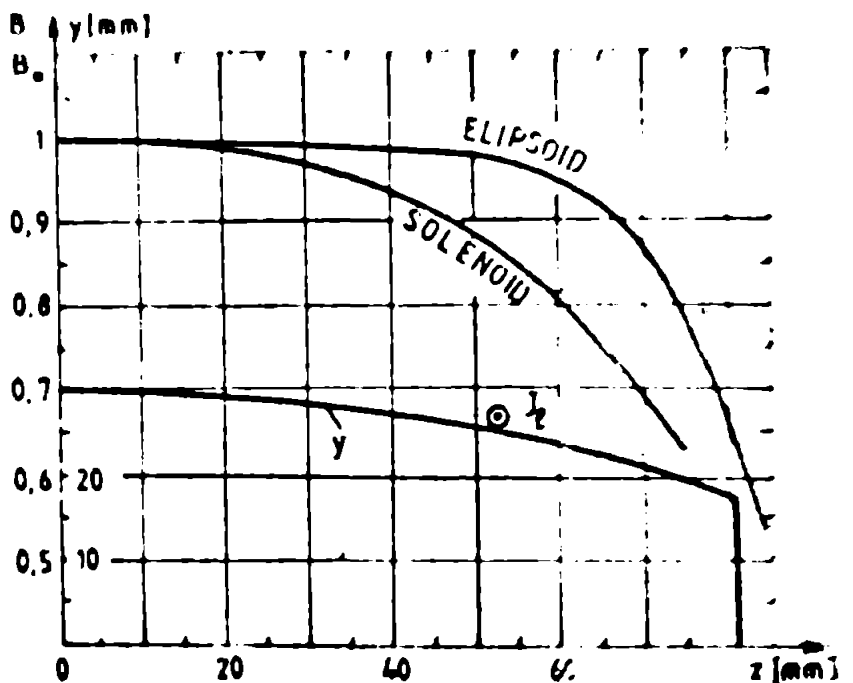


Fig. 3.47. Inducția magnetică pe axa unui elipsoid

treptele cilindrice obținute sînt arătate în tabelul 3.7 și se constată că se realizează repartiția alternantă a densității de curent, dar amplitudinile sînt mult reduse. Se poate aprecia pe baza acestor rezultate că scopul de realizare a bobinilor formate dintr-un număr limitat de trepte care aproximează un elipsoid este mai potrivita din punct de vedere al uniformității câmpului magnetic realizat.

elipsoidală deschisă se realizează în practică aproximativ în trepte după cum este indicat în fig. 2.45. Astfel, s-a aproximat această bobă prin 4 trepte ca în fig. 3.46. Inducția magnetică pe axă, reprezentată de ascensura în fig. 3.46 diferă puțin față de situația că numărul treptelor ar fi foarte mare (fig. 3.47).

Pentru a compensa reducerea gradului de uniformitate a câmpului magnetic în interiorul bobinei elipsoidale ca urmare a faptului că aceasta este deschisă la capete și se realizează dintr-un număr redus de trepte, s-a pus problema determinării valorii densităților de curent în aceste trepte astfel încît să rezulte același câmp magnetic într-un număr de puncte egal cu numărul de trepte și situate pe axă. Pentru a putea face o comparație cu situația similară din cazul solenoidilor, s-au considerat aceleași puncte S_1 și aceleași 9

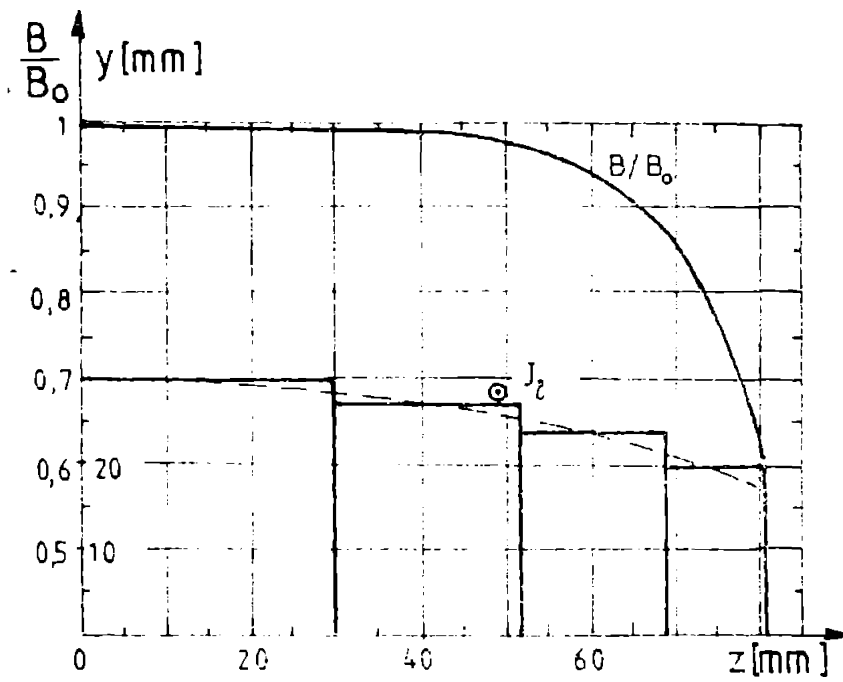


Fig. 3.40. Elipsoid de rotație aproximat prin patru trapeze

Tablă 3.7. Distribuția curentului în funcție de curent în un elipsoid descris cu cinci unghiuri și cinci lungimi

a_8 [mm]	48	56	64	72
J_1/J_0	1,0000	0,9999	0,9996	0,9558
J_2/J_0	1,0003	1,0004	1,0012	1,0516
J_3/J_0	1,0002	1,0000	0,9974	0,8764
J_4/J_0	1,0019	1,0022	1,0086	1,2076
J_5/J_0	0,9975	0,9978	0,9777	0,6200
J_6/J_0	1,0291	1,0246	1,0738	1,6000
J_7/J_0	0,8621	0,8846	0,7569	0,0564
J_8/J_0	1,0414	1,0070	1,7517	2,2697

3.4. Mașini unipolare cu excitație sau regeneratoare

Față de mașinile de curent continuu heteropolare, cele unipolare prezintă în principal avantajul că lipsesc colectoarele. Desigur că apar și dezavantaje, cel mai important fiind legat de valoarea scăzută a tensiunii nominale și de urmasă valoarea ridicată a curentului din inductor. Această lipsă de putere limită a mașinilor unipolare în varianta convențională s-a dat de 10-15 W [36]. Din condițiile specifice de funcționare a indusului de excitație a mașinilor unipolare, rezultă ca deosebit de avantajosă realizarea acestora în varianta supraconductoare care oferă posibilitatea măririi inductivității magnetice și deci a tensiunii induse, respectiv a puterii și momentului care poate ajunge la 5% [37]. Singura limitare este însă limitata, astfel încât la puteri mari rezultă curenți de valori mari care limitează de fapt puterea mașinii. Cu toate acestea, în care apar, se preconizează ca fiind avantajoasă realizarea acestor mașini în stadiul de cercetare a realizării, a echipelor de transport în mine, a navelor maritime, a pompei și compresoarelor, cu generatoare de curent continuu mari în electrochimie etc.

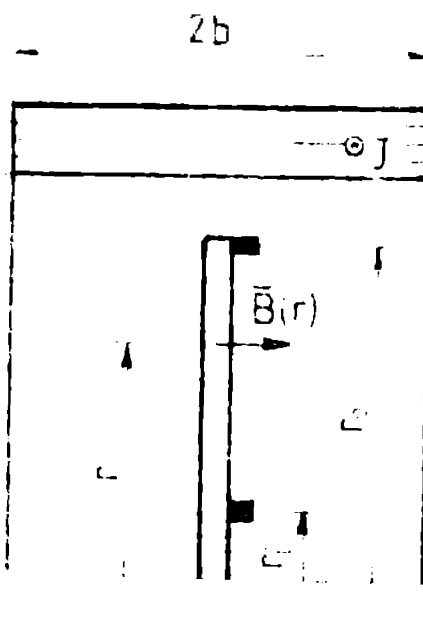


Fig. 3.49. Aplicația privind principiul mașinii unipolare cu inductor în formă de disc

în care Ω reprezintă viteza unghiulară a discului, iar r_1 și r_0 sunt razele la care sunt plasate perile colectoare.

Constructiv, mașinile unipolare se pot realiza cu inductor în formă de disc sau de bobină. Între acestea, s-a abordat varianta cu inductor în formă de disc, la care înfăptuirea de excitație este de forma unui solenoid cu lungime redusă (fig. 3.49). Problema care se pune constă în determinarea dimensiunilor solenoidului de excitație (la a_1 in. 36) astfel încât tensiunea indusă să fie maximă. Expresia acestei tensiuni se obține din:

$$U_e = \int_{r_1}^{r_0} (\vec{v} \times \vec{B}) \cdot d\vec{l} = \Omega \int_{r_1}^{r_0} B(r) r dr \quad (3.53)$$

3.4.1. Optimizarea bobinei inductoare în absența corenării magnetice

Înțelegându-se de formă bobinei de excitație și de faptul că lipsesc piesele feromagnetice, câmpul cimpului magnetic se face similar cu în cazul solenoidilor. Problema care apare este legată de faptul

să nu se impun restricții privind uniformitatea câmpului, astfel că se va căuta soluția care asigură volumul minim de material supraconductor. Concret, s-a considerat un solenoid cu raza internă $a_1 = 10,4$ m și densitatea de curent constantă pe secțiune cu valoarea $J = 100$ A/mm², iar inducția magnetică în centrul solenoidului (circuitului) $B_0 = 3,4$ T. În această situație din relația (2.18) a rezultat $F(\alpha, \beta) = 0,085$. Se pune acum problema determinării formei solenoidului (α, β) astfel încât să rezulte un volum minim de material supraconductor. Problema se poate rezolva grafic ca în [33], soluția aflându-se la intersecția curbei $F(\alpha, \beta) = \text{ct.}$ cu $V^{\text{min}}(\alpha, \beta) = \text{min.}$, în care $V^{\text{min}}(\alpha, \beta)$ are semnificația din relația (3.50). Pentru cazul considerat, din graficul din figura 3.50 rezultă $\alpha = 1,2$ și $\beta = 0,4$ adică $a_2 = 0,48$ m și $b = 0,16$ m.

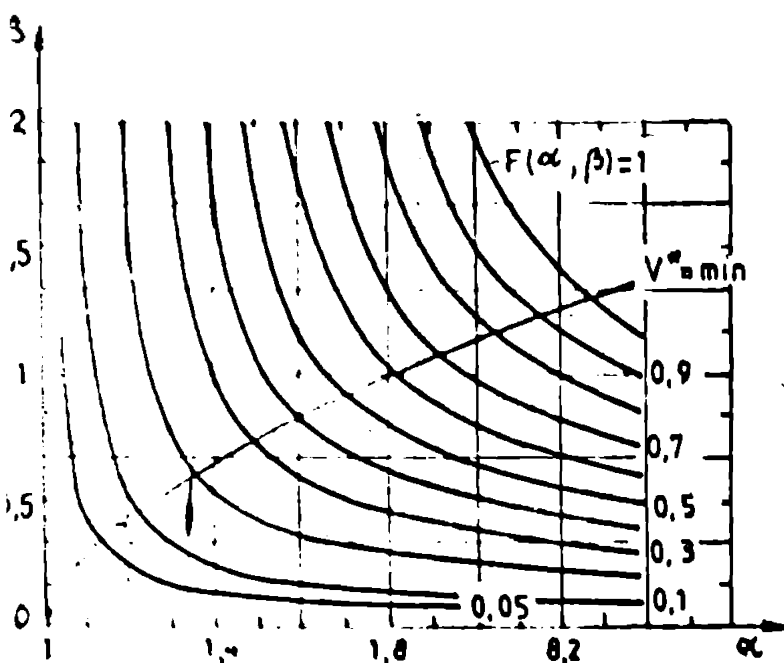


Fig. 3.50. Determinarea grafică a parametrilor solenoidului cu volum minim de material

În realitate însă, în cazul mașinilor napoleone nu interesează forma secției de volum minim la o anumită valoare a inducției magnetice, ci la o anumită valoare a tensiunii induse. În acest scop se trece la tratate ca urmează:

$$\int_{r_1}^{r_2} b(r) r \, dr = F_{\text{u}}(\alpha, \beta) = \text{ct.} \quad (3.54)$$

Iar distribuțiile optime sunt date de soluțiile acestor probleme. Rezolvarea acestei probleme este extrem de laborioasă având în vedere că $b(r)$ nu este o constantă. Din acest motiv, pentru alegerea unor dimensiuni optime, s-au luat în considerare mai multe variante pornind de la cea de volum minim la inducție magnetică dată (toate având același volum dar lungimi diferite) și s-a calculat inducția magnetică (cu programul 3002) și tensiunea indusă pentru cazul în care perile sînt plasate la $r_1 = 0,075$ m și $r_2 = 0,37$ m. Rezultatele obținute sînt prezentate în tabelul 3.8 și din ele se constată că variante de volum minim pentru inducție magnetică dată asigură și tensiunea indusă maximă, dar prezintă și cel mai mic raport între inducția magnetică maximă și cea din centrul solenoidului (B_{z}/B_0). Aceasta reprezintă un dezavantaj pentru cazul în care bobina este supraconductoare, deoarece trebuie să se țină seama de caracteristica critică a supraconductorului. Aproximativ acelu-

Tabelul 3.8. rezultate obținute în vederea alegerii variantei optime

Varianța	1	2	3	4	5	6
a_1 [m]	0,4	0,4	0,4	0,4	0,4	0,4
a_2 [m]	0,48	0,471	0,464	0,456	0,45	0,44
b [m]	0,16	0,162	0,204	0,235	0,265	0,335
δ [$\sqrt{\text{mm}^2}$]	100	100	100	100	100	100
B_0 [T]	3,443	3,449	3,457	3,509	3,528	3,518
B_m [T]	6	7,02	7,26	4,88	4,49	3,82
B_m/B_0	1,74	1,63	1,33	1,44	1,35	1,22
U_0/Ω [Vs]	0,2228	0,2476	0,2418	0,233	0,2233	0,2017
J' [$\sqrt{\text{mm}^2}$]	100	107,6	107,3	111,5	116	125
B_0' [T]	3,443	3,773	3,688	3,778	3,86	3,922
B_m' [T]	6	5,02	7,644	7,441	5,268	4,775
U_0'/Ω [Vs]	0,2228	0,27	0,2595	0,2597	0,259	0,252

ca caracteristică în domeniul $B = 4-6$ T printr-o dreaptă ce ecuație $\delta = 225 - 21 B_m$ (pentru $M0341 - IM - 261$) s-au recalculat marimile a_1 , B_0 și U_0 în cadrul marelui:

- pornind de la inducția magnetică maximă, B_m , se determină din caracteristică critică o valoare corectată pentru densitatea de curent $J' = 220 - 21 B_m$;

- corespunzător noii valori pentru J' se determină inducția magnetică corectată $B_0' = 3_m J'/J$;

- se repetă corectarea lui J' și B_0' pînă cînd noile valori coincid cu cele anterioare.

Rezultatele obținute fiind se vede ca caracteristica critică este prezentată tot în tabelul 3.8 în care aceste marimi sînt notate cu indice prim. Se constată ca varianta optimă care asigură o tensiune maximă în funcție de cea admisibilă pentru bobine care nu sînt supraconductoare. Parametriile acestora sînt: $a_1 = 0,4$ m, $a_2 = 0,464$ m și $b = 0,204$ m și după cum se vede are lungimea mărită. Pentru această bobină s-a calculat cu ajutorul programului CAS2 inducția magnetică pe axa centrală și în planul secției (în discul încus), obținindu-se rezultatele prezentate grafic în fig. 3.21. De asemenea s-a determinat și valoarea înălții inductive de plasare periferică colectoare (fig. 3.22) rezultând că aceasta nu are cea mai puțină importanță în vederea razei r_2 și este necesar de importanță alegerea razei r_1 cât mai mare posibil. Astfel, dacă prin reducerea lui r_1 de la 0,125 m la 0,075 m tensiunea indusă crește cu $\Delta U_0/\Omega = 0,02$ Vs, prin creșterea

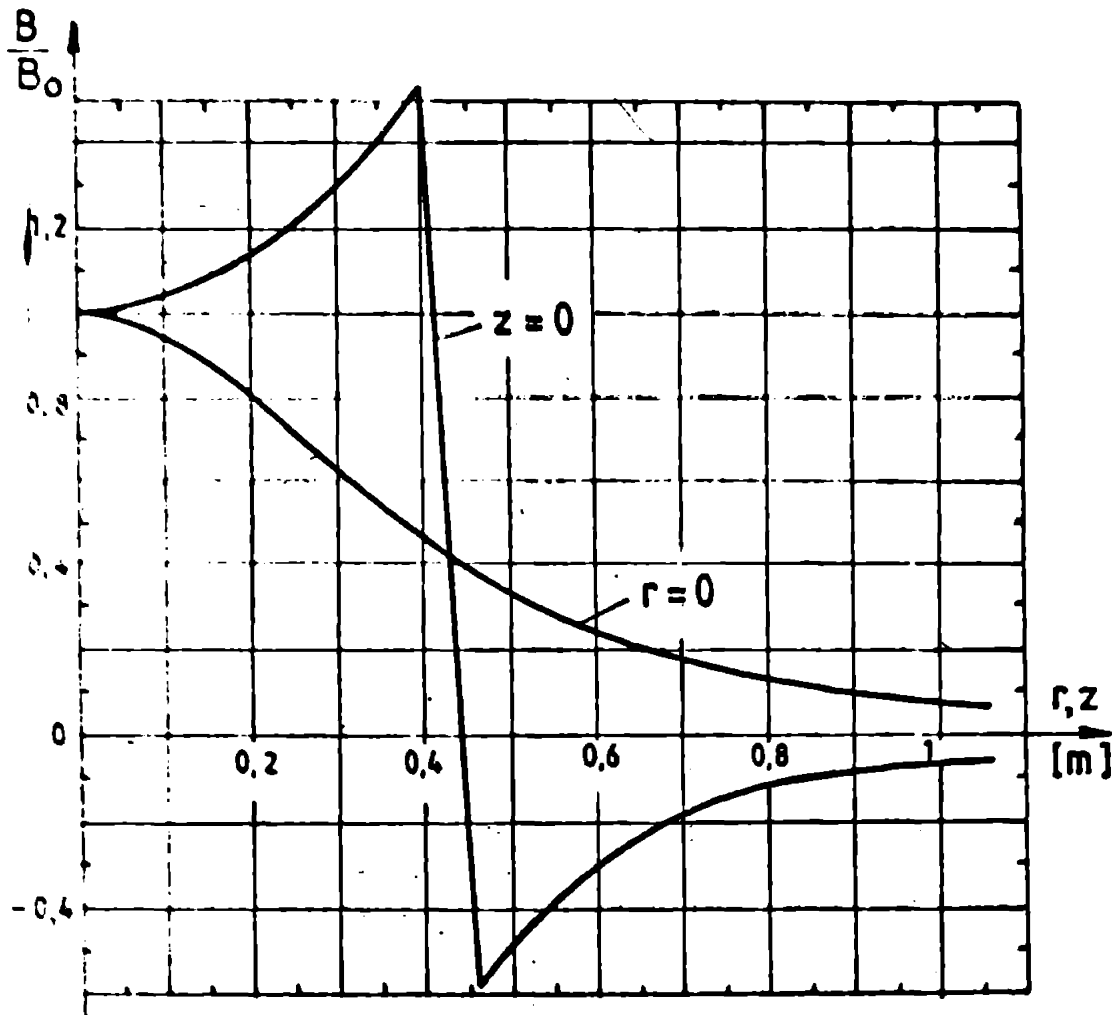


Fig. 3.51. Inducția magnetică pe axa longitudinală și în discul inductor

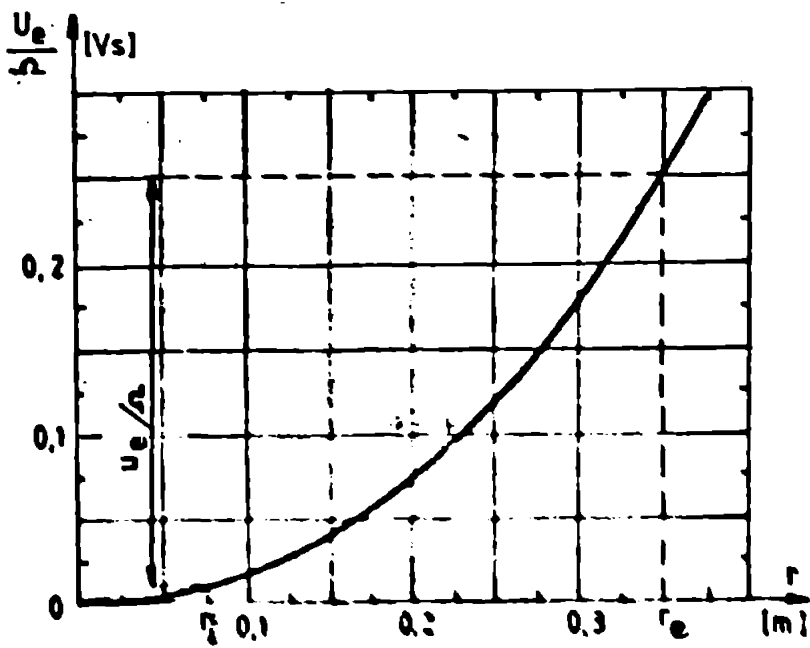


Fig. 3.52. Tensiunea indusă funcție de plătarea perților

La r_0 de la 0,5 la 0,35 m, rezultă o creștere $\Delta u_e/n = 0,09$ Vs.

Se mai constată că în exteriorul bobinei de excitație inducția magnetică are valori mari, astfel că se înregistrează valori de rotație magnetice.

3.4.2. Determinarea câmpului magnetic și a tensiunii induse în prezența ecranului magnetic

Calculul analitic al câmpului magnetic și al tensiunii induse în prezența ecranului magnetic este un calcul de lungă durată și este foarte dificil, astfel încât s-a putut aplica doar în cazul unui cilindru ideal ($\mu \rightarrow \infty$) și în cazul unui cilindru parțial închis, s-a putut aplica metoda analitică prezentată în paragraful 3.4.3, bazată pe separarea variabilelor. În realitate aceste metode nu sunt foarte utile, astfel încât practic se pot aplica doar metode numerice pentru determinarea câmpului magnetic. Într-un alt caz, metoda numerică este utilizată pentru determinarea câmpului magnetic și al tensiunii induse în prezența ecranului magnetic, iar metodele analitice s-au folosit în scopul verificării rezultatelor (în cazul parțial închis) obținute cu ajutorul metodei numerice.

Calculul analitic al câmpului magnetic și al tensiunii induse în prezența ecranului magnetic este un calcul de lungă durată și este foarte dificil, astfel încât s-a putut aplica doar în cazul unui cilindru ideal ($\mu \rightarrow \infty$) și în cazul unui cilindru parțial închis, s-a putut aplica metoda analitică prezentată în paragraful 3.4.3, bazată pe separarea variabilelor. În realitate aceste metode nu sunt foarte utile, astfel încât practic se pot aplica doar metode numerice pentru determinarea câmpului magnetic. Într-un alt caz, metoda numerică este utilizată pentru determinarea câmpului magnetic și al tensiunii induse în prezența ecranului magnetic, iar metodele analitice s-au folosit în scopul verificării rezultatelor (în cazul parțial închis) obținute cu ajutorul metodei numerice.

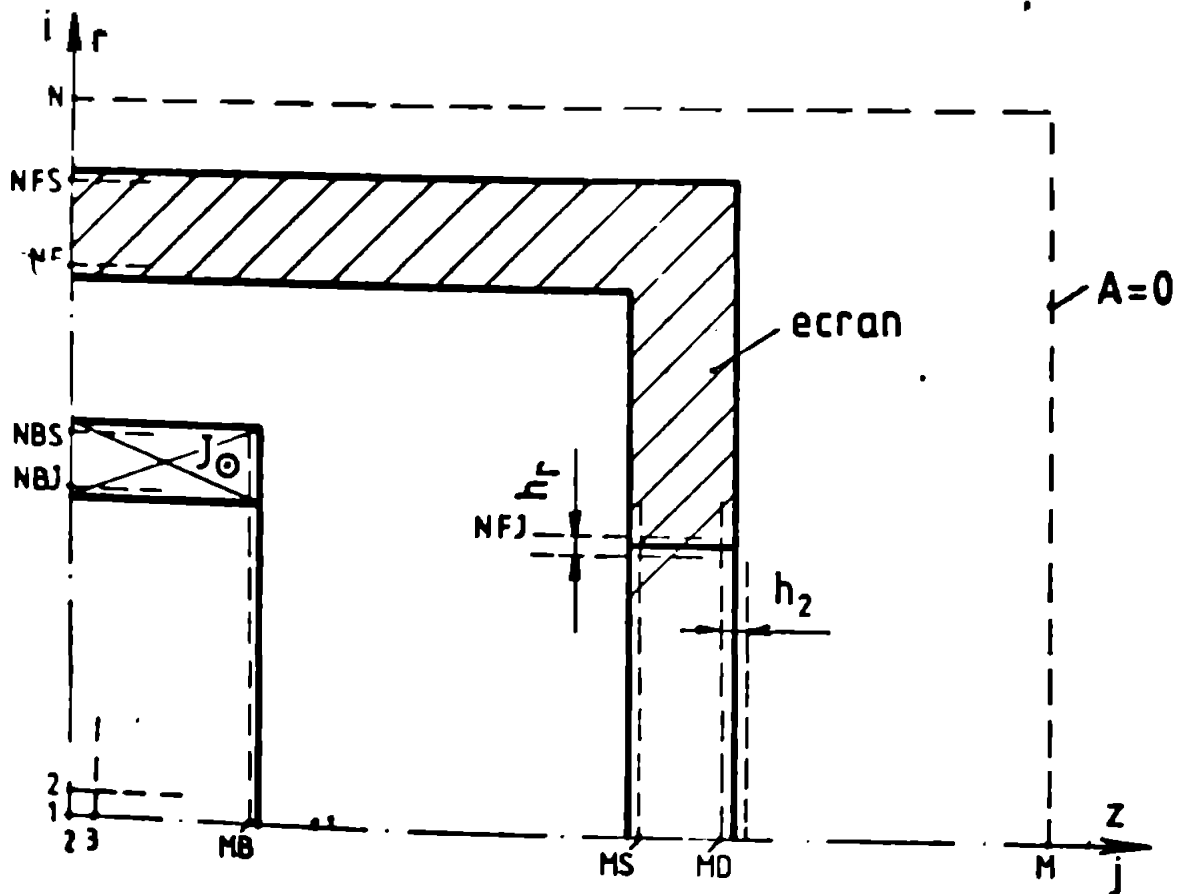
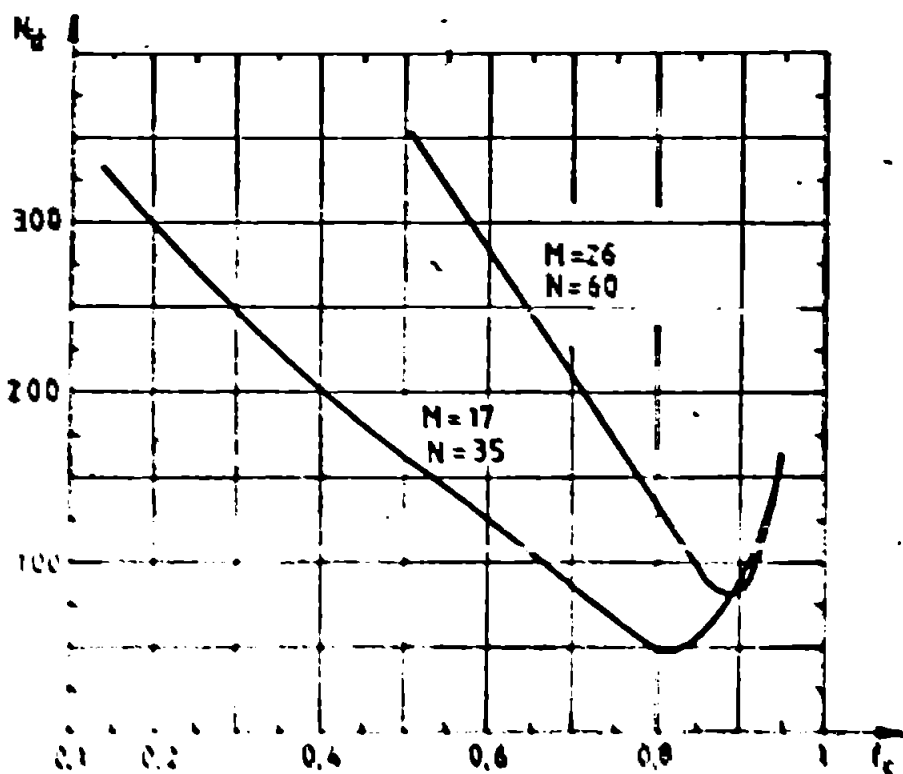


Fig. 3.4.3. Explicativ privind configurația geometrică a bobinei cercuite cu un cilindru parțial închis

pentru reducerea dimensiunilor tabelurilor de variabile, pentru μ_P s-au introdus două tablouri și anume $FAC(i_1, j_1)$ și $FR(i_2, j)$, în care: $i_1 = i - nF + 3$, $j_1 = j - nE + 3$ și $i_2 = i - nF + 3$. În absența, pentru un număr de noduri să nu rezulte exagerat de mare la o rețea extinsă, se folosește întâi o rețea groasă pe bază, careia se caștine soluția inițială pentru o rețea mai fină (cu $\mu =$ cel puțin $n/3$) și apoi se rețerșește, după ce se prezintă în fig. 2.30.

Cu toate acestea, numărul de noduri ale rețelei de discretizare rezultă relativ mare, astfel că s-a pus de la început problema determinării factorului optim de accelerare a convergenței. În acest scop s-au folosit programul de calcul elaborat pentru rezolvarea unei probleme este la diferite valori ale factorului f_c și a erorii maxime $\epsilon = 10^{-5}$ (rel. 2.162). Numărul de iterații efectuate funcție de factorul f_c este reprezentat în fig. 2.34 pentru două din erorile ale rețelei de discretizare, constatându-se că există un anumit caz de



valorii optime f_c opt pentru care numărul de iterații este minim. Această valoare optimă este de fapt un singur aproximativ de relația [18]:

$$f_c \text{ opt} = 1 - \sqrt{2 [(M-1)^{-2} + (N-1)^{-2}]}$$

(2.35)

astfel încât în calcularea s-a folosit ex parte (2.35) pentru determinarea în programul de calcul a factorului optim.

Verificarea rezultatelor obținute pe baza programului de calcul s-a făcut în unele cazuri particulare, astfel încât considerat la prima vedere

Fig. 2.34. Numărul de iterații funcție de factorul de corecție f_c

de către autorul (1) și s-au comparat rezultatele cu cele obținute de programele GMS2 și GMS3 care obținut rezultate foarte apropiate care nu au nici o problemă în ceea ce privește aspectul de lucru în programele (2). Pentru a verifica dacă și în rezoluția ecuațiilor integrale de tipul (2.162) se poate obține un rezultat de calitate bună de calculare și de evaluare se poate folosi un calcul de tipul (2.35) și cu $\mu_P = 5000$ (rel. 2.35, a). Într-un caz particular, s-a verificat și s-a constatat că în cazul unei probleme de tipul (2.35, b) care se poate

plines relațiile (2.123). Rezultatele obținute numeric și analitic privind inducția magnetică în punctele indicate pe figura 3.55,b (la un curent $I = 2,6 \cdot 10^6$ A) sînt prezentate în tabelul 3.9, și se constată

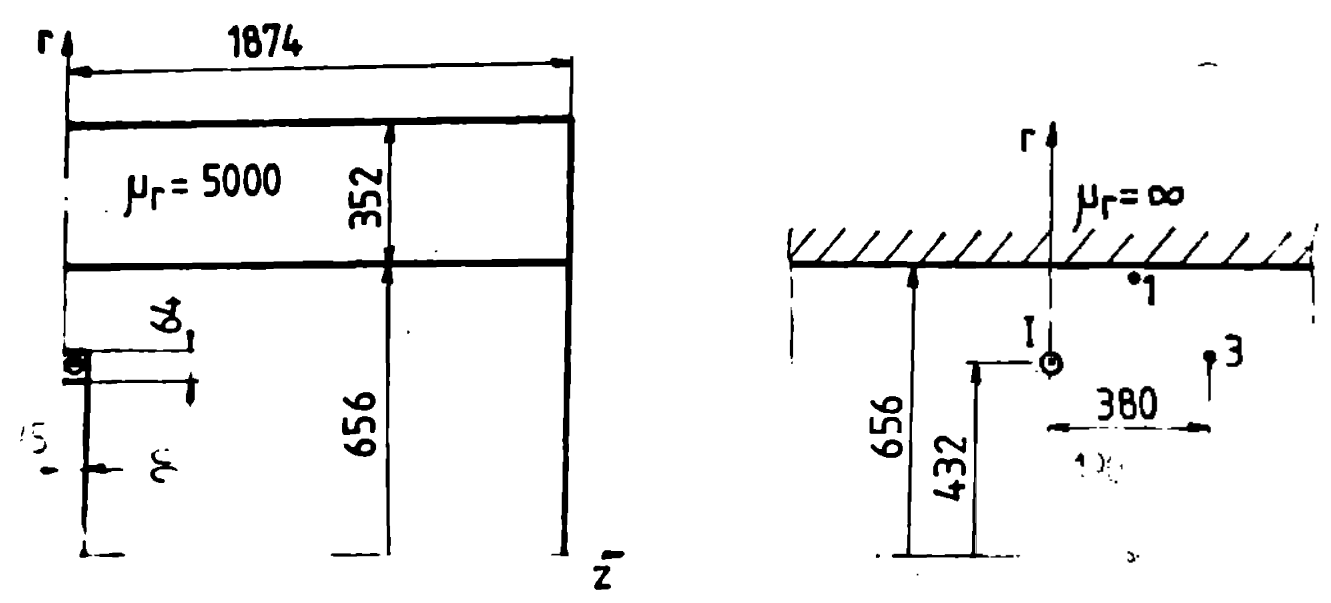


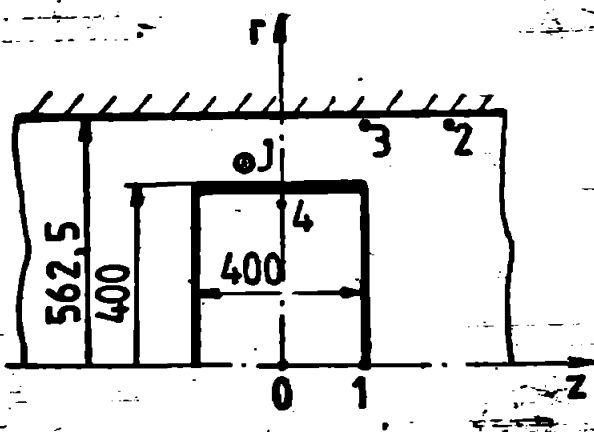
Fig. 3.55. Spira circulară ecranată cu un cilindru feromagnetic de lungime mare

Tabelul 3.9. Inducția magnetică la spira circulară ecranată cu un cilindru de lungime mare

Punctul	z [mm]	r [mm]	B_r [T]		B_z [T]	
			analitic	numeric	analitic	numeric
1	170	656	1,266	1,274	0	0
2	190	0	0	0	3,134	3,132
3	360	432	1,017	1,021	0,776	0,759

o foarte bună concordanță a rezultatelor. De asemenea, este important de remarcat că inducția magnetică în centrul solenoidului crește de la $B_0 = 3,79$ T în absența ecranului, la valoarea 4,00 T în prezența ecranului adică rezultă o creștere de 5%.

Tot în scop de verificare a metodei numerice s-a considerat și un solenoid aproximativ printr-o pătură de curent ecranată cu un cilindru de lungime mare (3 m) și permeabilitate mare ($\mu_r = 10^5$) astfel încât acesta poate fi considerat ideal. A rezultat astfel situația din fig. 3.56 pentru care se pot aplica relațiile (2.132), pentru calculul componentelor inducției magnetice. Rezultatele obținute în punctele indicate pe fig. 3.56 sînt prezentate în tabelul 3.10, constatîndu-se o foarte bună concordanță dintre rezultate. Rezolvîndu-se aceeași problemă și în absența ecranului, se pot face aprecieri privind influența acestuia asupra inducției magnetice. Astfel, în centrul solenoidului inducția magnetică crește de la 3,996 T la 3,937 T, adică cu 1,5%, iar în



punctul "4" situat în apropierea păturii de curent (periferia discului izolat) creșterea este de la 5,301 T la 5,831 T adică de 8,1%. Prin urmare în prezența ecranului magnetic inducția magnetică crește cu aproximativ $\epsilon = 10\%$, în concordanță cu rezultate cunoscute în literatură [2,86].

Fig. 3.56. Pătura de curent ecranată cu un cilindru feromagnetic ideal

Tabloul 3.10. Inducția magnetică la pătura de curent ecranată cu un cilindru feromagnetic de lungime mare

Punctul	z [mm]	r [mm]	B [T]		$\epsilon \%$
			analitic	numeric	
0	0	0	3,948	3,937	0,28
1	200	0	3,111	3,103	0,26
2	400	550	0,943	0,92	2,44
3	200	550	1,405	1,425	1,4
4	0	350	5,831	5,747	1,44

Ca urmare se apreciază că programul de calcul elaborat pe baza metodei diferențelor finite permite obținerea unor rezultate corecte și deci se poate aplica și pentru probleme în care soluția analitică nu este accesibilă. Astfel s-a considerat solenoidul cu dimensiunile optime determinate în absența ecranului magnetic și parcurs de curentul total $I = 2,6 \cdot 10^6$ A, ceea ce corespunde la densitatea

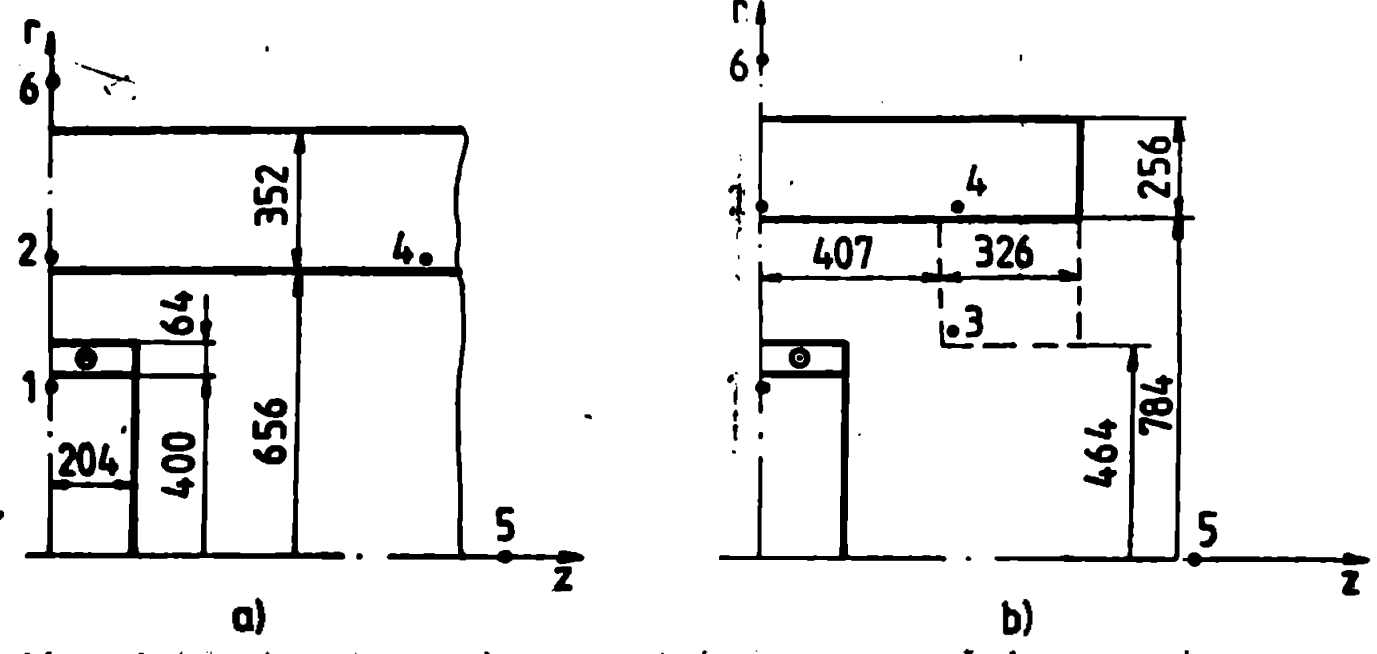


Fig. 3.57. Configurația geometrică a ecranului magnetic

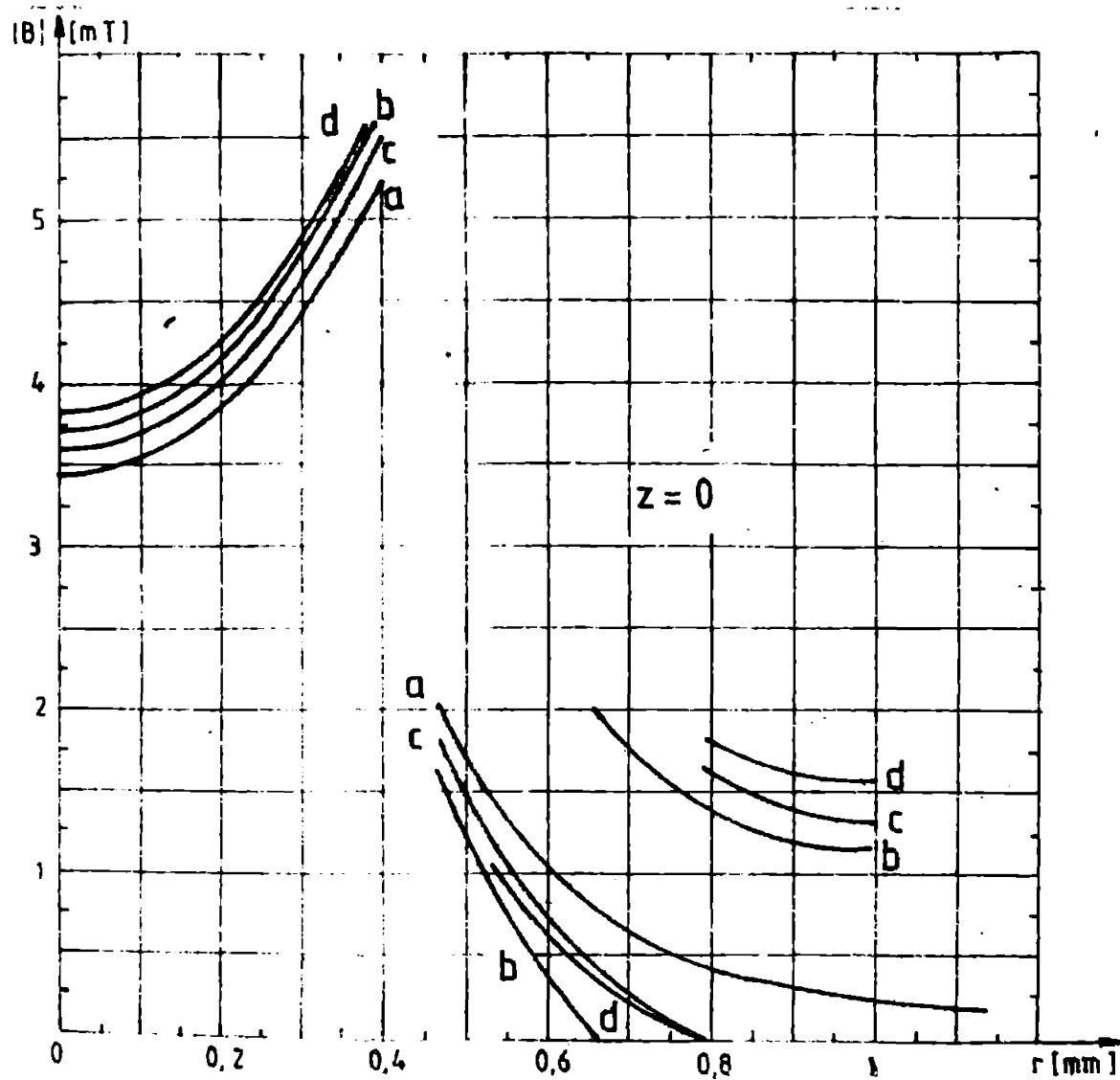
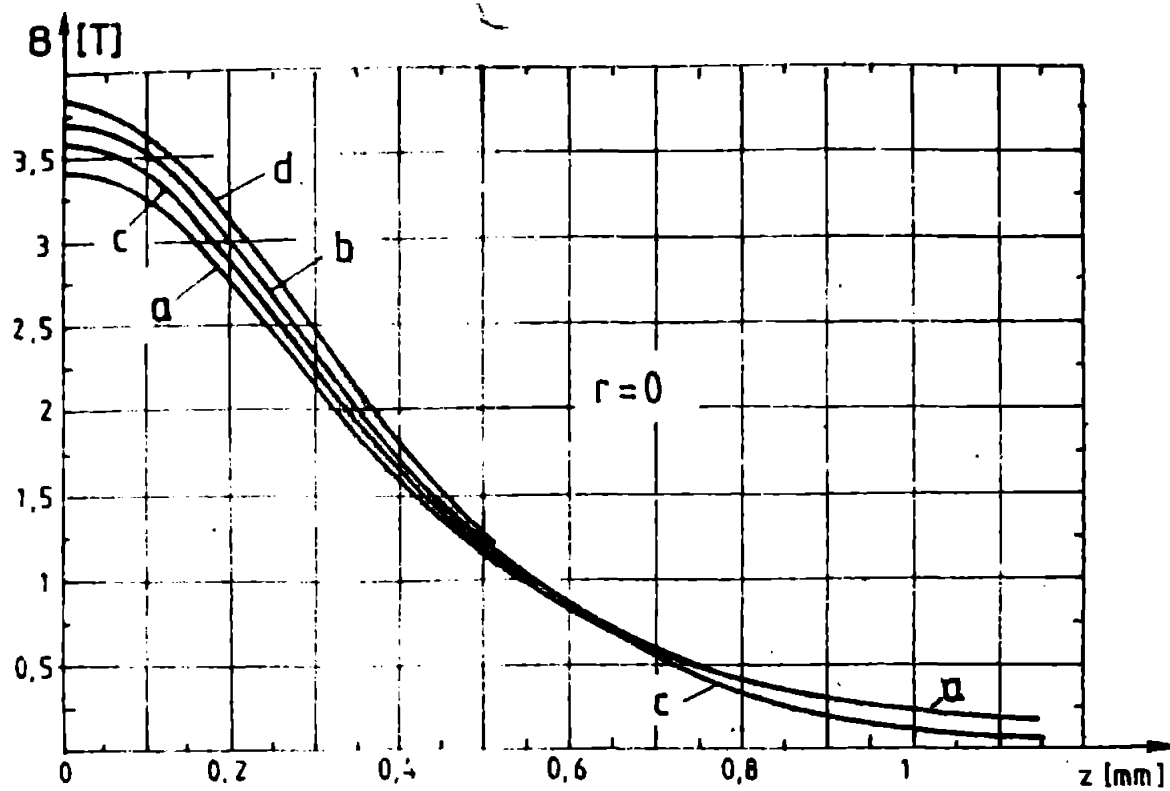


Fig. 3.58. Inducție magnetică pe axa longitudinală și în planul central

$J = 100 \text{ A/mm}^2$. Acesta s-a considerat în diferite variante de ecranare, cele mai semnificative fiind: (a) - fara ecran; (b) - ecran cilindric de lungime mare $l = 1,57 \text{ m}$ (fig. 3.57,a); (c) - ecran cilindric scurt $l = 0,74 \text{ m}$ (fig. 3.57,b); (d) - ecran cilindric scurt și înalt parțial la capete (fig. 3.57,c). Considerând permeabilitatea $\mu_r = 1000$, s-au obținut rezultatele prezentate în tabelul 3.11 și respectiv fig. 3.58.

Tabelul 3.11. Inducția magnetică în diferite variante de ecranare

Varianta	B_0 [T]	B_1 [T]	B_2 [T]	B_3 [-]	B_4 [T]	B_5 [T] $r=1,57\text{m}$	B_5 [T] $r=1,27\text{m}$	U_0/Ω [V]
a	3,413	3,173				0,070	0,131	0,313
b	3,702	3,273	1,711		0,100	0,033	0	0,338
c	3,591	3,335	1,223		0,207	0,044	0,0001	0,320
d	3,024	2,519	1,712	2,403	0,982	0,011	0,0003	0,347

Se constată că ecranarea în direcția axială este bună numai dacă ecranul are înălțimea (parțială) adecvată, iar în direcția radială ecranarea este bună în toate variațiile. De asemenea observăm că ipoteza consistenței ecranului cilindric presupune că acesta este nesaturat. Pentru efectuarea ipotezei, curbele rezultate de U_0 și B_5 au fost calculate cu ajutorul lui B_0 și B_1 și au fost utilizate curbele de magnetizare în câmpuri înalte și cu amplitudine mare a fost conceput și realizat programul SIM7 după model indicat în par. 2.4.4. Curba de magnetizare a feromagnetului în câmpuri înalte s-a aproximat în model indicat în figura 2.20 prin două porțiuni rectilinii și printr-un porțion de tipul c pentru zona dintre porțiunile rectilinii. Ordinea de principiu a programului este dată în fig. 3.55, iar ordinea de programare date este simplificată dacă se elimină calculul iterativ pentru permeabilitatea magnetică.

3.5. Modelul comparativ de calcul a inducției magnetice

În modelul de calcul comparativ a diferitelor metode de calcul prezentate, metoda s-a aplicat în cazul unor sisteme circulare nelimitate realizate în Institutul Național de Metrologie București și proiectate ca parte de câmp magnetic uniform, fiind aplicate pentru un același sistem fizic, rezultatele obținute pot fi la bază unei aplicații comparative concurente. În plus, pentru această sistem s-au efectuat și măsurători experimentale concrete privind valorile și repartizarea inducției magnetice, rezultatele obținute prin metoda este fiind de asemenea luate în considerare la

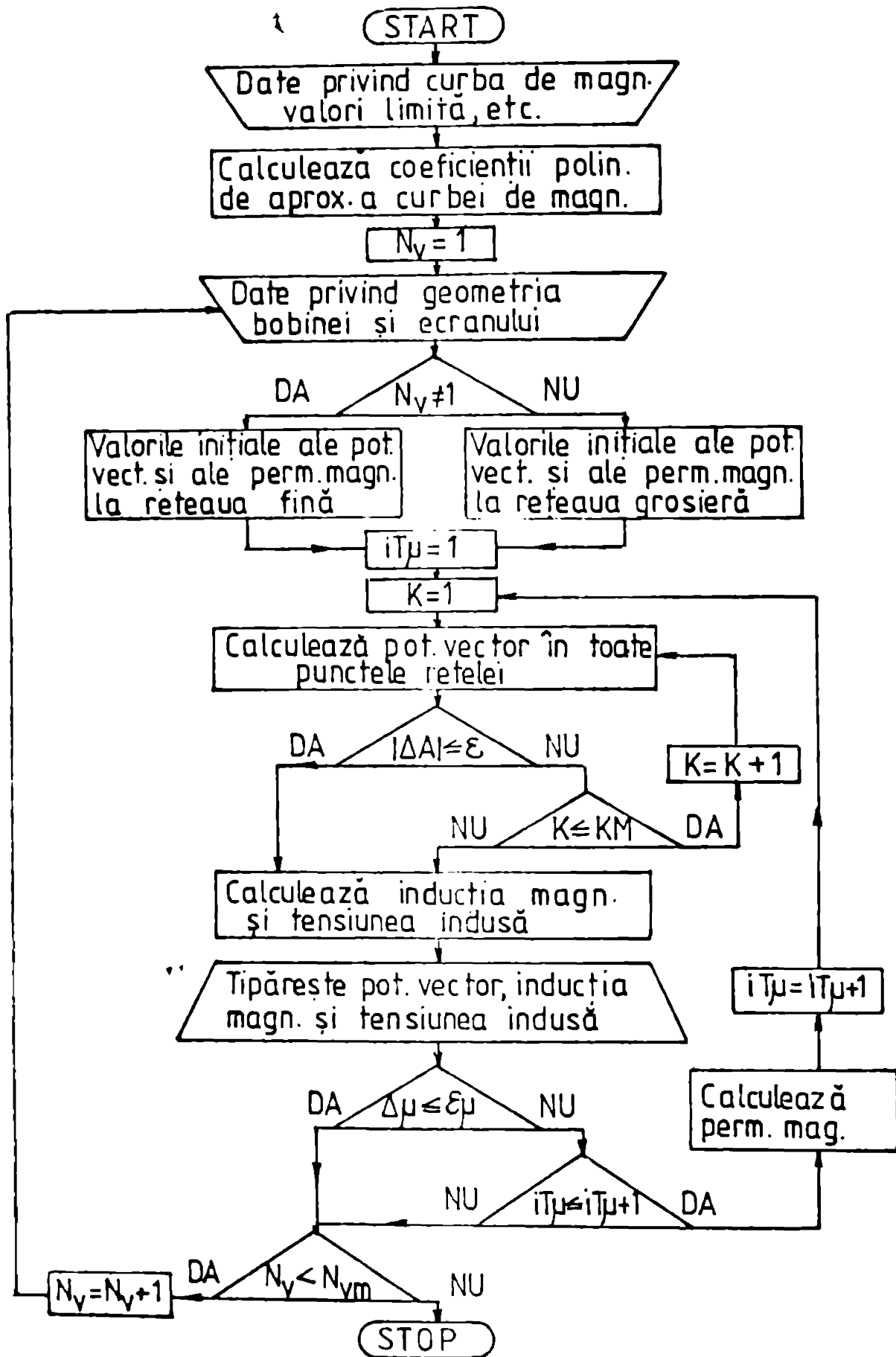


Fig.3.59 Ordinograma de principiu a programului CDF7

liza comparativă fluentă.

Forma geometrică a dispozitivului studiat se prezintă în fig. 3.60, iar dimensiunile bobinilor sînt: $\phi_{med} = 300$ mm, $d = 150$ mm, $g_z = 20$ mm și $g_r = 10$ mm. Alte caracteristici ale acestora, importante din punct de vedere al câmpului magnetic produs sînt: numărul de spire al unei bobine $N = 100$ spire; curentul maxim admis $I_{max} = 2$ A; constante de timp (în centrul dispozitivului) $\tau_z = 0,6632$ ms/A, stabilită de constructur prin acțiunea rezonanței magnetice nucleare.

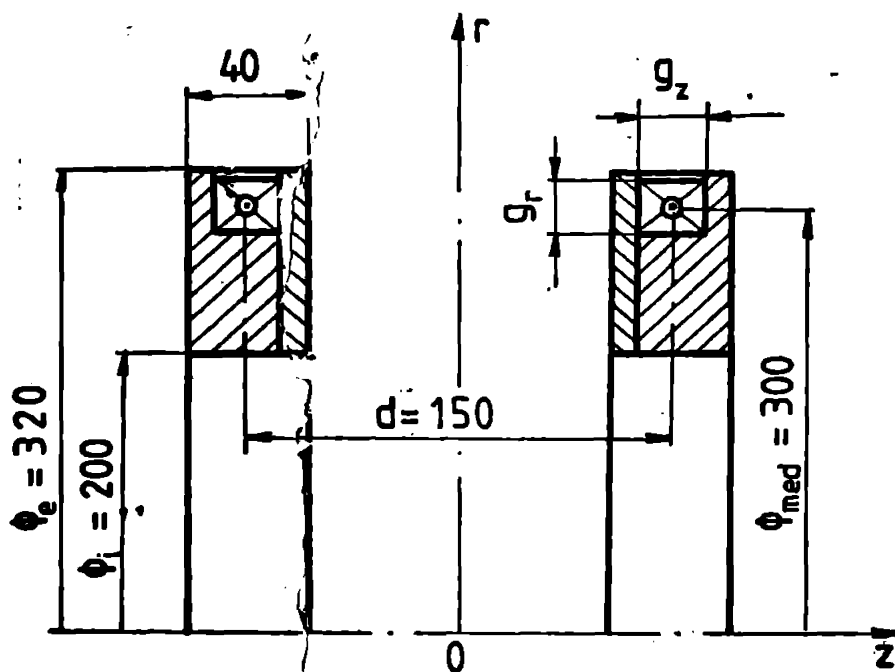


Fig. 3.60. Geometria inelelor Helmholtz

Încadrare a geometriei sistemului din punct de vedere al rețelei de discretizare în cadrul metodei diferențelor finite, pentru toate cele patru metode de calcul s-au considerat dimensiunile suprafeței transversale a bobinei ușor modificate și anume $a_z = 15$ mm și $a_r = 20$ mm. În aceste condiții și menținînd neschimbat curentul total ($I_{max} = 2$ A) a rezultat densitatea de curent (de calcul) $J = 0,666$ A/mm².

În scopul verificării rezultatelor s-au făcut și determinări experimentale, care se vor prezenta ulterior (par. 3.5.2)

3.5.1. Metodele de calcul aplicate

Înainte de prezentarea rezultatelor obținute cu metodele de calcul amintite este oportună prezentarea unor aspecte particulare ale aplicării acestora la sistemul fizic considerat, precum și a valorilor generate ale principalelor mărimi de intrare în programele folosite.

La metoda bazată pe integrarea numerică a relației lui Helmholtz-Laplace (programul CAS2), fiecare bobină s-a considerat forma-

Pentru sistemul fizic considerat s-a determinat câmpul magnetic pe baza următoarelor metode (paragr. 3.5.1):

- două metode analitice cu rezolvare numerică pe baza programelor de calcul CAS2 și CAS1;
- o metodă numerică (metoda diferențelor finite) în două variante, cu pas constant (programul CAS2) și respectiv cu pas variabil în progresie geometrică (CLFY).

Pentru a mai conștă

tă din $N_2 = 12$ spire și $N = 4$ spire echivalente pe strat, toate spirele având aceeași secțiune (fig. 3.61), de valoare $\Delta a = \Delta b = \frac{a_1 a_2}{N_2} = 5 \times 5 \text{ mm}^2$. În calcule aceste spire sînt considerate filiforme, fiecare dintre ele fiind aproximată printr-un poligon regulat cu $N_1 = 40$ latură.

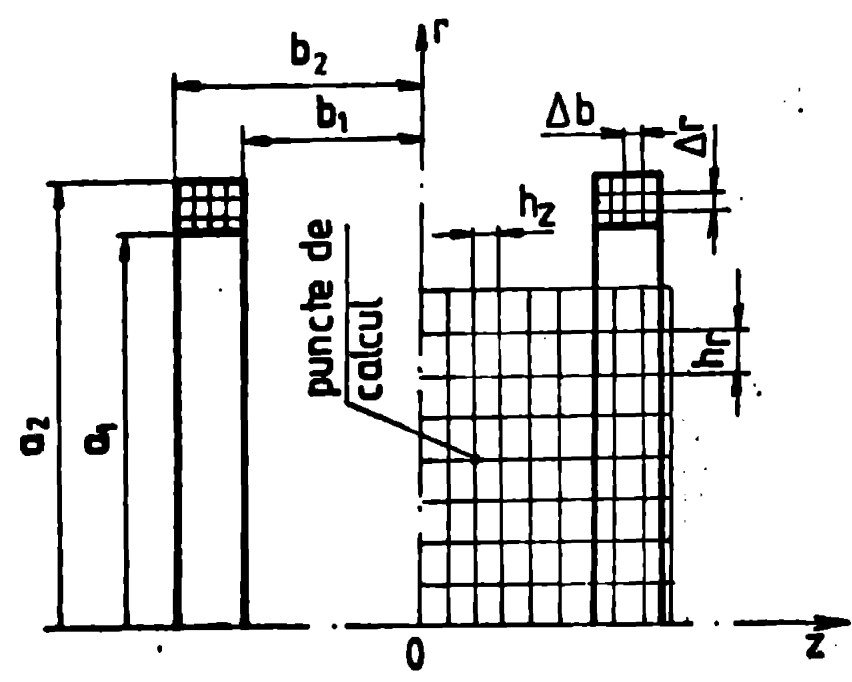


Fig. 3.61. Împărțirea bobinelor în spire echivalente și poziția punctelor de calcul

Făcînd valorile exacte pentru Φ_{med} și distanța d și ținînd seama de valorile modificate pentru b_1 și b_2 cu rezultati: $a_1 = 142,5 \text{ mm}$; $a_2 = 157,5 \text{ mm}$; $b_1 = 65 \text{ mm}$; $b_2 = 85 \text{ mm}$. Considerînd în continuare curentul electric uniform repartizat pe secțiunea transversală a bobinelor, cu densitatea de curent menționată ($J = 0,666 \text{ A/mm}^2$), s-a calculat inducția magnetică în $N_p = 90$ puncte situate în zona $r = 0 \div 120 \text{ mm}$, $z = 0 \div 90 \text{ mm}$ și distanțate între ele cu pasul $\Delta r = 15 \text{ mm}$ și $\Delta z = 10 \text{ mm}$. (fig. 3.61). Rezultatele programului de calcul sînt prezentate în anexa A1.

2. În metoda bazată pe dezvoltarea expresiei potențialului magnetic scindat în serii cu polinoame Legendre (programul GdL) s-au folosit aceeași date de intrare ca și pentru programul GdS2, cu următoarele deosebiri:

- înlocuțea N_1 cu mărimea de intrare, deoarece spirele circulare nu se mai aproximează cu un poligon;
- numărul de termeni ai seriilor din relațiile (2.66) respectiv (2.67) s-a limitat la valoarea pentru care suma modulelor ultimilor doi termeni este mai mică decît $\epsilon = 5 \cdot 10^{-5}$ ori valoarea absolută a primului termen al seriei;
- ordinul maxim admis al polinoamelor Legendre a fost 491. Rezultatele calculului în aceeași 90 de puncte sînt prezentate în anexa A2.

3. În metoda diferențelor finite cu pas constant, s-a folosit programul de calcul Gdf2 care constituie o particularizare a programului Gdf6 pentru cazul unui mediu omogen ($\mu = \mu_0$), deci nu a mai fost necesară folosirea tabelelor pentru μ_r . Rețeaua de discretizare s-a

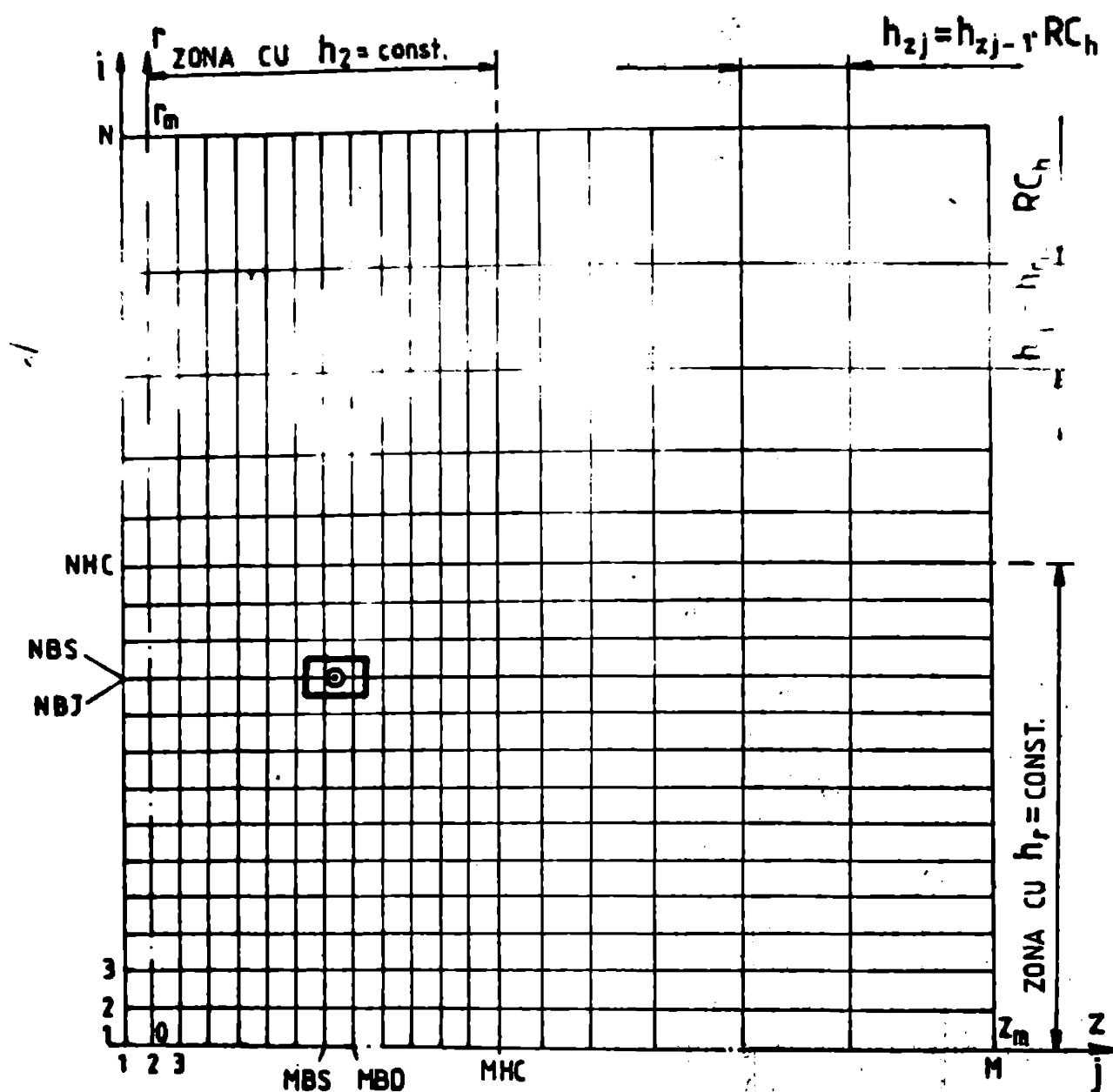


Fig. 2.03. Rețeaua de discretizare cu pas variabil $\Delta z = 1,96 \text{ m} \approx 26 \text{ } \alpha/2$ și două aproximări condițiilor pe frontieră (Aco, fig. 2.03) este mai corectă. În aceste condiții se poate aprecia că soluția se obține cu precizie mai ridicată și cu un timp de calcul acceptabil, mai redus. Structura programului de calcul GDFP și rezultatele obținute sînt prezentate în anexa A4.

5.5.2. Determinări experimentale

Verificarea rezultatelor obținute prin cele patru metode abordate s-a făcut în două moduri și anume prin comparare cu valoarea exactă a cîmpului magnetic pe axa de simetrie și respectiv prin măsurare experimentală.

Pentru determinarea valorii exacte a inducției magnetice pe axa de simetrie s-a folosit relația (2.65) care dăse bobinile Helmholtz se consideră ca fiind rezultate dintr-o combinație a doi solenoidi de lungimi $2a_2$ și $2a_1$, se pune în formă:

$$B = \frac{1}{2} a_1 \left[F\left(\alpha, \beta_2 + \frac{z}{a_1}\right) + F\left(\alpha, \beta_2 - \frac{z}{a_1}\right) - F\left(\alpha, \beta_1 + \frac{z}{a_1}\right) - F\left(\alpha, \beta_1 - \frac{z}{a_1}\right) \right] \quad (3.57)$$

Se menționează faptul că în această relație s-au ales dimensiunile exacte ale secțiunii transversale a bobinei, și anume:

$$\alpha = \frac{a_2}{a_1} = \frac{150}{142} = 1,12676; \quad \beta_1 = \frac{b_1}{a_1} = \frac{61,4}{142} = 0,43242;$$

$$\beta_2 = \frac{b_2}{a_1} = \frac{82,1}{142} = 0,57817$$

Pentru verificarea rezultatelor obținute prin calcul, s-a măsurat componenta longitudinală a inducției magnetice (B_z) în puncte în care aceasta s-a și calculat prin cele trei metode. În acest scop s-a realizat montajul din fig. 3.64 în care s-au folosit următoarele aparate:

- sursa de tensiune continuă stabilizată (S) de tipul T 4104 - IEMH București;
- reostat (R) pentru reglarea curentului electric;
- ampermetru magnetoelectric (A) tip IAN 114102 și având clasa de precizie 0,2;
- teslametrul (T) cu sondă Hall, tip 010202.

În vederea efectuării determinărilor experimentale a fost necesară realizarea din materiale nemagnetice a unui sistem de poziționare a sondei Hall în coordonatele cilindrice r, z . În acest scop s-a avut în vedere ca pînă la bobinile Helmholtz să se facă astfel încât să nu existe în apropiere materiale feromagnetice care să afecteze câmpul magnetic, rodus. Aceasta a presupus, printre altele, ca la se de lucru să nu aiba sondele metalice și de asemenea distanța față de pereții cu armături metalice să fie suficient de mare.

De asemenea, pentru ca eroarea determinărilor experimentale să fie cât mai mică, în timpul efectuării măsurării s-au avut în vedere în permanentă următoarele: - senșivitatea constantă a instrumentării

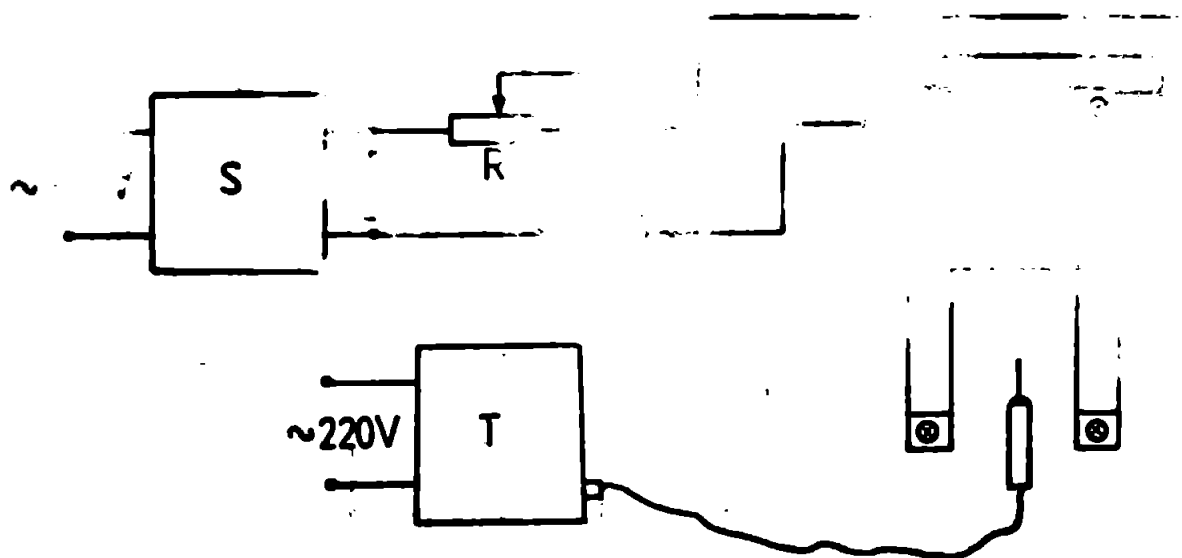


Fig. 3.64. Schema electrică a montajului pentru măsurarea inducției magnetice la bobinele Helmholtz

curentului electric; - poziționarea corectă a sondei Hall; - calibrarea atentă și repetată a teslaometrului. Se menționează că teslaometrul folosit pentru măsurare prezintă o gamă largă de domenii de măsură, de la 0,1 mT până la 3 T. În cadrul măsurărilor efectuate s-au folosit domeniile de 1 mT și 3 mT, de mare sensibilitate și de aceea s-a înțeles calibrarea repetată a aparatului. De asemenea se mai menționează că sonda Hall cu care este echipat teslaometrul are dimensiuni reduse ($2 \times 4 \times 0,5 \text{ mm}^3$), astfel că se poate considera că măsurările sînt practic punctuale.

3.2.3. Compararea rezultatelor obținute

Pentru o apreciere comparativă mai ușoară a rezultatelor obținute prin cele patru metode de calcul, o parte dintre acestea se prezintă sintetic în tabelul 3.12 împreună cu rezultatele măsurărilor experimentale. De asemenea, acestea se prezintă grafic în figurile 3.65 și 3.66 după cum urmează:

- cu linie continuă pentru metodele analitice cu rezolvare numerică (programele CMS2 și CMSL) prin care s-au obținut rezultate practic identice (diferențe aparînd la a cincea cifră semnificativă);

- cu linie întreruptă, pentru metoda diferențelor finite cu pas constant (program CDF2);

- cu linie punct, pentru metoda diferențelor finite cu pas variabil (program CDF9);

- punctele marcate reprezintă rezultatele măsurărilor experimentale.

Analizînd aceste rezultate, se constată o concordanță bună a rezultatelor obținute prin diferitele metode. Astfel, față de valorile măsurate experimental, cele calculate diferă cu mai puțin de: 0,9% la CMS2 și CMSL; 1,6% la CDF2; 1,2% la CDF9. De asemenea se constată că în marea majoritate a punctelor inducția magnetică măsurată experimental este mai mare decît cea calculată prin toate metodele, aceasta putînd conduce la presupunerea că măsurările experimentale au fost afectate de o eroare sistematică. Această presupunere se întărește dacă se compară valorile inducției magnetice pe axa de simetrie cu valorile exacte obținute pe baza relației (3.57). Rezultatele se prezintă comparativ în tabelul 3.13 și în figura 3.67 și se constată că valoarea exactă diferă față de rezultatele celor două metode analitice (CMS2 și CMSL) doar la a șasea cifră semnificativă și este puțin sub valorile măsurate.

Pe de altă parte, dacă se calculează inducția magnetică în centrul sistemului, pe baza constantei de câmp, se obține $B_0 = k_H \cdot I =$

Tableul 3.12. Inductia magnetica (comp.longitudinala) la inelele helimantice

B _a [mT]	F [mm]	Inductia magnetica (comp.longitudinala) la inelele helimantice											
		0	15	30	45	60	75	90	105	120			
s=0	OMS2	1.1988	1.1987	1.198	1.1945	1.1841	1.1599	1.1109	1.0228	0.8816			
	OMSL	1.1988	1.1987	1.198	1.1945	1.1841	1.1599	1.1111	1.0231	0.8821			
	ODF2	1.1895	1.1891	1.1881	1.1842	1.1734	1.1492	1.1014	1.0166	0.8803			
	ODF9	1.1937	1.1934	1.1924	1.1886	1.1778	1.1536	1.1059	1.0212	0.885			
	exp.	1.2	1.2	1.2	1.2	1.1875	1.16	1.1075	1.005				
s=10mm	OMS2	1.1987	1.1989	1.1988	1.1964	1.186	1.1667	1.122	1.0384	0.8964			
	OMSL	1.1987	1.1988	1.1987	1.1964	1.186	1.1668	1.1221	1.0387	0.8999			
	ODF2	1.1893	1.1894	1.1890	1.1863	1.1774	1.156	1.1121	1.0314	0.8976			
	ODF9	1.1936	1.1937	1.1933	1.1906	1.1817	1.1604	1.1166	1.036	0.9023			
	exp.	1.2	1.2	1.2025	1.2025	1.19	1.17	1.12	1.035				
s=20mm	OMS2	1.1982	1.1989	1.2005	1.2015	1.1987	1.1864	1.1546	1.086	0.9527			
	OMSL	1.1982	1.1989	1.2005	1.2014	1.1987	1.1865	1.1547	1.0863	0.9263			
	ODF2	1.1805	1.1898	1.1912	1.1918	1.1884	1.1755	1.1435	1.0765	0.9519			
	ODF9	1.1928	1.1942	1.1955	1.1961	1.1927	1.1799	1.148	1.0812	0.9566			
	exp.	1.2	1.2	1.205	1.2075	1.205	1.195	1.1625	1.1				
s=30mm	OMS2	1.1964	1.1979	1.2021	1.2081	1.214	1.2162	1.2063	1.1668	1.0003			
	OMSL	1.1964	1.1979	1.202	1.208	1.214	1.2162	1.2064	1.167	1.0609			
	ODF2	1.1804	1.1895	1.1935	1.1991	1.2044	1.2054	1.1939	1.1533	1.0212			
	ODF9	1.1906	1.1938	1.1978	1.2034	1.2088	1.2098	1.1984	1.1779	1.0558			
	exp.	1.2	1.2	1.2075	1.2175	1.2225	1.225	1.22	1.19				
s=40mm	OMS2	1.192	1.1944	1.2016	1.2136	1.2303	1.2508	1.2717	1.2796	1.2293			
	OMSL	1.1919	1.1943	1.2015	1.2155	1.2302	1.2508	1.2716	1.2797	1.23			
	ODF2	1.1815	1.1868	1.194	1.2058	1.222	1.2413	1.2591	1.2616	1.2086			
	ODF9	1.1857	1.1911	1.1982	1.2101	1.2263	1.2456	1.2635	1.2601	1.2132			
	exp.	1.1852	1.1875	1.1968	1.2149	1.2328	1.2523	1.2699	1.2872	1.4782			
s=50mm	OMS2	1.1832	1.1865	1.1967	1.2148	1.2425	1.2829	1.3397	1.4141	1.4784			
	OMSL	1.1723	1.1798	1.1903	1.2085	1.2362	1.276	1.3302	1.4196	1.4404			
	ODF2	1.1765	1.1841	1.1944	1.2127	1.2405	1.2803	1.3346	1.4004	1.445			
	ODF9	1.19	1.1925	1.205	1.225	1.25	1.29	1.355	1.43				
	exp.	1.19	1.1925	1.205	1.225	1.25	1.29	1.355	1.43				

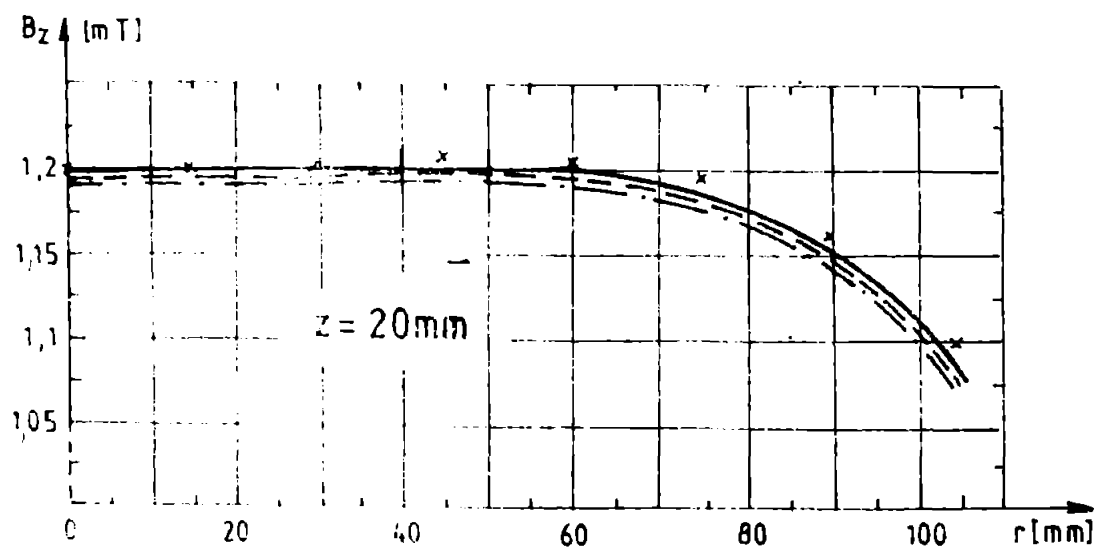
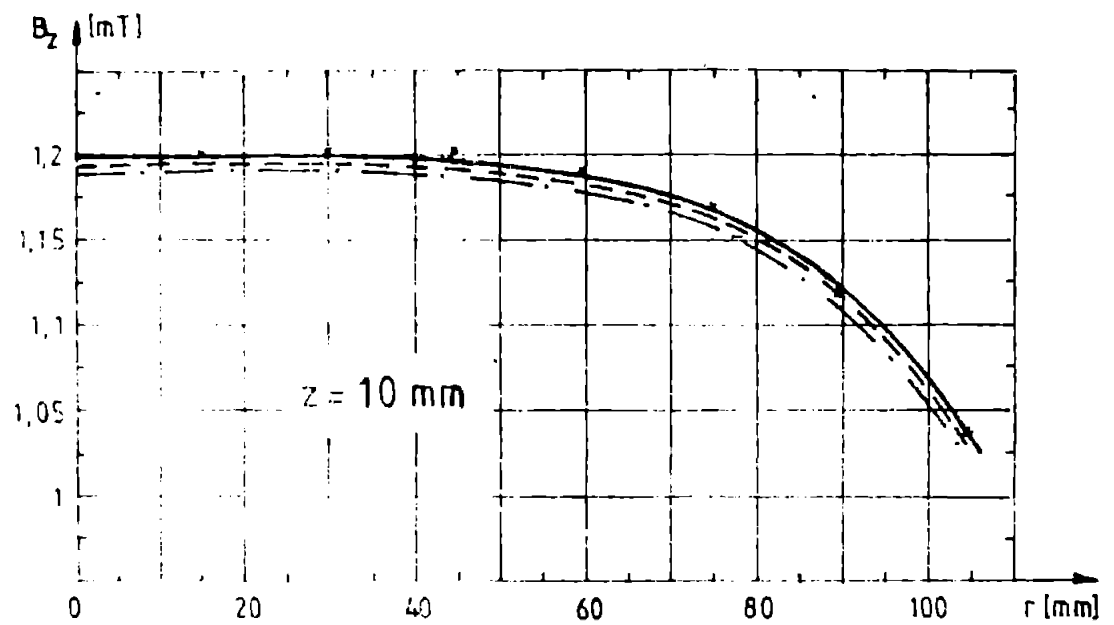
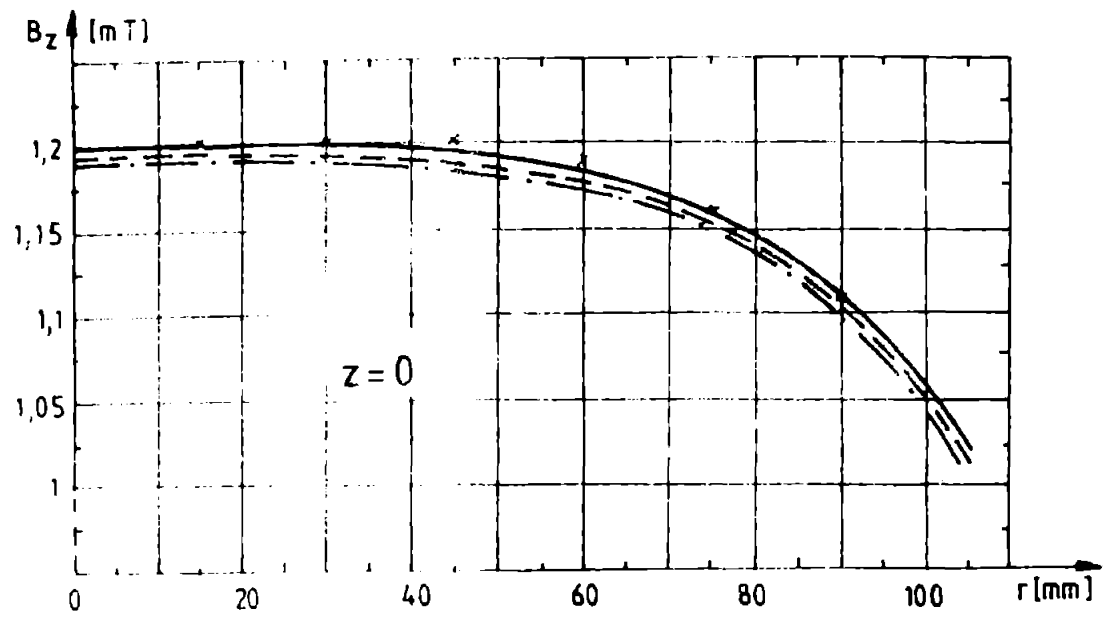


Fig. 1.65. Componenta longitudinală a inducției magnetice în bobina Helmholtz

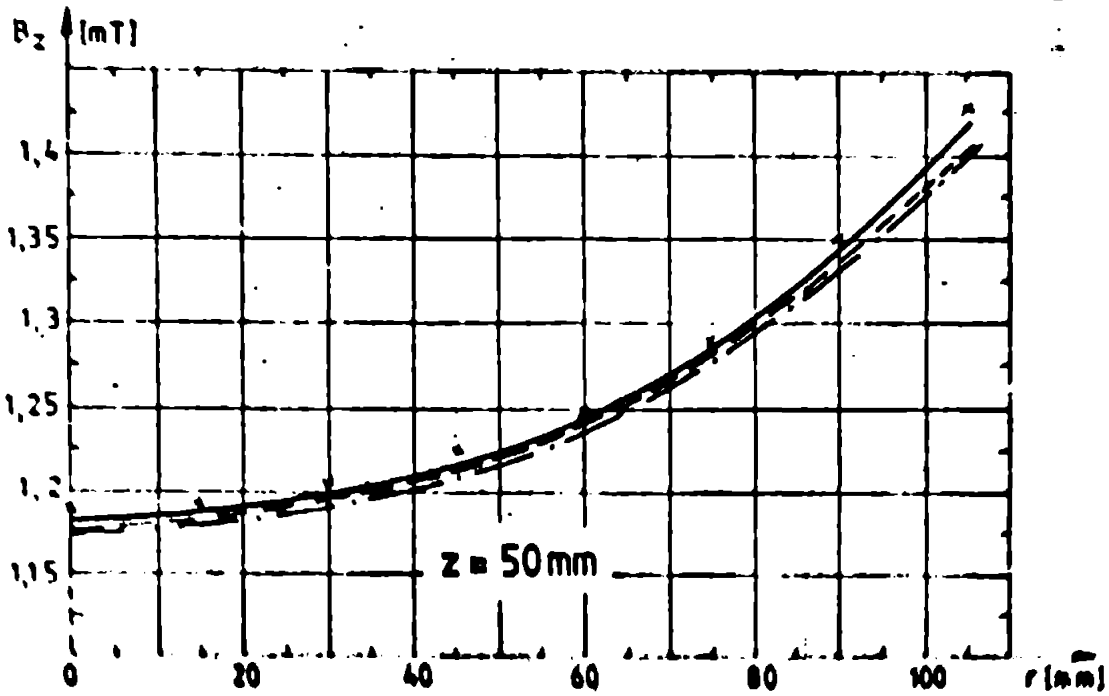
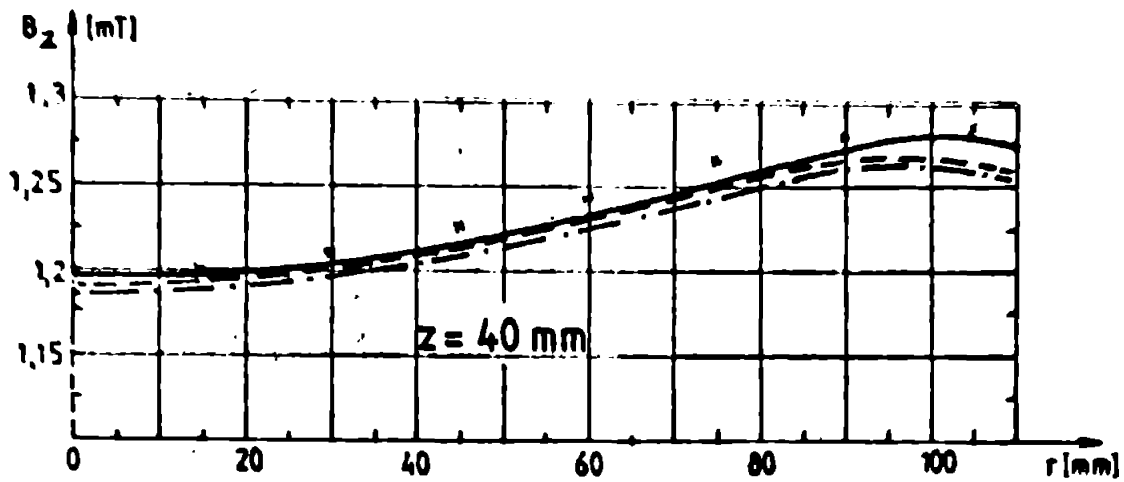
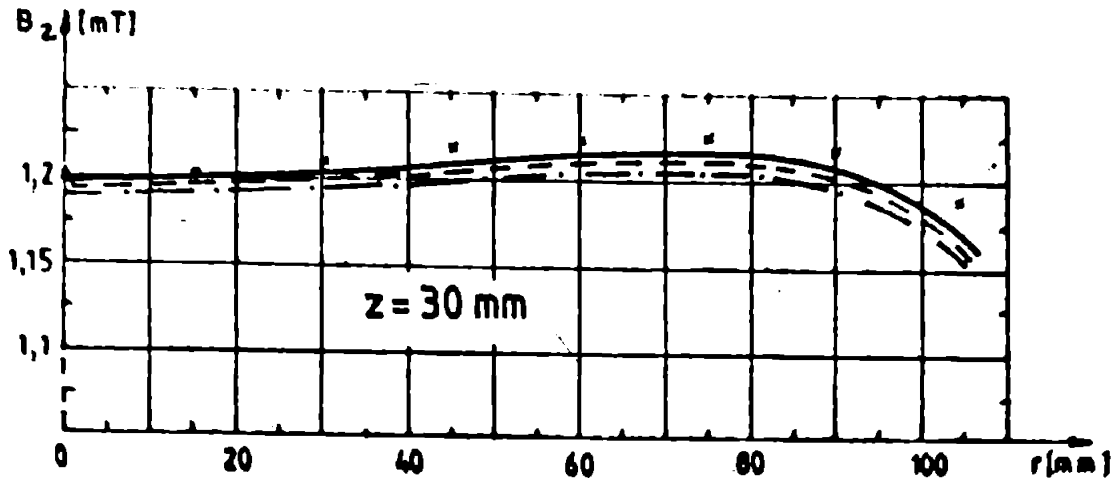


Fig. 3.86. Componenta longitudinală a induşilor magnetici la bobinele Helmholtz

Tabelul 3.13. Inducția magnetică pe axa bobinelor Helmholtz [mT]

z [mm]	OMS2	OMBL	ODF2	ODF9	Valoare exactă	Măs. exp.
0	1,1988	1,19874	1,18945	1,19372	1,19868	1,2
10	1,1967	1,19867	1,18927	1,19377	1,19862	1,2
20	1,1962	1,19819	1,18852	1,19282	1,19815	1,2
30	1,1964	1,19639	1,18634	1,19062	1,19636	1,2
40	1,1920	1,19192	1,18144	1,18567	1,19189	1,195
50	1,1832	1,18318	1,17229	1,17648	1,18316	1,19
60	1,1686	1,16860	1,15737	1,16155	1,16860	
70	1,1469	1,14690	1,13551	1,13464	1,14690	
80	1,1173	1,11727	1,10591	1,10997	1,11727	
90	1,0796	1,07955	1,06844	1,07244	1,07955	
100			1,02359	1,02755	1,03425	1,04
110			0,97243	0,97637	0,98245	0,99
120			0,91642	0,92036	0,92567	0,93

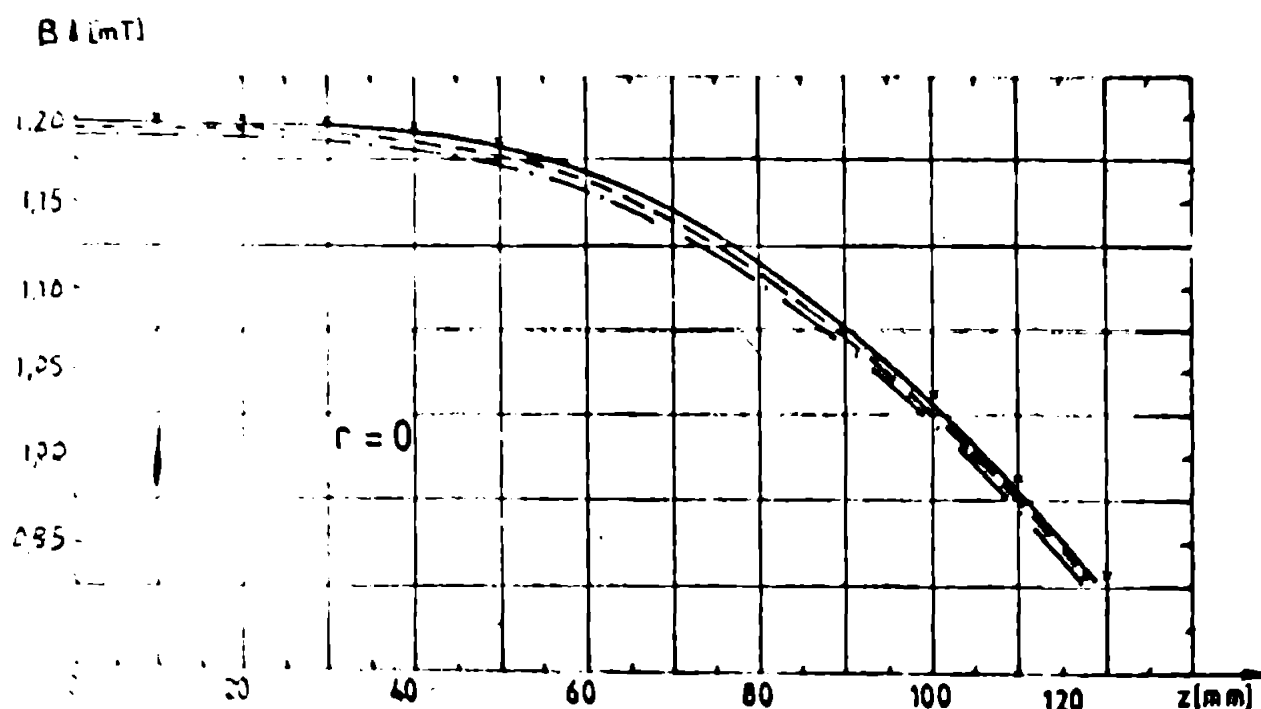


Fig. 3.67. Inducția magnetică pe axa bobinelor Helmholtz

$= 0,6032 \cdot 2 = 1,2064$ mT, în concordanță cu valoarea măsurată. Dacă se înseamnă că această diferă de valoarea exactă determinată pe baza dimensiunilor geometrice cunoscute, rezultă concluzia că dimensiunile date n-au fost riguros respectate tehnologic și de aici rezultă evident o anumită eroare sistematică ce afectează calculul. Se poate deci aprecia că metodele de calcul aplicate conduc de fapt la rezultate mai puțin eronate decât cele prezentate. De asemenea la toate aceste metode se

poate mari precizia în detrimentul timpului de calcul. Ce mai precizează că un indiciu suplimentar al corectitudinii rezultatelor obținute îl constituie faptul că există o bună concordanță privind alina curbei de variație a inducției magnetice după x sau z , obținută prin toate metodele abordate.

În legătură cu folosirea eficientă a metodelor de calcul atâtea câte este necesar de utilă o comparație a acestora și sub aspectul timpului de calcul necesar pentru obținerea soluției, deși nu s-a avut în vedere o analiză amănunțită în această direcție. Pentru exemplul de calcul considerat, se prezintă în tabelul 3.14 timpul de calcul consumat la aplicarea celor patru metode și se constată că metodele analitice sînt echivalente și sub acest aspect. La metoda diferențelor finite cu pas constant, timpul de calcul este substanțial mai mare deși precizia este cea mai scăzută. Cauza o constituie numărul mare de ecuații și convergența slabă a procesului iterativ de calcul. În metoda diferențelor finite cu pas variabil, timpul de calcul este semnificativ redus și totuși (după cum s-a văzut) precizia este mai bună. Rezultă de aici convingerea că în cazul domeniilor cu extindere foarte mare se impune folosirea unei rețele de discretizare cu pas variabil.

Tabelul 3.14. Timpul de calcul la metodele abordate

Metoda	CMB2	CMBL	CDP2	CDP9
Timpul de calcul [s]	150,3	149,9	609	102

Din cele prezentate se pot desprinde și unele recomandări cu caracter mai general privind alegerea metodei de calcul pentru rezolvarea unei probleme date. Astfel, după cum s-a văzut, cele două metode analitice sînt echivalente atât sub aspectul preciziei cât și al timpului de calcul. Cu toate acestea metoda bazată pe integrarea relației lui Hiot-Savart-Laplace este de preferat (în cazul necărilor omogene) deoarece prezintă avantajul exactității și mai important, se poate aplica la geometrii complicate fiind un calcul analitic exact cu care putea efectua referindu-se la metoda diferențelor finite, aceasta este dezavantajoasă în cazul problemelor cu medii omogene (cum a fost cazul bobinelor Helmholtz), deși se poate obține o precizie satisfăcătoare. Metoda se va folosi însă în cazul mediilor neomogene fiind nu se mai pot aplica cele două metode analitice luate în considerare.

C O N C L U Z I I

Problemele mai importante abordate în cursul tezei de doctorat se referă în principal la:

- Rezolvarea unor aspecte caracteristice majore ale diferitelor soluții tehnologice și constructive de bobine pentru cimpuri magnetice puternice și a instalațiilor necesare pentru calculul electromagnetice al sistemelor respective;

- Dezvoltarea unor metode analitice și numerice într-o formă convenabilă folosirii calculatorului electronic pentru determinarea cimpului magnetic în diferite configurații de bobine situate în medii magnetice omogene și neomogene;

- Aplicarea metodelor de calcul prezentate în cazul unor sisteme de interes practic, cum sînt: generatoarele M.B., mașinile sincronice, diferite variante de solenoidi și mașinile unipolare.

În legătura cu particularitățile bobinelor supraconductoare pentru cimpuri magnetice puternice se arată că din punct de vedere al calculului electromagnetice aceste particularități se referă în principal la: densitatea mare de curent; absența pieselor feromagnetice în scopul producerii cimpului magnetic; menținerea stării supraconductoare. În această situație este justificată problema dezvoltării unor metode eficiente de calcul al cimpului magnetic în diferite configurații de bobine situate într-un mediu magnetic omogen. Pe de altă parte, bobinele respective fiind concepute pentru producerea unor cimpuri magnetice puternice, rezultă că în multe situații se impune ecranarea magnetică pentru protejarea aparatului și instalațiilor conexe. Deoarece prezența acestor ecrane afectează cimpul magnetic produs, a fost necesară și abordarea unor metode de calcul al cimpului magnetic în cazul unor medii neomogene. Metodele de calcul dezvoltate au fost aplicate în cazul unor sisteme de interes practic, care au constituit și obiectul mai multor contracte de cercetare științifică.

În continuare se prezintă principalele contribuții originale ale autorului în legătură cu problemele abordate.

În elaborarea unei metode de calcul al cimpului magnetic pentru bobine cu formă oarecare situate în medii omogene și liniare plecînd de la relația lui Biot-Savart-Laplace. Pe baza metodei elaborate s-a conceput și realizat un program de calcul cu aplicabilitate la bobine cu forme geometrice complicate, fără restricții privitoare la poziția punctului în care se calculează cimpul magnetic. Programul elaborat se remarcă prin simplitate și a fost dezvoltat eficient nu numai în cazul

bobinelor cu geometrie complicată cum este cazul generatoarelor HHD, și la bobine cu simetrie axială, pentru care există și alte soluții privind câmpul magnetic.

2. Leucerea și prezentarea într-o formă compactă a unor expresii de calcul pentru câmpul magnetic în cazul unor conductoare rectilinii paralele de lungime mare și dispuse pe un cilindru sub forma unor multipoli. Relațiile s-au dedus în absența sau prezența unor efecte electrostatice locale, dar contribuțiile acestor efecte se referă în mod obișnuit la:

2.1. Unele precizări privind convergența seriilor din expresiile leucerei magnetice, din care rezultă recomandări utile privind alegerea unor dimensiuni geometrice;

2.2. Aplicarea relațiilor de calcul deduse în cazul generatoarelor HHD cu canal de lungime mare și secțiune transversală constantă, dar mai ales în cazul bobinelor pentru generatoare sincrotrone, rezultatele obținute evidențiază influența acestor efecte asupra câmpului magnetic și asupra unor parametri ai regiunii.

3. În cazul bobinelor supraconductoare pentru generatoare HHD, se menționează contribuțiile acestor bobine privind:

3.1. Obținerea expresiei inductivității magnetice corespunzătoare unor spire filiforme, pe axa longitudinală a unui canal divergent;

3.2. Studierea unitară a condițiilor geometrice de obținere a unui câmp magnetic cu uniformitate marită în secțiunea transversală a bobinului. S-au trasat grafice din care se pot determina explicit dimensiunile geometrice respective;

3.3. Elaborarea unui program de calcul al câmpului magnetic în orice punct și a două programe de calcul a forțelor locale și respectiv pe unitatea de lungime. Programele de calcul elaborate s-au aplicat în cazul unor bobine realizate pentru un generator HHD cu canal în formă de arc de cerc. Rezultatele obținute sînt utile și pentru proiectarea sistemului de consolidare.

4. În cazul bobinelor realizate din spire circulare coaxiale într-un câmp toroidal, în principal solenoidal sau combinații de solenoidal, problemele rezolvate sînt legate în mod obișnuit de determinarea câmpului magnetic și de posibilitățile de a obține câmpuri magnetice de mare uniformitate. Contribuțiile acestor bobine în legătură cu aceste probleme sînt:

4.1. Stabilirea expresiilor de calcul al câmpului magnetic în orice punct, pornind de la dezvoltarea în serie a potențialului magnetic generat de una sau mai multe spire circulare filiforme. Se stabilesc de asemenea expresii particulare simple dar reprezentative pentru calculul câmpului magnetic în planul unei spire circulare. Se dau expresii

lor deduse, s-a elaborat un program de calcul al cimpului magnetic, in cadrul caruia s-a eliminat restrictia privind alegerea punctului de calcul astfel incit seriile sa fie convergente;

4.2. s-a particularizat programul general de calcul pe baza relatiei lui ~~Poisson~~-Laplace pentru cazul unor spire circulare si pe baza rezultatelor obtinute prin aplicarea ambelor programe - s-au dat indiciii privind oportunitatea relecturii fiecaruia;

4.3. s-au tratat unitar diferite posibilitati cunoscute pentru obtinerea unor cimpuri magnetice cu grad de uniformitate ridicat si s-au propus patru noi variante de compensare. In legatura cu aceasta s-au realizat programe de calcul care determina valoarea densitatii de curent in diferite zone ale unor solenoidi coaxiali din conditia de a avea acelaasi cimp magnetic intr-un anumit interval de puncte situate pe axa longitudinala. S-a aratat ca este necesar de avantajosa realizarea bobinei sub forma unor trepte cu diametre astfel alese incit sa aproximeze un elipsoid de rotatie.

5. In cazul bobinelor pentru excitatia masinilor unipolare, fiind prezente ecrane feromagnetice, s-a folosit cu metoda de calcul al cimpului magnetic metoda diferentelor finite. Contributiile autorului in acest domeniu snt:

5.1. Stabilirea unor relatii generale in diferente finite pentru potentialul magnetic vector in cazul unor medii neomogene si o retea de discretizare cu pas variabil. Relatiile generale snt si particularizate pentru cazuri uzuale din practica. S-au facut precizari privind stabilirea frontierei domeniului, accelerarea convergentei procesului iterativ de calcul, aproximarea curbei de magnetizare din ca media se considera liniara;

5.2. Pe baza relatiilor stabilite, s-au conceput doua programe de calcul, pentru ecrane liniare si respectiv neliniare;

5.3. S-a determinat factorul optim de accelerare a convergentei in doua situatii si s-a constatat o buna concordanta cu rezultate cunoscute din literatura.

5.4. Rezultatele obtinute prin metoda diferentelor finite s-au verificat in unele cazuri particulare prin metode analitice, obtinandu-se o foarte buna concordanta. Ca urmare s-a putut aprecia ca metoda diferentelor finite conduce la rezultate corecte;

5.5. S-a rezolvat apoi problema determinarii cimpului magnetic si a tensiunii induse in diferite variante de ecranare. Forma bobinei a fost optimizata in sensul ca in absenta ecranului sa se realizeze o tensiune indusa maxima. Rezultatele obtinute permit sa se puna in evidenta influenta ecranului asupra cimpului magnetic, precum si indiciii privind alegerea dimensiunilor acestor ecrane.

6. O contribuție importantă a autorului se referă la aplicarea metodelor de calcul în cazul unor bobine circulare helmholtz la care s-au putut efectua și determinări experimentale. De asemenea s-a conceput și realizat un program de calcul pe baza metodei diferențelor finite la o rețea cu pas variabil în progresie geometrică. Concordanța bună a rezultatelor obținute prin toate metodele de calcul, cu cele experimentale atestă corectitudinea acestor metode. De asemenea, pe baza acestor rezultate s-au putut face unele recomandări privind alegerea metodei de calcul într-o problemă tehnică concretă. Referitor la metoda diferențelor finite, a rezultat că folosirea unei rețele de discretizare cu pas variabil în progresie geometrică în cazul decanților cu extindere mare, este avantajoasă atât sub aspectul preciziei cât și al rapidității obținerii soluției.

7. Fișele programelor de calcul sînt în exclusivitate concepute de autor și s-au rulat la Centrul de Calcul al I.P.T.V. finalizare.

BIBLIOGRAPHY

1. Argot, M. Compléments de matériaux pour l'ingénieur en électrotechnique et télécommunications. France. Les livres français, Bucarest, Editura Technica, 1965
2. Appleton, A.B. Motors, generators and pumps. Low temperatures and electric power, Pergamon Press, 1970
3. Appleton, A.B., Ho Tab, S.M. A novel superconducting motor. Low temperatures and electric power, Pergamon Press, 1970
4. Appleton, A.B., Ross, J.S.H. Aspects of a superconducting machine for a type of motor. Low temperatures and electric power, Pergamon Press, 1970
5. Appleton, A.B. Status of superconducting machines at international research and development centres. England - Spring 1972
6. Arbibagi, M. Distribuția spațială a cîmpului magnetic produs de un solenoid cilindric. An. - Electrotehnica, nr. 6, 1972
7. Atanasiu, M., Constantin, M., Popa, I., Mănuș, M., Borden, I. The analysis of superconducting magnet systems for the 100 e-nergy conversion. Rev. Roum. Sci. Techn. Electrotechn. et Energ., 22,1, 1978
8. Atanasiu, M., Constantin, M., Popa, I., Mănuș, M. Berechnung des Magnetfeldes von Supraleiterspulen verschiedener Geometrie für ein Dipolmagnet. Rev. Roum. Sci. Techn. Electrotechn. et Energ., 22,2, p. 207-215, 1978
9. Atanasiu, M. Câmpul electric de înălțare a supraconductoarelor în câmpurile solenoidale de supraconductibilitate și electrotehnica, Craiova, dec. 1977
10. Atanasiu, M., Constantin, M., Popa, I., Pruden, M., Mănuș, M. Studii documentare științifice privind magnetii supraconductori utilizabili pentru generatoare mari. Protocol (Iaza A) la contractul de cercetare științific nr. 153/21.07.1975, Inst. Fizic - Iordani București
11. Atanasiu, M., Constantin, M., Popa, I., Pruden, M., Mănuș, M. Studii privind câmpul electric de înălțare al supraconductoarelor destinate unui canal de conversie mare cu putere electrică de 1-10 Mw. Protocol (Iaza B) la contractul de cercetare științific nr. 153/21.07.1975, Inst. Fizic, Craiova - Iordani București
12. Atanasiu, M., Constantin, M., Popa, I., Mănuș, M., Borden, I. Calculul electromagnetic mecanic și termic preliminar al electromagnetului supraconductor la cîmpuri mari de conversie mare cu putere electrică de 1-10 Mw. Protocol (Iaza C) la contractul de cercetare științific nr. 153/21.07.1975, Inst. Fizic, Craiova - Iordani București
13. Furusen, G., Cooper, L., Schlichter, C. The theory of superconductivity. Physical Review, vol. 108, nr. 5, 1957, p. 1175-1204
14. Barthelmy, R., Uffly, C. C. Time magnets for the generators. Proceedings of a symposium on magnetohydrodynamic electrical power conversion, Zurich, 1966
15. Butakov, J., Vesiliev, V., Trunchev, G.V. A voprosu ob optimizatsii kriogenih u sverhprovodivlichih magnetnih sistemah i generatorov. Proceedings of a symposium on magnetohydrodynamic electrical power conversion, Zurich, 1966

16. Jona, M., Kemerik, P. Behavior of a large superconducting MAGNET. Fifth International Conference on Magnetohydrodynamic Electrical Power Generation, Moscow, 1971
17. Ortoljik, T. Turbogeneratoren mit Supraleitender Erregerrücklung. *Zeit. f. Hochspann.*, Bd. 17, p. 1040-1050, 1973
18. Ortoljik, T. Superconducting Magnet Systems. Springer-Verlag, Berlin, 1973
19. Ortoljik, T. Supraleitung. Grundlagen und Anwendungen, Physik Verlag, 1972
20. Sacur, C.M., Popescu, C.I., Dizon, G.M. Matematici speciale - calcul numeric. ad. did. și ped., Bucurști, 1963
21. Ortoljik, T. Maintenance of MAGNET Power Generation. Springer-Verlag, Berlin, 1972
22. Ciupeanu, M. Unele probleme constructive și funcționale specifice mașinilor sincrone supraconductoare. Lucrările Colegiului de Supraconductibilitate și Crioelectrotehnică, Craiova, 1977
23. Constantin, S., Radu, M. Contribuții la calculul câmpului magnetic și al rezistențelor la mașinile sincrone cu excitație supraconductoare. *Electrotehnică*, Nr. 1, p. 25-32, 1979
24. Constantin, S., Radu, M. Particularități în determinarea parametrilor și a solicitărilor mecanice la mașinile sincrone cu excitație supraconductoare. Lucrările celui de al II-lea Colegiu Național de Criogenie Crioelectrotehnică și Electrotehnică aplicată, Craiova, mai 1980
25. Constantin, S., Radu, M. Cu privire la unele criterii în proiectarea generatorilor sincrone supraconductoare. Lucrările celui de al II-lea Colegiu Național de Criogenie Crioelectrotehnică și Electrotehnică aplicată, Craiova, mai 1980
26. Constantin, S., Radu, M. Particularități în patrunderea câmpului electromagnetice în corpuri supraconductoare, conductoare și dielectrice. *Coloq. și Semin. al IPTV Timișoara, Electrotehnică*, Tom 20(40), Fasc. 1-1981, p. 15-26
27. Constantin, S., Radu, M. Considerații privind metodele de uniformizare a câmpului magnetic la bobine solenoidale supraconductoare. *Coloq. și Semin. al IPTV Timișoara, Electrotehnică*, Tom 20(40), Fasc. 2-1981, p. 17-24
28. Constantin, S., Radu, M. Posibilitate de realizare a unor bobine de câmp magnetic uniform. *Electrotehnică*, Nr. 1, 1982, p. 31-34.
29. Constantin, S., Radu, M. Beitrag zur Berechnung der Erregerspulen von Supraleitenden Synchronmaschinen. *Coloq. și Semin. al IPTV Timișoara, Electrotehnică*, Tom 20(42), p. 5-9, 1983
30. Constantin, S., Radu, M. Influența ecranelor feromagnetice asupra câmpului magnetic produs de bobine cilindrice scurte. Conferința Națională de Electrotehnică și Electromergetică, Vol. 1, *Revista Electrotehnică* 1, p. 59-70, Timișoara, sept. 1982
31. Constantin, S., Radu, M. Contribuții la calculul câmpului magnetic produs de bobine cilindrice în prezența unui ecran feromagnetic coaxial. *Coloq. și Semin. al IPTV Timișoara, Electrotehnică*, Tom 29(43), p. 11-14, 1984
32. Constantin, S., Radu, M., Popescu, V. Studii și calculul câmpului

magnetic la diferite configurații de mașini dintr-o utilizare excitării supraconductoare. Protocol în cadrul contractului cu Școala Științifică de Inginerie, IRTV Timișoara - ICI Electroputere Craiova

33. Constantin, A., Bada, P., Poșcu, V. Calculul parametrilor, a solicitărilor și aluziilor unei mașini de proiectare pentru un generator sincron de mică putere cu excitație supraconductoare. Protocol în cadrul contractului de cercetare științifică nr. 140/1977, IRTV Timișoara - ICI Electroputere Craiova
34. Constantin, A., Bada, P. Calculul câmpului magnetic și al forțelor electromagnetice la un solenoid supraconductor cu bobinaj. Protocol la subcontractul de cercetare științifică între Centrul IRTV Timișoara, Școala Electrotehnică - Utilizări și mașini electrice, 1979
35. Constantin, A., Bada, P., Irișia, P. Calculul câmpului magnetic și al forțelor electromagnetice la un solenoid de isoconductor. Protocol la subcontractul de cercetare științifică nr. 151/1980, între Centrul IRTV Timișoara, Școala Electrotehnică - Utilizări și mașini electrice
36. Constantin, A., Paun, E., Irișia, P., Frînel, D., Igba, D. Cercetarea și elaborarea metodei de calcul a distribuției câmpului magnetic și a forțelor electromagnetice în crioanșii electrice unipolare. Protocol la subcontractul de cercetare științifică nr. 149/2/1981, între Centrul IRTV Timișoara, Școala Electrotehnică - Utilizări și mașini electrice.
37. Cruceran, L. Crioelectrotehnica și criza energetică actuală. Luarea în considerare a supraconductibilității și crioelectrotehnica, Craiova, 1977, p. 1-11
38. Cruceran, L., Igba, D. Crioelectrotehnica. Volumul cel 1 - 256. ed. științifică, 1973
39. Delile, G. Etude comparée des diverses procédés d'obtention d'un champ magnétique pour générer un inducteur. International Symposium on Magnetohydrodynamic Electrical Power Generation, Paris, 1964
40. Denicovici, S.P., Baron, J.A. Computational mathematics. Translation from the Russian, Mir publishers, Moscow, 1976
41. Dinu, P. Programarea în FORTRAN. Ad. did. și ped., București, 1971
42. Dinu, P., Irișia, P. Metode de calcul numeric. Ad. did. și ped., București, 1970
43. Denicovici, J. Procédés expérimentaux à l'ère pour générer un inducteur. International Symposium on Magnetohydrodynamic Electrical Power Generation, Paris, 1964
44. Denicovici, J., Balay, J. Etudes sur la stabilisation des bobines supraconductrices. Proceedings of a Symposium on Magnetohydrodynamic Electrical Power Generation, Calabar, 1960
45. Denicovici, J. Étude des courants de court-circuit géométrique. Revue de l'électricité, vol. 77, n. 2, p. 193-203, 1968
46. Dordea, L. Mașini electrice. Ad. did. și ped., București, 1977
47. Dordea, L., Constantin, A., Bada, P. Calculul câmpului magnetic și al forțelor electromagnetice pentru un magnet supraconductor cu bobinaj în și în două variante cu înălțime magnetică de 0 T și 2 T. Protocol la contractul de cercetare științifică nr. 120/1975, IRTV Timișoara - ICI Electroputere Craiova

48. Dumitrescu, L., Pătruț, St., Stan, St. Invățăm FORTRAN conversind cu calculatorul. Vol. 1,2, ed. Tehnică, București, 1982
49. Darand, S. Electrostatique et Magnéto-statique. Masson, 1953
50. Deung, Loo. Production of an uniform magnetic field for MHD generators. Proceedings of Symposium on Magnetohydrodynamic Electrical Power Generation, Warsaw, 1968
51. Feynman R. Fizica modernă. Mecanica cuantică. Traducere din limba engleză, ed. Tehnică, București, 1970
52. Gomer, S., Schwerts, J. Superconducting Machines and Devices, Large Systems Applications. Plenum Press, New York, 1974
53. Rughini, K. Compact superconducting magnet utilizing multilayer insulation for MHD power generation research. Fifth International Conference on Magnetohydrodynamic Electrical Power Generation, München, 1971
54. Rughini, K. Applications of superconducting magnets in Japan. Cryogenics, Nr. 10, 1970, p.116
55. Fürsien, H. Der Turbogenerator mit supraleitender Anregwicklung in transienten betrieb. Archiv für Elektrotechnik, vol.57, p. 291-296, 1976
56. Goster, G.F., Parker, G.S. High Magnetic Fields. John Wiley, New York, 1962
57. Gadanov, M.A., Acobenci, V.S. Scheme de calcul cu diferențe finite. Traducere din limba rusă, ed. Tehnică, București, 1977
58. Goulet, M., Kaylis, J., Lindley, M.C. Superconductivity and its applications to power engineering. Proc. IEE, IEE Review, vol.119, Nr. 82, 1972
59. Harrowell, A.V., Morris, I.I. Some aspects of the design of magnets for MHD generators. International Symposium on Magnetohydrodynamic Electrical Power Generation, Paris, 1964
60. Harrowell, A.V. Feasibility of a power transformer with superconducting windings. Proc. IEE, vol. 117, 1970, p.133-140
61. Hatch, A.M. Characteristics of superconducting magnets for large MHD generators. AEC Everet Research Laboratory, 1976
62. Meunier, J.F. Structure du stator d'un cryoalternateur. Arrangement et protection de l'enroulement. Rev.gen.de l'électricité, vol. 86, Nr.1, 1977, p. 21-26
63. Heywood, J.B., Amack, C.J. Open-cycle MHD Power Generation. Pergamon Press, Oxford, 1969.
64. Hirai, K. A lightweight superconducting magnet for a test facility of magnetic suspension for vehicles. 4th International Conference on Magnet Technology at BNL, 1972
65. Izaru, L.G. Metode numerice pentru ecuații diferențiale cu aplicații, ed. Acad. RSR, București, 1979
66. Janks, G., Luce, F., Loan, F. Tafeln für Funktionen, B.G. Teubner Verlagsgesellschaft, Stuttgart, 1960
67. Jeffries, M.J. Prospects for superconductive generators in the electric utility industry. IEE Transaction PAS, vol. 92, Nr.5, 1973
68. Karasik, B.F. Fizica i tehnica silinilor magnetice polsi. 1964
69. Kild, H., Westendorp, W.F. General Electric report, 1967

70. Mittel, G. Introducere în fizica corpului solid. Traducere din limba engleză, ed. Tehnică, 1970
71. Klein, G. High magnetic fields and magnetohydrodynamic generator. Symposium on Magnetohydrodynamic electrical power generation, University of London, 1962
72. Komarek, F. Superconducting magnets in the world of energy, especially in fusion power. Cryogenics, nr.3, 1976
73. Kullmann, W. Supraleitende Generatoren und Motoren, VDI Nachrichtenwerk, Nr 2810, 1976
74. Linton, A. Avernoprovednosti. Izdatelstvo MIR, 1971
75. Lontai, L.S., Kerston, P.G. Proc. Int. Symp. Magnet Techn., 1965
76. Kasser, S. Elektrische Maschinen mit Supraleitern. Vorträge für Anwendung der Supraleitung, Karlsruhe, 1972
77. McCracken, D.D., Born, A.S. Metode numerice cu programare în Fortran IV. Traducere din limba engleză, ed. Tehnică, București, 1976
78. Sofee, N. Optimum input leads for cryogenic apparatus. Rev. Sci. Instr. vol.30, nr.2, p.98-102, 1959
79. Kintaru, Gh., Radulescu, M.A. Analiza numerică a cîmpului electromagnetic. Atelierul de multiplicare al IP Cluj-Napoca, 1963
80. Kocanu, C.I. Teoria cîmpului electromagnetic. Ed. did. și ped., București, 1981
81. Montgomery, D.S., Weggel, R.J., Leopold, M.J., Yehh, S.B., Wright, R.L. Superconducting magnet system for intravascular navigation. J. appl. Phys., vol. 40, 1969, p.2129-2132
82. Montgomery, D.S. Superconducting magnets for base load sub generators. 1975
83. Montgomery, D.S. Solenoid magnet design, the magnetic and electrical aspects of resistive and superconducting systems. Wiley-Interscience, New York, 1967
84. Monti, G., Morini, A., Farde, B. Steady state analysis of the magnetic fields and eddy currents in the rotating screen of a superconducting alternator. Archiv für Elektrotechnik, vol. 57, p. 319-328, 1976
85. Mori, A., Jackson, A. 1976 EMB Status Report. Superconducting magnets, for the EMB Liaison Group Meeting, Vienna, 1976
86. Müller, G. Die Anwendung der Superleitung bei rotierenden elektrischen Maschinen. Elektr. vol.25, nr.4, 1971, p.133-139
87. Müller, G. Auslegung von Synchronmaschinen für mittlere Leistungen mit supraleitender Erregwicklung. Elektr. vol.25, nr.4, 1971, p.139-142
88. Newhouse, V.L. Applied Superconductivity. Academic Press, New York, 1975
89. Nicolaiuc, A. Producerea energiei electrice pe cale magnetohidrodinamică, ed. Tehnică, București, 1968
90. Nicolaiuc, A. Bazele fizice ale electrotehnicii. ed. Științ. românească, Craiova, 1963
91. Niculescu, St. Inițiere în Fortran. ed. Tehnică, București, 1972
92. Ucharenko, V.A. Large superconducting magnets - a key issue in commercialization of sub. cryogenics, vol.10, nr.6, 1978.

93. Peruch, G.P. Superconducting detector magnet Plute for the electron-positron storage ring at DESY. Fourth International Conference on Magnet Technology, Breckhaven, 1972
94. Pașăre, S. Calculul distribuției spațiale a cîmpului magnetic produs de un solenoid cilindric. *EA-Electrotehnica*, nr.8, 1980
95. Powell, R.L. Definitions of terms for practical superconductors. 1. Fundamental states and flux phenomena. *Cryogenics*, vol. 17, nr. 12, 1977
96. Powell, R.L. Definitions of terms for practical superconductors. 2. Critical parameters. *Cryogenics*, vol.18, nr.3, 1978
97. Pușcașu, S., Bades, M. Conceptele fundamentale ale crioelectrotehnicii. Partea I. *EA-Electrotehnica*, vol.25, nr.1, 1977, p. 1-9
98. Pușcașu, S., Bades, M. Conceptele fundamentale ale crioelectrotehnicii. Partea II. *EA-Electrotehnica*, vol.25, nr.4, 1977, p. 149-157
99. Pușcașu, S. Aspecte actuale ale utilizării supraconductibilității în construcția de mașini electrice rotative. *EA-Electrotehnica*, vol.25, nr.3, 1977
100. Pușcașu, S. Unele probleme actuale și de perspectivă în electrotehnica aplicată. *EA-Electrotehnica*, vol.26, nr.5, 1978, p. 115-120
101. Pușcașu, S., Ștefănescu, M., Rozen, V. Calculul conductorilor de curent de legatură pentru instalațiile criogenice. Lucrările celui de-al II-lea Colegiu Național de Criogenie Crioelectrotehnică și Electrotehnică aplicată, vol.1, Craiova, 1980
102. Pușcașu, S., Ștefănescu, M., Isar, I., Rozen, V., Socol, M. Unele probleme ale proiectării criotransformatoarelor rezistive. Lucrările celui de-al II-lea Colegiu Național de Criogenie Crioelectrotehnică și Electrotehnică aplicată, vol.1, Craiova, 1980
103. Pușcașu, S., Bades, M. Unele probleme ale electrotehnicii circuitelor supraconductoare. *EA-Electrotehnica*, vol.27, nr.2, 1979, p.48-54.
104. Macoveanu, M., Lodescu, Gh., Mincu, J., Metode numerice pentru ecuații cu derivate parțiale de tip parabolic. *Ed.Tehnica*, București, 1977
105. Madu, D. Calculul cîmpului magnetic al unei bobine de formă necilindrică. *Bul.St.și Revistă al IPTV Timișoara, Electrotehnica*, Tom 24(38), Fasc. 2-1979, p.23-31
106. Madu, D. Calculul cîmpului magnetic și al forțelor electromagnetice la o bobină de tip șe divergentă. Comunicare la sesiunea științifică a fac. de Electrotehnica, IPTV Timișoara, octombrie 1979
107. Madu, D., Constantin, A. Considerații privind determinarea cîmpului magnetic și a forțelor electromagnetice la un solenoid supraconductor. Lucrările celui de-al II-lea Colegiu Național de Criogenie Crioelectrotehnică și Electrotehnică aplicată, Craiova, mai 1980
108. Măduleț, K. Bazele electrotehnicii. Probleme I. *Ed. did. și ped.*, București, 1970

109. Koss, R.J. Magnetohydrodynamic Energy Conversion. McGraw-Hill Book Company, New York, 1968
110. Miha, A. Dezvoltarea curselor neconventionale de producere a energiei electrice și impactul asupra mediului ambiant. Energetica, vol.23, Nr.9, 1976
111. Salvatori, M.G., Baren, M.L. Metode numerice în tehnică. Tracuzare din limba engleză, sc. Tehnică, 1972
112. Schaffernak, A.F. Beitrag zum technischen Verständnis der physikalischen Supraleitungstheorien. Parte I. A.E.H., Nr. 3, 1972, p. 103-113
113. Schaffernak, A.F. Beitrag zum technischen Verständnis der physikalischen Supraleitungstheorien. Parte II. A.E.H., Nr. 12, 1972, p. 201-211
114. Schaffernak, A.F. Der Typ-I-Supraleiter im Sprungübergang in einem Magnetfeld. Archiv für Elektrotechnik, Nr.3, 1974, p.112-119
115. Sergi, J. Berechnung des magnetischen Feldes und der Wicklungsinduktivitäten bei einem Längsstromfeld mit Supraleitender Ankerwicklung. Archiv für Elektrotechnik, vol.20, Nr.4, 1974, p.150-158
116. Sorensen, A. Superconductivity. University Press, 1960
117. Simony, A. Electrotehnica teoretică. Tracuzare din limba engleză, sc. Tehnică, 1974
118. Siver, V.V., Senkevici, I.B., Andrianov, V.V. Periodic processes in magnetohydrodynamic systems. Proceedings of a Symposium on Magnetohydrodynamic Electrical Power Generation, Malabar, 1966
119. Stanculescu, V. Criteriul electrice și aplicații ale crio-electrotehnicii. A.E.H., vol.24, Nr.3, 1976, p. 116-123
120. Stanculescu, V. Supraconductari și materiale crio-electrotehnice. A.E.H., vol. 23, Nr.5, 1975, p.227-232
121. Stekly, Z. A large experimental superconducting magnet for MW power Generation. International Institute of Refrigeration, 1966
122. Stekly, Z. Superconducting Magnets for MW Generators. Proceedings of a Symposium on MW Electrical Power Generation, Zurich, 1965
123. Stekly, Z., Chase, A. Characteristics of MW Generator Using Superconducting Field Coils. Fifth International Conference on Magnetohydrodynamic Electrical Power Generation, München, 1971
124. Swartz, P.L. Superconducting materials magnets and applications 1961-1973
125. Șabac, I. Gh. Metodele speciale. Vol.I. Adică și ped., București, 1981
126. Șabac, I. Gh., Cecirian, A., Stănișila, C., Popala, A. Metodele speciale, vol II, Adică și ped., București, 1983
127. Șona, I. Metoda optimizării electrotehnice la generatoare post-totale. Proceedings of a Symposium on Magnetohydrodynamic Electrical Power Generation, Malabar, 1966

128. Kern, C. Bazele electrotehnicii, a doua ediție revizuită, București, 1962
129. Kinn, R. A stable low voltage 1000 A d.c. supply. Cryogenics, vol.14, Nr.4, 1974
130. Mallon, P. An experimental alternator with a superconducting field winding. IAS Transactions PAS, vol.90, 1971, p.611-619
131. Vrăciu, Gh., Popa, A. Metode numerice cu aplicații în tehnica de calcul, vol.1. Seria românească, Oradea, 1982
132. Wisler, V. Aparatură electrică industrială. Vol II. Ed. Tehnică, București, 1969
133. Wilson, G.W., Roberts, D.G. Superconducting magnets for magnetoplasma-dynamic power generation. Symposium on Magnetoplasma-dynamic Electrical Power Generation, University of Durham, 1962
134. Woodard, H.H., Stucaly, S.J., Giles, D. A study of alternators with superconducting field windings. IAS Trans. PAS, vol. 85, Nr. 3, 1960, p.264-280
135. Woodson, H.H. The application of superconductors in the field windings of large synchronous machines. IAS Trans. PAS, vol.90, Nr.28 1971, p.620-627
136. Yamamoto, T. Semi-superconductive rotary machine. Low temperatures and electric power, Pergamon Press, 1970, p.285-289
137. Background and capabilities. Avco Everett Research Laboratory, 1975
138. Supraleitende Magnetsysteme. Siemens Aktiengesellschaft, 1975
139. ICPA - Studii și cercetări în domeniul criogenicii și electrotehnicii. Cercetări asupra materialelor supraconductoare și a altor materiale la temperaturi joase. Documentație ICPA - 1235, 1973
140. Fizica și Tehnica Sîmînă magnetnîh polei (sbornik referatov), Atomizdat, Moscova, 1970

A N E X A 1

*** CALCULUL CIMPULME MAGNETI AL UNUI SOLENOID
PRIN APROXIMAREA SPIREI CU UN POLIGON

```

DIMENSION X(99),Y(99),Z(99) X(199),Z(199),
+FX(99),FZ(99),FY(99),FZT(99),FG(99)
READ(105,1) HZ,H2,H3,NZ,NL,NR,NFC
4 FORMAT(2F10.5,2I5)
NP=NR+NZ
RC=-HR
DO 5 IV=1,NP
RC=RC+HZ
ZC=ZC+HZ
IL=(IV-1)*AZ
DO 5 IF=1,NZ
ZC=ZC+HZ
I=IL+IF
XP(I)=RC
5 ZP(I)=ZC
PI=3.1415926
KOD1=1
7 CONTINUE
DO 16 K=1,NP
FXT(K)=1.
16 FZT(K)=1.
17 READ(105,2) A1,A2,C1,C2,DEN C,N,KCC
18 FORMAT(4F10.6,F10.3,3I5)
WRITE(106,3)
333 FORMAT(10F10.7)
WRITE(106,2) NL,C1,DENSC,N,NL,KCC,A2,C2
23 FUR4AT(106,4) F7.6,2X,C1=1,F7.6,2X,
+DENSC=1,2X,F7.6,2X,I=1,I2=2X,NL=1,
+I2=2X,NL=1,I2=2X,NL=1,
GZ=(C2-C1)/N
GY=(A2-A1)/N
FEX=2*GZ+GY+DENSC
IF(GZ=0)GO TO 57
56 GM=37
GO TO 53
57 GM=GY
58 U=2*PI/NL
FC=270+SI.(U/2)/COS(U/2)
A=A1+GY/2
NL1=NL/4+2
NL2=NL/2
NL3=NL2+1
NL4=NL3+1
DO 73 I=1,N
C=C1+GZ/2
X(I)=A
Y(I)=1.
X(NL3)=-X(I)
Y(NL3)=Y(I)
DO 55 I=2,NL2
U=U*(I-1)
X(I)=FC+A+COS(U)
X(NL4-I)=-X(I)
Y(I)=FC+A+SI(U)
35 Y(NL4-I)=Y(I)
DO 72 I=1,NL3
DO 46 I=1,NL3
46 Z(I)=0
15 CONTINUE
DO 61 K=1,NP
FX(K)=1.
FZ(K)=1.
DO 67 I=1,NL2
J=I+1
DNX=ZP(K)*(Y(J)-Y(I))+Y(I)*X(J)-Y(J)*X(I)
+X(J)*Y(I)
DNY=(XF(K)-Y(I))*Z(J)-Z(I)-(ZF(K)-Z(I))*
+X(J)-Y(I)
DNZ=XP(K)*(Y(I)-Y(J))+X(I)*Y(J)-X(J)*Y(I)
DNP=DNX+DNY+DNZ+FC/2
DN=SQRT(DNP)
ABP=(X(J)-X(I))^2+(Y(J)-Y(I))^2+(Z(J)-Z(I))^2

```


A N N O A 1

```

A3=SQRT(A3P)
RP=JMP/AMP
R=SQRT(A3P)
IF(K.LI,31,7) GO TO 67
R1P=(XP(K)-X(I))*A2+Y(I)*A2 (ZP(K)-Z(I))*A2
R2P=(XP(K)-X(J))*A2+Y(J)*A2 (ZP(K)-Z(J))*A2
R1=SQRT(R1P)
R2=SQRT(R2P)
COSA1=(R1P+R2P-R1P)/(R1*A3)
COSA2=(R2P+R1P-R2P)/(R2*A3)
F=(COSA1+COSA2)/2
FX(K)=FX(K)+F*A2/X/0.1
FZ(K)=FZ(K)+F*A2/Z/0.1
67 CONTINUE
69 CONTINUE
DO 31 K=1,NP
FXT(K)=FXT(K)+FX(K)*FEX
31 FZT(K)=FZT(K)+FZ(K)*FEX
IF(Z(1))72,72,71
71 DO 47 I=1,NL3
47 Z(I)=0
GO TO 75
72 D=C+GZ
73 A=A+GX
IF(KODC,20,1) GO TO 17
WRITE(1,3)X,Z,P,9X,'Z2',8X,
+3X,'BR',12X,'/10X,59(')
DO 95 K=1,NP
FG(K)=SQRT(FXT(K)*A2+FZT(K)*A2)
95 WRITE(1,3)X,ZP(K),XP(K),ZT(K),FXT(K),FG(K)
21 FORMAT(1X,12.2F9.5,3E13.5)
IF(KODC,20,1) GO TO 24
24 CONTINUE
IF(LIPC,20,1) GO TO 17
WRITE(1,3)X,S
93 FORMAT(/10X,'V',10X,'RP',7X,'RF*B2',
+5X,'UE',10X,'/10X,35(')
PS=XP(1)*FZT(1)
S=0
DO 95 K=1,NP
PD=XP(K)*FZT(K)
S=S+(PS+PD)*(XP(K)-XP(K-1))
WRITE(1,3)X,XP(K),PD,S
95 FORMAT(1X,12.3F11.6)
PS=PD
96 CONTINUE
97 IF(KODJ,5,1) STOP
KODJ=KODJ+1
GO TO 7
END

```

A N N E X A 1

A1 = 0.7425 D1 = 0.765
A2 = 0.1975 D2 = 0.785

K	ZP	RP	Z	R
1	000000	000000	000000	000000
2	000000	000000	000000	000000
3	000000	000000	000000	000000
4	000000	000000	000000	000000
5	000000	000000	000000	000000
6	000000	000000	000000	000000
7	000000	000000	000000	000000
8	000000	000000	000000	000000
9	000000	000000	000000	000000
10	000000	000000	000000	000000
11	000000	000000	000000	000000
12	000000	000000	000000	000000
13	000000	000000	000000	000000
14	000000	000000	000000	000000
15	000000	000000	000000	000000
16	000000	000000	000000	000000
17	000000	000000	000000	000000
18	000000	000000	000000	000000
19	000000	000000	000000	000000
20	000000	000000	000000	000000
21	000000	000000	000000	000000
22	000000	000000	000000	000000
23	000000	000000	000000	000000
24	000000	000000	000000	000000
25	000000	000000	000000	000000
26	000000	000000	000000	000000
27	000000	000000	000000	000000
28	000000	000000	000000	000000
29	000000	000000	000000	000000
30	000000	000000	000000	000000
31	000000	000000	000000	000000
32	000000	000000	000000	000000
33	000000	000000	000000	000000
34	000000	000000	000000	000000
35	000000	000000	000000	000000
36	000000	000000	000000	000000
37	000000	000000	000000	000000
38	000000	000000	000000	000000
39	000000	000000	000000	000000
40	000000	000000	000000	000000
41	000000	000000	000000	000000
42	000000	000000	000000	000000
43	000000	000000	000000	000000
44	000000	000000	000000	000000
45	000000	000000	000000	000000
46	000000	000000	000000	000000
47	000000	000000	000000	000000
48	000000	000000	000000	000000
49	000000	000000	000000	000000
50	000000	000000	000000	000000
51	000000	000000	000000	000000
52	000000	000000	000000	000000
53	000000	000000	000000	000000
54	000000	000000	000000	000000
55	000000	000000	000000	000000
56	000000	000000	000000	000000
57	000000	000000	000000	000000
58	000000	000000	000000	000000
59	000000	000000	000000	000000
60	000000	000000	000000	000000
61	000000	000000	000000	000000
62	000000	000000	000000	000000
63	000000	000000	000000	000000
64	000000	000000	000000	000000
65	000000	000000	000000	000000
66	000000	000000	000000	000000
67	000000	000000	000000	000000
68	000000	000000	000000	000000
69	000000	000000	000000	000000
70	000000	000000	000000	000000
71	000000	000000	000000	000000
72	000000	000000	000000	000000
73	000000	000000	000000	000000
74	000000	000000	000000	000000
75	000000	000000	000000	000000
76	000000	000000	000000	000000
77	000000	000000	000000	000000
78	000000	000000	000000	000000
79	000000	000000	000000	000000
80	000000	000000	000000	000000

A N E X A 2

*** CALCULUL CIMPULUI MAGNETIC AL UNUI SILENCIUS
UTILIZIND POLINOAMELE LEGENDRE ***

```

DIMENSION RP(100), ZP(100), BZ(100), BR(100), BZT(100),
* BRT(100), J(100)
* READ(10,*) FZ, HZ, FZ, HZ, NVAR
4 FORMAT(2F10.5, 1*1F)
NP=NR*NZ
RC=-HR
DO 5 IV=1, NP
RC=RC+HR
ZC=-FZ
IL=(IV-1)*ANZ
DO 5 IH=1, NZ
ZC=ZC+HZ
I=IL+IH
RP(I)=RC
IF(ZC.EQ.1. AND RC.EQ.0) RP(I)=RC/2.
5 ZP(I)=ZC
KM=491
KOD1=1
7 CONTINUE
DO 10 K=1, NP
BZT(K)=0.0
BRT(K)=0.0
10 CONTINUE
15 READ(10,*) A1, A2, D1, D2, DENSC, M, N, KCC
16 FORMAT(5F10.5, 3I5)
PI=3.141593
ER=2*PI/SQRT((A1**2+(D1**2)/M**2))
* WRITE(10,*) ER
335 FORMAT(1*17//)
WRITE(10,*) ER, DENSC, M, N, KCC, A2, D2, ER
17 FORMAT(17//)
+ F6.2, 2X, 'I=', TC, 2X, 'M=', I2, X, 'KCC=', I2/
+ BX, 'A2=', F6.4, 2X, 'D2=', F6.4, 2X, 'ER=', F8.3/
WRITE(10,*) ER, D2
20 FORMAT(11X, 'K', 5X, 'ZP', 7X, 'BZ', 8X, 'BR',
+ BX, 'B' / 1 X, 'C2(1*1)')
GZ=(D2-D1)/M
GR=(A2-A1)/M
FEX=0.29GZ*GR*DENSC
A=A1+GR/2
DO 23 IN=1, M
D=D1+GZ/2
DO 22 IM=1, M
CALL PERSP(NP, KM, A, D, ER, RP, P, BZ, BK)
DO 30 K=1, NP
BZT(K)=BZT(K)+57*(K)*FEX
BRT(K)=BRT(K)+57*(K)*FEX
30 CONTINUE
D=D+GZ
22 CONTINUE
A=A+GR
23 CONTINUE
DO 40 K=1, NP
B(K)=SQRT(BZT(K)**2+BRT(K)**2)
WRITE(10,*) K, ZP(K), RP(K), BZT(K), BRT(K), B(K)
50 FORMAT(10X, I2, 2F9.5, 2X, 3F10.6)
40 CONTINUE
IF(KCC.EQ.1) GO TO 25
GO TO 15
25 IF(KCC1.EQ.NVAR) STOP
KOD1=KOD1+1
GO TO 7
END
SUBROUTINE PERSP(NP, KM, A, D, ER, RP, ZP, BZ, BR)
DIMENSION RP(NP), ZP(NP), BZ(P), BR(NP)
DIMENSION FT(500), PA(500), DT(500), CPA(500)
PI=3.141593
C=SQRT(A**2+D**2)
ALFA=ATAN(A/D)
PA(1)=1.
PA(2)=COS(ALFA)

```

ANEXA 2

```

DPA(2)=SIN(ALFA)
PT(1)=1.
DO 100 I=1,NP
R=SQRT(ZP(I)**2+ZD(I)**2)
IF(ZP(I)-.0000001)71,71,72
71 TETA=PI/2
GO TO 58
72 TETA=ATAN(RP(I)/ZP(I))
58 CONTINUE
X1=500.
Y1=500.
BR(I)=.
PT(2)=COS(TETA)
IF(R.GT.C) GO TO 14
COD=1
RZ=R
RC=R-C
AM=ABS(RC)
IF(AM/C-.02)110,111,111
110 R=0.96*C
COD=COD+1
GO TO 111
120 R=0.97*C
BZ(I)=.
X1=500.
COD=COD+1
111 CONTINUE
DO 11 K=1,KM,2
N1=K-1
X=2*PI/C+SIN(ALFA)*(R/C)**N1*DPA(K+1)*PT(K)
BZ(I)=PZ(I)+X
VARX=ABS(X)+ABS(Y)
X1=X
IF(VARX.LT.FE)GO TO 12
K1=K+1
K2=K+2
K3=K+3
C1=(2*K+1.)/K
C2=K/(K+1.)
C3=(2*K+3.)/K
C4=(K+1.)/K
PT(K2)=C1*COS(TETA)*PT(K1)-2*P1(K)
PT(K3)=C3*COS(TETA)*PT(K2)-4*P1(K1)
PA(K2)=C1*COS(ALFA)*PA(K1)-2*PA(K)
PA(K3)=C3*COS(ALFA)*PA(K2)-4*PA(K+1)
DPA(K3)=K2/SIN(ALFA)*(PA(K2)-COS(ALFA)*PA(K3))
11 CONTINUE
12 IF(COD-2.0)130,131,132
131 BZ1=BZ(I)
R1=R
GO TO 120
132 BZ2=BZ(I)
R2=R
BZ(I)=BZ2+(BZ3-BZ2)*(K2-R2)/(R2-R1)
13 CONTINUE
COD=1
IF(AM/C-.02)140,141,141
140 R=R1
COD=COD+1
GO TO 141
150 R=R2
BR(I)=.
Y1=500.
COD=COD+1
141 CONTINUE
DO 13 K=1,KM,2
IF(TETA-.0000001)25,25,26
25 Y=0.0
GO TO 26
26 CONTINUE
K1=K+1
K2=K+2
K3=K+3
C1=(2*K+1.)/K
C2=K/(K+1.)
C3=(2*K+3.)/K

```

A N E X A 2

```

C4=(K+1.)/K2
PT(K2)=C1*COSS(TETA)*PT(K1)- 2*PT(K)
DPT(K2)=K1/SIN(TETA)*(PT(K2)-COSS(TETA)*PT(K1))
PA(K2)=C1*COSS(ALFA)*PA(K1)- 2*PA(K)
PA(K3)=C3*COSS(ALFA)*PA(K2)- 4*PA(K1)
OPA(K3)=K2/SIN(ALFA)*(PA(K2)-COSS(ALFA)*PA(K3))
Y=2*PI/C*5IN(ALFA)/K2*(R/C)*K1*CPA(K3)*CPT(K2)
29 CONTINUE
BR(I)=BR(I)-Y
VARY=ABS(Y1)+ABS(Y)
Y1=Y
IF(VARY.LT.FRIG TO 20
PT(K3)=C3*COSS(TETA)*PT(K2)- 4*PT(K1)
13 CONTINUE
209 IF(COD=2.1)11,1.1,1.2
101 BR1=BR(I)
GO TO 15
102 BR2=BR(I)
BR(I)=BR2+(BR2-BR1)*(RZ-R2)/(R2-R1)
GO TO 100
14 CONTINUE
COD=1
RZ=R
RC=R-C
AM=ABS(RC)
IF(AM/C=1.1)210,211,211
210 R=1.04*C
COD=COD+1
GO TO 211
22 R=1.03*C
BZ(I)=0.
X1=500.
COD=COD+1
211 CONTINUE
DO 15 K=1,KM,2
K1=K+1
K2=K+2
K3=K+3
C1=(2*K+1.)/K1
C2=K/(K+1.)
PT(K2)=C1*COSS(TETA)*PT(K1)- 2*PT(I)
X=2*PI/C*5IN(ALFA)*(C/R)*K *CPA(K1)*PT(K2)
BZ(I)=BZ(I)+X
VARX=ABS(X1)+ABS(X)
X1=X
IF(VARX.LT.FRIG TO 16
C3=(2*K+2.)/K2
C4=(K+1.)/K2
PT(K3)=C3*COSS(TETA)*PT(K2)- 4*PT(I)
PA(K2)=C1*COSS(ALFA)*PA(K1)- 2*PA(I)
PA(K3)=C3*COSS(ALFA)*PA(K2)- 4*PA(K1)
OPA(K3)=K2/SIN(ALFA)*(PA(K2)-COSS(ALFA)*PA(K3))
15 CONTINUE
16 IF(COD=2.1)230,231,232
231 BZ1=BZ(I)
R1=R
GO TO 22
232 BZ2=BZ(I)
R2=R
BZ(I)=BZ2+(BZ2-BZ1)*(RZ-R2)/(R2-R1)
233 CONTINUE
COD=1
IF(AM/C=1.1)240,241,241
240 R=R1
COD=COD+1
GO TO 241
250 R=R2
BR(I)=0.
Y1=500.
COD=COD+1
241 CONTINUE
DO 19 K=1,KM,2
IF(TETA=1.1)35,35,36
35 Y=0.0
GO TO 36
36 CONTINUE
K1=K+1

```

INTOCMIT
RADU D.! PROIECT: TEZ
! VERSIUNE: 01

DOCT.

! INLOCUIESTE

! PAGINA

169

! DATA 27.10.85

A N E X A 2

```

K2=K+2
K3=K+3
C1=(2*K+1.)/K
C2=K/(K+1.)
PT(K2)=C1*CCS(TETA)*PT(K1)- 2*PT(K)
DPT(K2)=K1/SIN(TETA)*(PT(K1)-COS(TETA)*PT(K2))
Y=2*PI/C*3 SIN(ALFA)/K1*(C/R)*K2*DFA(K1)*DPT(K2)
38 CONTINUE
BR(I)=BR(I)+Y
VARY=ABS(Y1)+ABS(Y)
Y1=Y
IF(VARY.LT.EP) GO TO 199
C3=(2*K+3.)/K
C4=(K+1.)/K
PT(K3)=C3*CCS(TETA)*PT(K2)- 4*PT(K2)
PA(K2)=C1*CCS(ALFA)*PA(K1)- 2*PA(K1)
PA(K3)=C3*CCS(ALFA)*PA(K2)- 4*PA(K1)
CPA(K3)=K2/SIN(ALFA)*(PA(K2)-COS(ALFA)*PA(K3))
99 CONTINUE
199 IF(COD=2.))100,301,302
301 BR1=BR(I)
GO TO 25
302 BR2=BR(I)
BR(I)=BR1+(BR2-BR1)*(22-R2)/(R2-F1)
100 CONTINUE
RETURN
END

```

A1= .1425 D1= .0650 DE450=466.47 M= 4 I= 3 KCO=
A2= .1575 D2= .0850 ER=.4012-14

Table with columns labeled K, ZP, RP, B7, ER, and E. It contains numerical data for rows numbered 1 through 83. The ZP column shows values ranging from 0.0000 to 0.0900. The RP column shows values ranging from 0.0175 to 0.1000. The B7 column shows values ranging from 0.0000 to 0.0900. The ER column shows values ranging from 0.0000 to 0.0900. The E column shows values ranging from 0.0000 to 0.0900.

ANEXA 3

```

*** CALCULUL CIMPULUI MAGNETIC ***
*** LA JN SILENCIUL PRIN METOLA ***
*** DIFERENTELOR FINITE ***

DIMENSION A(60,80),DC(60,80),NC(80)
DIMENSION P(7)
READ(10,1)NBJ,NBS,M,N,NPC
READ(10,2)MBS,MED,MK,M,KM
1  FORMAT(15I5)
READ(10,3)HR,HZ,EP,CD,AI
2  FORMAT(3E12.5)
PI=3.1415926
CMN=1./((N-1.)/(N-1.))+1./((M-1.)/(M-1.))
FSR=1.-3.14*SQRT(2.*CMN)
WRITE(10,333)
333  FORMAT(11I7)
WRITE(10,7)NBJ,NBS,MBS,MED,MK,CD,FSR,EP
7  FORMAT(//15X,'NBJ=',12,3X,'NBS=',12,
+3X,'MBS=',12,3X,'MED=',12,3X,'KM=',12,15X,
+ 'CD=',12,3X,'FSR=',12,3X,'EP=',12,3)
NJJ=14
NI=N-1
MI=M-1
NBJ1=NBJ-1
NMJ=NBJ/2
NMS=NBS+(N-NBS)/3
MMD=MED+(M-MED)/2
HRP=HR*HR
FZP=FZ*FZ
CDC=PI*HRP+FZP/5
DO 3 I=1,N
DO 3 J=1,M
CC(I,J)=0.
3  A(I,J)=0.
DO 119 J=1,M
119 A(I,J)=AI
DO 4 J=1,M
4  NC(J)=J
DO 72 I=NBJ,MBS
DO 72 J=MBS+MMD
72  CC(I,J)=0
K=1
5  CONTINUE
BIG=0.
R1=).
DO 20 I=2,N
R4=R1
R2=R1+HR
R20=R2+R
R40=R4+R
C2=R1/R2
C4=R1/R4
CA2=R2/R2
CA4=R1/R4
CA0=HRP+FZP*(C2+C4)
DO 10 J=2,M
TL=HRP*(A(I,J+1)+A(I,J-1))/F+FZP*
+ (CA2*A(I+1,J)+CA4*A(I-1,J))+CDC*CC(I,J)
AO=TL/CA0
DA=AO-A(I,J)
BIG=BIG+ABS(DA)
10  A(I,J)=AO+FSR*DA
20  CONTINUE
DO 93 I=2,NI
93  A(I,1)=A(I,2)
IF(BIG=EPS)15,42,20
30  IF(K=KM)4,42,41
40  K=K+1
GO TO 5
41  CONTINUE
50  CONTINUE
WRITE(10,22)K,BIG
22  FORMAT(//20X,'NCIMPUL DE ISERATII K=',

```


ANEXA 3

```
+I3/2CX, 'SOMA DIFERENTELOK IC=1, EC=3)
WRITE(108,100)
110 FORMAT(//79X, 'I', 4X, 'J', 6X, 'ZP', 6X, 'RP',
+8X, 'BZ', 6X, 'BR', 6X, 'B', 6X, 5 ('X'))
J=2
ZP=0.
I=1
RP=0.
BZ=(4*A(2, I)-A(3, J))/HR
BR=0.
B=BZ
FZT(I)=32
WRITE(108,120) I, J, ZP, RP, BZ, R, B
120 FORMAT(5X, 2I5, 5F10.5)
DO 131 I=2, N1
RP=RP+HR
BZ=A(I, J)/RP+(A(I+1, J)-A(I-1, J))/2/HR
BR=0.
B=ABS(BZ)
FZT(I)=BZ
WRITE(108,120) I, J, ZP, RP, BZ, R, B
130 CONTINUE
WRITE(108,303)
I=1
RP=0.
ZP=0.
DO 131 J=1, N1
ZP=ZP+HZ
BZ=(4*A(2, J)-A(3, J))/HR
BR=0.
B=BZ
WRITE(108,120) I, J, ZP, RP, BZ, R, B
131 CONTINUE
WRITE(108,303)
DO 132 I=2, N1
RP=(I-1)*HR
ZP=0.
DO 132 J=1, N1
ZP=ZP+HZ
BZ=A(I, J)/RP+(A(I+1, J)-A(I-1, J))/2/HR
BR=(A(I, J-1)-A(I, J+1))/2/HZ
B=SQRT(3R*BR+BZ*BZ)
WRITE(108,120) I, J, ZP, RP, BZ, R, B
132 CONTINUE
DO 235 I=1, N1, 2
RP=(I-1)*HR
DO 235 J=1, N1, 2
ZP=(J-2)*HZ
BZ=A(I, J)/RP+(A(I+1, J)-A(I-1, J))/2/HR
BR=(A(I, J-1)-A(I, J+1))/2/HZ
B=SQRT(3R*BR+BZ*BZ)
WRITE(108,120) I, J, ZP, RP, BZ, R, B
235 CONTINUE
IF(JPC.EC.1) GO TO 155
WRITE(108,140)
140 FORMAT(//79X, 'I', 4X, 'J', 6X, 'ZP', 6X,
+8X, 'BZ', 6X, 'BR', 6X, 'B', 6X, 5 ('X'))
J=2
RP=0.
PS=0.
S=0.
DO 150 I=2, N1
RP=RP+HR
PD=RP+FZT(I)
S=S+(PS+PD)*HR/?
WRITE(108,160) I, J, RP, PD, S
160 FORMAT(5X, 2I5, 3F10.6)
150 PS=PD
155 CONTINUE
STOP
END
```

NEJ=11 NBS=11 MBS= 9 MBD=10 KP=3.0
CC=.667E+03 FSR=.9 EE+.0 EPS=.2 CF=04

NUMARUL DE ITERATII K=300
SUMA DIFERENTELOR 3TG=.434E-0

I	J	ZP	RP	BZ	BR	B
1	2	.000000	.000000	1.185447	.000000	1.477777
2	2	.000000	.000000	1.147777	.000000	1.477777
3	2	.000000	.000000	1.118881	.000000	1.468881
4	2	.000000	.000000	1.116421	.000000	1.464211
5	2	.000000	.000000	1.117341	.000000	1.473411
6	2	.000000	.000000	1.114917	.000000	1.469171
7	2	.000000	.000000	1.110111	.000000	1.460111
8	2	.000000	.000000	1.111615	.000000	1.461615
9	2	.000000	.000000	1.112002	.000000	1.462002
10	2	.000000	.000000	1.113500	.000000	1.463500
11	2	.000000	.000000	1.115100	.000000	1.465100
12	2	.000000	.000000	1.116500	.000000	1.466500
13	2	.000000	.000000	1.117500	.000000	1.467500
14	2	.000000	.000000	1.119000	.000000	1.469000
15	2	.000000	.000000	1.121000	.000000	1.471000
16	2	.000000	.000000	1.122500	.000000	1.472500
17	2	.000000	.000000	1.123500	.000000	1.473500
18	2	.000000	.000000	1.125000	.000000	1.475000
19	2	.000000	.000000	1.127000	.000000	1.477000
20	2	.000000	.000000	1.128500	.000000	1.478500
21	2	.000000	.000000	1.130000	.000000	1.480000
22	2	.000000	.000000	1.131500	.000000	1.481500
23	2	.000000	.000000	1.133000	.000000	1.483000
24	2	.000000	.000000	1.134500	.000000	1.484500
25	2	.000000	.000000	1.136000	.000000	1.486000
26	2	.000000	.000000	1.137500	.000000	1.487500
27	2	.000000	.000000	1.139000	.000000	1.489000
28	2	.000000	.000000	1.140500	.000000	1.490500
29	2	.000000	.000000	1.142000	.000000	1.492000
30	2	.000000	.000000	1.143500	.000000	1.493500
31	2	.000000	.000000	1.145000	.000000	1.495000
32	2	.000000	.000000	1.146500	.000000	1.496500
33	2	.000000	.000000	1.148000	.000000	1.498000
34	2	.000000	.000000	1.149500	.000000	1.499500
35	2	.000000	.000000	1.151000	.000000	1.501000
36	2	.000000	.000000	1.152500	.000000	1.502500
37	2	.000000	.000000	1.154000	.000000	1.504000
38	2	.000000	.000000	1.155500	.000000	1.505500
39	2	.000000	.000000	1.157000	.000000	1.507000
40	2	.000000	.000000	1.158500	.000000	1.508500
41	2	.000000	.000000	1.160000	.000000	1.510000
42	2	.000000	.000000	1.161500	.000000	1.511500
43	2	.000000	.000000	1.163000	.000000	1.513000
44	2	.000000	.000000	1.164500	.000000	1.514500
45	2	.000000	.000000	1.166000	.000000	1.516000
46	2	.000000	.000000	1.167500	.000000	1.517500
47	2	.000000	.000000	1.169000	.000000	1.519000
48	2	.000000	.000000	1.170500	.000000	1.520500
49	2	.000000	.000000	1.172000	.000000	1.522000
50	2	.000000	.000000	1.173500	.000000	1.523500
51	2	.000000	.000000	1.175000	.000000	1.525000
52	2	.000000	.000000	1.176500	.000000	1.526500
53	2	.000000	.000000	1.178000	.000000	1.528000
54	2	.000000	.000000	1.179500	.000000	1.529500
55	2	.000000	.000000	1.181000	.000000	1.531000
56	2	.000000	.000000	1.182500	.000000	1.532500
57	2	.000000	.000000	1.184000	.000000	1.534000
58	2	.000000	.000000	1.185500	.000000	1.535500
59	2	.000000	.000000	1.187000	.000000	1.537000
60	2	.000000	.000000	1.188500	.000000	1.538500

A N E X A 4

C
C
C
C
C
C
C
C

```

*** CALCULUL CIMPULUI MAGNETIC L UNEI
*** PERECHI DE ECUIINE CIRCULARE SITUATE
*** IN AER. PRIN METODA DIFERENT LCR
*** FINITE CU PAS VARIABIL
DIMENSION A(16,5), DC(30,3), NC(60)
READ(105,1) NBJ, NBS, NW, NHC, N
READ(105,1) MBS, MBD, MK, MFC, M
READ(105,2) HR, HZ, RCH, CD, AI, PS
1 FORMAT(20,15)
2 FORMAT(3F10.5)
PI=3.141593
NM1=N-1
MM1=M-1
CMN=2./NM1/MM1+2./MM1/MM1
FSR=1.-PI*SQRT(CMN)
WRITE(108,333)
333 FORMAT('1 //')
WRITE(108,5) NBJ, NBS, NW, NHC, MBS,
+ MBD, MFC, MK, HZ, RCH, C, AI, EPS
5 FORMAT(/2) X, NBJ, IZ, 2X, N
+ 2X, NW, IZ, 2X, NHC, IZ, 2X, MBS, IZ,
+ 20X, MBS, IZ, 2X, MBD, IZ, X, MFC, IZ,
+ IZ, 2X, MFC, IZ, 2X, N, IZ, X, KM, IZ,
+ IZ, 20X, HR, E8.3, 2X, HZ, IZ, X,
+ RCH, E8.3, 2X, CD, E8.3, X,
+ AI, E8.3, 2X, PS, E8.3)
NJL=14
NMJ=NEJ/2
NMS=NBS+(1-NBS)/3
MMD=MBD+(1-MBD)/3
MHCPI=MFC+1
NHCP1=NHC+1
FSRP1=FSR+1
HRP=FR*HR
HZP=HZ*HZ
CH1=HZP/HRP
CDC=PI*HZP/5.
DO 10 I=1,N
DO 10 J=1,M
NC(J)=J
10 A(I,J)=1.
DO 11 I=1,NJ,NMS
DO 11 J=1,MM1,MMD
11 A(I,J)=AI
DO 12 I=1,MFC
DO 12 J=2,MFC
12 DC(I,J)=0.
DO 13 I=NBJ,NBS
DO 13 J=MBS,MBD
13 DC(I,J)=CD
K=1
20 CONTINUE
BIG=C.
RP=).
DO 33 I=2,MFC
RP=RP+HR
C2=RP/(2*XP+FP)
C4=RP/(2*XP-FP)
CA2=(RP+HR)/(2*RP+HR)
CA4=(RP-FR)/(2*RP-FR)
CAP=1.+CH1*(C2+C4)
DO 31 J=2,MM1
TL=(A(I,J+1)+A(I,J-1))/2.+C1*(CA2*
+A(I+1,J)+CA4*A(I-1,J))+CDC*DC(I,J)
AP=TL/CAP
DA=AP-A(I,J)
BIG=BIG+ABS(DA)
31 A(I,J)=AP+FSR*DA
H1=HZ
DO 32 J=MM1,MM1
+3=H1
H1=H1+RCH
CH=H1*H3/4*P
CAP=1.+CH*(C2+C4)

```

A N E X A 4

```

      TL=(H3*A(I,J+1)+H7*A(I,J-1))/(H1+H3)+
32 +CH*(CA2*A(I+1,J)+CA4*A(I-1,J))
      A(I,J)=FSKP1*TL/CAP-FSR*A(I,J)
33 CONTINUE
      H2=HR
      DO 43 I=NHCP1,NM1
      H4=H2
      H2=H2*RCF
      RP=RP+H4
      C2=RP/(2*RP+H2)*H4
      C4=RP/(2*RP-H4)*H2
      CA2=(RP+H2)/(2*RP+H2)*H4
      CA4=(RP-H4)/(2*RP-H4)*H2
      CH=2.*H2P/H2/H4/(H2+H4)
      CAP=1.+CH*(C2+C4)
      DO 41 J=2,MHC
      TL=(A(I,J+1)+A(I,J-1))/2.+
      +CH*(CA2*A(I+1,J)+CA4*A(I-1,J))
41 A(I,J)=FSKP1*TL/CAP-FSR*A(I,J)
      H1=HZ
      DO 42 J=MHCP1,MM1
      F3=H1
      F1=H1*RCF
      CH=2.*H1*H3/H2/H4/(H2+H4)
      CAP=1.+CH*(C2+C4)
      TL=(H3*A(I,J+1)+H7*A(I,J-1))/(H1+H3)+
      +CH*(CA2*A(I+1,J)+CA4*A(I-1,J))
42 A(I,J)=FSKP1*TL/CAP-FSR*A(I,J)
43 CONTINUE
      DO 50 I=2,NM1
50 A(I,1)=A(I,2)
      IF(JIG-EP5)62,62,51
51 IF(K-KM)52,60,60
52 K=K+1
      GO TO 20
61 CONTINUE
      WRITE(10,22)K,RIG
22 FORMAT(//25X,'NUMARUL DE BIFATII K=',
      +I3/25X,'SUMA DIFERENTELOR IC=',E8.3)
      WRITE(10,110)
110 FORMAT(//5X,'I',4X,'J',6X,'ZF',8X,'FF',
      +8X,'BZ',8X,'BR',8X,'B',8X,'SR',5X,'+')
      J=2
      ZP=0.
      I=1
      RP=0.
      BZ=(4*A(2,J)-A(3,J))/HR
      BR=0.
      B=BZ
      WRITE(11,120)I,J,ZP,RP,BZ,R,B
120 FORMAT(5X,2I5,5F10.5)
      DO 131 I=2,MHC
      RP=RP+HR
      BZ=A(I,J)/RP+(A(I+1,J)-A(I-1,J))/2/HR
      BR=0.
      B=ABS(BZ)
      WRITE(11,130)I,J,ZP,RP,BZ,R,B
130 CONTINUE
      I=1
      RP=0.
      ZP=0.
      DO 131 J=3,MHC
      ZP=ZP+H2
      BZ=(4*A(2,J)-A(3,J))/HR
      BR=0.
      B=BZ
      WRITE(11,130)I,J,ZP,RP,BZ,R,B
131 CONTINUE
      NWS=2
      NNV=5
135 DO 132 I=4NS,NNV
      RP=(I-1)*HR
      ZP=J.
      DO 132 J=3,MH
      ZP=ZP+H2
      BZ=A(I,J)/RP+(A(I+1,J)-A(I-1,J))/2/HR
      BR=(A(I,J-1)-A(I,J+1))/2/HZ

```

```

132 B=SORT(24*PP+PZ*GZ)
    WRITE(118,12,PI,J,ZP,RP,GZ, R,0)
    CONTINUE
    IF(NWV.EC.NW) GO TO 140
    NWS=NWV+1
    NWV=NW
    WRITE(118,373)
    GO TO 135
140 CONTINUE
    STOP
    END

```

A H E X A 4

NBJ=11 NBS=11 NCA=10 NHC=14 N=30
 NBS=9 NBO=11 NCB=10 NCH=14 N=30
 HRS=.15 JE=11 FM=10 NHC=14 N=30
 CB=.067E+1 AT=.2 NCB=10 NCH=14 N=30

NUMARUL DE TITRARI K=3
 SUMA DIFERENTELOR BIG=2.9E+24

I	C	ZP	SP	BZ
1				
2				
3				
4				
5				
6				
7				
8				
9				
10				
11				
12				
13				
14				
15				
16				
17				
18				
19				
20				
21				
22				
23				
24				
25				
26				
27				
28				
29				
30				
31				
32				
33				
34				
35				
36				
37				
38				
39				
40				
41				
42				
43				
44				
45				
46				
47				
48				
49				
50				
51				
52				
53				
54				
55				
56				
57				
58				
59				
60				
61				
62				
63				
64				
65				
66				
67				
68				
69				
70				
71				
72				
73				
74				
75				
76				
77				
78				
79				
80				
81				
82				
83				
84				
85				
86				
87				
88				
89				
90				
91				
92				
93				
94				
95				
96				
97				
98				
99				
100				

